



TUGAS AKHIR - RC14-1501

## **PERENCANAAN SISTEM JARINGAN DRAINASE KAWASAN BOEZEM SUMUR WELUT, SURABAYA BARAT**

RACHMAD HARNADI  
NRP. 3115 105 046

Dosen Pembimbing :  
**PROF. DR. IR. NADJADJI ANAWAR, MSC**  
**NIP.19540113 198010 1 001**

**DEPARTMENT TEKNIK SIPIL**  
Fakultas Teknik Sipil dan Perencanaan  
Institut Teknologi Sepuluh Nopember  
Surabaya  
2017



TUGAS AKHIR - RC14-1501

**PERENCANAAN SISTEM JARINGAN DRAINASE  
KAWASAN BOEZEM SUMUR WELUT,  
SURABAYA BARAT**

RACHMAD HARNADI  
NRP. 3115 105 046

Dosen Pembimbing :  
PROF. DR. IR. NADJADJI ANAWAR, MSC  
NIP.19540113 198010 1 001

DEPARTMENT TEKNIK SIPIL  
Fakultas Teknik Sipil dan Perencanaan  
Institut Teknologi Sepuluh Nopember  
Surabaya  
2017



FINAL PROJECT - RC14-1501

## DRAINAGE NETWORK SYSTEMS PLANNING OF BOEZEM SUMUR WELUT WESTERN SURABAYA

RACHMAD HARNADI  
NRP. 3115 105 046

Supervisor :  
PROF. DR. IR. NADJADJI ANAWAR, MSC  
NIP.19540113 198010 1 001

DEPARTMENT OF CIVIL ENGINEERING  
Faculty Of Civil Engineering and Planning  
Institut Teknologi Sepuluh Nopember  
Surabaya  
2017

## LEMBAR PENGESAHAN

# PERENCANAAN SISTEM JARINGAN DRAINASE KAWASAN BOEZEM SUMUR WELUT SURABAYA BARAT

TUGAS AKHIR

**Diajukan untuk Memenuhi Salah Satu Syarat  
Memperoleh Gelar Sarjana Teknik  
Pada  
Program Studi S-1 Lintas Jalur Teknik Sipil  
Fakultas Teknik Sipil dan Perencanaan  
Institut Teknologi Sepuluh Nopember**

Oleh :

RACHMAD HARNADI

NRP. 3115 105304

Disetujui oleh Pembimbing Tugas Akhir

Prof. Dr. Ir. Nadjadji Anvar, M.Sc.



SURABAYA, JULI 2017

# **PERENCANAAN SISTEM JARINGAN DRAINASE KAWASAN BOEZEM SUMUR WELUR, SURABAYA BARAT**

**Nama Mahasiswa : Rachmad Harnadi**  
**NRP : 3115 010 046**  
**Jurusan : Lintas Jalur S-1 Teknik Sipil**  
**Dosen Pembimbing : Prof. Dr. Ir. Nadjadji Anwar, MSc**

## **ABSTRAK**

Kota Surabaya merupakan salah satu kota terbesar di Indonesia. Banyak pembangunan perumahan yang dilakukan disisi pinggiran kota Surabaya, seperti halnya pada daerah Sumur Welut Surabaya barat. Lahan kosong didataran tinggi diambil alih perusahaan dan direncanakan perumahan pada 5 tahun mendatang dengan luas lahan 10 ha. Terjadinya perubahan lahan akan menyebabkan area resapan air berkurang. Dan lebihnya air (*run off*) yang terjadi pada lahan perumahan akan lebih banyak dialirkan ke boezem Sumur Welut. Boezem Sumur Welut memiliki luas tumpungan 5476 m<sup>2</sup> dengan kedalaman 4 m tinggi jagaan 1 meter dan difasilitasi pintu air.

Tugas akhir ini bertujuan untuk menganalisa kapasitas tumpungan *boezem* terhadap perubahan lahan kosong didataran tinggi menjadi perumahan. Konsep yang digunakan dalam pekerjaan tugas akhir ini adalah merencanakan sistem jaringan drainase perumahan dan pemukiman warga, dan merencanakan dimensi saluran. Saluran yang direncanakan adalah saluran kuarter, saluran tersier, saluran skunder, dan saluran Primer. Selain itu, sebagian limpasan air yang masuk ke dalam kawasan Sumur Welut akan ditampung pada *boezem* dan dialirkan langsung pada saluran outflow.

Dari analisa perhitungan didapatkan dimensi saluran kuarter, saluran tersier, saluran sekunder dan saluran primer yang

bervariasi. Tampungan boezem yang dianalisa selama hujan 2 jam mampu menampung limpasan banjir total sebesar 12806,15 m<sup>3</sup> di elevasi +10,34. Dan adanya analisa penulusuran banjir dengan 2 alternatif didapat pada pintu air elevasi muka air +9,60 m dan pada bangunan pelimpah didapat +9,99 m. Limpasan banjir yang tidak dapat dialirkan secara grafitasi menggunakan pompa berkapasitas 0,50 m<sup>3</sup>/det.

Kata kunci: Sistem jaringan drainase, dimensi saluran, Boezem

# **DRAINAGE NETWORK SYSTEMS PLANNING OF BOEZEM SUMUR WELUT, WESTERN SURABAYA**

**Student Name : Rachmad Harnadi  
NRP : 3115 105 046  
Department : Lintas Jalur S-1 Teknik Sipil  
Supervisor : Prof. Dr. Ir. Nadjadji Anwar, MSc**

## ***ABSTRACT***

*Surabaya is one of the biggest city in Indonesia. Many housing development in suburban side of Surabaya city are being done, such as in SumurWelut Western Surabaya area. The empty land in the highlands taken over by the company and already planned to become a residential for 5 years later with total area for about 10 ha. Changes of land use will result in a reduced of water absorption area. Then the rest of the water(run off)which come into residential land will be flowed more to the boezem of SumurWelut. The Boezemof SumurWeluthas capacity area for about 5476 m<sup>2</sup> with 4 m of depth and height of water protectionabout 1 meter which equipped with the foodgates.*

*The purpose of this final task is to analyze the capacity of the boezem from the changes of the empty land in highlandto become a residential.The concept of this final task is planning the drainage network system of the residential and the dimension of the channel.the channel that will be planned is the quarter channel, the tersier channel, the secondary channel, and the primary channel.In addition, some of the rest of the water which come into SumurWelut area will be collected in the boezem and directly flowed on the outflow channel.*

*From the calculation of the analysis could get vary of the dimension ofthe quarter channel, the tersier channel, the secondary channel, and the primary channel.The boezem capacity*

*which analized during 2 hours raining still capable to accommodate the total flood for about 12806,15 m<sup>3</sup>elevated at +10,34. While the analysis of flood routing with 2 alternative shows the elevation of the water at the foodgates at +9,60 m and at the exile building at +9,99 m. The flood that could not be flowed gravitally, will be pumped which its capacity is 0,50 m<sup>3</sup>/sec.*

***Keyword:*** ***Drainage network system, Channel dimension, Boezem.***

## KATA PENGANTAR

Puji syukur kami panjatkan kehadirat Allah SWT karena atas rahmat dan hidayah-Nya, sehingga saya dapat menyusun Tugas Akhir, tak lupa shalawat serta salam yang selalu tercurahkan kepada junjungan kita Nabi Muhammad SAW, beserta keluarga, dan para sahabatnya.

Dalam penyusunan Tugas Akhir ini, saya mendapat bimbingan dan bantuan dari berbagai pihak, untuk itu penulis mengucapkan terima kasih pada :

1. Kedua Orang Tua dan saudara saya atas do'a dan dukungannya selama ini,
2. Dosen Wali yang telah berkenan menjadi pengganti orang tua saya di Kampus,
3. Bapak Umboro Lasminto, ST., MSc, selaku Kepala Program Teknik Sipil FTSP – ITS,
4. Bapak Prof. Dr. Ir. Nadjadji Anwar, MSc selaku dosen Pembimbing saya yang telah banyak membantu saya dalam penyusunan Tugas Akhir,
5. Teman – teman Lintas Jalur Teknik Sipil ITS angkatan 2015 yang telah banyak membantu,
6. Serta semua pihak yang telah membantu saya dalam penyelesaian Tugas Akhir yang tidak dapat saya sebut satu – persatu.

Akhir kata, saya menyadari bahwa penyusunan Tugas akhir ini masih banyak terdapat kekurangan untuk dapat mencapai kesempurnaan. Oleh karena itu, kritik dan saran dari pembaca akan saya terima.

Semoga Tugas Akhir ini dapat bermanfaat bagi penulis sendiri khususnya dan pembaca pada umumnya, Amin.

Surabaya ,31 Juli 2017

Penyusun

## DAFTAR ISI

|   |     |
|---|-----|
| LEMBAR PENGESAHAN .....                         | i   |
| ABSTRAK .....                                   | ii  |
| KATA PENGANTAR.....                             | vi  |
| DAFTAR ISI .....                                | vii |
| DAFTAR TABEL .....                              | xi  |
| DAFTAR GAMBAR .....                             | xv  |
| BAB I PENDAHULUAN .....                         | 1   |
| 1.1 Latar Belakang.....                         | 1   |
| 1.2 Rumusan Masalah.....                        | 2   |
| 1.3 Tujuan .....                                | 2   |
| 1.4 Batasan Masalah .....                       | 3   |
| 1.5 Manfaat .....                               | 3   |
| 1.6 Lokasi .....                                | 3   |
| BAB II TINJAUAN PUSTAKA .....                   | 5   |
| 2.1 Penentuan Curah Hujan .....                 | 5   |
| 2.1.1 Metode Rerata Aritmatik (Aljabar) .....   | 5   |
| 2.1.1 Metode Thiessen.....                      | 6   |
| 2.2 Analisa Hidrologi.....                      | 7   |
| 2.2.1 Perhitungan Curah Hujan Rencana .....     | 7   |
| 1. Metode Distribusi Normal.....                | 7   |
| 2. Metode Distribusi Gumbel .....               | 8   |
| 3. Metode Distribusi Log Person III .....       | 10  |
| 2.2.2 Uji Kecocokan Ditribusi.....              | 13  |
| 1. Uji Chi Kuadrat (Chi-square) .....           | 13  |
| 2. Smirnov kolmogorov.....                      | 14  |
| 2.2.3 Koefesien Pengaliran.....                 | 16  |
| 2.2.4 Intensitas Hujan .....                    | 17  |
| 2.2.5 Waktu Konsentrasi ( $t_c$ ).....          | 18  |
| 2.2.6 Perhitungan Debit Rencana ( $Q_r$ ) ..... | 19  |
| 2.3. Analisa Hidraulika .....                   | 20  |
| 2.3.1. Perencanaan Dimensi Saluran .....        | 20  |
| 2.3.2. Kecepatan Aliran ( $V$ ) .....           | 21  |

|   |           |
|---|-----------|
| 2.3.3. Kemeringan Dasar Saluran (Io).....           | 22        |
| 2.3.4. Perhitungan Full Bank Capacity.....          | 22        |
| 2.3.5. Perhitungan Dimensi Saluran .....            | 23        |
| 2.3.6. Profil Muka Air .....                        | 25        |
| <b>BAB III METODOLOGI .....</b>                     | <b>27</b> |
| 3.1 Persiapan.....                                  | 27        |
| 3.2 Survei Lapangan .....                           | 27        |
| 3.3 Studi Literatur .....                           | 27        |
| 3.4 Pengumpulan Data.....                           | 27        |
| 3.5 Pengelolaan Data .....                          | 28        |
| 3.5.1 Analisa Hidrologi .....                       | 28        |
| 3.5.5 Analisa Hidraulika.....                       | 28        |
| 3.6 Hasil dan Kesimpulan.....                       | 28        |
| 3.7 Diagram Alir.....                               | 29        |
| <b>BAB IV HASIL DAN PEMBAHASAN.....</b>             | <b>31</b> |
| 4.1 ANALISA HIDROLOGI.....                          | 31        |
| 4.1.1 Data Curah Hujan.....                         | 31        |
| 4.1.2 Curah Hujan Rencana.....                      | 32        |
| 4.1.3 Analisa Frekuensi .....                       | 33        |
| 4.1.4 Pemilihan Jenis Distribusi .....              | 36        |
| 4.1.5 Uji Kecocokan Distribusi .....                | 37        |
| 4.1.5.1 Uji Chi – Kuadrat (Chi Square) .....        | 37        |
| 4.1.5.2 Uji Smirnov – Kolmogorov .....              | 44        |
| 4.1.6 Perhitungan Curah Hujan Rencana .....         | 48        |
| 4.1.6.1 Curah Hujan rencana .....                   | 49        |
| 4.1.7 Analisa Kosentrasi Waktu (tc) .....           | 50        |
| 4.1.1 Perhitungan nilai waktu aliran air (to) ..... | 50        |
| 4.1.7.1 Perhitungan Waktu konsentrasi (tc).....     | 70        |
| 4.1.8 Perhitungan Intensitas Hujan .....            | 77        |
| 4.1.8 Koefesien Pengaliran (C ) .....               | 83        |
| 4.1.9 Menghitung Debit (Q) rencana.....             | 91        |
| 4.2 ANALISA HIDROLIKA.....                          | 97        |
| 4.2.1 Perhitungan Dimensi Saluran .....             | 97        |
| 4.2.2 Bangunan Terjun .....                         | 110       |
| 4.2.3 Perhitungan Elevasi Saluran.....              | 123       |

|                     |   |     |
|---------------------|---|-----|
| 4.2.4               | Analisa Kapasitas Boezem .....            | 147 |
| 4.2.5               | Analisa Penulusuran Banjir .....          | 158 |
| 4.3                 | Perencanaan Pompa .....                   | 169 |
| 4.4                 | Perencanaan Dimensi Saluran Outflow ..... | 170 |
| BAB V               | KESIMPULAN .....                          | 175 |
| 5.1                 | Kesimpulan .....                          | 175 |
| 5.2                 | Saran .....                               | 176 |
| DAFTAR PUSTAKA..... |   | 177 |

*“Halaman ini sengaja dikosongkan”*

## DAFTAR TABEL

|  |    |
|--|----|
| Tabel 2. 1 Nilai variabel ReduksiGauss .....   | 8  |
| Tabel 2. 2 Nilai Yn dan Sn fungsi jumlah data .....                                    | 10 |
| Tabel 2. 3 Nilai k untuk setiap nilai Cs (koefesien Skewness) ...                      | 12 |
| Tabel 2. 4 Kriteria Pemilihan Distribusi.....  | 12 |
| Tabel 2. 5 Nilai Kritis untuk Distribusi Chi-Kuadrat .....                             | 14 |
| Tabel 2. 6 Nilai Kritis Untuk Smirnov - Kolmogorov .....                               | 16 |
| Tabel 2. 7 Koefesien Aliran .....  | 17 |
| Tabel 2. 8 Koefisien Manning dari tiap jenis material saluran....                      | 21 |
| Tabel 4. 1 Data Stasiun Hujan Gunung Sari.....   | 31 |
| Tabel 4. 2 Perhitungan Curah Hujan Harian Rata - rata.....                             | 32 |
| Tabel 4. 3 Analisa Frekuensi Distribusi Hujan .....                                    | 33 |
| Tabel 4. 4 Analisa Frekuensi Distribusi Log (Y) .....                                  | 35 |
| Tabel 4. 5 Parameter Statistik untuk menentukan Jenis Distribusi .....                 | 37 |
| Tabel 4. 6 Curah Hujan Pada setiap Sub Kelompok .....                                  | 39 |
| Tabel 4. 7 Perhitungan Uji Chi – Kuadrat Distribusi Gumbel ....                        | 40 |
| Tabel 4. 8 Perhitungan nilai K.....  | 42 |
| Tabel 4. 9 Curah Hujan Pada setiap Sub Kelompok .....                                  | 42 |
| Tabel 4.10 Perhitungan Uji Chi – Kuadrat Distribusi Log Pearson III .....              | 43 |
| Tabel 4.11 Perhitungan Uji Smirnov – Kolmogorov Untuk Distribusi Gumbel .....          | 45 |
| Tabel 4.12 Perhitungan Uji Smirnov – Kolmogorov Untuk Distribusi Log Person III .....  | 47 |
| Tabel 4.13 Perhitungan Uji kecocokan .....   | 48 |
| Tabel 4.14 Perhitungan Curah Hujan Rencana .....                                       | 49 |
| Tabel 4.15 perhitungan Estimasi nilai to max masing – masing kayling .....             | 55 |
| Tabel 4.16 Perhitungan to untuk masing – masing hambatan pada saluran Tersier .....    | 56 |
| Tabel 4.17 Perhitungan to untuk masing – masing hambatan menuju saluran sekunder ..... | 62 |

|   |    |
|---|----|
| Tabel 4. 18 Perhitungan to untuk masing – masing hambatan menuju saluran Primer.....              | 65 |
| Tabel 4. 19 perhitungan waktu Kosentasi (tc) pada saluran Perumahan.....                          | 72 |
| Tabel 4. 20 perhitungan tc pada saluran Pemukiman warga menuju Boezem.....                        | 74 |
| Tabel 4. 21 Perhitungan tc pada saluran Pemukiman warga menuju saluran Primer.....                | 75 |
| Tabel 4. 22 Perhitungan tc pada saluran Primer menuju Boezem .....                                | 76 |
| Tabel 4. 23 Perhitungan Intensitas Hujan daerah Perumahan ....                                    | 78 |
| Tabel 4. 24 Perhitungan Intensitas Hujan daerah Pemukiman Warga menuju Boezem .....               | 80 |
| Tabel 4. 25 Perhitungan Intensitas Hujan daerah Pemukiman Warga menuju saluran Primer .....       | 81 |
| Tabel 4. 26 Perhitungan Intensitas Hujan Saluran Primer menuju Boezem.....                        | 82 |
| Tabel 4. 27 Penentuan Koefesien Pengaliran Perumahan .....  | 83 |
| Tabel 4. 28 Penentuan Koefesien Pengaliran Pemukiman Warga .....                                  | 83 |
| Tabel 4. 29 Koefesien Pengaliran (C ) gabungan daerah perumahan .....                             | 85 |
| Tabel 4. 30 Koefesien Pengaliran (C ) gabungan daerah pemukiman Warga menuju boezem .....         | 88 |
| Tabel 4. 31 Koefesien Pengaliran (C ) gabungan daerah pemukiman Warga menuju saluran Primer ..... | 89 |
| Tabel 4. 32 Koefesien Pengaliran (C ) gabungan pada saluran Primer menuju boezem.....             | 90 |
| Tabel 4. 33 Perhitungan Debit Banjir Rencana pada daerah Perumahan.....                           | 92 |
| Tabel 4. 34 Perhitungan Debit Banjir Rencana daerah Pemukiman Warga menuju boezem.....            | 94 |
| Tabel 4. 35 Perhitungan Debit Banjir Rencana daerah Pemukiman Warga menuju saluran Primer.....    | 95 |

|  |     |
|--|-----|
| Tabel 4. 36 Perhitungan Debit Banjir Rencana saluran Primer menuju boezem .....                                | 96  |
| Tabel 4. 37 Perhitungan Debit Saluran terhadap debit rencana daerah Perumahan .....                            | 98  |
| Tabel 4. 38 Perhitungan Debit Saluran terhadap debit rencana daerah Pemukiman Warga .....                      | 101 |
| Tabel 4. 39 Perhitungan Debit Saluran terhadap debit rencana daerah Pemukiman Warga menuju Saluran Primer..... | 102 |
| Tabel 4. 40 Perhitungan Debit Saluran terhadap debit rencana pada saluran Primer menuju Boezem .....           | 103 |
| Tabel 4. 41 Rekapitulasi Perencanaan dimensi Saluran Perumahan .....   | 105 |
| Tabel 4. 42 Rekapitulasi Perencanaan dimensi Saluran pemukiman warga menuju Boezem .....                       | 107 |
| Tabel 4. 43 Rekapitulasi Perencanaan dimensi Saluran pemukiman warga menuju saluran Primer .....               | 108 |
| Tabel 4. 44 Rekapitulasi Perencanaan dimensi Saluran Primer pemukiman warga menuju boezem .....                | 109 |
| Tabel 4. 45 Perhitungan Bangunan Terjun pada saluran Pemukiman warga menuju Boezem .....                       | 113 |
| Tabel 4. 46 Perhitungan Bangunan Terjun pada saluran Pemukiman warga menuju Boezem .....                       | 117 |
| Tabel 4. 47 Perhitungan Bangunan Terjun pada saluran Pemukiman warga menuju Saluran Primer .....               | 119 |
| Tabel 4. 48 Perhitungan Bangunan Terjun pada saluran Primer menuju boezem .....                                | 121 |
| Tabel 4. 49 Perhitungan Elevasi saluran Perumahan .....  | 125 |
| Tabel 4. 50 Perhitungan Elevasi saluran dengan bangunan terjun Perumahan .....                                 | 131 |
| Tabel 4. 51 Perhitungan Elevasi saluran pemukiman Warga menuju Boezem.....                                     | 135 |
| Tabel 4. 52 Perhitungan Elevasi saluran dengan bangunan terjun pemukiman Warga menuju Boezem .....             | 137 |
| Tabel 4. 53 Perhitungan Elevasi saluran pemukiman Warga menuju saluran Primer.....                             | 139 |

|   |     |
|---|-----|
| Tabel 4. 54 Perhitungan Elevasi saluran dengan bangunan Terjun pemukiman Warga menuju boezem .....    | 143 |
| Tabel 4. 55 Perhitungan Volume limpasan yang masuk pada Boezem Sumur Welut ( $tc=td$ ).....           | 149 |
| Tabel 4. 56 Perhitungan Volume limpasan yang masuk pada Boezem Sumur Welut ( $td=2\text{jam}$ ) ..... | 154 |
| Tabel 4. 57 Perhitungan volume limpasan yang masuk boezem dengan membuka pintu air .....              | 159 |
| Tabel 4. 58 Hubungan Elevasi, Tampungan, dan Outflow .....  | 163 |
| Tabel 4. 59 Hasil Penulusuran Banjir dengan metode reservoir routing .....                            | 166 |

## DAFTAR GAMBAR

|  |     |
|--|-----|
| Gambar 1. 1 Lokasi studi kelurahan Sumur Welut .....                   | 3   |
| Gambar 2. 1 Pengukuran Tinggi Curah Hujan Metode Aljabar....           | 5   |
| Gambar 2. 2 Pengukuran Tinggi Curah Hujan Metode Poligon Thiessen..... | 6   |
| Gambar 2. 3 Bentuk penampang saluran segi empat .....                  | 23  |
| Gambar 2. 4 Bentuk penampang saluran trapezium.....                    | 24  |
| Gambar 2. 5 Dimensi saluran trapesium .....                            | 25  |
| Gambar 2. 6 Profil muka air dengan metode tahapan langsung..           | 25  |
| Gambar 3. 1 Diagram Alir penggerjaan Tugas Akhir .....                 | 30  |
| Gambar 4. 1 Analisa Perhitungan to max pada bangunan rumah             | 50  |
| Gambar 4. 2 Tampak samping bangunan rumah.....                         | 51  |
| Gambar 4. 3 analisa to pada Atap rumah .....                           | 51  |
| Gambar 4. 4 Analisa perhitungan tc pada kompleks Perumahan             | 70  |
| Gambar 4. 5 Dimensi U-Ditch .....                                      | 104 |

*“Halaman ini sengaja dikosongkan”*

## BAB I

### PENDAHULUAN

#### 1.1 Latar Belakang

Sebelum terbangunnya *boezem* di tahun 2014, Kelurahan Sumur Welut merupakan salah satu area rawan banjir yang terdapat genangan air ketika hujan deras. Penyebabnya adalah sebagian saluran di kelurahan Sumur Welut masih alami dan dimensi saluran kurang besar sehingga saluran tidak mampu menampung air. Untuk itu, menangani masalah tersebut Pemerintah kota Surabaya membangun tempat penampungan air yang berupa *boezem*.

*Boezem* merupakan tumpungan air berukuran kecil untuk menangani masalah banjir yang membayangi Sumur Welut, Surabaya Barat. Tidak hanya itu, *boezem* juga difungsikan tempat budidaya ikan yang dimana sebagai kebutuhan ekonomi penduduk. *Boezem* dibangun di RW III Kelurahan Sumur Welut dengan ukuran 148 meter x 37 meter dan kedalaman 5 meter. *Boezem* memiliki 2 (dua) saluran inlet, 1 (satu) saluran outlet dan difasilitasi pintu air.

Di awal tahun 2016, Pemerintah kota khususnya ketua Rayon Wiyung Dinas Pekerjaan Umum Bina Marga dan Pematusan (DPUBMP) Surabaya mulai memantau kembali *boezem* Sumur Welut. Terjadinya pemantauan tersebut dikarenakan tanah kosong atau persawahan dataran tinggi bagian sisi selatan sudah diambil alih oleh Perusahaan dan akan dibangun sebuah Perumahan. Pembagunan perumahan rencananya akan dibangun ±5 tahun mendatang. Dengan bertambahnya Pembangunan perumahan nantinya akan mengurangi area resapan air hujan dan menimbulkan genangan-genangan kembali. Selain itu, saluran – saluran yang telah ada tidak efisiensi menampung air hujan dan saluran meluap membanjiri rumah-rumah penduduk.

Penataan dan peningkatan efisiensi sistem jaringan drainase kawasan, khususnya di kelurahan Sumur Welut perlu segera

direncanakan agar permasalahan banjir dan genangan serta segala akibat pembangunan perumahan 5 (lima) tahun mendatang dapat segera dikurangi atau bila mungkin dihilangkan. Sebab permasalahan tersebut menimbulkan banyak gangguan pada penduduk.

### 1.2 Rumusan Masalah

1. Berapa hujan rencana yang terjadi pada kawasan *boezem* Sumur Welut?
2. Berapa besar debit limpasan pada kawasan *boezem* Sumur Welut Surabaya barat?
3. Berapa dimensi saluran yang direncanakan terhadap hujan rencana?
4. Bagaimana kondisi *boezem* Sumur Welut terhadap debit inflow pada saluran yang direncanakan?
5. Bagaimana cara Alternatif untuk menanggulangi banjir/limpasan air hujan pada *boezem* Sumur Welut agar saluran maupun *boezem* mampu menampung dengan baik?

### 1.3 Tujuan

1. Menganalisa hujan rencana yang terjadi pada kawasan *boezem* Sumur Welut kelurahan Sumur Welut, Surabaya barat
2. Mendapatkan besar debit limpasan pada kawasan *boezem* Sumur Welut Surabaya barat
3. Mendapatkan dimensi saluran yang direncanakan terhadap hujan rencana
4. Menganalisa kapasitas *boezem* Sumur Welut terhadap debit inflow saluran yang direncanakan
5. Memberikan cara alternatif penanggulangan banjir/limpasan air hujan pada *boezem* Sumur Welut agar dapat menampung dengan baik

#### 1.4 Batasan Masalah

1. Lokasi yang ditinjau yaitu sekitar *boezem* Sumur Welut di kelurahan Sumur Welut dan sawah dataran tinggi. seperti gambar 1.1
2. Tidak menghitung besarnya limbah rumah tangga
3. Tidak menghitung anggaran biaya

#### 1.5 Manfaat

1. Memberikan informasi kejadian hujan rencana yang terjadi pada kawasan *boezem* Sumur Welut
2. Memberikan pengetahuan cara merencanakan sistem saluran drainase kawasan *boezem* Sumur Welut kelurahan Sumur Welut, Surabaya barat
3. Memberikan solusi alternatif penanggulangan banjir/limpasan pada *boezem* Sumur Welut akibat debit hujan.
4. Sebagai refrensi bagi masyarakat umum, mahasiswa, pemerintah/instansi lain yang melaksanakan proyek serupa.

#### 1.6 Lokasi

Lokasi yang ditinjau pada proposal tugas akhir ini yaitu pada sekitar *boezem* Sumur Welut di RW III kelurahan Sumur Welut Surabaya barat dan sawah/laahan kosong di dataran tinggi bagian sisi selatan. Lokasi dapat dilihat pada gambar 1.1.



Gambar 1. 1 Lokasi studi kelurahan Sumur Welut

*“Halaman ini sengaja dikosongkan”*

## BAB II

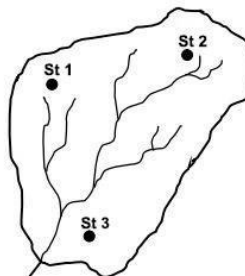
### TINJAUAN PUSTAKA

#### 2.1 Penentuan Curah Hujan

Stasiun penakar hujan hanya memberikan kedalaman hujan di titik mana stasiun tersebut berada, sehingga hujan pada suatu luasan harus diperkirakan dari titik pengukuran tersebut. Apabila pada suatu daerah terdapat lebih dari satu stasiun pengukur yang ditempatkan secara terpencar, hujan yang tercatat di masing-masing stasiun tidak sama. Dalam analisis hidrologi sering diperlukan untuk menentukan hujan rerata pada daerah tersebut, yang dapat dilakukan dengan tiga metode berikut yaitu:

##### 2.1.1 Metode Rerata Aritmatik (Aljabar)

Metode ini adalah metode yang paling sederhana dalam perhitungan hujan kawasan. Metode ini didasarkan pada asumsi bahwa semua penakar hujan mempunyai pengaruh yang setara. Cara ini cocok untuk kawasan dengan topografi rata atau datar, alat penakar tersebar merata/hampir merata, dan harga individual curah hujan tidak terlalu jauh dari harga rata-ratanya. Contoh pengukuran hujan rerata Aritmetik dengan beberapa stasiun hujan bisa di lihat seperti gambar 2.1



Gambar 2. 1 Pengukuran Tinggi Curah Hujan Metode Aljabar

Metode rerata Aljabar memberikan hasil yang baik apabila :

- Stasiun tersebar secara merata di DAS.
  - Distribusi hujan relative merata pada seluruh DAS.

Hujan rerata pada seluruh DAS diberikan oleh bentuk berikut :

Dimana:  $P$  = Curah hujan rerata tahunan (mm)

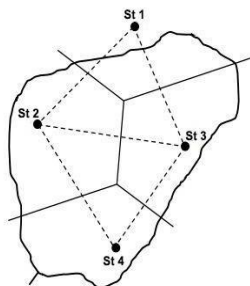
n = jumlah stasiun yang digunakan

$P_1 + \dots + P_n =$  Curah hujan rerata tahunan di tiap penakar (mm)

### 2.1.1 Metode Thiessen

Metode ini dikenal juga sebagai metode rata-rata timbang (*weighted mean*). Cara ini Daerah pengaruh dibentuk dengan menggambarkan garis-garis sumbu tegak lurus terhadap garis penghubung antara dua pos penakar terdekat. Diasumsikan bahwa variasi hujan antara pos yang satu dengan lainnya adalah linear dan bahwa sembarang pos dianggap dapat mewakili kawasan terdekat.

Contoh pengukuran hujan rerata Thiessen dengan beberapa stasiun hujan bisa di lihat seperti gambar 2.2



Gambar 2. 2 Pengukuran Tinggi Curah Hujan Metode Poligon Thiessen

Metode Poligon Thiessen ini banyak digunakan untuk menghitung rerata kawasan. Poligon Thiessen adalah tetapan untuk suatu jaringan stasiun hujan tertentu. Apabila terdapat perubahan jaringan stasiun hujan, seperti pemindahan atau penambahan stasiun, maka harus dibuat lagi Poligon Thiessen yang baru.

Perhitungan Polygon Thiessen adalah pada persamaan 2.2 sebagai berikut :

$$P = \frac{A_1 P_1 + A_2 P_2 + \dots + A_n P_n}{A_1 + A_2 + \dots + A_n} \quad \dots \dots \dots (2.2)$$

Dimana:  $P$  = Curah hujan rata – rata  
 $P_1, P_2, P_n$  = Curah hujan pada stasiun 1,2,...,n  
 $A_1, A_2, A_n$  = Luas daerah  
 pada polygon 1,2,...,n

## 2.2 Analisa Hidrologi

### 2.2.1 Perhitungan Curah Hujan Rencana

## 1. Metode Distribusi Normal

Distribusi *normal* banyak digunakan dalam analisis hidrologi, misalnya dalam analisis frekuensi curah hujan, analisis statistik dari distribusi rata-rata tahunan dan sebagainya. Distribusi *normal* atau disebut pula distribusi *Gauss*. Fungsi densitas peluang normal (*Normal Probability Density Function*) dari variabel acak kontinyu dapat dituliskan sebagai persamaan 2.3 berikut :

$$P(x) = \frac{1}{\sigma\sqrt{2\pi}} \cdot e^{\frac{-1}{2} \left( \frac{x-\mu}{\sigma} \right)^2} \quad \dots \quad (2.3)$$

Dimana :  $P(x) = \text{Fungsi densitas peluang normal}$   
 $\pi = 3,14156$   
 $e = 2,7828$   
 $X = \text{Variabel acak kontinyu}$

$\mu$  = Rata-rata dari nilai X

$\sigma$  = Deviasi standar dari nilai X

Dalam pemakaian praktis digunakan rumus umum, persamaan 2.4 sebagai berikut :

Dimana :  $X_t$  = Perkiraan nilai  $x$  yang diharapkan terjadi dengan periode ulang

S<sub>r</sub> = Deviasi Standar nilai variat X

K = Faktor frekuensi, merupakan fungsi dari periode ulang dan tipe model matematik distribusi peluang yang digunakan untuk analisis peluang (lihat tabel 2.1)

Tabel 2. 1 Nilai variabel ReduksiGauss

| Periode Ulang T<br>(tahun) | Peluang | k     |
|----------------------------|---------|-------|
| 1,001                      | 0,999   | -3,05 |
| 2                          | 0,500   | 0     |
| 5                          | 0,200   | 0,84  |
| 10                         | 0,100   | 1,28  |
| 20                         | 0,050   | 1,64  |
| 50                         | 0,020   | 2,05  |
| 100                        | 0,010   | 2,33  |

## 2. Metode Distribusi Gumbel

Gumbel menggunakan harga ekstrim untuk menunjukkan bahwa dalam deret harga-harga ekstrim  $X_1, X_2, X_3, \dots, X_n$  mempunyai fungsi distirbusi eksponensial ganda.

$$P(X) = e^{-e} a(X-b) \quad \dots \dots \dots \quad (2.5)$$

Jika diambil  $Y = a(X-b)$ , dengan  $Y$  disebut *reduced variety*, maka persamaan dapat ditulis:

Dimana e = bilangan alam 2,7182818...

Dengan mengambil dua kali harga logaritma dengan bilangan dasar terhadap persamaan (2.6) diperoleh persamaan 2.7 sebagai berikut :

$$X = \frac{1}{a} [ab - \ln\{-\ln P(X)\}] \dots \quad (2.7)$$

Kata ulang (*return period*) merupakan nilai banyaknya tahun rata-rata di mana suatu besaran disamai atau dilampaui oleh suatu harga, sebanyak satu kali. Hubungan antara periode ulang dan probabilitas dapat dinyatakan dalam persamaan 2.8 berikut ini.

Substitusikan persamaan 2.8 ke dalam persamaan 2.7 akan diperoleh persamaan 2.9 berikut ini.

$$X_{T_1} = b - \frac{1}{a} \ln \left\{ -\ln \frac{T_r(X)^{-1}}{T_r(X)} \right\} \dots \dots \dots (2.9)$$

Dengan  $Y = a(X-b)$ , maka diperoleh persamaan 2.10 berikut ini.

$$Y_{T_1} = -\ln \left\{ -\ln \frac{T_r(X)-1}{T_r(X)} \right\} \dots \quad (2.10)$$

(Sumber : Suripin, 2003 : 50)

Dalam penggambaran pada kertas probabilitas, Chow (1964) menyarankan penggunaan rumus berikut ini.

Dimana : $\mu$  = harga rata-rata populasi

$\sigma$  = standar deviasi (simpangan baku)

$K$  = faktor probabilitas

Apabila jumlah populasi yang terbatas (sampel), maka persamaan 2.11 dapat didekati dengan persamaan 2.12:

Dimana:  $\bar{X}$  = harga rata-rata sampel  
 $S$  = standar deviasi (simpangan baku)  
 sampel

Faktor probabilitas K untuk harga-harga ekstrim Gumbel dapat dinyatakan dalam persamaan 2.13 :

$$K = \frac{Y_{T_1} - Y_n}{S_n} \dots \dots \dots \quad (2.13)$$

Dimana :  $Y_n$  = *reduced mean* yang tergantung jumlah sampel/data n (Tabel 2.2)

$S_n$  = *reduced standart deviation* yang juga tergantung pada jumlah sampel/data

$Y_{T_r}$  = *reduced variate*, yang dapat dihitung dengan persamaan berikut ini.

(Sumber : Suripin, 2003 : 51)

Tabel 2. 2 Nilai  $Y_n$  dan  $S_n$  fungsi jumlah data

| n  | $Y_n$  | $S_n$  | n  | $Y_n$  | $S_n$  | n  | $Y_n$  | $S_n$  |
|----|--------|--------|----|--------|--------|----|--------|--------|
| 10 | 0,4952 | 0,9497 | 25 | 0,5309 | 1,0914 | 40 | 0,5439 | 1,1413 |
| 11 | 0,4996 | 0,9676 | 26 | 0,5320 | 1,0961 | 41 | 0,5442 | 1,1436 |
| 12 | 0,5035 | 0,9833 | 27 | 0,5332 | 1,1004 | 42 | 0,5448 | 1,1458 |
| 13 | 0,5070 | 0,9972 | 28 | 0,5343 | 1,1047 | 43 | 0,5453 | 1,1480 |
| 14 | 0,5100 | 1,0098 | 29 | 0,5353 | 1,1086 | 44 | 0,5458 | 1,1490 |
| 15 | 0,5128 | 1,0206 | 30 | 0,5362 | 1,1124 | 45 | 0,5463 | 1,1518 |
| 16 | 0,5157 | 1,0316 | 31 | 0,5371 | 1,1159 | 46 | 0,5468 | 1,1538 |
| 17 | 0,5181 | 1,0411 | 32 | 0,5380 | 1,1193 | 47 | 0,5473 | 1,1557 |
| 18 | 0,5202 | 1,0493 | 33 | 0,5388 | 1,1226 | 48 | 0,5477 | 1,1574 |
| 19 | 0,5220 | 1,0566 | 34 | 0,5396 | 1,1255 | 56 | 0,5508 | 1,1696 |
| 20 | 0,5236 | 1,0629 | 35 | 0,5402 | 1,1285 | 57 | 0,5511 | 1,1708 |
| 21 | 0,5252 | 1,0696 | 36 | 0,5410 | 1,1313 | 58 | 0,5515 | 1,1721 |
| 22 | 0,5268 | 1,0754 | 37 | 0,5418 | 1,1339 | 59 | 0,5518 | 1,1734 |
| 23 | 0,5283 | 1,0811 | 38 | 0,5424 | 1,1363 | 60 | 0,5521 | 1,1747 |
| 24 | 0,5296 | 1,0864 | 39 | 0,5430 | 1,1388 | 61 | 0,5524 | 1,1759 |

(Sumber: Triatmodjo, 2008;227)

### 3. Metode Distribusi Log Person III

Distribusi *Log Pearson III* banyak digunakan dalam analisis hidrologi, terutama dalam analisis data maksimum (banjir) dan minimum (debit minimum) dengan nilai ekstrim. Bentuk distribusi *Log Pearson III* merupakan hasil

transformasi dari distribusi *Log Pearson III* dengan menggantikan variat menjadi nilai logaritmik.

Bentuk kumulatif dari distribusi *Log Pearson type III* dengan nilai variatnya X apabila digambarkan pada kertas peluang logaritmik (*logarithmic probability paper*) akan merupakan model matematik persamaan garis lurus. Persamaan garis lurus adalah persamaan 2.14:

$$Y = \bar{Y} + k_s S \quad \dots \dots \dots \quad (2.14)$$

Dimana :  $Y$  = Nilai logaritmik dari  $X$

$\bar{Y}$  = Nilai rata – rata dari Y

$S$  = deviasi standar dari  $Y$

Prosedur untuk menentukan kurva distribusi *Log Pearson Type III*, adalah :

- 1) Tentukan logaritma dari semua nilai variat X
  - 2) Hitung nilai rata-ratanya :

$n \equiv$  Jumlah data

- 3) Hitung nilai deviasi standarnya dari  $\log X$  :

$$\overline{S \log X} = \sqrt{\frac{\sum (\log X - \bar{\log X})^2}{n-1}} \quad \dots \dots \dots \quad (2.16)$$

- 4) Hitung nilai koefisien kemencengam

$$C_S = \frac{n \sum (\log X - \bar{\log X})^2}{(n-1)(n-2)(\bar{S} \log X)} \dots \quad (2.17)$$

Cs = Nilai Kemencengan (lihat pada tabal 2.3)

Sehingga persamaan dapat ditulis :

(Sumber : Soewarno, 1995 : 141-143)

Tabel 2. 3 Nilai k untuk setiap nilai Cs (koefesien Skewness)

| Cs    | Periode Ulang (tahun) |       |       |       |       |       |
|-------|-----------------------|-------|-------|-------|-------|-------|
|       | 2                     | 5     | 10    | 25    | 50    | 100   |
| 0,0   | 0,000                 | 0,842 | 1,282 | 1,751 | 2,054 | 2,326 |
| -0,1  | 0,017                 | 0,836 | 0,270 | 1,761 | 2,000 | 2,252 |
| -0,2  | 0,033                 | 0,850 | 1,258 | 1,680 | 1,945 | 2,178 |
| -0,3  | 0,050                 | 0,853 | 1,245 | 1,643 | 1,890 | 1,104 |
| -0,4  | 0,066                 | 0,855 | 1,231 | 1,606 | 1,834 | 1,029 |
| -0,5  | 0,083                 | 0,856 | 1,216 | 1,567 | 1,777 | 1,955 |
| -0,6  | 0,099                 | 0,857 | 1,200 | 1,528 | 1,720 | 1,880 |
| -0,7  | 0,116                 | 0,857 | 1,183 | 1,488 | 1,663 | 1,806 |
| -0,8  | 0,132                 | 0,856 | 1,166 | 1,448 | 1,606 | 1,733 |
| -0,9  | 0,148                 | 0,854 | 1,147 | 1,407 | 1,549 | 1,660 |
| -0,10 | 0,164                 | 0,852 | 1,128 | 1,366 | 1,492 | 1,588 |
| -0,11 | 0,180                 | 0,848 | 1,107 | 1,324 | 1,435 | 1,518 |
| -0,12 | 0,195                 | 0,844 | 1,086 | 1,282 | 1,379 | 1,449 |
| -0,13 | 0,210                 | 0,838 | 1,064 | 1,240 | 1,324 | 1,383 |
| -0,14 | 0,225                 | 0,832 | 1,041 | 1,198 | 1,270 | 1,318 |

(Sumber : Soemarto,1987)

Untuk menentukan distribusi yang tepat dalam menghitung curah hujan rencana dengan periode ulang t tahun, maka perlu diperhatikan syarat – syarat pada tabel 2.4.

Tabel 2. 4 Kriteria Pemilihan Distribusi

| No | Jenis Distribusi                  | Syarat                                 |
|----|-----------------------------------|--|
| 1  | Distribusi <i>Normal</i>          | $C_s = 0$<br>$C_k = 3$                 |
| 2  | Distribusi <i>Gumbel</i>          | $C_s \leq 1,1396$<br>$C_k \leq 5,4002$ |
| 3  | Distribusi <i>Log Pearson III</i> | $C_s < 0$<br>$C_k = 0,3$               |

(Sumber: Bambang Triadmodjo, 2009)

### 2.2.2 Uji Kecocokan Distribusi

Diperlukan pengujian parameter untuk menguji kecocokan (the goodness of fit test) distribusi frekuensi sampel data terhadap fungsi distribusi peluang yang diperkirakan dapat menggambarkan atau mewakili distribusi frekuensi tersebut. Pengujian parameter yang sering dipakai adalah sebagai berikut:

### 1. Uji Chi Kuadrat (*Chi-square*)

Uji Chi-Kuadrat digunakan untuk menentukan apakah persamaan peluang (metode yang digunakan untuk mencari hujan rencana), dapat mewakili distribusi sampel data yang analisis.

Parameter yang digunakan untuk pengambilan keputusan uji ini adalah  $\chi^2_h$ , sehingga disebut Uji Chi-Kuadrat. Parameter  $\chi^2_h$  dapat dihitung dengan rumus:

$$\chi^2 h = \frac{n \sum (O_i - E_i)^2}{E_i} \dots \quad (2.19)$$

Dimana :  $\chi^2_h$  = Harga Chi-Kuadrat  
 Oi = Jumlah nilai pengamatan pada Sub Kelompok Ke-1 Parameter  
 $x^2_h$  merupakan Variabel acak  
 Ei = Jumlah nilai teoritis pada sub kelompok ke-1

Prosedur perhitungan uji Chi Kuadrat adalah :

- 1) Urutkan data pengamatan (dari yang terbesar ke yang terkecil atau sebaliknya).
  - 2) Kelompokkan data menjadi G sub grup, tiap-tiap sub grup minimal empat data pengamatan.
  - 3) Jumlah data pengamatan sebesar  $O_i$  tiap-tiap sub grup.
  - 4) Jumlah data pengamatan sebesar distribusi yang digunakan sebesar:  
$$E_i = \frac{\sum O_i}{\sum S_{\text{Sub}}} \dots \quad (2.20)$$
  - 5) Tiap-tiap sub grup hitung nilai :  $(O_i - E_i)$  dan  $\frac{(O_i - E_i)^2}{E_i}$

- 6) Jumlahkan seluruh G sub grup nilai  $\frac{(O_i - E_i)^2}{E_i}$
- 7) Menentukan derajat kebebasan. Rumus derajat kebebasan adalah :

$$DK = K - (R + 1) \dots \dots \dots \quad (2.21)$$

Dimana : DK = Derajat kebebasan

K = Banyaknya kelas

R = Banyak keterkaitan

(biasanya diambil R=2 untuk distribusi normal dan binomial dan R=1 untuk distribusi *Poisson* dan *Gumbel*).

Tabel 2. 5 Nilai Kritis untuk Distribusi Chi-Kuadrat

| dk | $\alpha$ derajat kepercayaan |         |        |        |        |        |
|----|------------------------------|---------|--------|--------|--------|--------|
|    | 0,99                         | 0,975   | 0,95   | 0,05   | 0,025  | 0,01   |
| 1  | 0,00016                      | 0,00098 | 0,0039 | 3,841  | 5,024  | 6,635  |
| 2  | 0,0201                       | 0,0506  | 0,103  | 5,991  | 7,378  | 9,21   |
| 3  | 0,115                        | 0,216   | 0,352  | 7,815  | 9,348  | 11,345 |
| 4  | 0,297                        | 0,484   | 0,711  | 9,488  | 11,143 | 13,277 |
| 5  | 0,554                        | 0,831   | 1,145  | 11,07  | 12,832 | 15,086 |
| 6  | 0,872                        | 1,237   | 1,635  | 12,592 | 14,449 | 16,812 |
| 7  | 1,239                        | 1,69    | 2,167  | 14,067 | 16,013 | 18,475 |
| 8  | 1,646                        | 2,18    | 2,733  | 15,507 | 17,535 | 20,09  |
| 9  | 2,088                        | 2,7     | 3,325  | 16,919 | 19,023 | 21,666 |
| 10 | 2,558                        | 3,247   | 3,94   | 18,307 | 20,483 | 23,209 |

Sumber : Soewarno, 1995

## 2. Smirnov kolmogorov

Uji Smirnov–Kolmogorov sering juga disebut uji kecocokan non parametrik (*non parametric test*) Karena pengujian tidak menggunakan fungsi distribusi tertentu.

Prosedur Uji Smirnov–Kolmogorov adalah :

- 1) Urutkan data pengamatan (dari data terbesar sampai yang terkecil atau sebaliknya) dan tentukan besarnya peluang masing-masing data tersebut.

$$X_1 = P(X_1)$$

$$X_2 = P(X_2)$$

$$X_m = P(X_m)$$

$$P(X_n) = \frac{m}{n+1} \text{ dan } P(X_m) = 1 - P(X_i) \dots \dots \dots \quad (2.22)$$

Dimana :  $P(X)$  = Peluang  
 $m$  = Nomor urut kejadian  
 $n$  = Jumlah data

- 2) Tentukan nilai masing-masing peluang teoritis dan hasil penggambaran data (persamaan distribusi).

X1 = P'(X1)

$$X_2 = P'(X_2)$$

$$X_m = P'(X_m)$$

$$X_n = P'(X_n)$$

Dimana :  $P/(X_m)$  = Peluang teoritis yang terjadi pada nomor ke- $m$  yang didapat dari tabel

X = Curah hujan harian

$\bar{X}$  = Curah hujan rata-rata

$F(t)$  = Distribusi normal standar

- 3) Tentukan selisih terbesar dari peluang pengamatan dengan peluang teoritis dari kedua nilai peluang tersebut.

- 4) Tentukan harga Do berdasarkan tabel nilai kritis Smirnov-Kolmogorov.

Berdasarkan tabel 2.6 nilai kritis *Smirnov-Kolmogorov test*, tentukan harga Do dengan ketentuan :

- Apabila  $D_{max} < D_o$ , maka distribusi teoritis yang digunakan untuk menentukan distribusi dapat diterima.
  - Apabila  $D_{max} > D_o$ , maka distribusi teoritis yang digunakan untuk menentukan distribusi tidak dapat diterima. Nilai kritis  $D_o$  bisa dilihat pada tabel 2.6.

Tabel 2. 6 Nilai Kritis Untuk *Smirnov - Kolmogorov*

| N    | $\alpha$   |            |            |            |
|------|------------|------------|------------|------------|
|      | 0,20       | 0,10       | 0,05       | 0,01       |
| 5    | 0,45       | 0,51       | 0,56       | 0,67       |
| 10   | 0,32       | 0,37       | 0,41       | 0,49       |
| 15   | 0,27       | 0,30       | 0,34       | 0,40       |
| 20   | 0,23       | 0,26       | 0,29       | 0,36       |
| 25   | 0,21       | 0,24       | 0,27       | 0,32       |
| 30   | 0,19       | 0,22       | 0,24       | 0,29       |
| 35   | 0,18       | 0,20       | 0,23       | 0,27       |
| 40   | 0,17       | 0,19       | 0,21       | 0,25       |
| 45   | 0,16       | 0,18       | 0,20       | 0,24       |
| 50   | 0,15       | 0,17       | 0,19       | 0,23       |
| N>50 | 1,07       | 1,22       | 1,36       | 1,63       |
|      | $\sqrt{n}$ | $\sqrt{n}$ | $\sqrt{n}$ | $\sqrt{n}$ |

### 2.2.3 Koefesien Pengaliran

Koefesien pengaliran merupakan perbandingan antara limpasan air hujan dengan total hujan penyebab limpasan. Koefesien pengaliran pada suatu daerah dipengaruhi oleh kondisi karakteristik sebagai berikut :

- a. Kondisi hujan
  - b. Luas dan bentuk daerah pengaliran
  - c. Kemiringan daerah aliran dan kemiringan dasar sungai
  - d. Daya infiltrasi dan perkolasasi tanah
  - e. Kebasahan tanah
  - f. Tata guna lahan

Menentukan koefesien pengaliran rata – rata dapat dihitung dengan persamaan 2.25:

$$C = \frac{A_1 C_1 + A_2 C_2 + \dots + A_n C_n}{A_{\text{total}}} \dots \quad (2.25)$$

Dimana : C = Koefesien aliran rata – rata

An = Luas Daerah pengaruh hujan ke – n ( $\text{km}^2$ )

Cn = Koefesien aliran pada tata guna lahan  
(lihat pada tabel 2.7)

A = Luas total DAS ( $\text{km}^2$ )

Tabel 2. 7 Koefesien Aliran

| Kondisi Daerah Aliran                     | Koefesien Aliran<br>(C) |   |      |
|---|-------------------------|---|------|
| - Rerumputan                              | 0,05                    | - | 0,35 |
| - Bisnis                                  | 0,50                    | - | 0,95 |
| - Perumahan                               | 0,25                    | - | 0,75 |
| - Industri                                | 0,50                    | - | 0,90 |
| - Pertamanan                              | 0,10                    | - | 0,25 |
| - Tempat Bermain                          | 0,20                    | - | 0,35 |
| - Daerah Pegunungan berlereng terjal      | 0,75                    | - | 0,90 |
| - Daerah perbukitan                       | 0,70                    | - | 0,80 |
| - Tanah bergelombang dan bersemak - semak | 0,50                    | - | 0,75 |
| - Tanah dataran yang digarap              | 0,45                    | - | 0,65 |
| - Persawahan irigasi                      | 0,70                    | - | 0,80 |
| - Sungai di daerah pegunungan             | 0,75                    | - | 0,85 |
| - Sungai kecil di dataran                 | 0,45                    | - | 0,75 |

*Subarkah, 1980*

#### 2.2.4 Intensitas Hujan

Intensitas Hujan adalah jumlah hujan yang dinyatakan dalam tinggi hujan persatuan waktu, yang tergantung dari lama hujan dan frekuensi kejadiannya, yang diperoleh dari analisa data hujan. Perhitungan intensitas hujan tergantung dari data yang tersedia. Hubungan intensitas waktu hujan yang banyak dirumuskan pada umumnya tergantung dari parameter kondisi setempat.

Bila proses pendinginan terjadi secara besar-besaran maka butir-butir air akan jatuh sebagai hujan (Presipitasi). Sebenarnya presipitasi yang terjadi dapat juga berupa salju, embun dan sebagainya. Derasnya hujan tergantung dari banyaknya uap air yang terkandung didalam udara. Pada

umumnya, semakin deras hujannya, maka semakin pendek waktunya, oleh karena itu setelah sebagian uap air mengkondesir udara semakin kering maka deras hujannya berubah dengan waktu.

Data dari alat hujan penangkar hujan manual; data hujan harian atau data hujan 24jam, menggunakan rumus yang digunakan adalah rumus *Mononobe*

$$I = \frac{R_{24}}{24} \cdot \left(\frac{24}{t}\right)^{2/3} \dots \quad (2.26)$$

Dimana:  $I$  = Intensitas Hujan (mm/jam)

$R_{24}$  = Tinggi hujan maksimum dalam 24 jam (mm)

t = Waktu hujan (jam)

Data dari alat penangkar hujan otomatis, data hujan jaman-jaman, rumus yang digunakan adalah rumus-rumus empiris:

Talbot

$$I_t = \frac{a}{t+b} \dots \quad (2.27)$$

Ishiguro

$$I_t = \frac{a}{\sqrt{t+b}} \dots \quad (2.28)$$

Sherman

$$I_t = \frac{a}{t^n} \dots \quad (2.29)$$

Dimana:  $I_t$  = Intensitas Hujan (mm/jam)

$t$  = Waktu konsentrasi (menit)

a,b = Koefisien yang dihitung dari pengolahan data hujan.

(Sumber: Suyono, 1993:32)

### 2.2.5 Waktu Konsentrasi ( $t_c$ )

Waktu konsentasi DAS adalah waktu yang diperlukan oleh butiran air untuk bergerak dari titik jatuh pada daerah pengaliran ke titik tinjauan. Jadi waktu konsentrasi ( $t_c$ ) adalah penjumlahan dari waktu yang diperlukan oleh air hujan untuk mengalir pada permukaan tanah menuju saluran terdekat ( $t_0$ ) dan waktu untuk mengalir di dalam saluran ke suatu tempat yang ditinjau ( $t_f$ ).

## Waktu Konsentrasi (tc)

Dimana:  $t_c$  = Waktu konsentrasi (jam)

$t_f$  = Waktu yang diperlukan air untuk mengalir di sepanjang channel flowing (jam)

to = Waktu yang diperlukan air hujan untuk mengalir di permukaan hingga mencapai outlet (jam)

Untuk mencari harga  $T_0$  dan  $T_f$  dipakai rumus:

- #### ○ Rumus Kirpitch

$$t_0 = 0,0195 \times \left( \frac{L_0}{\sqrt{I_0}} \right)^{0,77} \text{ untuk } L_0 > 400 \text{ m} \dots\dots\dots (2.31)$$

Dimana :  $l_0$  = Jarak titik terjauh lahan terhadap sistem saluran yang ditinjau

$I_o$  = Kemiringan rata-rata permukaan tanah ke saluran yang ditinjau

- #### ○ Rumus Kerby

$$t_o = 1,44 \left[ n x \frac{L_0}{\sqrt{I_0}} \right]^{0,467} \text{ untuk } L \leq 400 \text{ m} \dots \dots \dots (2.32)$$

Dimana :  $L_0$  = Jarak mengalirnya air hujan mengalir diatas permukaan sampai *inlet* ( m )

$I_0$  = Kemiringan rata – rata dari daerah aliran  
 $N$  = Kekerasan daerah pengaliran menurut

Kerby

- o Rumus Dr. Rizha

Dimana : L = Panjang saluran (m)

$V$  = Kecepatan di dalam saluran (m/det)

### 2.2.6 Perhitungan Debit Rencana (Or)

Metode untuk memperkirakan laju aliran permukaan puncak yang umum dipakai adalah metode Rasional USSCS (1973). Model ini sangat simpel dan mudah dalam

penggunaannya, namun penggunaannya terbatas untuk DAS-DAS dengan ukuran kecil kurang dari 300 ha. Model ini tidak dapat menerangkan hubungan curah hujan dan aliran permukaan dalam bentuk hidrograf. Persamaan metode rasional dapat dituliskan dalam persamaan 2.33:

$$Q = \frac{1}{3,6} \beta C I A \quad \dots \dots \dots \quad (2.33)$$

Dimana :   
 Qp = Debit puncak banjir ( $m^3/det$ )  
 A = Luas daerah aliran sungai (km)  
 C = Koefisien pengaliran  
 I = Intensitas curah hujan (mm/jam)

### 2.3. Analisa Hidraulika

Analisa hidrologi dalam perencanaan saluran drainase harus berdasarkan pertimbangan kapasitas tampung saluran dari tinjauan hidrolis ataupun dari elevasi kondisi lapangan. Dalam pengevaluasian kapasitas tampungan saluran dengan debit banjir ulang 5 tahun membutuhkan tinjauan hidrolis, sedangkan pada evaluasi kondisi di lapangan adalah berdasarkan pengamatan secara langsung di lapangan apakah saluran yang ada mampu atau tidak mampu untuk mengalirkan air secara langsung pada saat hujan.

#### 2.3.1. Perencanaan Dimensi Saluran

Dalam perhitungan dimensi didapat dari perhitungan hidrologi yaitu direncanakan dari perhitungan debit hidrologi. Saluran yang efisien ialah saluran yang mencukupi debit yang ada dan juga tidak terlalu besar, sehingga tidak boros dan memenuhi  $Q$  hidrologi  $\leq Q$  hidrologika.

$$Q_{\text{Hidrologika}} = V \cdot A \quad \dots \dots \dots \quad (2.34)$$

Dimana :   
 A = Luas Penampang ( $m^2$ )  
 Q = Debit ( $m^3 / dt$ )  
 V = Kecepatan rencana ( $m/dt$ )

Saluran tidak membutuhkan perencanaan ulang apabila:

$$Q_{\text{rencana}} < Q_{\text{fullbank}}$$

Saluran membutuhkan perencanaan ulang apabila :

$$Q_{rencana} > Q_{fullbank}$$

### 2.3.2. Kecepatan Aliran (V)

Rumus yang digunakan dalam perhitungan kecepatan rata-rata pada perhitungan dimensi saluran yaitu Rumus Manning. Kecepatan rata-rata dapat dihitung dengan persamaan 2.35.

$$V = \frac{1}{n} R^{2/3} I^{1/2} \dots \quad (2.35)$$

Dimana :  $V$  = Kecepatan rata-rata

n = Koefisien kekasaran Manning  
(lihat pada tabel 2.8)

R = Jari-jari Hidrolik

I = Kemiringan dari permukaan air atau  
dari gradien energy

Tabel 2. 8 Koefisien Manning dari tiap jenis material saluran

| Material Saluran                          | Koefisien Kekasaran |
|---|---------------------|
| - Plester halus                           | 0,001 - 0,013       |
| - Plester kasar                           | 0,011 - 0,015       |
| - Beton dipoles sedikit                   | 0,013 - 0,016       |
| - Beton dipoles dengan sendok kayu        | 0,011 - 0,015       |
| - Batu teratur dengan semen               | 0,015 - 0,020       |
| - Batu bata dengan semen                  | 0,012 - 0,018       |
| - Batu tidak teratur dengan semen         | 0,017 - 0,024       |
| - Pasangan batu pecah disemen             | 0,017 - 0,030       |
| - Tanah dengan sedikit tanaman pengganggu | 0,022 - 0,033       |
| - Tanah dengan banyak tanaman pengganggu  | 0,030 - 0,040       |

### 2.3.3. Kemeringan Dasar Saluran (Io)

Kemiringan dasar saluran merupakan perbandingan antara selisih elevasi dengan panjang saluran. Kemiringan dasar saluran dapat dihitung dengan persamaan 2.36.

$$I_0 = \frac{\Delta H}{L} \dots \quad (2.36)$$

| No | Jenis Material | Kemiringan Selokan (%) |
|----|----------------|------------------------|
| 1  | Tanah asli     | 0 - 5                  |
| 2  | Kerikil        | 5 - 7,5                |
| 3  | Pasangan       | 7,5                    |

#### 2.3.4. Perhitungan Full Bank Capacity

Fullbank capacity merupakan debit maksimum yang dapat dialirkan oleh penampang saluran eksisting. Besarnya debit hasil perhitungan fullbank capacity dibandingkan dengan besarnya debit rencana. Apabila debit fullback capacity < debit banjir rencana sehingga meluber. Perhitungan Debit Full Bank Capacity dapat dihitung dengan persamaan 2.37:

$$Q = A \times \frac{1}{n} \times R^{2/3} \times I^{1/2} \dots \quad (2.37)$$

Dimana:  $A$  = Luas Penampang Basah  
 $R$  = Jari-jari Hidrolis  
 $I$  = Kemiringan Saluran  
 $n$  = Koefisien Kekasarhan Manning

### 2.3.5. Perhitungan Dimensi Saluran

Bentuk penampang yang sering digunakan ada dua macam yaitu saluran segi empat dan saluran trapezium.

#### 1) Penampang Segi Empat

Pada umumnya saluran drainase berbentuk segi empat dan trapesium. Rumus yang digunakan untuk menentukan dimensi saluran segi empat adalah :

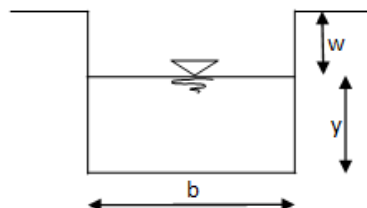
$$A = \text{Luas penampang basah saluran (m}^2\text{)} = b \times y$$

$$P = \text{Keliling basah} = b + 2y$$

$$R = \text{Jari-jari hidrolik saluran (m)} = A / P$$

$$m = 0$$

Untuk menghitung jenis penampang saluran maka dapat dilihat bentuk penampang saluran segi empat pada gambar 2.3.



Gambar 2. 3 Bentuk penampang saluran segi empat

#### 2) Penampang Trapezium

Untuk penampang saluran berbentuk trapesium rumus yang digunakan adalah :

$$A = (b + m.y) y$$

$$P = b + 2y(\sqrt{m^2 + 1})$$

$$R = A / P$$

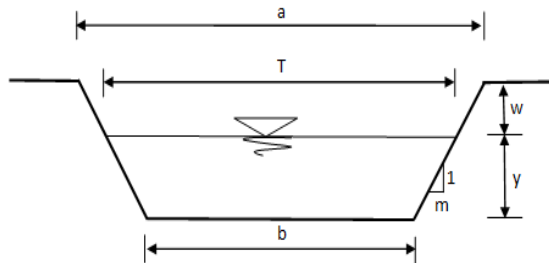
$$T = b + 2my$$

$$m = \frac{(a-b)}{2(y+w)}$$

Dimana :       $A$     = Luas penampang basah ( $m^2$ )  
 $P$     = Keliling basah (m)

- R = Jari – jari hidrolis (m)  
 a = Lebar atas saluran (m)  
 b = Lebar dasar saluran (m)  
 T = Lebat atas muka air (m)  
 y = Tinggi muka air (m)  
 w = Tinggi jagaan (m)  
 m = Kemiringan dinding saluran

Untuk menghitung jenis penampang saluran maka dapat dilihat bentuk penampang saluran trapesium pada gambar 2.4

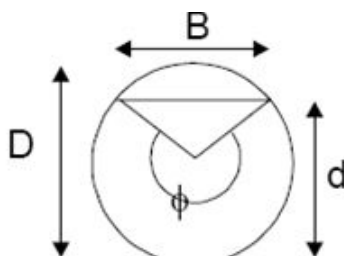


Gambar 2. 4 Bentuk penampang saluran trapezium

### 3) Penampang Saluran Lingkaran

Untuk penampang saluran berbentuk trapesium rumus yang digunakan adalah :

- $B = \text{Lebar puncak (m)} = (\sin \frac{\theta}{2}) d$   
 $A = \text{Luas penampang basah saluran (m}^2\text{)} = \frac{1}{8} \cdot (\theta - \sin \theta) \cdot d^2$   
 $P = \text{Keliling basah} = \frac{1}{2} \cdot \theta \cdot d$   
 $R = \text{Jari-jari hidrolis saluran (m)} = \frac{1}{4} \left(1 - \frac{\sin \theta}{\theta}\right) d$   
 $D = \text{Kedalaman hidraulik (m)} = \frac{A}{B}$   
 $V = \text{Kecepatan aliran (m/detik)}$   
 $\text{Aliran bebas (v)} = \frac{1}{n} R^{2/3} \cdot I^{1/2}$   
 $\text{Aliran tertekan (v)} = \sqrt{2 \cdot g \cdot h}$



Gambar 2. 5 Dimensi saluran trapesium

### 2.3.6. Profil Muka Air

- Metode tahapan langsung (*direct step method*)

$$z_1 + h_1 + \frac{v_1^2}{2g} = z_2 + h_2 + \frac{v_2^2}{2g} + h_f \dots \dots \dots (2.38)$$

Dimana :

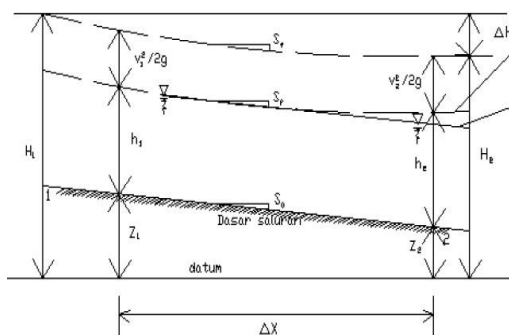
$z$  = ketinggian dasar saluran dari saluran dari garis referensi

$h$  = kedalaman air dari dasar saluran

V = kecepatan rata-rata

$g$  = percepatan gravitasi

$h_f$  = kehilangan energi karena gesekan dasar saluran



Gambar 2. 6 Profil muka air dengan metode tahapan langsung

*“Halaman ini sengaja dikosongkan”*

### BAB III METODOLOGI

Dalam bab ini akan ditulis tahapan – tahapan penyusunan Tugas Akhir yang berjudul ”Perencanaan Sistem Drainase kawasan Boezem Sumur Welut Kelurahan Sumur Welut, Surabaya Barat” sehingga dapat dicantumkan dalam bentuk flow chart gambar 3.1. Adapun tahapan penyusunan tugas akhir yaitu sebagai berikut:

#### 3.1 Persiapan

Persiapan ini sangat penting dilakukan yang meliputi pihak mana yang dapat dihubungi terkait dengan keperluan kami dalam penyusunan proyek akhir ini dan mengurus surat – surat yang diperlukan sebagai kelengkapan administrasi demi kelancaran penyusunan Tugas Akhir.

#### 3.2 Survei Lapangan

Melakukan peninjauan lapangan untuk mengetahui keadaan eksisting saluran, boezem mini, serta fasilitas lainnya yang nantinya digunakan untuk menentukan keputusan perencanaan sistem drainase kawasan Sumur Welut.

#### 3.3 Studi Literatur

Studi literatur bertujuan untuk mendapatkan dasar teori yang tepat. Studi literatur antara lain adalah :

1. Buku Perencanaan Sistem Jaringan Drainase
2. SDMP (Surabaya Drainage Master Plan)

#### 3.4 Pengumpulan Data

Adapun data yang dibutuhkan untuk keperluan penyusunan Tugas Akhir ini antara lain :

- a. Peta Topografi
- b. Data Hidrologi
- ✓ Data Hujan

Data hujan yang digunakan untuk mengetahui debit yang mengalir saluran di kawasan boezem kelurahan Sumur Welut, Surabaya Barat. Adapun yang

mempengaruhi saluran kawasan boezem Sumur Welut adalah Stasiun Penakar Curah Hujan Gunungsari, Wonokromo, dan Simo. Data curah hujan maksimum tahunan mulai tahun 1995 sampai dengan tahun 2015.

- c. Data Hidraulika
  - ✓ Eksisting Boezem

### 3.5 Pengelolaan Data

#### 3.5.1 Analisa Hidrologi

- 1) Penentuan Curah Hujan
- 2) Menghitung Curah Hujan Maksimum
- 3) Menghitung Curah Hujan Rencana
  - ✓ Metode distribusi *Normal*
  - ✓ Metode distribusi *Gumbel*
  - ✓ Metode distribusi *Log Pearson Type III*
- 4) Uji Distribusi Statistik
  - ✓ Metode Chi-Kuadrat (*Chi Square*)
  - ✓ Metode *Smirnov-Kolmogorov*
- 5) Menentukan Koefesien Pengaliran
- 6) Menghitung Debit Rencana

#### 3.5.5 Analisa Hidraulika

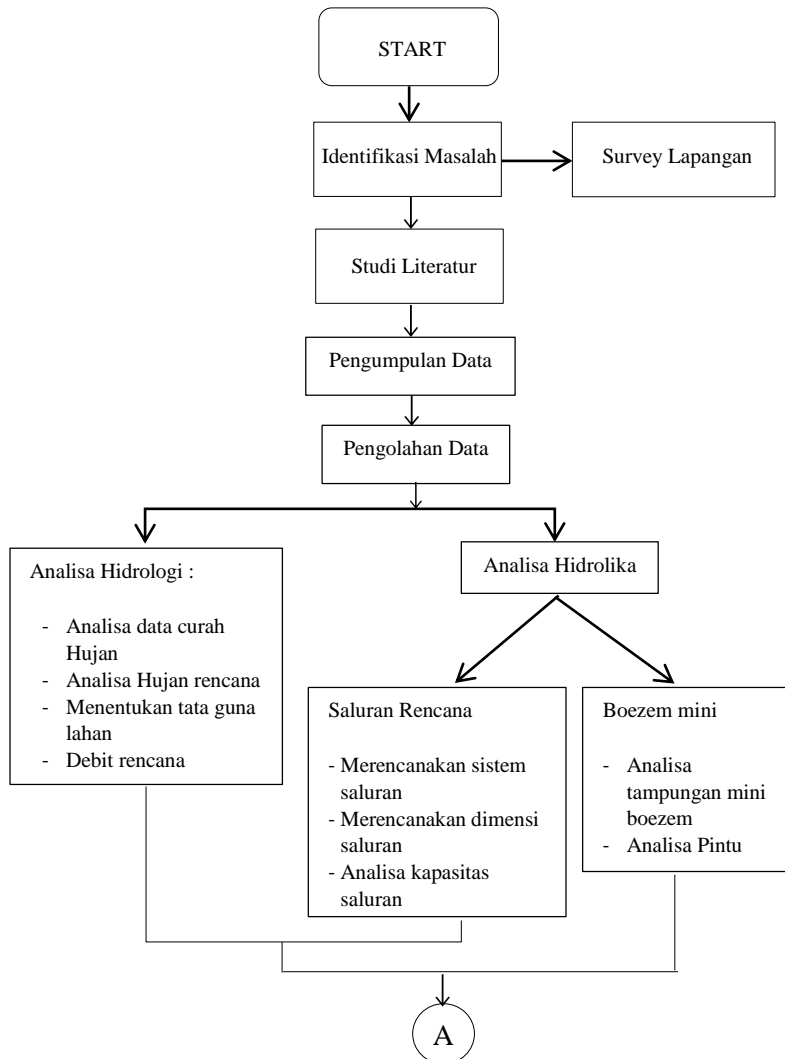
- 1) Merencanakan Sistem Drainase
- 2) Menghitung kapasitas saluran Sistem Drainase
- 3) Menghitung kapasitas tumpungan boezem eksisting

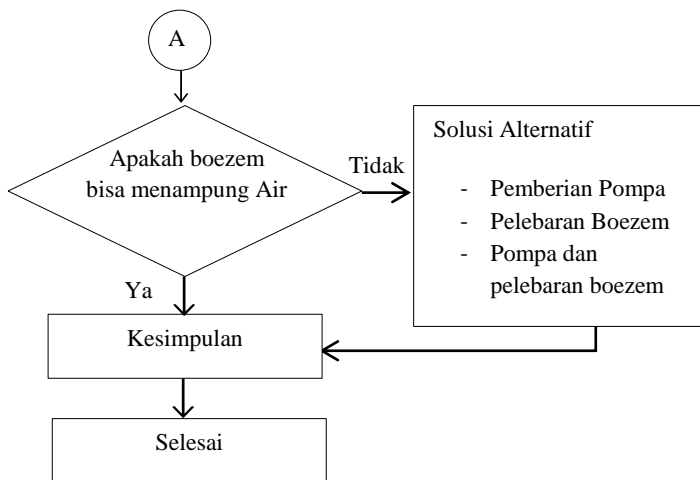
### 3.6 Hasil dan Kesimpulan

Hasil yang diharapkan adalah perencanaan sistem drainase kawasan boezem Sumur Welut bisa menampung air dengan debit rencana yang ditentukan. Dan pada boezem juga bisa menampung air dari sistem saluran drainase walaupun ada penambahan fasilitas nantinya.

### 3.7 Diagram Alir

Tahap – tahap pengerjaan tugas akhir dapat dilihat pada gambar 3.1





Gambar 3. 1 Diagram Alir penggerjaan Tugas Akhir

## BAB IV

### HASIL DAN PEMBAHASAN

#### 4.1 ANALISA HIDROLOGI

##### 4.1.1 Data Curah Hujan

Untuk analisa hidrologi dibutuhkan data hujan pada kawasan yang ditinjau sehingga memerlukan satu atau beberapa stasiun hujan. Ada tiga stasiun hujan yang digunakan yaitu stasiun Wonokromo, stasiun Gunungsari, dan stasiun Simo. Dalam menganalisa stasiun hujan ada 3 cara yang sering digunakan untuk mengubah data hujan tersebut yaitu Aritmatika, Polygon Thiesen, dan Ishoyet.

Ditinjau dari stasiun hujan yang cukup, maka digunakan cara Polygon Thiesen untuk mencari stasiun yang berpengaruh di kawasan boezem Sumur Welut. Data curah hujan selama 16 tahun (2000-2015) yang digunakan adalah data curah hujan dari stasiun pengamatan. Stasiun hujan yang berpengaruh yaitu Stasiun Gunungsari Pada tabel 4.1.

Tabel 4.1 Data Stasiun Hujan Gunung Sari

| No | Tahun | Stasiun Hujan |             | No | Tahun | Stasiun Hujan |             |
|----|-------|---------------|-------------|----|-------|---------------|-------------|
|    |       | (mm)          | Gunung Sari |    |       | (mm)          | Gunung Sari |
| 1  | 2000  | 100           |             | 9  | 2008  | 81            |             |
| 2  | 2001  | 95            |             | 10 | 2009  | 78            |             |
| 3  | 2002  | 113           |             | 11 | 2010  | 114           |             |
| 4  | 2003  | 98            |             | 12 | 2011  | 102           |             |
| 5  | 2004  | 103           |             | 13 | 2012  | 102           |             |
| 6  | 2005  | 114           |             | 14 | 2013  | 97            |             |
| 7  | 2006  | 110           |             | 15 | 2014  | 86            |             |
| 8  | 2007  | 96            |             | 16 | 2015  | 70            |             |

(Sumber: Dinas PU Pengairan Provinsi Jawa Timur)

#### 4.1.2 Curah Hujan Rencana

Curah hujan rencana digunakan untuk mendapatkan besaran hujan rencana pada setiap periode ulang yang diinginkan. Periode ulang yang diinginkan akan menunjukkan tingkat layanan dari sistem drainase yang direncanakan. Dalam menganalisis hujan rencana digunakan distribusi Normal, distribusi Gumbel, dan distribusi Log Person III. Dapat dilihat pada tabel 4.2.

Tabel 4. 2 Perhitungan Curah Hujan Harian Rata - rata

| No           | Tahun | Stasiun Hujan (mm) |  |
|--------------|-------|--------------------|--|
|              |       | Gunung Sari        |  |
| 1            | 2000  | 100                |  |
| 2            | 2001  | 95                 |  |
| 3            | 2002  | 113                |  |
| 4            | 2003  | 98                 |  |
| 5            | 2004  | 103                |  |
| 6            | 2005  | 114                |  |
| 7            | 2006  | 110                |  |
| 8            | 2007  | 96                 |  |
| 9            | 2008  | 81                 |  |
| 10           | 2009  | 78                 |  |
| 11           | 2010  | 114                |  |
| 12           | 2011  | 102                |  |
| 13           | 2012  | 102                |  |
| 14           | 2013  | 97                 |  |
| 15           | 2014  | 86                 |  |
| 16           | 2015  | 70                 |  |
| CH rata-rata |       | 97,44              |  |
| CH maksimum  |       | 114                |  |
| CH Minimum   |       | 70                 |  |

(Sumber: Hasil Perhitungan)

### 1.1.3 Analisa Frekuensi

Analisa frekuensi terhadap data curah hujan diperlukan untuk menentukan jenis sebaran (Distrbusi) yang akan dipakai menghitung curah hujan rencana. Perhitungan analisa frekuensi curah hujan selengkapnya dapat dilihat pada tabel 4.3 dan tabel 4.4 berikut ini.

Tabel 4. 3 Analisa Frekuensi Distribusi Hujan

| No               | Tahun | $X_i$<br>(mm) | $X_i - \bar{X}$<br>mm | $(X_i - \bar{X})^2$<br>mm <sup>2</sup> | $(X_i - \bar{X})^3$<br>mm <sup>3</sup> | $(X_i - \bar{X})^4$<br>mm <sup>4</sup> |
|------------------|-------|---------------|-----------------------|--|--|--|
| 1                | 2000  | 100           | 2,56                  | 6,57                                   | 16,83                                  | 43,12                                  |
| 2                | 2001  | 95            | -2,44                 | 5,94                                   | -14,48                                 | 35,30                                  |
| 3                | 2002  | 113           | 15,56                 | 242,19                                 | 3769,10                                | 58656,68                               |
| 4                | 2003  | 98            | 0,56                  | 0,32                                   | 0,18                                   | 0,10                                   |
| 5                | 2004  | 103           | 5,56                  | 30,94                                  | 172,11                                 | 957,37                                 |
| 6                | 2005  | 114           | 16,56                 | 274,32                                 | 4543,37                                | 75249,49                               |
| 7                | 2006  | 110           | 12,56                 | 157,82                                 | 1982,57                                | 24906,02                               |
| 8                | 2007  | 96            | -1,44                 | 2,07                                   | -2,97                                  | 4,27                                   |
| 9                | 2008  | 81            | -16,44                | 270,19                                 | -4441,27                               | 73003,40                               |
| 10               | 2009  | 78            | -19,44                | 377,82                                 | -7343,81                               | 142745,24                              |
| 11               | 2010  | 114           | 16,56                 | 274,32                                 | 4543,37                                | 75249,49                               |
| 12               | 2011  | 102           | 4,56                  | 20,82                                  | 94,97                                  | 433,32                                 |
| 13               | 2012  | 102           | 4,56                  | 20,82                                  | 94,97                                  | 433,32                                 |
| 14               | 2013  | 97            | -0,44                 | 0,19                                   | -0,08                                  | 0,04                                   |
| 15               | 2014  | 86            | -11,44                | 130,82                                 | -1496,21                               | 17112,93                               |
| 16               | 2015  | 70            | -27,44                | 752,82                                 | -20655,40                              | 566732,54                              |
| <b>Jumlah</b>    |       | <b>1559</b>   | <b>0,000</b>          | <b>2567,94</b>                         | <b>-18736,76</b>                       | <b>1035562,62</b>                      |
| <b>Rata-Rata</b> |       | <b>97,44</b>  |                       |  |  |  |

(Sumber: Hasil Perhitungan)

Dari Hasil perhitungan tabel 4.3 selanjutnya ditentukan jenis sebaran yang sesuai, dalam penentuan jenis sebaran diperlukan perhitungan sebagai berikut :

- Deviasi Standart

Untuk perhitungan deviasi standar dapat dihitung dengan menggunakan rumus :

$$\begin{aligned} Sr &= \sqrt{\frac{\sum_{i=1}^n (X_i - \bar{X})^2}{n-1}} \\ &= \sqrt{\frac{2567,94}{16-1}} \\ &= 13,08 \end{aligned}$$

- Koefesien Variasi (*Coefisien Variation*) :

$$\begin{aligned} Cv &= \frac{Sr}{\bar{X}} \\ &= \frac{13,08}{97,44} \\ &= 0,13 \end{aligned}$$

- Koefesien Kemencengan (*Coefisien Of Skewness*) :

$$\begin{aligned} Cs &= \frac{\frac{n}{(n-1)(n-2)} \sum_{i=1}^n (X_i - \bar{X})^3}{Sr^3} \\ &= \frac{\frac{16}{(16-1)(16-2)} (-18736,76)}{(13,08)^3} \\ &= \frac{-1427,56}{2239,96} \\ &= -0,64 \end{aligned}$$

- Koefesien Ketajaman (*Coefisien Of Kurtosis*) :

$$\begin{aligned} Ck &= \frac{n^2}{(n-1)(n-2)(n-3) Sr^4} \sum_{i=1}^n (X_i - \bar{X})^4 \\ &= \frac{16^2}{(16-1)(16-2)(16-3) (13,08)^4} (1035562,62) \\ &= 3,31 \end{aligned}$$

Tabel 4. 4 Analisa Frekuensi Distribusi Log (Y)

| No        | Tahun | $X_i$<br>(mm) | $Y_i$ | $Y_i - Y$ | $(Y_i - Y)^2$ | $(Y_i - Y)^3$ | $(Y_i - Y)^4$ |
|-----------|-------|---------------|-------|-----------|---------------|---------------|---------------|
| 1         | 1999  | 100           | 2,00  | 0,02      | 0,00023       | 0,000000353   | 0,000000005   |
| 2         | 2000  | 95            | 1,98  | -0,01     | 0,00005       | -0,00000035   | 0,000000000   |
| 3         | 2001  | 113           | 2,05  | 0,07      | 0,00466       | 0,00031858    | 0,00002176    |
| 4         | 2002  | 98            | 1,99  | 0,01      | 0,00004       | 0,000000027   | 0,000000000   |
| 5         | 2003  | 103           | 2,01  | 0,03      | 0,00079       | 0,00002209    | 0,00000062    |
| 6         | 2004  | 114           | 2,06  | 0,07      | 0,00520       | 0,00037519    | 0,00002706    |
| 7         | 2005  | 110           | 2,04  | 0,06      | 0,00320       | 0,00018144    | 0,00001027    |
| 8         | 2006  | 96            | 1,98  | 0,00      | 0,00001       | -0,000000002  | 0,000000000   |
| 9         | 2007  | 81            | 1,91  | -0,08     | 0,00582       | -0,00044412   | 0,00003388    |
| 10        | 2008  | 78            | 1,89  | -0,09     | 0,00859       | -0,00079623   | 0,00007380    |
| 11        | 2009  | 114           | 2,06  | 0,07      | 0,00520       | 0,00037519    | 0,00002706    |
| 12        | 2010  | 102           | 2,01  | 0,02      | 0,00057       | 0,00001351    | 0,00000032    |
| 13        | 2011  | 102           | 2,01  | 0,02      | 0,00057       | 0,00001351    | 0,00000032    |
| 14        | 2012  | 97            | 1,99  | 0,00      | 0,00000       | 0,000000001   | 0,000000000   |
| 15        | 2013  | 86            | 1,93  | -0,05     | 0,00253       | -0,00012713   | 0,00000639    |
| 16        | 2014  | 70            | 1,85  | -0,14     | 0,01951       | -0,00272537   | 0,00038069    |
| Jumlah    |       | 1559          | 31,76 | 0,00      | 0,05698       | -0,00278990   | 0,00058223    |
| Rata-rata |       | 97,44         | 1,98  |           |               |               |               |

(Sumber: Hasil Perhitungan)

Dari Hasil perhitungan tabel 4.4 selanjutnya ditentukan jenis sebaran yang sesuai, dalam penentuan jenis sebaran diperlukan perhitungan sebagai berikut :

- Deviasi Standart

Untuk perhitungan deviasi standar dapat dihitung dengan menggunakan rumus :

$$\begin{aligned}
 Sr &= \sqrt{\frac{\sum_{i=1}^n (X_i - \bar{X})}{n-1}} \\
 &= \sqrt{\frac{0,05698}{16-1}} \\
 &= 0,06
 \end{aligned}$$

- Koefesien Variasi (*Coefisien Variation*) :

$$\begin{aligned} Cv &= \frac{Sr}{\bar{X}} \\ &= \frac{0,06}{1,98} \\ &= 0,03 \end{aligned}$$

- Koefesien Kemencengan (*Coefisien Of Skewness*) :

$$\begin{aligned} Cs &= \frac{\frac{n}{(n-1)(n-2)} \sum_{i=1}^n (Xi - \bar{X})^3}{Sr^3} \\ &= \frac{\frac{16}{(16-1)(16-2)} (-0,0027899)}{(0,06)^3} \\ &= \frac{-0,0002}{0,000234} \\ &= -0,908 \end{aligned}$$

- Koefesien Ketajaman (*Coefisien Of Kurtosis*) :

$$\begin{aligned} Ck &= \frac{n^2}{(n-1)(n-2)(n-3) Sr^4} \sum_{i=1}^n (Xi - \bar{X})^4 \\ &= \frac{16^2}{(16-1)(16-2)(16-3) (0,06)^4} (0,0005822) \\ &= 3,78 \end{aligned}$$

#### 4.1.4 Pemilihan Jenis Distribusi

Dalam Statistik terdapat beberapa jenis sebaran (Distribusi), namun yang sering digunakan dalam hidrologi adalah :

1. Metode Distribusi Normal
2. Metode Distribusi Gumbel
3. Metode Distribusi Log Person III

Berikut adalah perbandingan syarat – syarat distribusi dan hasil perhitungan analisa frekuensi Curah Hujan. Lihat pada tabel 4.5.

Tabel 4.5 Parameter Statistik untuk menentukan Jenis Distribusi

| Jenis Distribusi | Syarat                   | Hasil          |
|------------------|--------------------------|----------------|
| Normal           | $C_s \approx 0$          | $C_s = -0,64$  |
|                  | $C_k \approx 3$          | $C_k = 3,31$   |
| Gumbel           | $C_s \leq 1,1396$        | $C_s = -0,64$  |
|                  | $C_k \leq 5,4002$        | $C_k = 3,31$   |
| Log person III   | $C_s = \text{fleksibel}$ | $C_s = -0,908$ |
|                  | $C_k = \text{fleksibel}$ | $C_k = 3,78$   |

(Sumber: Hasil Perhitungan)

Berdasarkan tabel 4.5, maka dapat disimpulkan bahwa jenis distribusi yang memenuhi syarat yaitu Distribusi Gumbel dan Distribusi Log Person III.

#### 4.1.5 Uji Kecocokan Distribusi

Perhitungan uji kecocokan dengan menggunakan data hujan yang tersedia merupakan cara dalam menentukan distribusi yang dipakai. Perhitungan uji kecocokan harus dilakukan karena masing-masing perhitungan distribusi hujan memiliki sifat statistik yang berbeda-beda. Pemilihan distribusi yang tidak tepat mengakibatkan kesalahan perkiraan yang mungkin cukup besar baik *over estimated* maupun *under estimated*. Parameter uji kecocokan yang sering dipakai adalah metode Chi-Kuadrat dan metode Smirnov-Kolmogorov.

##### 4.1.5.1 Uji Chi – Kuadrat (*Chi Square*)

Uji Chi-Kuadrat untuk menentukan apakah persamaan distribusi peluang yang dipilih dapat mewakili dari distribusi statistik sampel data yang di analisis. Pengambilan keputusan uji ini disebut dengan Uji Chi-Kuadrat karena menggunakan parameter  $\chi^2$

Chi-Kuadrat dapat dihitung dengan rumus persamaan 2.19

Interpretasi hasilnya adalah:

- 1) Apabila peluang lebih dari 5%, maka persamaan distribusi teoritis yang digunakan dapat diterima;
- 2) Apabila peluang lebih kecil 1%, maka persamaan distribusi teoritis yang digunakan tidak dapat diterima;
- 3) Apabila peluang berada diantara 1-5% adalah tidak mungkin mengambil keputusan, misal perlu tambah data.

Perhitungan Chi-Kuadrat:

|                                    |                     |
|------------------------------------|---------------------|
| Banyaknya data                     | = 16                |
| Jumlah Sub Kelompok                | = $1 + 1,37 \ln 16$ |
|                                    | = 4,80 ≈ 5          |
| Taraf Signifikan                   | = 5%                |
| Derajat Kebebasan                  | = $5 - 2 - 1 = 2$   |
| Nilai Chi – Kuadrat ( $\chi^2_h$ ) | = 5,991             |

- Chi-Kuadrat untuk Distribusi Gumbel

Besarnya peluang untuk tiap sub grup adalah sebagai berikut:

|            |               |
|------------|---------------|
| Sub Grup 1 | $P \leq 20\%$ |
| Sub Grup 2 | $P \leq 40\%$ |
| Sub Grup 3 | $P \leq 60\%$ |
| Sub Grup 4 | $P \leq 80\%$ |
| Sub Grup 5 | $P > 80\%$    |

Menghitung interval kelas

Jumlah data ( $n$ ) = 16, maka didapatkan nilai:

$$S_n = 1,0294$$

$$Y_n = 0,5150$$

Mencari nilai T :

$$P = 20\% \text{ diperoleh } T = \frac{1}{P} = \frac{1}{0,20} = 5 \text{ tahun}$$

$$P = 40\% \text{ diperoleh } T = \frac{1}{P} = \frac{1}{0,40} = 2,5 \text{ tahun}$$

$$P = 60\% \text{ diperoleh } T = \frac{1}{P} = \frac{1}{0,60} = 1,67 \text{ tahun}$$

$$P = 80\% \text{ diperoleh } T = \frac{1}{P} = \frac{1}{0,80} = 1,25 \text{ tahun}$$

Menghitung nilai k :

$$\begin{aligned} Y_t &= -\ln\left(-\ln\frac{Tr(x)-1}{Tr(x)}\right) \\ k &= \frac{Y_t - Y_n}{S_n} = \frac{Y_t - 0,5150}{1,0294} \end{aligned}$$

Sehingga :

$$T = 5 \text{ tahun} ; \quad Y_t = 1,4999 \quad k = 0,9568$$

$$T = 2,5 \text{ tahun} ; \quad Y_t = 0,6717 \quad k = 0,1523$$

$$T = 1,67 \text{ tahun} ; \quad Y_t = 0,0907 \quad k = -0,4122$$

$$T = 1,25 \text{ tahun} ; \quad Y_t = -0,4759 \quad k = -0,9626$$

Nilai  $\bar{X} = 97,44 \text{ mm}$

Nilai  $S_r = 13,08$

Maka Interval Kelas :

$$\begin{aligned} X_T &= \bar{X} + S_r \times k \\ &= 97,44 + 13,08 \times k \end{aligned}$$

Sehingga hasil perhitungan Interval kelas selengkapnya dapat dilihat pada tabel 4.6

Tabel 4.6 Curah Hujan Pada setiap Sub Kelompok

| P   | X <sub>rt</sub> | k      | S <sub>r</sub> | X <sub>t</sub> |
|-----|-----------------|--------|----------------|----------------|
| 0,8 | 97,44           | 0,9568 | 13,08          | 109,96         |
| 0,6 | 97,44           | 0,1523 | 13,08          | 99,43          |
| 0,4 | 97,44           | -0,412 | 13,08          | 92,01          |
| 0,2 | 97,44           | -0,963 | 13,08          | 84,84          |

(Sumber: Hasil Perhitungan)

Setelah menentukan Interval setiap sub kelompok maka dapat ditentukan jumlah Oi masing – masing kelompok dengan meninjau data Curah Hujan pada tabel 4.3. kemudian menghitung Nilai Chi – Kuadrat ( $\chi^2_h$ ).

Contoh Perhitungan:

$$\text{Interval} \quad R < 84,84$$

$$N = 16$$

$$O_i = 3 \text{ (ditinjau pada tabel 4.3)}$$

$$E_i = \frac{N}{\text{Jumlah Sub Kelompok}} \\ = \frac{16}{3} \\ = 3,2$$

$$\chi^2_h = \frac{(o_i - E_i)^2}{E_i} \\ = \frac{(3 - 3,2)^2}{3,2} \\ = 0,013$$

Hasil perhitungan selengkapnya dapat dilihat pada tabel 4.7

Tabel 4. 7 Perhitungan Uji Chi – Kuadrat Distribusi Gumbel

| No     | Interval     | Jumlah data    |                | O <sub>i</sub> -E <sub>i</sub> | $\frac{(O_i - E_i)^2}{E_i}$ |
|--------|--------------|----------------|----------------|--------------------------------|-----------------------------|
|        |              | O <sub>i</sub> | E <sub>i</sub> |                                |                             |
| 1      | x ≤          | 109,96         | 4              | 3,2                            | 0,8                         |
| 2      | 109,96 < x ≤ | 99,43          | 4              | 3,2                            | 0,8                         |
| 3      | 99,43 < x ≤  | 92,01          | 4              | 3,2                            | 0,8                         |
| 4      | 92,01 < x ≤  | 84,84          | 1              | 3,2                            | -2,2                        |
| 5      | >x           |                | 3              | 3,2                            | -0,2                        |
| Jumlah |              | 16             | 20             | 0                              | 2,125                       |

(Sumber: Hasil Perhitungan)

$$\text{Hitungan Chi Kuadrat } (\chi^2_h) = 2,125$$

$$\text{Derajat kebebasan (Dk)} = 2,0$$

$$\text{Derajat Signifikan } (\alpha) = 5\%$$

$$\text{Tingkat Kepercayaan} = 95\%$$

$$\text{Chi Kritis} = 5,991 \text{ (dari Tabel 2.5)}$$

Dari perhitungan Chi – Kuadrat pada curah hujan dengan metode distribusi Gumbel seperti pada tabel 4.7 diperoleh nilai

Chi – Kuadrat hitung sebesar 2,125 dan derajat kebebasan (dk) = 2 diperoleh nilai Chi kritis sebesar = 5,991, sehingga :

$$\chi^2 h_{\text{hitungan}} = 2,125 < \chi^2 h_{\text{teoritis}} = 5,991 \rightarrow \text{perhitungan diterima}$$

- Chi-Kuadrat untuk Distribusi *Log Pearson III*

Besanya peluang untuk tiap sub grup adalah sebagai berikut:

|            |               |
|------------|---------------|
| Sub Grup 1 | $P \leq 0,20$ |
| Sub Grup 2 | $P \leq 0,40$ |
| Sub Grup 3 | $P \leq 0,60$ |
| Sub Grup 4 | $P \leq 0,80$ |
| Sub Grup 5 | $P > 0,80$    |

Menghitung interval kelas

Diketahui pada tabel 4.4 :

$$\begin{aligned} Sr \log X &= 0,06 \\ Cs &= -0,908 \end{aligned}$$

Mencari nilai T :

$$P = 20\% \text{ diperoleh } T = \frac{1}{P} = \frac{1}{0,20} = 5 \text{ tahun}$$

$$P = 40\% \text{ diperoleh } T = \frac{1}{P} = \frac{1}{0,40} = 2,5 \text{ tahun}$$

$$P = 60\% \text{ diperoleh } T = \frac{1}{P} = \frac{1}{0,60} = 1,67 \text{ tahun}$$

$$P = 80\% \text{ diperoleh } T = \frac{1}{P} = \frac{1}{0,80} = 1,25 \text{ tahun}$$

Menghitung nilai k :

Nilai K dihitung berdasarkan nilai Cs = -0,908 dan nilai T untuk berbagai periode ulang (lihat tabel 2.3) sehingga didapat perhitungan seperti tabel 4.8.

Tabel 4.8 Perhitungan nilai K

| Cs     | Periode (tahun) |         |         |       |        |       |
|--------|-----------------|---------|---------|-------|--------|-------|
|        | 1,0101          | 1,25    | 1,67    | 2     | 2,5    | 5     |
|        | Peluang (%)     |         |         |       |        |       |
|        | 99              | 80      | 40      | 50    | 40     | 20    |
| -0,8   | -2,891          | -0,780  | -0,2693 | 0,132 | 0,2527 | 0,856 |
| -0,908 | -2,962          | -0,7681 | -0,2544 | 0,149 | 0,267  | 0,854 |
| -1,00  | -3,022          | -0,758  | -0,2417 | 0,164 | 0,2787 | 0,852 |

(Sumber: Hasil Perhitungan)

Sehingga :

$$T = 5 \text{ tahun} ; \quad k = 0,8538$$

$$T = 2,5 \text{ tahun}; \quad k = 0,2667$$

$$T = 1,67 \text{ tahun}; \quad k = -0,2544$$

$$T = 1,25 \text{ tahun}; \quad k = -0,7681$$

Nilai  $\log \bar{X} = 1,985$

Nilai  $Sr \log X = 0,06$

Maka Interval Kelas :

$$\begin{aligned} \log X_T &= \log \bar{X} + Sr \log X \times k \\ &= 1,97 + 0,06 \times k \end{aligned}$$

Hasil perhitungan selengkapnya dapat dilihat pada tabel 4.9

Tabel 4.9 Curah Hujan Pada setiap Sub Kelompok

| P   | $\log \bar{X}$ | k       | $Sr \log X$ | $\log X_t$ |
|-----|----------------|---------|-------------|------------|
| 0,8 | 1,98           | 0,8538  | 0,06        | 2,037      |
| 0,6 | 1,98           | 0,2667  | 0,06        | 2,001      |
| 0,4 | 1,98           | -0,2544 | 0,06        | 1,969      |
| 0,2 | 1,98           | -0,7681 | 0,06        | 1,937      |

(Sumber: Hasil Perhitungan)

Setelah menentukan Interval setiap sub kelompok maka dapat ditentukan jumlah  $O_i$  masing – masing kelompok dengan meninjau data Curah Hujan pada tabel 4.3. Kemudian menghitung Nilai Chi – Kuadrat ( $\chi^2 h$ ).

Contoh Perhitungan:

$$\begin{aligned}
 \text{Interval} & \quad 2,037 < X \leq 2,001 \\
 N & = 16 \\
 O_i & = 3 \text{ (ditinjau pada tabel 4.4)} \\
 E_i & = \frac{N}{\text{Jumlah Sub Kelompok}} \\
 & = \frac{16}{5} = 3,2 \\
 \chi^2_h & = \frac{(3-3,2)^2}{3,2} = 0,013
 \end{aligned}$$

Hasil perhitungan selengkanya dapat dilihat pada tabel 4.10

Tabel 4.10 Perhitungan Uji Chi – Kuadrat Distribusi Log Pearson III

| No     | Sub kelompok      | Interval | Jumlah data    |                | O <sub>i</sub> -E <sub>i</sub> | $\frac{(O_i - E_i)^2}{E_i}$ |
|--------|-------------------|----------|----------------|----------------|--------------------------------|-----------------------------|
|        |                   |          | O <sub>i</sub> | E <sub>i</sub> |                                |                             |
| 1      | x ≤ 2,037         |          | 4              | 3,2            | 0,8                            | 0,200                       |
| 2      | 2,037 < x ≤ 2,001 |          | 3              | 3,2            | -0,2                           | 0,013                       |
| 3      | 2,001 < x ≤ 1,969 |          | 5              | 3,2            | 1,8                            | 1,013                       |
| 4      | 1,969 < x ≤ 1,937 |          | 0              | 3,2            | -3,2                           | 3,200                       |
| 5      | 1,937 < x         |          | 4              | 3,2            | 0,8                            | 0,200                       |
| Jumlah |                   |          | 16             | 16             | 0                              | 4,63                        |

(Sumber: Hasil Perhitungan)

$$\begin{aligned}
 \text{Hitungan Chi Kuadrat } (\chi^2_h) & = 4,63 \\
 \text{Derajat kebebasan (Dk)} & = 2,0 \\
 \text{Derajat Signifikan } (\alpha) & = 5\% \\
 \text{Tingkat Kepercayaan} & = 95\% \\
 \text{Chi Kritis} & = 5,991 \text{ (dari Tabel 2.5)}
 \end{aligned}$$

Dari perhitungan Chi – Kuadrat pada curah hujan dengan metode distribusi Gumbel seperti pada tabel 4.10 diperoleh nilai Chi – Kuadrat hitungan sebesar 4,63 dan derajat kebebasan (dk) = 2 diperoleh nilai Chi kritis sebesar = 5,991, sehingga :

$$\chi^2_h \text{ hitungan} = 4,63 < \chi^2_h \text{ teoritis} = 5,991 \rightarrow \text{perhitungan diterima}$$

#### 4.1.5.2 Uji Smirnov – Kolmogorov

- Uji Smirnov – kolmogorov untuk Distribusi Gumbel diketahui pada tabel 4.3 :

$$\begin{aligned} N &= 16 \\ \bar{X} &= 97,44 \\ S_r &= 13,08 \end{aligned}$$

Dimana :

$$\begin{aligned} N &= \text{Jumlah data Hujan} \\ S_n &= \text{Standart Deviasi} \\ \bar{X} &= \text{Curah Hujan rata – rata (mm)} \\ X &= \text{Curah Hujan (mm)} \end{aligned}$$

Sehingga bisa dihitung :

Pada  $m = 1$

$$\begin{aligned} P(x) &= \frac{m}{n+1} \\ &= \frac{1}{16+1} \\ &= 0,059 \end{aligned}$$

$$\begin{aligned} P(x<) &= 1 - P(x) \\ &= 1 - 0,059 \\ &= 0,941 \end{aligned}$$

$$\begin{aligned} F(t) &= \frac{Xi - \bar{X}}{S_r} \\ &= \frac{(114 - 97,44)}{13,08} \\ &= 1,2658 \approx 1,27 \end{aligned}$$

$$\begin{aligned} P'(x<) &= \text{di dapat pada tabel wilayah Luas di bawah kurva Normal} \\ &= 0,898 \end{aligned}$$

$$\begin{aligned} P'(x) &= 1 - P'(x<) \\ &= 1 - 0,898 = 0,102 \end{aligned}$$

$$\begin{aligned} D_x &= P(x) - P'(x) \\ &= 0,059 - 0,102 \\ &= -0,043 \end{aligned}$$

Hasil perhitungan selengkapnya dapat dilihat pada tabel 4.11

Tabel 4.11 Perhitungan Uji Smirnov – Kolmogorov Untuk Distribusi Gumbel

| m  | X <sub>i</sub> | X- $\bar{X}$ | P(x)  | P(x<) | f(t)  | P'(x<) | P'(x)            | D      |
|----|----------------|--------------|-------|-------|-------|--------|------------------|--------|
| 1  | 114,00         | 16,56        | 0,059 | 0,941 | 1,27  | 0,102  | 0,8980           | -0,043 |
| 2  | 114,00         | 16,56        | 0,118 | 0,882 | 1,27  | 0,102  | 0,8980           | 0,016  |
| 3  | 113,00         | 15,56        | 0,176 | 0,824 | 1,19  | 0,117  | 0,8830           | 0,059  |
| 4  | 110,00         | 12,56        | 0,235 | 0,765 | 0,96  | 0,169  | 0,8315           | 0,067  |
| 5  | 103,00         | 5,56         | 0,294 | 0,706 | 0,43  | 0,334  | 0,6664           | -0,039 |
| 6  | 102,00         | 4,56         | 0,353 | 0,647 | 0,35  | 0,363  | 0,6368           | -0,010 |
| 7  | 102,00         | 4,56         | 0,412 | 0,588 | 0,35  | 0,363  | 0,6368           | 0,049  |
| 8  | 100,00         | 2,56         | 0,471 | 0,529 | 0,20  | 0,421  | 0,5793           | 0,050  |
| 9  | 98,00          | 0,56         | 0,529 | 0,471 | 0,04  | 0,484  | 0,5160           | 0,045  |
| 10 | 97,00          | -0,44        | 0,588 | 0,412 | -0,03 | 0,512  | 0,4880           | 0,076  |
| 11 | 96,00          | -1,44        | 0,647 | 0,353 | -0,11 | 0,544  | 0,4562           | 0,103  |
| 12 | 95,00          | -2,44        | 0,706 | 0,294 | -0,19 | 0,575  | 0,4247           | 0,131  |
| 13 | 86,00          | -11,44       | 0,765 | 0,235 | -0,87 | 0,808  | 0,1922           | -0,043 |
| 14 | 81,00          | -16,44       | 0,824 | 0,176 | -1,26 | 0,896  | 0,1038           | -0,073 |
| 15 | 78,00          | -19,44       | 0,882 | 0,118 | -1,49 | 0,932  | 0,0681           | -0,050 |
| 16 | 70,00          | -27,44       | 0,941 | 0,059 | -2,10 | 0,982  | 0,0179           | -0,041 |
|    |                |              |       |       |       |        | D <sub>max</sub> | 0,131  |

(Sumber: Hasil Perhitungan)

Dari perhitungan nilai D pada Tabel 4.11, menunjukkan nilai  $D_{\text{max}} = 0,131$ , data pada peringkat m= 12. Dengan menggunakan data pada Tabel 2.6 untuk derajat kepercayaan 5 %, maka diperoleh  $D_0 = 0,34$ . Karena nilai  $D_{\text{max}} = 0,131 < D_0$  kritis = 0,34 , maka persamaan distribusi gumbel yang diperoleh dapat diterima.

- Uji Smirnov – kolmogorov untuk Distribusi *Log Person III*

Diketahui pada tabel 4.4 :

$$\begin{aligned} N &= 16 \\ \bar{X} &= 1,985 \text{ mm} \\ S_r &= 0,06 \end{aligned}$$

Dimana :

$$\begin{aligned} N &= \text{Jumlah data Hujan} \\ S_n &= \text{Standart Deviasi} \\ \bar{X} &= \text{Curah Hujan rata – rata (mm)} \\ X &= \text{Curah Hujan (mm)} \end{aligned}$$

Sehingga bisa dihitung :

Pada  $m = 1$

$$\begin{aligned} P(x) &= \frac{m}{n+1} \\ &= \frac{1}{16+1} \\ &= 0,059 \end{aligned}$$

$$\begin{aligned} P(x<) &= 1 - P(x) \\ &= 1 - 0,059 \\ &= 0,941 \end{aligned}$$

$$\begin{aligned} F(t) &= \frac{X_i - \bar{X}}{S_r} \\ &= \frac{(2,06 - 1,985)}{0,06} \\ &= 1,17 \end{aligned}$$

$P'(x<)$  = di dapat pada tabel wilayah Luas di bawah kurva  
Normal

$$= 0,879$$

$$\begin{aligned} P'(x) &= 1 - P'(x<) \\ &= 1 - 0,879 = 0,121 \end{aligned}$$

$$\begin{aligned} D_x &= P(x) - P'(x) \\ &= 0,059 - 0,121 \\ &= -0,062 \end{aligned}$$

Hasil perhitungan selengkapnya dapat dilihat pada tabel 4.12

Tabel 4.12 Perhitungan Uji Smirnov – Kolmogorov Untuk Distribusi *Log Person III*

| m                | Log X | X- $\bar{X}$ | P(x)  | P(x<) | f(t)  | P'(x<) | P'(x) | D      |
|------------------|-------|--------------|-------|-------|-------|--------|-------|--------|
| 1                | 2,06  | 0,07         | 0,059 | 0,941 | 1,17  | 0,121  | 0,879 | -0,062 |
| 2                | 2,06  | 0,07         | 0,118 | 0,882 | 1,17  | 0,121  | 0,879 | -0,003 |
| 3                | 2,05  | 0,07         | 0,176 | 0,824 | 1,11  | 0,134  | 0,867 | 0,043  |
| 4                | 2,04  | 0,06         | 0,235 | 0,765 | 0,92  | 0,179  | 0,821 | 0,056  |
| 5                | 2,01  | 0,03         | 0,294 | 0,706 | 0,46  | 0,323  | 0,677 | -0,029 |
| 6                | 2,01  | 0,02         | 0,353 | 0,647 | 0,39  | 0,348  | 0,652 | 0,005  |
| 7                | 2,01  | 0,02         | 0,412 | 0,588 | 0,39  | 0,348  | 0,652 | 0,063  |
| 8                | 2,00  | 0,02         | 0,471 | 0,529 | 0,25  | 0,401  | 0,599 | 0,069  |
| 9                | 1,99  | 0,01         | 0,529 | 0,471 | 0,10  | 0,460  | 0,540 | 0,069  |
| 10               | 1,99  | 0,00         | 0,588 | 0,412 | 0,03  | 0,488  | 0,512 | 0,100  |
| 11               | 1,98  | 0,00         | 0,647 | 0,353 | -0,04 | 0,512  | 0,488 | 0,135  |
| 12               | 1,98  | -0,01        | 0,706 | 0,294 | -0,11 | 0,544  | 0,456 | 0,162  |
| 13               | 1,93  | -0,05        | 0,765 | 0,235 | -0,82 | 0,794  | 0,206 | -0,029 |
| 14               | 1,91  | -0,08        | 0,824 | 0,176 | -1,24 | 0,893  | 0,108 | -0,069 |
| 15               | 1,89  | -0,09        | 0,882 | 0,118 | -1,50 | 0,933  | 0,067 | -0,051 |
| 16               | 1,85  | -0,14        | 0,941 | 0,059 | -2,27 | 0,988  | 0,012 | -0,047 |
| D <sub>max</sub> |       |              |       |       |       |        |       | 0,162  |

(Sumber: Hasil Perhitungan)

Dari perhitungan nilai D pada Tabel 4.12, menunjukkan nilai  $D_{\max} = 0,162$ , data pada peringkat  $m= 12$ . Dengan menggunakan data pada Tabel 2.6 untuk derajat kepercayaan 5 %, maka diperoleh  $D_0 = 0,34$ . Karena nilai  $D_{\max} = 0,162 < D_0$  kritis = 0,34 , maka persamaan distribusi *Log Person III* yang diperoleh dapat diterima.

Sehingga dari perhitungan uji kecocokan didapatkan perbandingan nilai chi – Kuadrat dan nilai *Smirnov – kolmogorov* antara Distribusi gumbel dan distribusi *Log Person III* yang kemudian akan dipakai pada perhitungan Curah Hujan rencana. Lihat pada tabel 4.13

Tabel 4.13 Perhitungan Uji kecocokan

| Jenis Distribusi      | Uji Chi - Kuadrat | Uji <i>Smirnov - Kolmogorov</i> |
|-----------------------|-------------------|---------------------------------|
| Gumbel                | 2,125<5,991       | 0,131<0,34                      |
|                       | Diterima          | Diterima                        |
| <i>Log Person III</i> | 4,63<5,991        | 0,162<0,34                      |
|                       | Diterima          | Diterima                        |

(Sumber: Hasil Perhitungan)

Dari tabel 4.13 menunjukkan bahwa nilai Chi – kuadarat dan nilai Smirnov – kolmogorov yang memenuhi syarat dan nilai paling kecil adalah distribusi Gumbel, sehingga untuk menghitung Curah hujan rencana menggunakan metode distribusi Gumbel.

#### 4.1.6 Perhitungan Curah Hujan Rencana

Hujan rencana adalah hujan tahunan terbesar dengan peluang tertentu yang mungkin terjadi di suatu daerah. Dari hasil uji distribusi yang digunakan, maka untuk menghitung curah hujan menggunakan metode distribusi Gumbel.

Diketahui pada tabel 4.3 :

$$\begin{aligned}
 N &= 16 \\
 \bar{X} &= 97,44 \text{ mm} \\
 S_r &= 13,08 \\
 Y_n &= 0,5150 \text{ (di dapat pada tabel 2.2)} \\
 S_n &= 1,0294
 \end{aligned}$$

#### 4.1.6.1 Curah Hujan rencana

- Untuk perhitungan  $Y_t$  (Reduce Variate) dengan periode ulang 2 tahun dapat dihitung dengan persamaan 2.8 :

$$\begin{aligned} Y_t &= -\ln \left[ -\ln \frac{T}{T-1} \right] \\ &= -\ln \left[ -\ln \frac{2}{2-1} \right] \\ &= 0,37 \end{aligned}$$

- Untuk perhitungan  $K$  (frekuensi faaktor) dengan periode ulang 2 tahun dapat dihitung dengan persamaan 2.11 :

$$\begin{aligned} K &= \frac{Y_t - Y_n}{S_n} \\ &= \frac{0,37 - 0,5150}{1,0294} \\ &= -0,144 \end{aligned}$$

- Untuk menghitung hujan rencana untuk periode ulang 2 tahun dapat dihitung dengan menggunakan persamaan 2.10:

$$\begin{aligned} X_t &= \bar{X} + K \cdot S_r \\ &= 97,44 + (-0,144) \cdot 13,08 \\ &= 95,55 \text{ mm} \end{aligned}$$

Hasil perhitungan selengkapnya dapat dilihat pada tabel 4.14

Tabel 4.14 Perhitungan Curah Hujan Rencana

| Periode Ulang (Tahun) | X <sub>rt</sub> (mm) | S <sub>r</sub> | S <sub>n</sub> | Y <sub>t</sub> | Y <sub>n</sub> | K      | X <sub>t</sub> (mm) |
|-----------------------|----------------------|----------------|----------------|----------------|----------------|--------|---------------------|
| 2                     | 97,44                | 13,08          | 1,029          | 0,37           | 0,515          | -0,148 | 95,55               |
| 5                     | 97,44                | 13,08          | 1,029          | 1,50           | 0,515          | 0,957  | 109,96              |
| 10                    | 97,44                | 13,08          | 1,029          | 2,25           | 0,515          | 1,686  | 119,50              |

(Sumber: Hasil Perhitungan)

- Untuk saluran kuarter menggunakan periode ulang 2 tahun
- Untuk saluran tersier dan sekunder menggunakan periode ulang 5 tahun
- Untuk saluran Primer menggunakan periode ulang 10 tahun

#### 4.1.7 Analisa Kosentrasi Waktu ( $t_c$ )

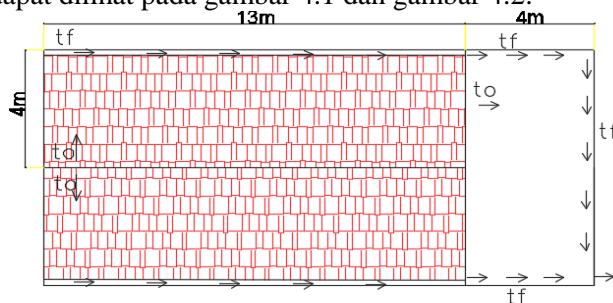
##### 4.1.1 Perhitungan nilai waktu aliran air ( $t_0$ )

###### 1) Lahan kosong

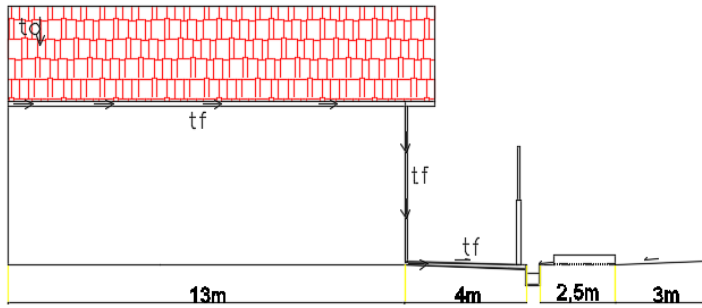
Lahan kosong di dataran tinggi yang diambil alih akan direncanakan perumahan. Dalam perencanaan sistem drainase perumahan dikonsepkan dengan melihat peta topografi yang ada. Perubahan lahan didataran tinggi menjadi perumahan direncanakan ada beberapa jenis kavling, taman, dan jalan dengan luas yang berbeda. Oleh karena itu diperlukan asumsi untuk menghitung estimasi nilai  $t_0$  antara lain sebagai berikut:

- Atap rumah dengan bahan genting untuk koefesien pengaliran ( $C_f$ ) 0,75; kekasaran lahan ( $nd$ ) 0,2 dan untuk kemiringan lahan atap rumah ( $\alpha_f$ ) 30.
- Taman dengan nilai koefesien pengaliran ( $C_f$ ) 0,25; nilai kekasaran lahan ( $nd$ ) 0,02; dan untuk kemiringan taman 0,003

$t_0$  mulai ujung atap hingga masuk kedalam talang air, dan nilai  $t_f$  diperoleh dari talang vertikal, talang horizontal, dan saluran dalam kavling menuju saluran terdekat. Dari masing-masing kavling diestimasikan sama dengan nilai  $t_c$  pada kavling dan kemudian sebagai nilai  $t_0$  pada saluran tersier. Ilustrasi diatas dapat dilihat pada gambar 4.1 dan gambar 4.2:



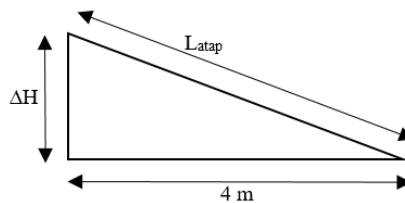
Gambar 4. 1 Analisa Perhitungan  $t_0$  max pada bangunan rumah



Gambar 4. 2 Tampak samping bangunan rumah

Contoh perhitungan estimasi waktu aliran air (to) untuk rumah tipe 8 x 17 m

a. Atap



Gambar 4. 3 analisa to pada Atap rumah

$$\text{Panjang atap (L)} = \frac{4 \text{ m}}{\cos 30} = 4,62 \text{ m}$$

$$\text{Beda tinggi (\Delta H)} = 4 \text{ m} \times \tan 30 = 2,31 \text{ m}$$

$$\text{Kemiringan atap (I)} = \frac{\Delta H}{L} = \frac{2,31 \text{ m}}{4 \text{ m}} = 0,577$$

$nd = 0,02$  (asumsi untuk permukaan kedap air dan licin)

$$to = 1,44 \left( nd \frac{l}{\sqrt{S}} \right)^{0,467}$$

$$= 1,44 \left( 0,02 \frac{4,62 \text{ m}}{\sqrt{0,577}} \right)^{0,467} = 0,538 \text{ menit}$$

b. Talang

**Horizontal**

$$\begin{aligned}
 \text{Panjang talang (L)} &= 17 \text{ m} - 4 \text{ m} = 13 \text{ m} \\
 \text{Kekasaran talang (n)} &= 0,01 \\
 \text{Kemiringan talang (I)} &= 0,0003 \\
 \text{Dimensi talang} &= 15 \times 15 \text{ cm} \\
 \text{Luas penampang (A)} &= b \times h \\
 &= 0,15 \times 0,15 \\
 &= 0,0225 \text{ m}^2 \\
 \text{Penampang basah talang (P)} &= b + 2h \\
 &= 0,15 + 2(0,15) \\
 &= 0,45 \text{ m}
 \end{aligned}$$

$$\begin{aligned}
 \text{Jari-jari hidrolis (R)} &= \frac{A}{P} \\
 &= \frac{0,0225}{0,45} \\
 &= 0,05 \text{ m}
 \end{aligned}$$

$$\begin{aligned}
 \text{Kecepatan (V)} &= \frac{1}{n} \times R^{2/3} \times I^{0,5} \\
 &= \frac{1}{0,01} \times 0,05^{2/3} \times 0,0003^{0,5} \\
 &= 0,24 \text{ m/det} \\
 t_f \text{ talang} &= \frac{L}{V} = \frac{13 \text{ m}}{0,24 \text{ m/det}} \\
 &= 55,301 \text{ det} \\
 &= 0,922 \text{ menit}
 \end{aligned}$$

**Vertikal**

$$\begin{aligned}
 \text{Panjang talang (L)} &= 5 \text{ m} \\
 \text{Kecepatan (V)} &= \sqrt{2gh} \\
 &= \sqrt{2 \times 9,8 \times 5} \\
 &= 9,899 \text{ m/det}
 \end{aligned}$$

$$t_f \text{ talang} = \frac{L}{V} = \frac{5 \text{ m}}{9,899 \text{ m/det}} \\ = 0,505 \text{ det} \\ = 0,0084 \text{ menit}$$

c. Saluran dalam kavling

$$\begin{aligned} \text{Panjang saluran (L)} &= 17 \text{ m} - 4 \text{ m} = 13 \text{ m} \\ \text{Kekasaratan saluran (n)} &= 0,01 \\ \text{Kemiringan saluran (I)} &= 0,0003 \\ \text{Dimensi saluran} &= 20 \times 30 \text{ cm} \\ \text{Luas penampang (A)} &= b \times h \\ &= 0,20 \times 0,30 \\ &= 0,060 \text{ m}^2 \\ \text{Penampang basah talang (P)} &= b + 2h \\ &= 0,20 + 2(0,30) \\ &= 0,80 \text{ m} \\ \text{Jari-jari hidrolis (R)} &= \frac{A}{P} \\ &= \frac{0,060}{0,80} \\ &= 0,075 \text{ m} \end{aligned}$$

$$\begin{aligned} \text{Kecepatan (V)} &= \frac{1}{n} \times R^{2/3} \times I^{0,5} \\ &= \frac{1}{0,01} \times 0,075^{2/3} \times 0,001^{0,5} \\ &= 0,331 \text{ m/det} \end{aligned}$$

$$\begin{aligned} t_f \text{ talang} &= \frac{L}{V} = \frac{4 \text{ m}}{0,331 \text{ m/det}} \\ &= 12,091 \text{ det} \\ &= 0,202 \text{ menit} \end{aligned}$$

## d. Taman

Panjang taman (L) = 4 m

Kemiringan taman (I) = 0,003 (asumsi untuk lahan perumahan)

Nd = 0,2 (asumsi untuk perumahan sedikit perumput)

$$\begin{aligned} \text{to} &= 1,44 \left( nd \frac{l}{\sqrt{S}} \right)^{0,467} \\ &= 1,44 \left( 0,2 \frac{4m}{\sqrt{0,003}} \right)^{0,467} \\ &= 5,037 \text{ menit} \end{aligned}$$

Sehingga nilai estimasi tc/to max untuk rumah tipe 8 x 17 m :

$$\begin{aligned} \text{tc} &= \text{to} + \text{tf talang} + \text{tf saluran} \\ &= 0,538 + (0,992 + 0,0084) + 0,202 + 5,037 \\ &= 6,707 \text{ menit} \end{aligned}$$

Untuk perhitungan estimasi nilai tc/to max masing – masing kavling dapat dilihat pada tabel 4.15 dan 4.16.

Tabel 4. 15 perhitungan Estimasi nilai to max masing – masing kavling

| No | tipe | L lahan (m) |         | I lahan |         | to    | tf Talang  |          | tf Saluran | tc = to max<br>(menit) |       |       |       |
|----|------|-------------|---------|---------|---------|-------|------------|----------|------------|------------------------|-------|-------|-------|
|    |      | Atap        | Halaman | Atap    | Halaman |       | Horizontal | Vertikal |            |                        |       |       |       |
| 1  | 8    | x           | 17      | 4       | 4       | 0,577 | 0,003      | 0,538    | 5,037      | 0,922                  | 0,008 | 0,202 | 6,707 |
| 2  | 11   | x           | 20      | 5,5     | 4       | 0,577 | 0,003      | 0,625    | 5,037      | 1,134                  | 0,008 | 0,202 | 7,006 |
| 3  | 11   | x           | 18,5    | 5,5     | 4       | 0,577 | 0,003      | 0,625    | 5,037      | 1,028                  | 0,008 | 0,202 | 6,900 |
| 4  | 12   | x           | 19      | 6       | 4       | 0,577 | 0,003      | 0,650    | 5,037      | 1,063                  | 0,008 | 0,202 | 6,961 |
| 5  | 10   | x           | 18      | 5       | 4       | 0,577 | 0,003      | 0,597    | 5,037      | 0,993                  | 0,008 | 0,202 | 6,837 |
| 6  | 9    | x           | 18,5    | 4,5     | 4       | 0,577 | 0,003      | 0,569    | 5,037      | 1,028                  | 0,008 | 0,202 | 6,844 |
| 7  | 10   | x           | 18,5    | 5       | 4       | 0,577 | 0,003      | 0,597    | 5,037      | 1,028                  | 0,008 | 0,202 | 6,873 |
| 8  | 10   | x           | 20      | 5       | 4       | 0,577 | 0,003      | 0,597    | 5,037      | 1,134                  | 0,008 | 0,202 | 6,979 |
| 9  | 12   | x           | 18,5    | 6       | 4       | 0,577 | 0,003      | 0,650    | 5,037      | 1,028                  | 0,008 | 0,202 | 6,926 |
| 10 | 10   | x           | 19      | 5       | 4       | 0,577 | 0,003      | 0,597    | 5,037      | 1,063                  | 0,008 | 0,202 | 6,908 |
| 11 | 11   | x           | 19      | 5,5     | 4       | 0,577 | 0,003      | 0,625    | 5,037      | 1,063                  | 0,008 | 0,202 | 6,935 |
| 12 | 8    | x           | 18,5    | 4       | 4       | 0,577 | 0,003      | 0,538    | 5,037      | 1,028                  | 0,008 | 0,202 | 6,814 |
| 13 | 11   | x           | 19      | 5,5     | 4       | 0,577 | 0,003      | 0,625    | 5,037      | 1,063                  | 0,008 | 0,202 | 6,935 |
| 14 | 9    | x           | 18      | 4,5     | 4       | 0,577 | 0,003      | 0,569    | 5,037      | 0,993                  | 0,008 | 0,202 | 6,809 |
| 15 | 8    | x           | 18      | 4       | 4       | 0,577 | 0,003      | 0,538    | 5,037      | 0,993                  | 0,008 | 0,202 | 6,778 |

(Sumber: Hasil Perhitungan)

Tabel 4. 16 Perhitungan to untuk masing – masing hambatan pada saluran Tersier

| Ruas<br>Saluran | Jenis<br>Saluran | Kode<br>saluran | Jenis<br>Hambatan | nd   | lo<br>m | S<br>lahan | to<br>menit | to max<br>menit | to max<br>Jam |
|-----------------|------------------|-----------------|-------------------|------|---------|------------|-------------|-----------------|---------------|
| 1-2a            | Tersier          | T1              | jalan             | 0.02 | 5.5     | 0.01       | 1.506       | 4.006           | 0.067         |
|                 |                  |                 | tanaman           | 0.2  | 2       | 0.002      | 4.006       |                 |               |
|                 |                  |                 | Jalan             | 0.02 | 3       | 0.01       | 1.134       |                 |               |
| 2a-2            | Tersier          | T2              | jalan             | 0.02 | 3       | 0.01       | 1.134       | 4.006           | 0.067         |
|                 |                  |                 | tanaman           | 0.2  | 2       | 0.002      | 4.006       |                 |               |
|                 |                  |                 | jalan             | 0.02 | 3       | 0.01       | 1.134       |                 |               |
| 3-4             | Tersier          | T3              | jalan             | 0.02 | 3       | 0.01       | 1.134       | 6.873           | 0.115         |
|                 |                  |                 | tanaman           | 0.2  | 2       | 0.002      | 4.006       |                 |               |
|                 |                  |                 | bangunan          |      |         |            | 6.873       |                 |               |
| 3-5             | Tersier          | T4              | jalan             | 0.02 | 3       | 0.01       | 1.134       | 6.844           | 0.114         |
|                 |                  |                 | tanaman           | 0.2  | 2       | 0.002      | 4.006       |                 |               |
|                 |                  |                 | bangunan          |      |         |            | 6.844       |                 |               |
| 6-7             | Tersier          | T5              | jalan             | 0.02 | 3       | 0.01       | 1.134       | 6.837           | 0.114         |
|                 |                  |                 | tanaman           | 0.2  | 2       | 0.002      | 4.006       |                 |               |
|                 |                  |                 | bangunan          |      |         |            | 6.837       |                 |               |
| 6-8             | Tersier          | T6              | jalan             | 0.02 | 3       | 0.01       | 1.134       | 6.961           | 0.116         |
|                 |                  |                 | tanaman           | 0.2  | 2       | 0.002      | 4.006       |                 |               |
|                 |                  |                 | bangunan          |      |         |            | 6.961       |                 |               |
| 9-10            | Tersier          | T7              | jalan             | 0.02 | 3       | 0.01       | 1.134       | 6.900           | 0.115         |
|                 |                  |                 | tanaman           | 0.2  | 2       | 0.002      | 4.006       |                 |               |
|                 |                  |                 | bangunan          |      |         |            | 6.900       |                 |               |

Tabel 4. 16 Perhitungan to untuk masing – masing hambatan pada saluran Tersier (Lanjutan)

| Ruas<br>Saluran | Jenis<br>Saluran | Kode<br>saluran | Jenis<br>Hambatan | nd   | lo<br>m | S<br>lahan | to<br>menit | to max<br>menit | Jam   |
|-----------------|------------------|-----------------|-------------------|------|---------|------------|-------------|-----------------|-------|
| 9-11            | Tersier          | T8              | jalan             | 0.02 | 5       | 0.01       | 1.440       | 6.900           | 0.115 |
|                 |                  |                 | tanaman           | 0.2  | 2       | 0.002      | 4.006       |                 |       |
|                 |                  |                 | bangunan          |      |         |            | 6.900       |                 |       |
| 12-13           | Tersier          | T9A             | jalan             | 0.02 | 5.5     | 0.01       | 1.506       | 4.006           | 0.067 |
|                 |                  |                 | tanaman           | 0.2  | 2       | 0.002      | 4.006       |                 |       |
|                 |                  |                 | Jalan             | 0.02 | 3       | 0.01       | 1.134       |                 |       |
| 13-14           | Tersier          | T9              | jalan             | 0.02 | 5       | 0.01       | 1.440       | 6.900           | 0.115 |
|                 |                  |                 | tanaman           | 0.2  | 2       | 0.002      | 4.006       |                 |       |
|                 |                  |                 | bangunan          |      |         |            | 6.900       |                 |       |
| 13-15           | Tersier          | T10             | jalan             | 0.02 | 3       | 0.01       | 1.134       | 6.900           | 0.115 |
|                 |                  |                 | tanaman           | 0.2  | 2       | 0.002      | 4.006       |                 |       |
|                 |                  |                 | bangunan          |      |         |            | 6.900       |                 |       |
| 17-16           | Tersier          | T11             | jalan             | 0.02 | 3       | 0.01       | 1.134       | 7.006           | 0.117 |
|                 |                  |                 | tanaman           | 0.2  | 2       | 0.002      | 4.006       |                 |       |
|                 |                  |                 | bangunan          |      |         |            | 7.006       |                 |       |
| 17-18           | Tersier          | T12             | jalan             | 0.02 | 3       | 0.01       | 1.134       | 6.707           | 0.112 |
|                 |                  |                 | tanaman           | 0.2  | 2       | 0.002      | 4.006       |                 |       |
|                 |                  |                 | bangunan          |      |         |            | 6.707       |                 |       |
| 19-20           | Tersier          | T13             | jalan             | 0.02 | 3       | 0.01       | 1.134       | 6.908           | 0.115 |
|                 |                  |                 | tanaman           | 0.2  | 2       | 0.002      | 4.006       |                 |       |
|                 |                  |                 | bangunan          |      |         |            | 6.908       |                 |       |

Tabel 4.16 Perhitungan to untuk masing – masing hambatan pada saluran Tersier (Lanjutan)

| Ruas<br>Saluran | Jenis<br>Saluran | Kode<br>saluran | Jenis<br>Hambatan | nd   | lo<br>m | S<br>lahan | to<br>menit | to max<br>menit | to max<br>Jam |
|-----------------|------------------|-----------------|-------------------|------|---------|------------|-------------|-----------------|---------------|
| 2-21            | Tersier          | T14             | jalan             | 0.02 | 3       | 0.01       | 1.134       |                 |               |
|                 |                  |                 | tanaman           | 0.2  | 2       | 0.002      | 4.006       | 4.006           | 0.067         |
|                 |                  |                 | jalan             | 0.02 | 3       | 0.01       | 1.134       |                 |               |
| 22-23           | Tersier          | T15             | jalan             | 0.02 | 3       | 0.01       | 1.134       |                 |               |
|                 |                  |                 | tanaman           | 0.2  | 2       | 0.002      | 4.006       | 6.809           | 0.113         |
|                 |                  |                 | bangunan          |      |         |            | 6.809       |                 |               |
| 22-24           | Tersier          | T16             | jalan             | 0.02 | 3       | 0.01       | 1.134       |                 |               |
|                 |                  |                 | tanaman           | 0.2  | 2       | 0.002      | 4.006       | 6.935           | 0.116         |
|                 |                  |                 | bangunan          |      |         |            | 6.935       |                 |               |
| 25-26           | Tersier          | T17             | jalan             | 0.02 | 3       | 0.01       | 1.134       |                 |               |
|                 |                  |                 | tanaman           | 0.2  | 2       | 0.002      | 4.006       | 6.844           | 0.114         |
|                 |                  |                 | bangunan          |      |         |            | 6.844       |                 |               |
| 28-29           | Tersier          | T19             | jalan             | 0.02 | 3       | 0.01       | 1.134       |                 |               |
|                 |                  |                 | tanaman           | 0.2  | 2       | 0.002      | 4.006       | 6.926           | 0.115         |
|                 |                  |                 | bangunan          |      |         |            | 6.926       |                 |               |
| 28-30           | Tersier          | T20             | jalan             | 0.02 | 5       | 0.01       | 1.440       |                 |               |
|                 |                  |                 | tanaman           | 0.2  | 2       | 0.002      | 4.006       | 6.926           | 0.115         |
|                 |                  |                 | bangunan          |      |         |            | 6.926       |                 |               |
| 31-32           | Tersier          | T21             | jalan             | 0.02 | 5       | 0.002      | 2.097       |                 |               |
|                 |                  |                 | tanaman           | 0.2  | 2       | 0.002      | 4.006       | 6.926           | 0.115         |
|                 |                  |                 | bangunan          |      |         |            | 6.926       |                 |               |

Tabel 4. 16 Perhitungan to untuk masing – masing hambatan pada saluran Tersier (Lanjutan)

| Ruas<br>Saluran | Jenis<br>Saluran | Kode<br>saluran | Jenis<br>Hambatan | nd   | lo<br>m | S<br>lahan | to<br>menit | to max<br>menit | Jam   |
|-----------------|------------------|-----------------|-------------------|------|---------|------------|-------------|-----------------|-------|
| 31-32           | Tersier          | T21             | jalan             | 0.02 | 5       | 0.002      | 2.097       | 6.926           | 0.115 |
|                 |                  |                 | tanaman           | 0.2  | 2       | 0.002      | 4.006       |                 |       |
|                 |                  |                 | bangunan          |      |         |            | 6.926       |                 |       |
| 21-32           | Tersier          | T22             | jalan             | 0.02 | 3       | 0.01       | 1.134       | 6.778           | 0.113 |
|                 |                  |                 | tanaman           | 0.2  | 2       | 0.002      | 4.006       |                 |       |
|                 |                  |                 | bangunan          |      |         |            | 6.778       |                 |       |
| 31-33           | Tersier          | T23             | jalan             | 0.02 | 3       | 0.01       | 1.134       | 6.926           | 0.115 |
|                 |                  |                 | tanaman           | 0.2  | 2       | 0.002      | 4.006       |                 |       |
|                 |                  |                 | bangunan          |      |         |            | 6.926       |                 |       |
| 34-35           | Tersier          | T24             | jalan             | 0.02 | 3       | 0.01       | 1.134       | 6.979           | 0.116 |
|                 |                  |                 | tanaman           | 0.2  | 2       | 0.002      | 4.006       |                 |       |
|                 |                  |                 | bangunan          |      |         |            | 6.979       |                 |       |
| 34-36           | Tersier          | T25             | jalan             | 0.02 | 3       | 0.01       | 1.134       | 6.707           | 0.112 |
|                 |                  |                 | tanaman           | 0.2  | 2       | 0.002      | 4.006       |                 |       |
|                 |                  |                 | bangunan          |      |         |            | 6.707       |                 |       |
| 37-38           | Tersier          | T26             | jalan             | 0.02 | 2.5     | 0.01       | 1.042       | 5.182           | 0.086 |
|                 |                  |                 | pedestrian        | 0.02 | 2       | 0.002      | 1.367       |                 |       |
|                 |                  |                 | taman             | 0.2  | 4.25    | 0.003      | 5.182       |                 |       |
| 37-39           | Tersier          | T27             | jalan             | 0.02 | 3       | 0.01       | 1.134       | 5.182           | 0.086 |
|                 |                  |                 | pedestrian        | 0.02 | 2       | 0.002      | 1.367       |                 |       |
|                 |                  |                 | taman             | 0.2  | 4.25    | 0.003      | 5.182       |                 |       |

Tabel 4. 16 Perhitungan to untuk masing – masing hambatan pada saluran Tersier (Lanjutan)

| Ruas<br>Saluran | Jenis<br>Saluran | Kode<br>saluran | Jenis<br>Hambatan | nd   | lo<br>m | S<br>lahan | to<br>menit | to max<br>menit | Jam   |
|-----------------|------------------|-----------------|-------------------|------|---------|------------|-------------|-----------------|-------|
| 19-40           | Tersier          | T28             | jalan             | 0.02 | 1       | 0.01       | 0.679       | 6.935           | 0.116 |
|                 |                  |                 | tanaman           | 0.2  | 0       | 0.002      | 0.000       |                 |       |
|                 |                  |                 | bangunan          |      |         |            | 6.935       |                 |       |
| 41-40           | Tersier          | t29             | jalan             | 0.02 | 3       | 0.01       | 1.134       | 4.006           | 0.067 |
|                 |                  |                 | tanaman           | 0.2  | 2       | 0.002      | 4.006       |                 |       |

(Sumber: Hasil Perhitungan)

## 2) Pemukiman Warga

Pada drainse pemukiman warga dikonsepkan dengan merencenakan sistem jaringan drainase baru dengan melihat peta topografi yang ada. Perhitungan estimasi nilai  $t_0$  diperlukan asumsi sebagai berikut:

- Atap rumah dengan bahan genting untuk koefesien pengaliran ( $C_f$ ) 0,75; kekasaran lahan ( $nd$ ) 0,2 dan untuk kemiringan lahan atap rumah ( $\alpha$ ) 30.
- Lahan kosong dengan nilai koefesien pengaliran ( $C_f$ ) 0,22; nilai kekasaran lahan ( $nd$ ) 0,02; dan untuk kemiringan lahan sesuai peta kontur

$t_0$  mulai ujung atap hingga masuk kedalam talang air, dan nilai  $t_f$  diperoleh dari talang vertikal, talang horizontal, dan saluran dalam rumah warga menuju saluran terdekat.

Untuk perhitungan estimasi nilai  $t_0$  pada saluran pemukiman warga dapat dilihat pada tabel 4.17 dan 4.18.

Tabel 4. 17 Perhitungan to untuk masing – masing hambatan menuju saluran sekunder

| Ruas Saluran | Jenis Saluran | Kode saluran | Jenis Hambatan | nd   | lo m | S lahan | to menit        | to max jam   |
|--------------|---------------|--------------|----------------|------|------|---------|-----------------|--------------|
| t1-t2        | Tersier       | St1          | Jalan bangunan | 0.02 | 1.5  | 0.01    | 0.821           |              |
|              |               |              | lahan kosong   | 0.2  | 24.8 | 0.012   | 5.842<br>8.544  | 8.544 0.142  |
| t2-t3        | Tersier       | St2          | Jalan bangunan | 0.02 | 1.5  | 0.01    | 0.821           |              |
|              |               |              | lahan kosong   | 0.2  | 20.4 | 0.0098  | 5.179<br>8.177  | 8.177 0.136  |
| t5-t3        | Tersier       | St3a         | Jalan bangunan | 0.02 | 2    | 0.01    | 0.939           |              |
|              |               |              | lahan kosong   | 0.2  | 71.5 | 0.0419  | 7.339<br>10.462 | 10.462 0.174 |
| t13-t18      | Tersier       | St8a         | Jalan          | 0.02 | 1.5  | 0.01    | 0.821           | 0.821 0.014  |
| t13-t14      | Tersier       | St5          | Jalan bangunan | 0.02 | 1.5  | 0.01    | 0.821           |              |
|              |               |              | lahan kosong   | 0.2  | 14.8 | 0.027   | 5.381<br>5.556  | 5.556 0.093  |
| t14-t17      | Tersier       | St6a         | Jalan bangunan | 0.02 | 1.5  | 0.01    | 0.821           |              |
|              |               |              | lahan kosong   | 0.2  | 29   | 0.0206  | 6.005<br>8.102  | 8.102 0.135  |
| t15-t16a     | Kuarter       | K10          | kuburan        | 0.2  | 20.4 | 0.0014  | 12.88           |              |
|              |               |              | bangunan       | 0.2  | 17.2 | 0.0087  | 5.859<br>7.763  | 12.880 0.215 |
|              |               |              | lahan kosong   |      |      |         |                 |              |

Tabel 4.17 Perhitungan to untuk masing – masing hambatan menuju saluran sekunder

| Ruas Saluran | Jenis Saluran | Kode saluran | Jenis Hambatan | nd   | lo m | S lahan | to menit | to max jam |
|--------------|---------------|--------------|----------------|------|------|---------|----------|------------|
| t16-t17      | Kuarter       | K11          | kuburan        | 0.2  | 20.4 | 0.017   | 7.190    |            |
|              |               |              | bangunan       |      | 0    | 0       | 6.219    | 7.441      |
|              |               |              | lahan kosong   | 0.2  | 19.2 | 0.013   | 7.441    | 0.124      |
| t17-t19      | Tersier       | St6b         | Jalan          | 0.02 | 1.5  | 0.01    | 0.821    |            |
|              |               |              | lahan kosong   | 0.2  | 34.5 | 0.0347  | 7.779    | 7.779      |
| t13-t18      | Tersier       | St8b         | Jalan          | 0.02 | 1.5  | 0.01    | 0.821    | 0.821      |
| t18-t19      | Tersier       | St9          | Jalan          | 0.02 | 1.5  | 0.01    | 0.821    |            |
|              |               |              | bangunan       |      |      |         | 6.236    | 16.474     |
| t2-t6        | Tersier       | St10         | lahan kosong   | 0.2  | 41.3 | 0.002   | 16.474   | 0.275      |
|              |               |              | Jalan          | 0.02 | 1.5  | 0.01    | 0.821    |            |
|              |               |              | bangunan       |      |      |         | 5.194    | 11.748     |
| t6-t7        | Tersier       | St11         | lahan kosong   | 0.2  | 21   | 0.0022  | 11.748   |            |
|              |               |              | Jalan          | 0.02 | 1.5  | 0.01    | 0.821    |            |
|              |               |              | bangunan       |      |      |         | 5.453    | 11.469     |
| t8-t9        | Tersier       | St12         | lahan kosong   | 0.2  | 37.8 | 0.0079  | 11.469   | 0.191      |
|              |               |              | Jalan          | 0.02 | 1.5  | 0.01    | 0.821    |            |
|              |               |              | bangunan       |      |      |         | 5.646    | 7.014      |
| t10-t9       | Tersier       | St13         | lahan kosong   | 0.2  | 26   | 0.0307  | 7.014    | 0.117      |
|              |               |              | Jalan          | 0.02 | 1.5  | 0.01    | 0.821    |            |
|              |               |              | bangunan       |      |      |         | 6.669    | 13.315     |
|              |               |              | lahan kosong   | 0.2  | 61.4 | 0.011   | 13.315   | 0.222      |

Tabel 4.17 Perhitungan to untuk masing – masing hambatan menuju saluran sekunder

| Ruas Saluran | Jenis Saluran | Kode saluran | Jenis Hambatan | nd   | lo m  | S lahan | to menit | to max jam |
|--------------|---------------|--------------|----------------|------|-------|---------|----------|------------|
| t4-t5        | Kuarter       | K9           | Jalan          | 0.02 | 2     | 0.01    | 0.821    |            |
|              |               |              | bangunan       |      |       |         | 5.125    | 11.917     |
|              |               |              | lahan kosong   | 0.2  | 27.7  | 0.0036  | 11.917   | 0.199      |
| t5-t15       | Tersier       | St3b         | Jalan          | 0.02 | 2     | 0.01    | 0.821    |            |
|              |               |              | bangunan       |      |       |         | 4.938    | 7.929      |
|              |               |              | lahan kosong   | 0.2  | 24.4  | 0.016   | 7.929    | 0.132      |
| t5-t15       | Tersier       | St14         | Jalan          | 0.02 | 2     | 0.01    | 0.939    |            |
|              |               |              | bangunan       |      |       |         | 5.646    | 8.275      |
|              |               |              | lahan kosong   | 0.2  | 26.74 | 0.016   | 8.275    | 0.138      |
| t50-t21      | Tersier       | St15a        | Jalan          | 0.02 | 1.5   | 0.01    | 0.821    |            |
|              |               |              | bangunan       |      |       |         | 6.211    | 10.301     |
|              |               |              | lahan kosong   | 0.2  | 28.27 | 0.007   | 10.301   | 0.172      |
| t21a-t21     | Kuarter       | K15          | Jalan          | 0.02 | 44.4  | 0.022   | 5.994    |            |
|              |               |              | bangunan       |      |       |         | 9.735    | 9.735      |
|              |               |              | lahan kosong   | 0.2  |       |         |          |            |
| t21-20       | Tersier       | St15b        | Jalan          | 0.02 | 1.5   | 0.01    | 0.821    |            |
|              |               |              | bangunan       |      |       |         | 5.488    | 8.684      |
|              |               |              | lahan kosong   | 0.2  | 37.8  | 0.026   | 8.684    | 0.145      |

Tabel 4. 18 Perhitungan to untuk masing – masing hambatan menuju saluran Primer

| Ruas Saluran | Jenis Saluran | Kode saluran | Jenis Hambatan | nd   | lo m         | S lahan | to menit | to max jam |
|--------------|---------------|--------------|----------------|------|--------------|---------|----------|------------|
| t22-23       | Kuarter       | K1.a         | bangunan       |      |              |         | 4.743    |            |
|              |               |              | lahan kosong   | 0.2  | 25.87        | 0.04    | 6.579    | 0.110      |
| t25-t26      | Kuarter       | K2.a         | Jalan          | 0.02 | 1            | 0.01    | 0.679    |            |
|              |               |              | bangunan       |      |              |         | 5.324    | 0.134      |
|              |               |              | lahan kosong   | 0.2  | 27.89        | 0.02    | 8.011    |            |
|              |               |              | Jalan          | 0.02 | 1            | 0.01    | 0.679    |            |
| t28-t29      | Kuarter       | K3.a         | bangunan       |      |              |         | 5.609    |            |
|              |               |              | lahan kosong   | 0.2  | 24.93        | 0.012   | 8.565    | 0.143      |
| t29-t32      | Tersier       | St16b        | lahan kosong   | 0.2  | 49.55        | 0.04    | 8.911    | 0.149      |
| t31-t32      | Kuarter       | K4.a         | Jalan          | 0.02 | 1            | 0.01    | 0.679    |            |
|              |               |              | bangunan       |      |              |         | 5.232    | 0.137      |
|              |               |              | lahan kosong   | 0.2  | 29.51        | 0.0203  | 8.196    |            |
|              |               |              | Primer         | P1   | lahan kosong | 0.2     | 36.5     | 0.114      |
| t34-t35      | Kuarter       | K5.a         | Jalan          | 0.02 | 1            | 0.01    | 0.679    |            |
|              |               |              | bangunan       |      |              |         | 5.253    | 0.101      |
|              |               |              | lahan kosong   | 0.2  | 30.75        | 0.08    | 6.066    |            |
|              |               |              | Jalan          | 0.02 | 1            | 0.01    | 0.679    |            |
| t37-t38      | Kuarter       | K6.a         | bangunan       |      |              |         | 5.640    |            |
|              |               |              | lahan kosong   | 0.2  | 18.7         | 0.003   | 10.351   | 0.173      |

Tabel 4.18 Perhitungan to untuk masing – masing hambatan menuju saluran Primer

| Ruas Saluran | Jenis Saluran | Kode saluran | Jenis Hambatan | nd   | lo m  | S lahan | to menit        | to max jam |
|--------------|---------------|--------------|----------------|------|-------|---------|-----------------|------------|
| t40-t41      | Kuarter       | K7           | Jalan bangunan | 0.02 | 1     | 0.01    | 0.679           |            |
|              |               |              | lahan kosong   | 0.2  | 30.71 | 0.013   | 5.659<br>9.266  | 0.154      |
| t42-t43      | Kuarter       | K8           | Jalan bangunan | 0.02 | 1     | 0.01    | 0.679           |            |
|              |               |              | lahan kosong   | 0.2  | 27.52 | 0.013   | 5.659<br>8.803  | 0.147      |
| t24a-t24     | Tersier       | St17a        | Jalan bangunan | 0.02 | 1.5   | 0.01    | 0.821           |            |
|              |               |              | lahan kosong   | 0.2  | 9.3   | 0.021   | 5.613<br>4.742  | 0.094      |
| t22-t24      | Kuarter       | K1.b         | Jalan bangunan | 0.02 |       |         | 5.125           |            |
|              |               |              | lahan kosong   | 0.2  | 19.8  | 0.04    | 5.806           | 0.097      |
| t24-t27      | Tersier       | St17b        | Jalan bangunan | 0.02 | 1.5   | 0.01    | 0.821           |            |
|              |               |              | lahan kosong   | 0.2  | 32.4  | 0.002   | 5.601<br>14.709 | 0.245      |
| t25-t27      | Kuarter       | K2.b         | Jalan bangunan | 0.02 | 1     | 0.01    | 0.679           |            |
|              |               |              | lahan kosong   | 0.2  | 26.9  | 0.02    | 4.853<br>7.877  | 0.131      |
| t28-t30      | Kuarter       | K3.b         | Jalan bangunan | 0.02 | 1     | 0.01    | 0.679           |            |
|              |               |              | lahan kosong   | 0.2  | 23.1  | 0.043   | 5.251<br>6.135  | 0.102      |

Tabel 4.18 Perhitungan to untuk masing – masing hambatan menuju saluran Primer

| Ruas Saluran | Jenis Saluran | Kode saluran | Jenis Hambatan        | nd   | lo m  | S lahan | to menit        | to max jam     |
|--------------|---------------|--------------|-----------------------|------|-------|---------|-----------------|----------------|
| t27-t33      | Tersier       | St17c        | Jalan bangunan        | 0.02 | 1.5   | 0.01    | 0.821           |                |
|              |               |              | lahan kosong          | 0.2  | 22.8  | 0.0219  | 5.526<br>7.138  | 0.119          |
| t31-t33      | Kuarter       | K4.b         | Jalan bangunan        | 0.02 | 1     | 0.01    | 0.679           |                |
|              |               |              | lahan kosong          | 0.2  | 40.2  | 0.012   | 6.182<br>10.706 | 0.178          |
| t33-36       | Tersier       | St17d        | Jalan bangunan        | 0.02 | 1.5   | 0.01    | 0.821           |                |
|              |               |              | lahan kosong          | 0.2  | 71.4  | 0.0084  | 6.650<br>15.216 | 0.254          |
| t34-t36      | Kuarter       | K5.b         | Jalan bangunan        | 0.02 | 1     | 0.01    | 0.679           |                |
|              |               |              | lahan kosong          | 0.2  | 44.6  | 0.038   | 5.139<br>8.586  | 0.143          |
| t37-t39      | Kuarter       | K6.b         | Jalan bangunan        | 0.02 | 1     | 0.01    | 0.679           |                |
|              |               |              | lahan kosong          | 0.2  | 24.1  | 0.025   | 4.999<br>7.103  | 0.118          |
| t39-t43      | Tersier       | St17e        | Jalan                 | 0.02 | 1     | 0.0084  | 0.707           | 0.707<br>0.012 |
| t8-t44       | Tersier       | St.18a       | Jalan bangunan        | 0.02 | 1     | 0.01    | 0.679           |                |
|              |               |              | lahan kosong          | 0.2  | 31.8  | 0.0094  | 0.096<br>10.159 | 0.169          |
| t43-t44      | Kuarter       | K12          | bangunan lahan kosong | 0.2  | 24.59 | 0.037   | 5.024<br>6.543  | 0.109          |

Tabel 4.18 Perhitungan to untuk masing – masing hambatan menuju saluran Primer

| Ruas Saluran | Jenis Saluran | Kode saluran | Jenis Hambatan              | nd          | lo m        | S lahan         | to menit                 | to max jam     |
|--------------|---------------|--------------|-----------------------------|-------------|-------------|-----------------|--------------------------|----------------|
| t46-t47      | Kuarter       | K13          | bangunan lahan kosong       | 0.2         | 25.64       | 0.012           | 5.523<br>8.678           | 8.678<br>0.145 |
| t47-t56      | Tersier       | St.18c       | lahan kosong                | 0.2         | 30.68       | 0.0162          | 8.798                    | 8.798<br>0.147 |
| t10-t45      | Tersier       | St.19a       | Jalan bangunan lahan kosong | 0.02<br>0.2 | 2<br>47.58  | 0.01<br>0.0084  | 0.939<br>5.833<br>12.589 | 0.210          |
| t43-t45      | Kuarter       | K14          | bangunan lahan kosong       | 0.2         | 23.47       | 0.0085          | 5.613<br>9.025           | 9.025<br>0.150 |
| t45-t57      | Tersier       | St.19b       | Jalan bangunan lahan kosong | 0.02<br>0.2 | 2<br>31.72  | 0.01<br>0.0094  | 0.939<br>5.613<br>10.147 | 0.169          |
| t48-t58      | Tersier       | St.18        | Jalan bangunan lahan kosong | 0.02<br>0.2 | 1.5<br>28.2 | 0.01<br>0.00738 | 0.821<br>5.179<br>10.163 | 0.169          |
| t49-t50      | Kuarter       | K16          | Jalan bangunan lahan kosong | 0.02<br>0.2 | 1<br>20.9   | 0.01<br>0.0143  | 0.679<br>6.036<br>7.571  | 0.126          |
| t51-t52      | Kuarter       | K17          | Jalan bangunan lahan kosong | 0.02<br>0.2 | 1<br>15.4   | 0.01<br>0.0129  | 0.679<br>5.405<br>6.725  | 0.112          |
| t50-t54      | Tersier       | St.21a       | Jalan                       | 0.02        | 1           | 0.01            | 0.679                    | 0.679<br>0.011 |

Tabel 4.18 Perhitungan to untuk masing – masing hambatan menuju saluran Primer

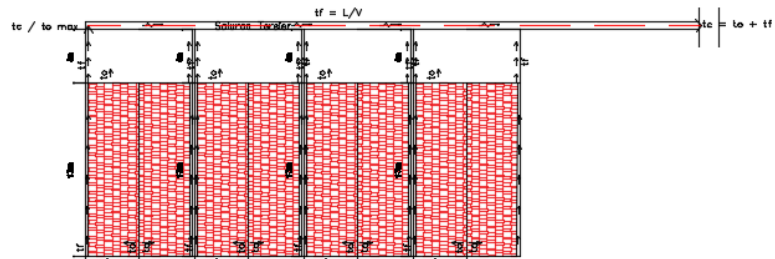
| Ruas<br>Saluran | Jenis<br>Saluran | Kode<br>saluran | Jenis<br>Hambatan                 | nd          | lo<br>m   | S<br>lahan     | To<br>Menit             | to max<br>jam  |
|-----------------|------------------|-----------------|-----------------------------------|-------------|-----------|----------------|-------------------------|----------------|
| t53-t54         | Kuarter          | K18             | Jalan<br>bangunan<br>lahan kosong | 0.02<br>0.2 | 1<br>17.8 | 0.01<br>0.0129 | 0.679<br>5.405<br>7.196 | 7.196<br>0.120 |
| t54-t59         | Tersier          | St.21b          | Jalan                             | 0.02        | 1         | 0.01           | 0.679                   | 0.011          |

(Sumber: Hasil Perhitungan)

#### 4.1.7.1 Perhitungan Waktu konsentrasi (tc)

Waktu konsentrasi adalah waktu yang dibutuhkan air untuk mengalir ke saluran dari titik terjauh suatu lahan. Waktu konsentrasi (tc) dapat dilustrasikan pada gambar 4.4 dan dihitung dengan rumus:

$$t_c = t_0 + t_f$$



Gambar 4. 4 Analisa perhitungan tc pada kompleks Perumahan

Contoh perhitungan konsentrasi waktu (tc) untuk saluran saluran tersier T7 adalah sebagai berikut:

#### Saluran tersier T7

$$\text{to saluran kavling} = 6,707 \text{ menit}$$

$$\text{Panjang saluran (L)} = 144,94 \text{ meter}$$

Direncanakan saluran persegi :

$$\text{b saluran} = 0,40 \text{ m}$$

$$\text{h saluran} = 0,345 \text{ m}$$

$$\text{Kekasaran saluran (n)} = 0,017$$

$$\text{Kemiringan saluran (I)} = 0,0006 \text{ (direncanakan)}$$

$$\text{Luas penampang (A)} = b \times h$$

$$= 0,40 \times 0,345$$

$$= 0,138 \text{ m}^2$$

$$\text{Penampang basah talang (P)} = b + 2h$$

$$= 0,40 + 2(0,345)$$

$$= 1,090 \text{ m}$$

$$\begin{aligned}
 \text{Jari-jari hidrolis (R)} &= \frac{A}{P} \\
 &= \frac{0,138}{1,090} \\
 &= 0,127 \text{ m}
 \end{aligned}$$

$$\begin{aligned}
 \text{Kecepatan (V)} &= \frac{1}{n} \times R^{2/3} \times I^{0,5} \\
 &= \frac{1}{0,017} \times 0,127^{2/3} \times 0,0005^{0,5} \\
 &= 0,332 \text{ m/det}
 \end{aligned}$$

$$\begin{aligned}
 t_f \text{ saluran} &= \frac{L}{V} = \frac{144,94 \text{ m}}{0,332 \text{ m/det}} \\
 &= 437,03 \text{ det} \\
 &= 7,28 \text{ menit}
 \end{aligned}$$

$$\begin{aligned}
 t_c \text{ saluran} &= t_0 + t_f \\
 &= 6,707 \text{ menit} + 7,28 \text{ menit} \\
 &= 13,99 \text{ menit} \\
 &= 0,233 \text{ jam}
 \end{aligned}$$

Untuk perhitungan estimasi nilai  $t_c$  masing-masing saluran tersier, sekunder, dan primer dapat dilihat pada tabel 4.19, 4.20 4.21 dan 4.22.

Tabel 4. 19 perhitungan waktu Kosentasi (tc) pada saluran Perumahan

| Ruas<br>Saluran | Kode<br>saluran | titik<br>Kontrol | L      | V     | to    | tf    | tc    |      |
|-----------------|-----------------|------------------|--------|-------|-------|-------|-------|------|
|                 |                 |                  | m      | m/det | menit | menit | menit | jam  |
| 1-2a            | T1              | 2a               | 147.76 | 0.311 | 4.01  | 7.92  | 11.93 | 0.20 |
| 2a-2            | T2              | 2                | 156.34 | 0.333 | 11.93 | 7.82  | 19.75 | 0.33 |
| 2-4             | S1.A            | 4                | 6.89   | 0.333 | 19.75 | 0.34  | 20.09 | 0.33 |
| 3-4             | T3              |                  | 144.94 | 0.358 | 6.87  | 6.74  | 13.61 | 0.23 |
| 4-5             | S1.B            | 5                | 37.00  | 0.395 | 20.09 | 1.56  | 21.66 | 0.36 |
| 3-5             | T4              |                  | 180.67 | 0.358 | 6.84  | 8.40  | 15.25 | 0.25 |
| 5-7             | S1.C            | 7                | 10.00  | 0.443 | 21.66 | 0.38  | 22.03 | 0.37 |
| 6-7             | T5              |                  | 144.94 | 0.355 | 6.84  | 6.80  | 13.64 | 0.23 |
| 7-8             | S1.D            | 8                | 37.00  | 0.471 | 22.03 | 1.31  | 23.34 | 0.39 |
| 6-8             | T6              |                  | 180.67 | 0.361 | 6.96  | 8.33  | 15.29 | 0.25 |
| 8-10            | S1.E            | 10               | 10.00  | 0.497 | 23.34 | 0.34  | 23.68 | 0.39 |
| 9-10            | T7              |                  | 144.94 | 0.355 | 6.90  | 6.80  | 13.70 | 0.23 |
| 10-11           | S1.F            | 11               | 37.00  | 0.520 | 23.68 | 1.19  | 24.86 | 0.41 |
| 9-11            | T8              |                  | 180.67 | 0.361 | 6.90  | 8.33  | 15.23 | 0.25 |
| 11-14           | S1.G            | 14               | 17.00  | 0.539 | 24.86 | 0.53  | 25.39 | 0.42 |
| 12-13           | T9A             | 13               | 163.74 | 0.304 | 4.01  | 8.98  | 12.98 | 0.22 |
| 13-14           | T9              | 14               | 144.94 | 0.373 | 12.98 | 6.48  | 19.47 | 0.32 |
| 14-15           | S1.H            | 15               | 37.00  | 0.561 | 25.39 | 1.10  | 26.49 | 0.44 |
| 13-15           | T10             |                  | 180.67 | 0.358 | 6.90  | 8.40  | 15.30 | 0.26 |
| 15-16           | S1.I            | 16               | 10.00  | 0.574 | 26.49 | 0.29  | 26.78 | 0.45 |
| 17-16           | T11             |                  | 144.93 | 0.362 | 7.01  | 6.67  | 13.67 | 0.23 |
| 16-18           | S1.J            | 18               | 37.00  | 0.584 | 26.78 | 1.06  | 27.83 | 0.46 |
| 17-18           | T12             |                  | 180.67 | 0.355 | 6.71  | 8.48  | 15.18 | 0.25 |
| 18-20           | S1.K            | 20               | 14.40  | 0.593 | 27.83 | 0.40  | 28.24 | 0.47 |
| 19-20           | T13             |                  | 110.46 | 0.369 | 6.91  | 4.99  | 11.89 | 0.20 |
| 20-P1           | S1.L            | P1               | 19.10  | 0.602 | 28.24 | 0.53  | 28.77 | 0.48 |
| 2-21            | T14             | 21               | 156.32 | 0.350 | 4.01  | 7.44  | 11.45 | 0.19 |
| 21-23           | S2.A            | 23               | 10.59  | 0.352 | 11.45 | 0.50  | 11.95 | 0.20 |
| 22-23           | T15             |                  | 140.15 | 0.352 | 6.81  | 6.64  | 13.45 | 0.22 |

Tabel 4. 19 Perhitungan waktu Kosentasi (tc) pada saluran Perumahan

| Ruas Saluran | Kode saluran | titik Kontrol | L m    | V m/det | to menit | tf menit | menit | tc jam |
|--------------|--------------|---------------|--------|---------|----------|----------|-------|--------|
| 23-24        | S2.B         |               | 37.00  | 0.408   | 13.45    | 1.51     | 14.96 | 0.25   |
| 22-24        | T16          | 24            | 173.61 | 0.364   | 6.94     | 7.94     | 14.88 | 0.25   |
| 24-26        | S2.C         |               | 10.00  | 0.462   | 14.88    | 0.36     | 15.24 | 0.25   |
| 25-26        | T17          | 26            | 138.06 | 0.355   | 6.84     | 6.49     | 13.33 | 0.22   |
| 26-27        | S2.D         |               | 37.00  | 0.490   | 15.24    | 1.26     | 16.50 | 0.27   |
| 25-27        | T18          | 27            | 173.79 | 0.362   | 6.81     | 8.00     | 14.81 | 0.25   |
| 27-29        | S2.E         |               | 10.00  | 0.516   | 16.50    | 0.32     | 16.82 | 0.28   |
| 28-29        | T19          | 29            | 138.06 | 0.353   | 6.93     | 6.52     | 13.45 | 0.22   |
| 29-30        | S2.F         |               | 37.00  | 0.542   | 16.82    | 1.14     | 17.96 | 0.30   |
| 28-30        | T20          | 30            | 173.79 | 0.379   | 6.93     | 7.65     | 14.57 | 0.24   |
| 30-32        | S2.G         |               | 17.06  | 0.565   | 17.96    | 0.50     | 18.46 | 0.31   |
| 31-32        | T21          | 32            | 136.78 | 0.355   | 6.93     | 6.42     | 13.34 | 0.22   |
| 21-32        | T22          |               | 161.71 | 0.370   | 6.78     | 7.28     | 14.06 | 0.23   |
| 32-33        | S2.H         |               | 37.06  | 0.592   | 18.46    | 1.04     | 19.50 | 0.33   |
| 31-33        | T23          | 33            | 170.89 | 0.355   | 6.93     | 8.02     | 14.94 | 0.25   |
| 33-35        | S2.I         |               | 10.00  | 0.612   | 19.50    | 0.27     | 19.78 | 0.33   |
| 34-35        | T24          | 35            | 134.14 | 0.361   | 6.98     | 6.18     | 13.16 | 0.22   |
| 35-36        | S2.J         |               | 36.89  | 0.622   | 19.78    | 0.99     | 20.76 | 0.35   |
| 34-36        | T25          | 36            | 170.26 | 0.354   | 6.71     | 8.03     | 14.73 | 0.25   |
| 36-38        | S2.K         |               | 12.86  | 0.632   | 20.76    | 0.34     | 21.10 | 0.35   |
| 37-38        | T26          | 38            | 126.18 | 0.283   | 5.18     | 7.42     | 12.60 | 0.21   |
| 38-39        | S2.L         |               | 32.50  | 0.634   | 21.10    | 0.85     | 21.96 | 0.37   |
| 37-39        | T27          | 39            | 133.79 | 0.292   | 5.18     | 7.63     | 12.81 | 0.21   |
| 39-40        | S2.M         |               | 10.91  | 0.637   | 21.96    | 0.29     | 22.24 | 0.37   |
| 19-40        | T28          | 40            | 174.83 | 0.373   | 6.94     | 7.81     | 14.75 | 0.25   |
| 41-40        | T29          |               | 140.25 | 0.304   | 4.01     | 7.69     | 11.70 | 0.19   |
| 40-P2        | S2.N         | P2            | 19.10  | 0.652   | 22.24    | 0.49     | 22.73 | 0.38   |

(Sumber: Hasil Perhitungan)

Tabel 4. 20 perhitungan tc pada saluran Pemukiman warga menuju Boezem

| Ruas Saluran | Kode saluran | titik Kontrol | L m    | V m/det | to menit | tf menit | menit | tc jam |
|--------------|--------------|---------------|--------|---------|----------|----------|-------|--------|
| t1-t2        | St1          | t2            | 93.69  | 0.292   | 8.54     | 5.34     | 13.89 | 0.231  |
| t2-t3        | St2          |               | 118.38 | 0.317   | 13.89    | 6.22     | 20.11 | 0.335  |
| t5-t3        | St3a         | t3            | 70.49  | 0.364   | 10.46    | 3.22     | 13.69 | 0.228  |
| t3-t6        | St4          |               | 5.00   | 0.533   | 20.11    | 0.16     | 20.26 | 0.338  |
| t7-t6        | St8a         | t6            | 85.26  | 0.234   | 1.04     | 6.07     | 7.12  | 0.119  |
| t6-t8        | St5          | t8            | 94.19  | 0.422   | 20.26    | 3.72     | 23.99 | 0.400  |
| t8-t11       | St6a         | t12           | 80.86  | 0.428   | 23.99    | 3.15     | 27.13 | 0.452  |
| t9-t11a      | k10          | t11a          | 90.98  | 0.314   | 12.88    | 4.83     | 17.71 | 0.295  |
| t10-t11a     | k11          | t11           | 78.92  | 0.296   | 7.44     | 4.44     | 11.88 | 0.198  |
| t11a-t11     | k11a         |               | 24.80  | 0.341   | 17.71    | 1.21     | 18.92 | 0.315  |
| t11-t13      | St6b         | t13           | 47.67  | 0.461   | 27.13    | 1.72     | 28.86 | 0.481  |
| t7-t12       | St8          | t12           | 51.46  | 0.234   | 0.82     | 3.67     | 4.49  | 0.075  |
| t12-t13      | St9          | t13           | 72.27  | 0.259   | 16.47    | 4.65     | 21.12 | 0.352  |
| t13-t22      | St7          | t22           | 10.31  | 0.604   | 28.86    | 0.28     | 29.14 | 0.486  |
| t2-t14       | St10         | t14           | 146.73 | 0.320   | 11.75    | 7.64     | 19.39 | 0.323  |
| t14-t15      | St11         | t15           | 90.25  | 0.345   | 19.39    | 4.36     | 23.75 | 0.396  |
| t4-t5        | k9           | t5            | 54.79  | 0.292   | 11.92    | 3.12     | 15.04 | 0.251  |
| t5-t15       | St3b         | t15           | 77.79  | 0.324   | 15.04    | 4.00     | 19.04 | 0.317  |
| t16-t17      | St12         |               | 90.87  | 0.304   | 7.01     | 4.98     | 12.00 | 0.200  |
| t18-t17      | St13         | t17           | 62.58  | 0.382   | 13.32    | 2.73     | 16.05 | 0.267  |
| t19-t20a     | St14         | t20a          | 65.74  | 0.328   | 8.27     | 3.34     | 11.62 | 0.194  |
| t15-t20      | Ss1          | t20           | 92.48  | 0.442   | 19.04    | 3.49     | 22.53 | 0.375  |
| t50-t21      | St15a        |               | 50.36  | 0.271   | 10.30    | 3.09     | 13.39 | 0.223  |
| t21a-t21     | k15          | t21           | 71.44  | 0.296   | 9.73     | 4.02     | 13.75 | 0.229  |
| t21-20b      | St15b        | t20b          | 60.71  | 0.302   | 13.75    | 3.34     | 17.10 | 0.285  |
| t20b-t20c    | Ss2          | t20c          | 47.34  | 0.547   | 29.14    | 1.44     | 30.58 | 0.510  |

(Sumber: Hasil Perhitungan)

Tabel 4. 21 Perhitungan tc pada saluran Pemukiman warga menuju saluran Primer

| Ruas Saluran | Kode saluran | titik Kontrol | L m    | V m/det | to menit | tf menit | tc menit | jam   |
|--------------|--------------|---------------|--------|---------|----------|----------|----------|-------|
| t22-23       | K1.a         | t23           | 46.44  | 0.256   | 6.58     | 3.03     | 9.61     | 0.160 |
| t23-t26      | St.16a       | t26           | 43.35  | 0.249   | 9.61     | 2.90     | 12.51    | 0.208 |
| t25-t26      | K2.a         |               | 55.75  | 0.248   | 8.01     | 3.75     | 11.76    | 0.196 |
| t28-t29      | K3.a         | t29           | 55.75  | 0.256   | 8.56     | 3.63     | 12.20    | 0.203 |
| t29-t32      | St.16b       | t32           | 67.65  | 0.328   | 12.51    | 3.44     | 15.95    | 0.266 |
| t31-t32      | K4.a         | t32           | 35.61  | 0.256   | 8.20     | 2.32     | 10.52    | 0.175 |
| t34-t35      | K5.a         | t35           | 46.06  | 0.256   | 6.07     | 3.00     | 9.07     | 0.151 |
| t37-t38      | K6.a         | t38           | 46.06  | 0.248   | 10.35    | 3.10     | 13.45    | 0.224 |
| t40-t41      | K7           | t41           | 68.15  | 0.689   | 9.27     | 1.65     | 10.91    | 0.182 |
| t42-t43      | K8           | t43           | 68.15  | 0.610   | 8.80     | 1.86     | 10.66    | 0.178 |
| t24a-t24     | St.17a       | t24           | 65.69  | 0.268   | 5.61     | 4.09     | 9.70     | 0.162 |
| t22-t24      | K1.b         |               | 41.46  | 0.346   | 5.81     | 2.00     | 7.80     | 0.130 |
| t24-t27      | St.17b       | t27           | 42.92  | 0.300   | 14.71    | 2.38     | 17.09    | 0.285 |
| t25-t27      | K2.b         |               | 33.65  | 0.466   | 7.88     | 1.20     | 9.08     | 0.151 |
| t28-t30      | K3.b         | t30           | 33.65  | 0.425   | 6.14     | 1.32     | 7.46     | 0.124 |
| t27-t33      | St.17.c      | t33           | 62.26  | 0.511   | 17.09    | 2.03     | 19.12    | 0.319 |
| t31-t33      | K4.b         |               | 45.95  | 0.273   | 10.71    | 2.81     | 13.51    | 0.225 |
| t33-36       | St.17d       | t36           | 92.42  | 0.378   | 19.12    | 4.08     | 23.20    | 0.387 |
| t34-t36      | K5.b         |               | 31.24  | 0.256   | 8.59     | 2.04     | 10.62    | 0.177 |
| t37-t39      | K6.b         | t39           | 31.24  | 0.244   | 7.10     | 2.14     | 9.24     | 0.154 |
| t39-t43      | St.17e       | t43           | 120.96 | 0.384   | 23.20    | 5.25     | 28.46    | 0.474 |
| t8-t44       | St.18a       | t44           | 156.20 | 0.320   | 10.16    | 8.14     | 18.29    | 0.305 |
| t43-t44      | K12          |               | 60.71  | 0.285   | 6.54     | 3.54     | 10.09    | 0.168 |
| t44-t47      | St.18b       | t47           | 51.00  | 0.345   | 18.29    | 2.46     | 20.76    | 0.346 |
| t46-t47      | K13          |               | 69.67  | 0.289   | 8.68     | 4.01     | 12.69    | 0.212 |
| t47-t56      | St.18c       | t56           | 15.00  | 0.363   | 20.76    | 0.69     | 21.44    | 0.357 |
| t10-t45      | St.19a       | t45           | 84.29  | 0.283   | 12.59    | 4.96     | 17.55    | 0.292 |
| t43-t45      | K14          |               | 51.08  | 0.320   | 9.03     | 2.66     | 11.69    | 0.195 |
| t45-t57      | St.19b       | t57           | 97.93  | 0.329   | 17.55    | 4.95     | 22.50    | 0.375 |
| t48-t58      | St.20        | t58           | 165.81 | 0.271   | 10.16    | 10.18    | 20.34    | 0.339 |

Tabel 4. 21 Perhitungan tc pada saluran Pemukiman warga menuju saluran Primer

| Ruas<br>Saluran | Kode<br>saluran | titik<br>Kontrol | L<br>m | V<br>m/det | to<br>menit | tf<br>menit | tc<br>menit | jam   |
|-----------------|-----------------|------------------|--------|------------|-------------|-------------|-------------|-------|
| t49-t50         | K16             | t50              | 82.38  | 0.269      | 7.57        | 5.11        | 12.68       | 0.211 |
| t51-t52         | K17             | t52              | 82.38  | 0.281      | 6.73        | 4.88        | 11.61       | 0.193 |
| t50-t54         | St.21a          | t54              | 33.92  | 0.334      | 12.68       | 1.69        | 14.37       | 0.240 |
| t53-t54         | K18             |                  | 75.64  | 0.285      | 7.20        | 4.42        | 11.61       | 0.194 |
| t54-t59         | St.21b          | t59              | 33.78  | 0.367      | 14.37       | 1.53        | 15.91       | 0.265 |

(Sumber: Hasil Perhitungan)

Tabel 4. 22 Perhitungan tc pada saluran Primer menuju Boezem

| Ruas<br>Saluran | Kode<br>saluran | titik<br>Kontrol | L<br>m | V<br>m/det | to<br>menit | tf<br>menit | tc<br>menit | jam   |
|-----------------|-----------------|------------------|--------|------------|-------------|-------------|-------------|-------|
| t32-t35         | P1              | t35              | 86.41  | 0.772      | 28.77       | 1.87        | 30.63       | 0.511 |
| t35-t41         | P2              | t41              | 59.53  | 0.740      | 30.63       | 1.34        | 31.98       | 0.533 |
| t41-t55         | P3              | t55              | 32.67  | 0.748      | 31.98       | 0.73        | 32.70       | 0.545 |
| t55-t43         | P4              | t43              | 90.82  | 0.916      | 32.70       | 1.65        | 34.36       | 0.573 |
| t56-t57         | P5              | t57              | 124.06 | 0.953      | 34.36       | 2.17        | 36.53       | 0.609 |
| t57-t58         | P6              | t58              | 6.00   | 0.961      | 36.53       | 0.10        | 36.63       | 0.611 |
| t58-t59         | P7              | t59              | 80.58  | 0.800      | 36.63       | 1.68        | 38.31       | 0.639 |
| t59-t60         | P8              | t60              | 38.42  | 0.738      | 38.31       | 0.87        | 39.18       | 0.653 |

(Sumber: Hasil Perhitungan)

#### 4.1.8 Perhitungan Intensitas Hujan

Waktu curah hujan sangat mempengaruhi besar kecilnya intensitas hujan. karena data yang tersedia hanya data curah hujan harian saja. maka perhitungan intensitas hujan menggunakan rumus Mononobe, yaitu:

$$I_t = \frac{R_{24}}{24} \cdot \left(\frac{24}{t_c}\right)^{2/3}$$

Dimana :

$I_t$  = Intensitas Hujan dalam 1 jam (mm/jam)

$R_{24}$  = Curah hujan efektif dalam 1 jam

$t_c$  = Waktu Konsentrasi (jam)

Berikut perhitungan Intensitas Hujan saluran kuarter, saluran terseier, saluran sekunder dan saluran primer dengan periode ulang tertentu :

- Untuk menghitung intensitas hujan pada saluran kuarter menggunakan curah hujan maksimum periode ulang 2 tahun metode Gumbel.
- Untuk menghitung intensitas hujan pada saluran tersier dan sekunder menggunakan curah hujan maksimum periode ulang 5 tahun metode Gumbel.
- Untuk menghitung intensitas hujan pada saluran primer menggunakan curah hujan maksimum periode ulang 10 tahun metode Gumbel

Contoh perhitungan Intensitas Hujan pada saluran T1 ruas 1-2 dengan  $R_5 = 109,96$  mm.

$$I_5 = \frac{109,96}{24} \cdot \left(\frac{24}{0,20 \text{ jam}}\right)^{2/3}$$

$$= 111,91 \text{ mm/jam}$$

Perhitungan Intensitas Hujan dengan Periode Ulang tertentu dapat dilihat pada tabel 4.23, 4.24, 4.25, dan 4.26.

Tabel 4. 23 Perhitungan Intensitas Hujan daerah Perumahan

| Ruas<br>Saluran | Kode<br>saluran | titik<br>Kontrol | tc    |      | R24    | I      |
|-----------------|-----------------|------------------|-------|------|--------|--------|
|                 |                 |                  | menit | jam  | mm     | mm/jam |
| 1-2a            | T1              | 2a               | 11.93 | 0.20 | 109.96 | 111.91 |
| 2a-2            | T2              | 2                | 19.75 | 0.33 | 109.96 | 79.96  |
| 2-4             | S1.A            | 4                | 20.09 | 0.33 | 109.96 | 79.04  |
| 3-4             | T3              |                  | 13.61 | 0.23 | 109.96 | 102.48 |
| 4-5             | S1.B            | 5                | 21.66 | 0.36 | 109.96 | 75.20  |
| 3-5             | T4              |                  | 15.25 | 0.25 | 109.96 | 95.02  |
| 5-7             | S1.C            | 7                | 22.03 | 0.37 | 109.96 | 74.34  |
| 6-7             | T5              |                  | 13.64 | 0.23 | 109.96 | 102.35 |
| 7-8             | S1.D            | 8                | 23.34 | 0.39 | 109.96 | 71.53  |
| 6-8             | T6              |                  | 15.29 | 0.25 | 109.96 | 94.83  |
| 8-10            | S1.E            | 10               | 23.68 | 0.39 | 109.96 | 70.86  |
| 9-10            | T7              |                  | 13.70 | 0.23 | 109.96 | 102.04 |
| 10-11           | S1.F            | 11               | 24.86 | 0.41 | 109.96 | 68.58  |
| 9-11            | T8              |                  | 15.23 | 0.25 | 109.96 | 95.09  |
| 11-14           | S1.G            | 14               | 25.39 | 0.42 | 109.96 | 67.63  |
| 12-13           | T9A             | 13               | 12.98 | 0.22 | 109.96 | 105.76 |
| 13-14           | T9              | 14               | 19.47 | 0.32 | 109.96 | 80.74  |
| 14-15           | S1.H            | 15               | 26.49 | 0.44 | 109.96 | 65.75  |
| 13-15           | T10             |                  | 15.30 | 0.26 | 109.96 | 94.79  |
| 15-16           | S1.I            | 16               | 26.78 | 0.45 | 109.96 | 65.27  |
| 17-16           | T11             |                  | 13.67 | 0.23 | 109.96 | 102.18 |
| 16-18           | S1.J            | 18               | 27.83 | 0.46 | 109.96 | 63.61  |
| 17-18           | T12             |                  | 15.18 | 0.25 | 109.96 | 95.28  |
| 18-20           | S1.K            | 20               | 28.24 | 0.47 | 109.96 | 63.00  |
| 19-20           | T13             |                  | 11.89 | 0.20 | 109.96 | 112.12 |
| 20-P1           | S1.L            | P1               | 28.77 | 0.48 | 109.96 | 62.23  |
| 2-21            | T14             | 21               | 11.45 | 0.19 | 109.96 | 115.03 |
| 21-23           | S2.A            | 23               | 11.95 | 0.20 | 109.96 | 111.79 |
| 22-23           | T15             |                  | 13.45 | 0.22 | 109.96 | 103.32 |

Tabel 4. 23 Perhitungan Intensitas Hujan daerah Perumahan

| Ruas Saluran | Kode saluran | titik Kontrol | tc    |      | R24    | I      |
|--------------|--------------|---------------|-------|------|--------|--------|
|              |              |               | menit | jam  | mm     | mm/jm  |
| 23-24        | S2.B         | 24            | 14.96 | 0.25 | 109.96 | 96.25  |
| 22-24        | T16          |               | 14.88 | 0.25 | 109.96 | 96.59  |
| 24-26        | S2.C         | 26            | 15.24 | 0.25 | 109.96 | 95.06  |
| 25-26        | T17          |               | 13.33 | 0.22 | 109.96 | 103.90 |
| 26-27        | S2.D         | 27            | 16.50 | 0.27 | 109.96 | 90.16  |
| 25-27        | T18          |               | 14.81 | 0.25 | 109.96 | 96.86  |
| 27-29        | S2.E         | 29            | 16.82 | 0.28 | 109.96 | 89.00  |
| 28-29        | T19          |               | 13.45 | 0.22 | 109.96 | 103.32 |
| 29-30        | S2.F         | 30            | 17.96 | 0.30 | 109.96 | 85.20  |
| 28-30        | T20          |               | 14.57 | 0.24 | 109.96 | 97.93  |
| 30-32        | S2.G         |               | 18.46 | 0.31 | 109.96 | 83.64  |
| 31-32        | T21          | 32            | 13.34 | 0.22 | 109.96 | 103.85 |
| 21-32        | T22          |               | 14.06 | 0.23 | 109.96 | 100.28 |
| 32-33        | S2.H         | 33            | 19.50 | 0.33 | 109.96 | 80.63  |
| 31-33        | T23          |               | 14.94 | 0.25 | 109.96 | 96.30  |
| 33-35        | S2.I         | 35            | 19.78 | 0.33 | 109.96 | 79.89  |
| 34-35        | T24          |               | 13.16 | 0.22 | 109.96 | 104.79 |
| 35-36        | S2.J         | 36            | 20.76 | 0.35 | 109.96 | 77.33  |
| 34-36        | T25          |               | 14.73 | 0.25 | 109.96 | 97.21  |
| 36-38        | S2.K         | 38            | 21.10 | 0.35 | 109.96 | 76.50  |
| 37-38        | T26          |               | 12.60 | 0.21 | 109.96 | 107.88 |
| 38-39        | S2.L         | 39            | 21.96 | 0.37 | 109.96 | 74.50  |
| 37-39        | T27          |               | 12.81 | 0.21 | 109.96 | 106.71 |
| 39-40        | S2.M         |               | 22.24 | 0.37 | 109.96 | 73.87  |
| 19-40        | T28          | 40            | 14.75 | 0.25 | 109.96 | 97.14  |
| 41-40        | T29          |               | 11.70 | 0.19 | 109.96 | 113.39 |
| 40-P2        | S2.N         | P2            | 22.73 | 0.38 | 109.96 | 72.80  |

(Sumber: Hasil Perhitungan)

Tabel 4. 24 Perhitungan Intensitas Hujan daerah Pemukiman  
Warga menuju Boezem

| Ruas Saluran | Kode saluran | titik Kontrol | tc menit | jam  | R24 mm | I mm/jm |
|--------------|--------------|---------------|----------|------|--------|---------|
| t1-t2        | St1          | t2            | 13.89    | 0.23 | 109.96 | 101.13  |
| t2-t3        | St2          | t3            | 20.11    | 0.34 | 109.96 | 79.01   |
| t5-t3        | St3a         |               | 13.69    | 0.23 | 109.96 | 102.11  |
| t3-t6        | St4          | t6            | 20.26    | 0.34 | 109.96 | 78.60   |
| t7-t6        | St8a         |               | 7.12     | 0.12 | 109.96 | 157.91  |
| t6-t8        | St5          | t8            | 23.99    | 0.40 | 109.96 | 70.24   |
| t8-t11       | St6a         | t12           | 27.13    | 0.45 | 109.96 | 64.70   |
| t9-t11a      | k10          | t11a          | 17.71    | 0.30 | 95.55  | 74.73   |
| t10-t11a     | k11          | t11           | 11.88    | 0.20 | 95.55  | 97.52   |
| t11a-t11     | k11a         |               | 18.92    | 0.32 | 95.55  | 71.50   |
| t11-t13      | St6b         | t13           | 28.86    | 0.48 | 109.96 | 62.10   |
| t7-t12       | St8          | t12           | 4.49     | 0.07 | 109.96 | 214.76  |
| t12-t13      | St9          | t13           | 21.12    | 0.35 | 109.96 | 76.46   |
| t13-t22      | St7          | t22           | 29.14    | 0.49 | 109.96 | 61.69   |
| t2-t14       | St10         | t14           | 19.39    | 0.32 | 109.96 | 80.95   |
| t14-t15      | St11         | t15           | 23.75    | 0.40 | 109.96 | 70.72   |
| t4-t5        | k9           | t5            | 15.04    | 0.25 | 95.55  | 83.32   |
| t5-t15       | St3b         | t15           | 19.04    | 0.32 | 109.96 | 81.94   |
| t16-t17      | St12         | t17           | 12.00    | 0.20 | 109.96 | 111.49  |
| t18-t17      | St13         |               | 16.05    | 0.27 | 109.96 | 91.84   |
| t19-t20a     | St14         | t20a          | 11.62    | 0.19 | 109.96 | 113.91  |
| t15-t20      | Ss1          | t20           | 22.53    | 0.38 | 109.96 | 73.25   |
| t50-t21      | St15a        | t21           | 13.39    | 0.22 | 109.96 | 103.59  |
| t21a-t21     | k15          |               | 13.75    | 0.23 | 95.55  | 88.45   |
| t21-20b      | St15b        | t20b          | 17.10    | 0.28 | 109.96 | 88.03   |
| t20b-t20c    | Ss2          | t20c          | 30.58    | 0.51 | 109.96 | 59.74   |

(Sumber: Hasil Perhitungan)

Tabel 4. 25 Perhitungan Intensitas Hujan daerah Pemukiman  
Warga menuju saluran Primer

| Ruas Saluran | Kode saluran | titik Kontrol | tc menit | jam  | R24 mm | I mm/jm |
|--------------|--------------|---------------|----------|------|--------|---------|
| t22-23       | K1.a         | t23           | 9.61     | 0.16 | 95.55  | 112.35  |
| t23-t26      | St.16a       | t26           | 12.51    | 0.21 | 109.96 | 108.43  |
| t25-t26      | K2.a         |               | 11.76    | 0.20 | 95.55  | 98.18   |
| t28-t29      | K3.a         | t29           | 12.20    | 0.20 | 95.55  | 95.80   |
| t29-t32      | St.16b       | t32           | 15.95    | 0.27 | 109.96 | 92.20   |
| t31-t32      | K4.a         |               | 10.52    | 0.18 | 95.55  | 105.76  |
| t34-t35      | K5.a         | t35           | 9.07     | 0.15 | 95.55  | 116.75  |
| t37-t38      | K6.a         | t38           | 13.45    | 0.22 | 95.55  | 89.78   |
| t40-t41      | K7           | t41           | 10.91    | 0.18 | 95.55  | 103.18  |
| t42-t43      | K8           | t43           | 10.66    | 0.18 | 95.55  | 104.79  |
| t24a-t24     | St.17a       | t24           | 9.70     | 0.16 | 109.96 | 128.44  |
| t22-t24      | K1.b         |               | 7.80     | 0.13 | 95.55  | 129.03  |
| t24-t27      | St.17b       | t27           | 17.09    | 0.28 | 109.96 | 88.05   |
| t25-t27      | K2.b         |               | 9.08     | 0.15 | 95.55  | 116.65  |
| t28-t30      | K3.b         | t30           | 7.46     | 0.12 | 95.55  | 133.03  |
| t27-t33      | St.17.c      | t33           | 19.12    | 0.32 | 109.96 | 81.70   |
| t31-t33      | K4.b         |               | 13.51    | 0.23 | 95.55  | 89.50   |
| t33-36       | St.17d       | t36           | 23.20    | 0.39 | 109.96 | 71.82   |
| t34-t36      | K5.b         |               | 10.62    | 0.18 | 95.55  | 105.06  |
| t37-t39      | K6.b         | t39           | 9.24     | 0.15 | 95.55  | 115.29  |
| t39-t43      | St.17e       | t43           | 28.46    | 0.47 | 109.96 | 62.68   |
| t8-t44       | St.18a       | t44           | 18.29    | 0.30 | 109.96 | 84.15   |
| t43-t44      | K12          |               | 10.09    | 0.17 | 95.55  | 108.74  |
| t44-t47      | St.18b       | t47           | 20.76    | 0.35 | 109.96 | 77.35   |
| t46-t47      | K13          |               | 12.69    | 0.21 | 95.55  | 93.30   |
| t47-t56      | St.18c       | t56           | 21.44    | 0.36 | 109.96 | 75.69   |
| t10-t45      | St.19a       | t45           | 17.55    | 0.29 | 109.96 | 86.52   |
| t43-t45      | K14          |               | 11.69    | 0.19 | 95.55  | 98.58   |
| t45-t57      | St.19b       | t57           | 22.50    | 0.38 | 109.96 | 73.30   |
| t48-t58      | St.20        | t58           | 20.34    | 0.34 | 109.96 | 78.40   |
| t49-t50      | K16          | t50           | 12.68    | 0.21 | 95.55  | 93.36   |

Tabel 4.25 Perhitungan Intensitas Hujan daerah Pemukiman Warga menuju saluran Primer

| Ruas<br>Saluran | Kode<br>saluran | titik<br>Kontrol | tc    |      | R24    | I     |
|-----------------|-----------------|------------------|-------|------|--------|-------|
|                 |                 |                  | menit | jam  | mm     | mm/jm |
| t51-t52         | K17             | t52              | 11.61 | 0.19 | 95.55  | 99.03 |
| t50-t54         | St.21a          | t54              | 14.37 | 0.24 | 109.96 | 98.83 |
| t53-t54         | K18             |                  | 11.61 | 0.19 | 95.55  | 99.00 |
| t54-t59         | St.21b          | t59              | 15.91 | 0.27 | 109.96 | 92.37 |

(Sumber: Hasil Perhitungan)

Tabel 4. 26 Perhitungan Intensitas Hujan Saluran Primer menuju Boezem

| Ruas<br>Saluran | Kode<br>saluran | titik<br>Kontrol | tc    |      | R24    | I     |
|-----------------|-----------------|------------------|-------|------|--------|-------|
|                 |                 |                  | menit | jam  | mm     | mm/jm |
| t32-t35         | P1              | t35              | 30.63 | 0.51 | 119.49 | 64.85 |
| t35-t41         | P2              | t41              | 31.98 | 0.53 | 119.49 | 63.02 |
| t41-t55         | P3              | t55              | 32.70 | 0.55 | 119.49 | 62.08 |
| t55-t43         | P4              | t43              | 34.36 | 0.57 | 119.49 | 60.08 |
| t56-t57         | P5              | t57              | 36.53 | 0.61 | 119.49 | 57.67 |
| t57-t58         | P6              | t58              | 36.63 | 0.61 | 119.49 | 57.56 |
| t58-t59         | P7              | t59              | 38.31 | 0.64 | 119.49 | 55.87 |
| t59-t60         | P8              | t60              | 39.18 | 0.65 | 119.49 | 55.04 |

(Sumber: Hasil Perhitungan)

#### 4.1.8 Koefesien Pengaliran (C )

Dalam perhitungan drainase permukaan, penentuan nilai C dilakukan melalui pendekatan yaitu berdasarkan karakter permukaan. Berdasarkan tabel 2.9 koefesien pengaliran maka, perubahan lahan kosong menjadi perumahan menggunakan pengaliran sebagai berikut :

Tabel 4. 27 Penentuan Koefesien Pengaliran Perumahan

| Deskripsi lahan | Koefesien Pengaliran (C ) |
|-----------------|---------------------------|
| bangunan Rumah  | 0.70                      |
| Jalan           | 0.95                      |
| tanaman         | 0.25                      |
| Halaman         | 0.22                      |

Dan koefesien pemukiman warga sesuai lapangan menggunakan koefesien pengaliran sebagai berikut:

Tabel 4. 28 Penentuan Koefesien Pengaliran Pemukiman Warga

| Deskripsi lahan | Koefesien Pengaliran (C ) |
|-----------------|---------------------------|
| bangunan Rumah  | 0,70                      |
| Jalan           | 0,85                      |
| Lahan kosong    | 0,22                      |
| Kuburan         | 0,30                      |

Pada dilapangan sangat sulit menentukan daerah yang homogen. Dalam kondisi tersebut, maka nilai koefesien Pengaliran (C ) dapat dihitung dengan cara sebagai berikut :

$$C_{\text{gab}} = \frac{C_1 \times A_1 + C_2 \times A_2 + \dots + C_n \times A_n}{A_1 + A_2 + \dots + A_n}$$

Contoh perhitungan C gabungan pada saluran tersier T7

$$\begin{aligned} C_{\text{gab}} &= \frac{C_1 \times A_1 + C_2 \times A_2 + \dots + C_n \times A_n}{A_1 + A_2 + \dots + A_n} \\ &= \frac{0,7 \times 0,0018 + 0,25 \times 0,0004 + 0,22 \times 0,0007 + 0,95 \times 0,0004}{0,0018 + 0,0004 + 0,0007 + 0,0004} \\ &= 0,58. \end{aligned}$$

Perhitungan Intensitas Hujan dengan Periode Ulang tertentu dapat dilihat pada tabel 4.29, 4.30, 4.31, dan 4.32.

Tabel 4. 29 Koefesien Pengaliran (C ) gabungan daerah perumahan

| No. | Ruas<br>saluran | Kode<br>saluran | L<br>saluran | Luas (km <sup>2</sup> ) |                |                 |          |         |         |         |         | Koefesien Pengaliran (C ) |       |      |          |         |         | Ai.Ci | Ai              | Cgab            |  |
|-----|-----------------|-----------------|--------------|-------------------------|----------------|-----------------|----------|---------|---------|---------|---------|---------------------------|-------|------|----------|---------|---------|-------|-----------------|-----------------|--|
|     |                 |                 |              | m                       | m <sup>2</sup> | km <sup>2</sup> | Bangunan |         | Halaman |         | tanaman |                           | Jalan |      | Bangunan | Halaman | tanaman | Jalan | km <sup>2</sup> | km <sup>2</sup> |  |
| 1   | 1-2a            | T1              | 147.76       | 0.00                    | 0.0000         | 0.00            | 0.0000   | 658.35  | 0.0007  | 931.31  | 0.0009  | 0.70                      | 0.22  | 0.25 | 0.95     | 0.00105 | 0.0016  | 0.66  |                 |                 |  |
| 2   | 2a-2            | T2              | 156.34       | 0.00                    | 0.0000         | 0.00            | 0.0000   | 1076.21 | 0.0011  | 1726.80 | 0.0017  | 0.70                      | 0.22  | 0.25 | 0.95     | 0.00191 | 0.0028  | 0.68  |                 |                 |  |
| 3   | 2-4             | S1.A            | 6.89         | 0.00                    | 0.0000         | 0.00            | 0.0000   | 1076.21 | 0.0011  | 1726.80 | 0.0017  | 0.70                      | 0.22  | 0.25 | 0.95     | 0.00191 | 0.0028  | 0.68  |                 |                 |  |
| 4   | 3-4             | T3              | 144.94       | 2029.52                 | 0.0020         | 705.64          | 0.0007   | 369.32  | 0.0004  | 384.47  | 0.0004  | 0.70                      | 0.22  | 0.25 | 0.95     | 0.00203 | 0.0035  | 0.58  |                 |                 |  |
| 5   | 4-5             | S1.B            | 37.00        | 2029.52                 | 0.0020         | 705.64          | 0.0007   | 1538.68 | 0.0015  | 2354.91 | 0.0024  | 0.70                      | 0.22  | 0.25 | 0.95     | 0.00420 | 0.0066  | 0.63  |                 |                 |  |
| 6   | 3-5             | T4              | 180.67       | 2027.52                 | 0.0020         | 707.70          | 0.0007   | 463.94  | 0.0005  | 561.27  | 0.0006  | 0.70                      | 0.22  | 0.25 | 0.95     | 0.00222 | 0.0038  | 0.59  |                 |                 |  |
| 7   | 5-7             | S1.C            | 10.00        | 4057.04                 | 0.0041         | 1413.34         | 0.0014   | 2002.61 | 0.0020  | 3007.82 | 0.0030  | 0.70                      | 0.22  | 0.25 | 0.95     | 0.00651 | 0.0105  | 0.62  |                 |                 |  |
| 8   | 6-7             | T5              | 144.94       | 1959.50                 | 0.0020         | 701.77          | 0.0007   | 370.03  | 0.0004  | 369.80  | 0.0004  | 0.70                      | 0.22  | 0.25 | 0.95     | 0.00197 | 0.0034  | 0.58  |                 |                 |  |
| 9   | 7-8             | S1.D            | 37.00        | 6016.54                 | 0.0060         | 2115.11         | 0.0021   | 2465.77 | 0.0025  | 3621.21 | 0.0036  | 0.70                      | 0.22  | 0.25 | 0.95     | 0.00873 | 0.0142  | 0.61  |                 |                 |  |
| 10  | 6-8             | T6              | 180.67       | 2099.48                 | 0.0021         | 709.74          | 0.0007   | 463.13  | 0.0005  | 576.23  | 0.0006  | 0.70                      | 0.22  | 0.25 | 0.95     | 0.00229 | 0.0038  | 0.59  |                 |                 |  |
| 11  | 8-10            | S1.E            | 10.00        | 8116.02                 | 0.0081         | 2824.85         | 0.0028   | 2928.90 | 0.0029  | 4288.98 | 0.0043  | 0.70                      | 0.22  | 0.25 | 0.95     | 0.01111 | 0.0182  | 0.61  |                 |                 |  |
| 12  | 9-10            | T7              | 180.666      | 2031.47                 | 0.0020         | 703.79          | 0.0007   | 370.03  | 0.0004  | 369.80  | 0.0004  | 0.70                      | 0.22  | 0.25 | 0.95     | 0.00202 | 0.0035  | 0.58  |                 |                 |  |
| 13  | 10-11           | S1.F            | 37.00        | 10147.48                | 0.0101         | 3528.64         | 0.0035   | 3392.03 | 0.0034  | 4902.31 | 0.0049  | 0.70                      | 0.22  | 0.25 | 0.95     | 0.01338 | 0.0220  | 0.61  |                 |                 |  |
| 14  | 9-11            | T8              | 144.938      | 2029.50                 | 0.0020         | 705.75          | 0.0007   | 459.89  | 0.0005  | 631.35  | 0.0006  | 0.70                      | 0.22  | 0.25 | 0.95     | 0.00229 | 0.0038  | 0.60  |                 |                 |  |
| 15  | 11-14           | S1.G            | 17.00        | 12176.99                | 0.0122         | 4234.39         | 0.0042   | 3851.92 | 0.0039  | 5690.97 | 0.0057  | 0.70                      | 0.22  | 0.25 | 0.95     | 0.01582 | 0.0260  | 0.61  |                 |                 |  |
| 16  | 12-13           | T9A             | 163.74       | 0.00                    | 0.0000         | 0.00            | 0.0000   | 432.02  | 0.0004  | 982.53  | 0.0010  | 0.70                      | 0.22  | 0.25 | 0.95     | 0.00104 | 0.0014  | 0.74  |                 |                 |  |
| 17  | 13-14           | T9              | 180.666      | 2029.59                 | 0.0020         | 707.74          | 0.0007   | 802.61  | 0.0008  | 1425.77 | 0.0014  | 0.70                      | 0.22  | 0.25 | 0.95     | 0.00313 | 0.0050  | 0.63  |                 |                 |  |
| 18  | 14-15           | S1.H            | 37.00        | 14206.58                | 0.0142         | 4942.12         | 0.0049   | 4747.63 | 0.0047  | 7359.64 | 0.0074  | 0.70                      | 0.22  | 0.25 | 0.95     | 0.01921 | 0.0313  | 0.61  |                 |                 |  |
| 19  | 13-15           | T10             | 144.938      | 2029.59                 | 0.0020         | 705.75          | 0.0007   | 457.84  | 0.0005  | 538.00  | 0.0005  | 0.70                      | 0.22  | 0.25 | 0.95     | 0.00220 | 0.0037  | 0.59  |                 |                 |  |
| 20  | 15-16           | S1.I            | 10.00        | 16236.17                | 0.0162         | 5647.87         | 0.0056   | 5205.47 | 0.0052  | 7989.00 | 0.0080  | 0.70                      | 0.22  | 0.25 | 0.95     | 0.02150 | 0.0351  | 0.61  |                 |                 |  |
| 21  | 17-16           | T11             | 180.666      | 2238.58                 | 0.0022         | 719.86          | 0.0007   | 367.90  | 0.0004  | 369.80  | 0.0004  | 0.70                      | 0.22  | 0.25 | 0.95     | 0.00217 | 0.0037  | 0.59  |                 |                 |  |
| 22  | 16-18           | S1.J            | 37.00        | 18474.75                | 0.0185         | 6367.73         | 0.0064   | 5666.50 | 0.0057  | 8601.09 | 0.0086  | 0.70                      | 0.22  | 0.25 | 0.95     | 0.02392 | 0.0391  | 0.61  |                 |                 |  |
| 23  | 17-18           | T12             | 144.938      | 1819.55                 | 0.0018         | 693.74          | 0.0007   | 463.94  | 0.0005  | 577.17  | 0.0006  | 0.70                      | 0.22  | 0.25 | 0.95     | 0.00209 | 0.0036  | 0.59  |                 |                 |  |
| 24  | 18-20           | S1.K            | 14.40        | 20294.31                | 0.0203         | 7061.47         | 0.0071   | 6130.44 | 0.0061  | 9224.18 | 0.0092  | 0.70                      | 0.22  | 0.25 | 0.95     | 0.02606 | 0.0427  | 0.61  |                 |                 |  |
| 25  | 19-20           | T13             | 110.46       | 2083.39                 | 0.0021         | 647.61          | 0.0006   | 420.33  | 0.0004  | 501.48  | 0.0005  | 0.70                      | 0.22  | 0.25 | 0.95     | 0.00218 | 0.0037  | 0.60  |                 |                 |  |

Tabel 4. 29 Koefesien Pengaliran (C ) gabungan daerah perumahan (lanjutan)

| No. | Ruas<br>saluran | Kode<br>saluran | L<br>saluran | Luas (km <sup>2</sup> ) |                |                 |                |                 |                |                 |                | Koefesien Pengaliran (C ) |                |                 |                |                 |                 | Ai.Ci           | Ai    | Cgab |  |  |
|-----|-----------------|-----------------|--------------|-------------------------|----------------|-----------------|----------------|-----------------|----------------|-----------------|----------------|---------------------------|----------------|-----------------|----------------|-----------------|-----------------|-----------------|-------|------|--|--|
|     |                 |                 |              | Bangunan                |                |                 | Halaman        |                 |                | tanaman         |                |                           | Jalan          |                 |                | Bangunan        | Halaman         | tanaman         | Jalan |      |  |  |
|     |                 |                 |              | m                       | m <sup>2</sup> | km <sup>2</sup>           | m <sup>2</sup> | km <sup>2</sup> | m <sup>2</sup> | km <sup>2</sup> | km <sup>2</sup> | km <sup>2</sup> |       |      |  |  |
| 26  | 20-t32          | S1.L            | 19.10        | 22377.70                | 0.0224         | 7709.07         | 0.0077         | 6550.76         | 0.0066         | 9725.66         | 0.0097         | 0.70                      | 0.22           | 0.25            | 0.95           | 0.02824         | 0.0464          | 0.61            |       |      |  |  |
| 27  | 2-21            | T14             | 156.32       | 0.00                    | 0.0000         | 0.00            | 0.0000         | 0.0000          | 850.09         | 0.0009          | 1533.35        | 0.0015                    | 0.70           | 0.22            | 0.25           | 0.95            | 0.00167         | 0.0024          | 0.70  |      |  |  |
| 28  | 21-23           | S2.A            | 10.59        | 0.00                    | 0.0000         | 0.00            | 0.0000         | 0.0000          | 850.09         | 0.0009          | 1558.30        | 0.0016                    | 0.70           | 0.22            | 0.25           | 0.95            | 0.00169         | 0.0024          | 0.70  |      |  |  |
| 29  | 22-23           | T15             | 140.15       | 1849.31                 | 0.0018         | 674.49          | 0.0007         | 350.43          | 0.0004         | 345.51          | 0.0003         | 0.70                      | 0.22           | 0.25            | 0.95           | 0.00186         | 0.0032          | 0.58            |       |      |  |  |
| 30  | 23-24           | S2.B            | 37.00        | 1849.31                 | 0.0018         | 674.49          | 0.0007         | 1293.63         | 0.0013         | 2023.01         | 0.0020         | 0.70                      | 0.22           | 0.25            | 0.95           | 0.00369         | 0.0058          | 0.63            |       |      |  |  |
| 31  | 22-24           | T16             | 173.61       | 1983.77                 | 0.0020         | 687.61          | 0.0007         | 445.69          | 0.0004         | 719.30          | 0.0007         | 0.70                      | 0.22           | 0.25            | 0.95           | 0.00233         | 0.0038          | 0.61            |       |      |  |  |
| 32  | 24-26           | S2.C            | 10.00        | 3833.08                 | 0.0038         | 1362.10         | 0.0014         | 1739.31         | 0.0017         | 2809.11         | 0.0028         | 0.70                      | 0.22           | 0.25            | 0.95           | 0.00609         | 0.0097          | 0.62            |       |      |  |  |
| 33  | 25-26           | T17             | 138.06       | 1937.13                 | 0.0019         | 670.88          | 0.0007         | 352.84          | 0.0004         | 347.86          | 0.0003         | 0.70                      | 0.22           | 0.25            | 0.95           | 0.00192         | 0.0033          | 0.58            |       |      |  |  |
| 34  | 26-27           | S2.D            | 37.00        | 5770.22                 | 0.0058         | 2032.97         | 0.0020         | 2185.30         | 0.0022         | 3372.90         | 0.0034         | 0.70                      | 0.22           | 0.25            | 0.95           | 0.00824         | 0.0134          | 0.62            |       |      |  |  |
| 35  | 25-27           | T18             | 173.79       | 1937.25                 | 0.0019         | 670.76          | 0.0007         | 446.01          | 0.0004         | 720.01          | 0.0007         | 0.70                      | 0.22           | 0.25            | 0.95           | 0.00230         | 0.0038          | 0.61            |       |      |  |  |
| 36  | 27-29           | S2.E            | 10.00        | 7707.46                 | 0.0077         | 2703.73         | 0.0027         | 2631.31         | 0.0026         | 4174.28         | 0.0042         | 0.70                      | 0.22           | 0.25            | 0.95           | 0.01061         | 0.0172          | 0.62            |       |      |  |  |
| 37  | 28-29           | T19             | 138.06       | 1926.71                 | 0.0019         | 681.46          | 0.0007         | 352.85          | 0.0004         | 347.86          | 0.0003         | 0.70                      | 0.22           | 0.25            | 0.95           | 0.00192         | 0.0033          | 0.58            |       |      |  |  |
| 38  | 29-30           | S2.F            | 37.00        | 9634.17                 | 0.0096         | 3385.20         | 0.0034         | 3077.25         | 0.0031         | 4715.86         | 0.0047         | 0.70                      | 0.22           | 0.25            | 0.95           | 0.01274         | 0.0208          | 0.61            |       |      |  |  |
| 39  | 28-30           | T20             | 173.79       | 1925.22                 | 0.0019         | 681.11          | 0.0007         | 446.01          | 0.0004         | 1264.46         | 0.0013         | 0.70                      | 0.22           | 0.25            | 0.95           | 0.00281         | 0.0043          | 0.65            |       |      |  |  |
| 40  | 30-32           | S2.G            | 17.06        | 11559.39                | 0.0116         | 4066.30         | 0.0041         | 3523.26         | 0.0035         | 6069.84         | 0.0061         | 0.70                      | 0.22           | 0.25            | 0.95           | 0.01563         | 0.0252          | 0.62            |       |      |  |  |
| 41  | 31-32           | T21             | 170.889      | 1898.03                 | 0.0019         | 675.69          | 0.0007         | 436.06          | 0.0004         | 357.70          | 0.0004         | 0.70                      | 0.22           | 0.25            | 0.95           | 0.00193         | 0.0034          | 0.57            |       |      |  |  |
| 42  | 21-32           | T22             | 161.71       | 2244.73                 | 0.0022         | 460.27          | 0.0005         | 508.42          | 0.0005         | 689.54          | 0.0007         | 0.70                      | 0.22           | 0.25            | 0.95           | 0.00245         | 0.0039          | 0.63            |       |      |  |  |
| 43  | 32-33           | S2.H            | 37.06        | 15702.15                | 0.0157         | 5202.25         | 0.0052         | 4560.86         | 0.0046         | 7230.90         | 0.0072         | 0.70                      | 0.22           | 0.25            | 0.95           | 0.02015         | 0.0327          | 0.62            |       |      |  |  |
| 44  | 31-33           | T23             | 136.783      | 1678.68                 | 0.0017         | 648.14          | 0.0006         | 436.06          | 0.0004         | 692.28          | 0.0007         | 0.70                      | 0.22           | 0.25            | 0.95           | 0.00208         | 0.0035          | 0.60            |       |      |  |  |
| 45  | 33-35           | S2.I            | 10.00        | 17380.83                | 0.0174         | 5850.39         | 0.0059         | 4996.92         | 0.0050         | 7976.00         | 0.0080         | 0.70                      | 0.22           | 0.25            | 0.95           | 0.02228         | 0.0362          | 0.62            |       |      |  |  |
| 46  | 34-35           | T24             | 134.14       | 2062.36                 | 0.0021         | 675.69          | 0.0007         | 675.69          | 0.0007         | 357.70          | 0.0004         | 0.70                      | 0.22           | 0.25            | 0.95           | 0.00210         | 0.0038          | 0.56            |       |      |  |  |
| 47  | 35-36           | S2.J            | 36.89        | 19443.19                | 0.0194         | 6526.08         | 0.0065         | 5765.17         | 0.0058         | 8482.31         | 0.0085         | 0.70                      | 0.22           | 0.25            | 0.95           | 0.02455         | 0.0402          | 0.61            |       |      |  |  |
| 48  | 34-36           | T25             | 170.26       | 1678.68                 | 0.0017         | 648.14          | 0.0006         | 342.62          | 0.0003         | 692.28          | 0.0007         | 0.70                      | 0.22           | 0.25            | 0.95           | 0.00206         | 0.0034          | 0.61            |       |      |  |  |
| 49  | 36-38           | S2.K            | 12.86        | 21121.86                | 0.0211         | 7174.22         | 0.0072         | 6107.79         | 0.0061         | 9174.59         | 0.0092         | 0.70                      | 0.22           | 0.25            | 0.95           | 0.02661         | 0.0436          | 0.61            |       |      |  |  |
| 50  | 37-38           | T26             | 126.18       | 0.00                    | 0.0000         | 257.75          | 0.0003         | 1114.51         | 0.0011         | 455.97          | 0.0005         | 0.70                      | 0.22           | 0.25            | 0.95           | 0.00077         | 0.0018          | 0.42            |       |      |  |  |

Tabel 4. 29 Koefesien Pengaliran (C ) gabungan daerah perumahan (lanjutan)

| No. | Ruas<br>saluran | Kode<br>saluran | L<br>saluran | Luas (km <sup>2</sup> ) |                |                 |                |                 |                |                 |                | Koefesien Pengaliran (C ) |                |                 |                |                 |                |                 |          | Ai.Ci   | Ai      | Cgab  |  |  |  |
|-----|-----------------|-----------------|--------------|-------------------------|----------------|-----------------|----------------|-----------------|----------------|-----------------|----------------|---------------------------|----------------|-----------------|----------------|-----------------|----------------|-----------------|----------|---------|---------|-------|--|--|--|
|     |                 |                 |              | Bangunan                |                |                 |                | Halaman         |                |                 |                | tanaman                   |                |                 |                | Jalan           |                |                 |          |         |         |       |  |  |  |
|     |                 |                 |              | m                       | m <sup>2</sup> | km <sup>2</sup>           | m <sup>2</sup> | km <sup>2</sup> | m <sup>2</sup> | km <sup>2</sup> | m <sup>2</sup> | km <sup>2</sup> | Bangunan | Halaman | tanaman | Jalan |  |  |  |
| 51  | 38-39           | S2.L            | 32.50        | 21121.86                | 0.0211         | 7504.59         | 0.0075         | 7433.93         | 0.0074         | 9813.48         | 0.0098         | 0.70                      | 0.22           | 0.25            | 0.95           | 0.02762         | 0.0459         | 0.60            |          |         |         |       |  |  |  |
| 52  | 37-39           | T27             | 133.79       | 0.00                    | 0.0000         | 283.40          | 0.0003         | 1119.55         | 0.0011         | 557.12          | 0.0006         | 0.70                      | 0.22           | 0.25            | 0.95           | 0.00087         | 0.0020         | 0.44            |          |         |         |       |  |  |  |
| 53  | 39-40           | S2.M            | 10.91        | 21121.86                | 0.0211         | 7787.99         | 0.0078         | 8553.48         | 0.0086         | 10370.60        | 0.0104         | 0.70                      | 0.22           | 0.25            | 0.95           | 0.02849         | 0.0478         | 0.60            |          |         |         |       |  |  |  |
| 54  | 19-40           | T28             | 174.83       | 2637.69                 | 0.0026         | 693.91          | 0.0007         | 457.82          | 0.0005         | 540.03          | 0.0005         | 0.70                      | 0.22           | 0.25            | 0.95           | 0.00263         | 0.0043         | 0.61            |          |         |         |       |  |  |  |
| 55  | 41-40           | T29             | 140.25       | 305.29                  | 0.0003         | 86.45           | 0.0001         | 997.46          | 0.0010         | 467.55          | 0.0005         | 0.70                      | 0.22           | 0.25            | 0.95           | 0.00093         | 0.0019         | 0.50            |          |         |         |       |  |  |  |
| 56  | 40-t55          | S2.N            | 19.10        | 24064.84                | 0.0241         | 8568.35         | 0.0086         | 10008.76        | 0.0100         | 11378.18        | 0.0114         | 0.70                      | 0.22           | 0.25            | 0.95           | 0.03204         | 0.0540         | 0.59            |          |         |         |       |  |  |  |

(Sumber: Hasil Perhitungan)

Tabel 4. 30 Koefesien Pengaliran (C ) gabungan daerah pemukiman Warga menuju boezem

| No. | Ruas<br>saluran | Kode<br>saluran | Luas (km2)   |          |        |          |        |          |        |              | Koefesien Pengaliran (C ) |       |      |          |      |                 | Ai.Ci  | Ai   | Cgab |  |
|-----|-----------------|-----------------|--------------|----------|--------|----------|--------|----------|--------|--------------|---------------------------|-------|------|----------|------|-----------------|--------|------|------|--|
|     |                 |                 | L<br>saluran |          |        | Bangunan |        | Kubursn  |        | Lahan Kosong |                           | Jalan |      | Bangunan |      | Kuburan         |        |      |      |  |
|     |                 |                 | m            | m2       | km2    | m2       | km2    | m2       | km2    | m2           | km2                       | m2    | km2  | m2       | km2  | Lahan<br>Kosong | Jalan  | km2  | km2  |  |
| 1   | t1-t2           | St.1            | 93.69        | 618.23   | 0.0006 | 0.00     | 0.0000 | 1695.84  | 0.0017 | 140.32       | 0.0001                    | 0.70  | 0.30 | 0.22     | 0.85 | 0.0009          | 0.0025 | 0.38 |      |  |
| 2   | t2-t3           | St.2            | 118.38       | 1090.69  | 0.0011 | 0.00     | 0.0000 | 2765.68  | 0.0028 | 308.26       | 0.0003                    | 0.70  | 0.30 | 0.22     | 0.85 | 0.0016          | 0.0042 | 0.39 |      |  |
| 3   | t5-t3           | St.3a           | 70.49        | 1912.21  | 0.0019 | 0.00     | 0.0000 | 3161.00  | 0.0032 | 255.93       | 0.0003                    | 0.70  | 0.30 | 0.22     | 0.85 | 0.0023          | 0.0053 | 0.42 |      |  |
| 4   | t3-t6           | St.4            | 5.00         | 3621.13  | 0.0036 | 0.00     | 0.0000 | 7622.52  | 0.0076 | 704.51       | 0.0007                    | 0.70  | 0.30 | 0.22     | 0.85 | 0.0048          | 0.0119 | 0.40 |      |  |
| 5   | t7-t6           | St.8a           | 85.26        | 0.00     | 0.0000 | 0.00     | 0.0000 | 0.00     | 0.0000 | 209.33       | 0.0002                    | 0.70  | 0.30 | 0.22     | 0.85 | 0.0002          | 0.0002 | 0.85 |      |  |
| 6   | t6-t8           | St.5            | 94.19        | 4393.61  | 0.0044 | 0.00     | 0.0000 | 8525.84  | 0.0085 | 1075.59      | 0.0011                    | 0.70  | 0.30 | 0.22     | 0.85 | 0.0059          | 0.0140 | 0.42 |      |  |
| 7   | t8-t11          | St.6a           | 80.86        | 5002.55  | 0.0050 | 0.00     | 0.0000 | 9422.61  | 0.0094 | 1193.90      | 0.0012                    | 0.70  | 0.30 | 0.22     | 0.85 | 0.0066          | 0.0156 | 0.42 |      |  |
| 8   | t9-t11a         | K.10            | 96.31        | 1134.30  | 0.0011 | 1151.98  | 0.0012 | 2523.34  | 0.0025 | 0.00         | 0.0000                    | 0.70  | 0.30 | 0.22     | 0.85 | 0.0017          | 0.0048 | 0.35 |      |  |
| 9   | t10-t11a        | K.11            | 78.92        | 549.83   | 0.0005 | 1101.12  | 0.0011 | 1136.19  | 0.0011 | 0.00         | 0.0000                    | 0.70  | 0.30 | 0.22     | 0.85 | 0.0010          | 0.0028 | 0.35 |      |  |
| 10  | t11a-11         | K.11a           | 24.80        | 1684.13  | 0.0017 | 2253.10  | 0.0023 | 3659.53  | 0.0037 | 0.00         | 0.0000                    | 0.70  | 0.30 | 0.22     | 0.85 | 0.0027          | 0.0076 | 0.35 |      |  |
| 11  | t11-t13         | St.6b           | 47.67        | 6686.68  | 0.0067 | 2253.10  | 0.0023 | 13787.00 | 0.0138 | 1340.84      | 0.0013                    | 0.70  | 0.30 | 0.22     | 0.85 | 0.0095          | 0.0241 | 0.40 |      |  |
| 12  | t7-t12          | St.8b           | 51.46        | 0.00     | 0.0000 | 0.00     | 0.0000 | 0.00     | 0.0000 | 167.47       | 0.0002                    | 0.70  | 0.30 | 0.22     | 0.85 | 0.0001          | 0.0002 | 0.85 |      |  |
| 13  | t12-t13         | St.9            | 72.27        | 284.47   | 0.0003 | 0.00     | 0.0000 | 1068.49  | 0.0011 | 281.43       | 0.0003                    | 0.70  | 0.30 | 0.22     | 0.85 | 0.0007          | 0.0016 | 0.41 |      |  |
| 14  | t13-t22         | St.7            | 10.31        | 6971.15  | 0.0070 | 2253.10  | 0.0023 | 14855.49 | 0.0149 | 1622.27      | 0.0016                    | 0.70  | 0.30 | 0.22     | 0.85 | 0.0102          | 0.0257 | 0.40 |      |  |
| 15  | t2-t14          | St.10           | 146.73       | 1122.70  | 0.0011 | 0.00     | 0.0000 | 2434.23  | 0.0024 | 258.58       | 0.0003                    | 0.70  | 0.30 | 0.22     | 0.85 | 0.0015          | 0.0038 | 0.40 |      |  |
| 16  | t14-t15         | St.11           | 90.25        | 1930.96  | 0.0019 | 0.00     | 0.0000 | 3783.20  | 0.0038 | 462.71       | 0.0005                    | 0.70  | 0.30 | 0.22     | 0.85 | 0.0026          | 0.0062 | 0.42 |      |  |
| 17  | t4-t5           | K.9             | 54.79        | 927.84   | 0.0009 | 0.00     | 0.0000 | 1976.04  | 0.0020 | 0.00         | 0.0000                    | 0.70  | 0.30 | 0.22     | 0.85 | 0.0011          | 0.0029 | 0.37 |      |  |
| 18  | t5-t15          | St.3b           | 77.79        | 1242.62  | 0.0012 | 0.00     | 0.0000 | 2571.91  | 0.0026 | 167.25       | 0.0002                    | 0.70  | 0.30 | 0.22     | 0.85 | 0.0016          | 0.0040 | 0.40 |      |  |
| 19  | t16-t17         | St.12           | 90.87        | 840.68   | 0.0008 | 0.00     | 0.0000 | 1006.58  | 0.0010 | 204.13       | 0.0002                    | 0.70  | 0.30 | 0.22     | 0.85 | 0.0010          | 0.0021 | 0.48 |      |  |
| 20  | t18-t17         | St.13           | 62.58        | 453.29   | 0.0005 | 0.00     | 0.0000 | 1055.35  | 0.0011 | 187.62       | 0.0002                    | 0.70  | 0.30 | 0.22     | 0.85 | 0.0007          | 0.0017 | 0.42 |      |  |
| 21  | t19-t20a        | St.14           | 65.74        | 1096.89  | 0.0011 | 0.00     | 0.0000 | 2014.86  | 0.0020 | 180.47       | 0.0002                    | 0.70  | 0.30 | 0.22     | 0.85 | 0.0014          | 0.0033 | 0.41 |      |  |
| 22  | t15-t20         | Ss.1            | 92.48        | 5111.15  | 0.0051 | 0.00     | 0.0000 | 9376.55  | 0.0094 | 1014.57      | 0.0010                    | 0.70  | 0.30 | 0.22     | 0.85 | 0.0065          | 0.0155 | 0.42 |      |  |
| 23  | t50-t21         | St.15a          | 50.36        | 287.32   | 0.0003 | 0.00     | 0.0000 | 1800.29  | 0.0018 | 123.74       | 0.0001                    | 0.70  | 0.30 | 0.22     | 0.85 | 0.0007          | 0.0022 | 0.32 |      |  |
| 24  | t21a-t21        | K.15            | 71.44        | 1000.27  | 0.0010 | 0.00     | 0.0000 | 1687.01  | 0.0017 | 0.00         | 0.0000                    | 0.70  | 0.30 | 0.22     | 0.85 | 0.0011          | 0.0027 | 0.40 |      |  |
| 25  | t21-20b         | St.15b          | 60.71        | 1572.05  | 0.0016 | 0.00     | 0.0000 | 4555.79  | 0.0046 | 237.71       | 0.0002                    | 0.70  | 0.30 | 0.22     | 0.85 | 0.0023          | 0.0064 | 0.36 |      |  |
| 26  | t20b-t20c       | Ss.2            | 47.34        | 13654.35 | 0.0137 | 2253.10  | 0.0023 | 28787.84 | 0.0288 | 2874.55      | 0.0029                    | 0.70  | 0.30 | 0.22     | 0.85 | 0.0190          | 0.0476 | 0.40 |      |  |

Tabel 4. 31 Koefesien Pengaliran (C ) gabungan daerah pemukiman Warga menuju saluran Primer

| No. | Ruas<br>saluran | Kode<br>saluran | Luas (km2)   |         |        |          |        |         |        |              |        |       | Koefesien Pengaliran (C ) |          |      |         |        |       |       |       |     |      |
|-----|-----------------|-----------------|--------------|---------|--------|----------|--------|---------|--------|--------------|--------|-------|---------------------------|----------|------|---------|--------|-------|-------|-------|-----|------|
|     |                 |                 | L<br>saluran |         |        | Bangunan |        | Kuburan |        | Lahan Kosong |        | Jalan |                           | Bangunan |      | Kuburan |        | Lahan | Jalan | Ai.Ci | Ai  | Cgab |
|     |                 |                 | m            | m2      | km2    | m2       | km2    | m2      | km2    | m2           | km2    | m2    | km2                       | m2       | km2  | m2      | km2    | km2   | km2   | km2   | km2 |      |
| 1   | t22-23          | K1.a            | 46.44        | 183.48  | 0.0002 | 0.00     | 0.0000 | 1436.24 | 0.0014 | 0.00         | 0.0000 | 0.70  | 0.30                      | 0.22     | 0.85 | 0.0004  | 0.0016 | 0.27  |       |       |     |      |
| 2   | t23-t26         | St.16a          | 43.35        | 183.48  | 0.0002 | 0.00     | 0.0000 | 1436.24 | 0.0014 | 0.00         | 0.0000 | 0.70  | 0.30                      | 0.22     | 0.85 | 0.0004  | 0.0016 | 0.27  |       |       |     |      |
| 3   | t25-t26         | K2.a            | 55.75        | 178.62  | 0.0002 | 0.00     | 0.0000 | 1308.15 | 0.0013 | 85.73        | 0.0001 | 0.70  | 0.30                      | 0.22     | 0.85 | 0.0005  | 0.0016 | 0.31  |       |       |     |      |
| 4   | t28-t29         | K3.a            | 55.75        | 355.15  | 0.0004 | 0.00     | 0.0000 | 1131.62 | 0.0011 | 84.14        | 0.0001 | 0.70  | 0.30                      | 0.22     | 0.85 | 0.0006  | 0.0016 | 0.36  |       |       |     |      |
| 5   | t29-t32         | St.16b          | 67.65        | 717.25  | 0.0007 | 0.00     | 0.0000 | 4769.80 | 0.0048 | 169.87       | 0.0002 | 0.70  | 0.30                      | 0.22     | 0.85 | 0.0017  | 0.0057 | 0.30  |       |       |     |      |
| 6   | t31-t32         | K4.a            | 35.61        | 265.45  | 0.0003 | 0.00     | 0.0000 | 1287.86 | 0.0013 | 0.00         | 0.0000 | 0.70  | 0.30                      | 0.22     | 0.85 | 0.0005  | 0.0016 | 0.30  |       |       |     |      |
| 7   | t34-t35         | K5.a            | 46.06        | 440.76  | 0.0004 | 0.00     | 0.0000 | 395.39  | 0.0004 | 40.30        | 0.0000 | 0.70  | 0.30                      | 0.22     | 0.85 | 0.0004  | 0.0009 | 0.49  |       |       |     |      |
| 8   | t37-t38         | K6.a            | 46.06        | 457.56  | 0.0005 | 0.00     | 0.0000 | 381.01  | 0.0004 | 39.57        | 0.0000 | 0.70  | 0.30                      | 0.22     | 0.85 | 0.0004  | 0.0009 | 0.50  |       |       |     |      |
| 9   | t40-t41         | K7              | 68.15        | 823.50  | 0.0008 | 0.00     | 0.0000 | 1714.85 | 0.0017 | 67.09        | 0.0001 | 0.70  | 0.30                      | 0.22     | 0.85 | 0.0010  | 0.0026 | 0.39  |       |       |     |      |
| 10  | t42-t43         | K8              | 68.15        | 584.08  | 0.0006 | 0.00     | 0.0000 | 969.67  | 0.0010 | 67.09        | 0.0001 | 0.70  | 0.30                      | 0.22     | 0.85 | 0.0007  | 0.0016 | 0.42  |       |       |     |      |
| 11  | t24a-t24        | St.17a          | 65.69        | 337.00  | 0.0003 | 0.00     | 0.0000 | 622.69  | 0.0006 | 138.27       | 0.0001 | 0.70  | 0.30                      | 0.22     | 0.85 | 0.0005  | 0.0011 | 0.45  |       |       |     |      |
| 12  | t22-t24         | K1.b            | 41.46        | 382.11  | 0.0004 | 0.00     | 0.0000 | 373.00  | 0.0004 | 0.00         | 0.0000 | 0.70  | 0.30                      | 0.22     | 0.85 | 0.0003  | 0.0008 | 0.46  |       |       |     |      |
| 13  | t24-t27         | St.17b          | 42.92        | 938.84  | 0.0009 | 0.00     | 0.0000 | 1469.29 | 0.0015 | 224.63       | 0.0002 | 0.70  | 0.30                      | 0.22     | 0.85 | 0.0012  | 0.0026 | 0.44  |       |       |     |      |
| 14  | t25-t27         | K2.b            | 33.65        | 296.37  | 0.0003 | 0.00     | 0.0000 | 173.24  | 0.0002 | 45.83        | 0.0000 | 0.70  | 0.30                      | 0.22     | 0.85 | 0.0003  | 0.0005 | 0.55  |       |       |     |      |
| 15  | t28-t30         | K3.b            | 33.65        | 215.88  | 0.0002 | 0.00     | 0.0000 | 294.74  | 0.0003 | 41.38        | 0.0000 | 0.70  | 0.30                      | 0.22     | 0.85 | 0.0003  | 0.0006 | 0.45  |       |       |     |      |
| 16  | t27-t33         | St.17.c         | 62.26        | 1774.25 | 0.0018 | 0.00     | 0.0000 | 2419.58 | 0.0024 | 448.86       | 0.0004 | 0.70  | 0.30                      | 0.22     | 0.85 | 0.0022  | 0.0046 | 0.46  |       |       |     |      |
| 17  | t31-t33         | K4.b            | 45.95        | 941.08  | 0.0009 | 0.00     | 0.0000 | 779.22  | 0.0008 | 0.00         | 0.0000 | 0.70  | 0.30                      | 0.22     | 0.85 | 0.0008  | 0.0017 | 0.48  |       |       |     |      |
| 18  | t33-t36         | St.17d          | 92.42        | 3319.35 | 0.0033 | 0.00     | 0.0000 | 4171.32 | 0.0042 | 626.36       | 0.0006 | 0.70  | 0.30                      | 0.22     | 0.85 | 0.0038  | 0.0081 | 0.46  |       |       |     |      |
| 19  | t34-t36         | K5.b            | 31.24        | 447.82  | 0.0004 | 0.00     | 0.0000 | 470.83  | 0.0005 | 38.25        | 0.0000 | 0.70  | 0.30                      | 0.22     | 0.85 | 0.0004  | 0.0010 | 0.47  |       |       |     |      |
| 20  | t37-t39         | K6.b            | 31.24        | 373.24  | 0.0004 | 0.00     | 0.0000 | 304.73  | 0.0003 | 29.64        | 0.0000 | 0.70  | 0.30                      | 0.22     | 0.85 | 0.0004  | 0.0007 | 0.50  |       |       |     |      |
| 21  | t39-t43         | St.17e          | 120.96       | 4140.41 | 0.0041 | 0.00     | 0.0000 | 4946.88 | 0.0049 | 819.03       | 0.0008 | 0.70  | 0.30                      | 0.22     | 0.85 | 0.0047  | 0.0099 | 0.47  |       |       |     |      |
| 22  | t8-t44          | St.18a          | 218.98       | 530.60  | 0.0005 | 0.00     | 0.0000 | 4568.05 | 0.0046 | 298.85       | 0.0003 | 0.70  | 0.30                      | 0.22     | 0.85 | 0.0016  | 0.0054 | 0.30  |       |       |     |      |
| 23  | t43-t44         | K12             | 60.71        | 784.88  | 0.0008 | 0.00     | 0.0000 | 1487.55 | 0.0015 | 0.00         | 0.0000 | 0.70  | 0.30                      | 0.22     | 0.85 | 0.0009  | 0.0023 | 0.39  |       |       |     |      |
| 24  | t44-t47         | St.18b          | 51.00        | 1315.48 | 0.0013 | 0.00     | 0.0000 | 6055.60 | 0.0061 | 360.43       | 0.0004 | 0.70  | 0.30                      | 0.22     | 0.85 | 0.0026  | 0.0077 | 0.33  |       |       |     |      |

Tabel 4. 31 Koefesien Pengaliran (C ) gabungan daerah pemukiman Warga menuju saluran Primer

| No. | Ruas<br>saluran | Kode<br>saluran | Luas (km2)      |          |         |      |              |         | Koefesien Pengaliran (C ) |        |          |         |                 |                 | Ai.Ci           | Ai     | Cgab   |      |
|-----|-----------------|-----------------|-----------------|----------|---------|------|--------------|---------|---------------------------|--------|----------|---------|-----------------|-----------------|-----------------|--------|--------|------|
|     |                 |                 | L<br>saluran    | Bangunan | Kuburan |      | Lahan Kosong |         | Jalan                     |        | Bangunan | Kuburan | Lahan<br>Kosong | Jalan           |                 |        |        |      |
| m   | m               | m <sup>2</sup>  | km <sup>2</sup> | m        | km      | m    | km           | m       | km                        | m      | km       | m       | km              | km <sup>2</sup> | km <sup>2</sup> |        |        |      |
| 25  | t46-t47         | K13             | 69.67           | 977.22   | 0.0010  | 0.00 | 0.0000       | 1837.86 | 0.0018                    | 0.00   | 0.0000   | 0.70    | 0.30            | 0.22            | 0.85            | 0.0011 | 0.0028 | 0.39 |
| 26  | t47-t56         | St.18c          | 15.00           | 2292.71  | 0.0023  | 0.00 | 0.0000       | 7893.47 | 0.0079                    | 360.43 | 0.0004   | 0.70    | 0.30            | 0.22            | 0.85            | 0.0036 | 0.0105 | 0.35 |
| 27  | t10-t45         | St.19a          | 84.29           | 736.05   | 0.0007  | 0.00 | 0.0000       | 1887.73 | 0.0019                    | 0.00   | 0.0000   | 0.70    | 0.30            | 0.22            | 0.85            | 0.0009 | 0.0026 | 0.35 |
| 28  | t43-t45         | K14             | 51.08           | 265.45   | 0.0003  | 0.00 | 0.0000       | 1287.86 | 0.0013                    | 0.00   | 0.0000   | 0.70    | 0.30            | 0.22            | 0.85            | 0.0005 | 0.0016 | 0.30 |
| 29  | t45-t57         | St.19b          | 97.93           | 1599.54  | 0.0016  | 0.00 | 0.0000       | 3819.21 | 0.0038                    | 227.57 | 0.0002   | 0.70    | 0.30            | 0.22            | 0.85            | 0.0022 | 0.0056 | 0.38 |
| 30  | t48-t58         | St.20           | 165.81          | 530.08   | 0.0005  | 0.00 | 0.0000       | 1015.68 | 0.0010                    | 388.39 | 0.0004   | 0.70    | 0.30            | 0.22            | 0.85            | 0.0009 | 0.0019 | 0.48 |
| 31  | t49-t50         | K16             | 82.38           | 711.08   | 0.0007  | 0.00 | 0.0000       | 719.09  | 0.0007                    | 98.18  | 0.0001   | 0.70    | 0.30            | 0.22            | 0.85            | 0.0007 | 0.0015 | 0.48 |
| 32  | t51-t52         | K17             | 82.38           | 767.31   | 0.0008  | 0.00 | 0.0000       | 1085.47 | 0.0011                    | 98.18  | 0.0001   | 0.70    | 0.30            | 0.22            | 0.85            | 0.0009 | 0.0020 | 0.44 |
| 33  | t50-t54         | St.21a          | 33.92           | 1478.39  | 0.0015  | 0.00 | 0.0000       | 1804.56 | 0.0018                    | 196.36 | 0.0002   | 0.70    | 0.30            | 0.22            | 0.85            | 0.0016 | 0.0035 | 0.46 |
| 34  | t53-t54         | K18             | 75.64           | 577.35   | 0.0006  | 0.00 | 0.0000       | 2122.52 | 0.0021                    | 110.34 | 0.0001   | 0.70    | 0.30            | 0.22            | 0.85            | 0.0010 | 0.0028 | 0.34 |
| 35  | t54-t59         | St.21b          | 33.78           | 2055.74  | 0.0021  | 0.00 | 0.0000       | 3927.08 | 0.0039                    | 306.70 | 0.0003   | 0.70    | 0.30            | 0.22            | 0.85            | 0.0026 | 0.0063 | 0.41 |

(Sumber: Hasil Perhitungan)

Tabel 4. 32 Koefesien Pengaliran (C ) gabungan pada saluran Primer menuju boezem

| No. | Ruas<br>saluran | Kode<br>saluran | Luas (km2)      |          |         |          |         |          | Koefesien Pengaliran (C ) |          |          |         |         |                 | Ai.Ci           | Ai     | Cgab   |      |
|-----|-----------------|-----------------|-----------------|----------|---------|----------|---------|----------|---------------------------|----------|----------|---------|---------|-----------------|-----------------|--------|--------|------|
|     |                 |                 | L<br>saluran    | Bangunan | Halaman |          | tanaman |          | Jalan                     |          | Bangunan | Halaman | tanaman | Jalan           |                 |        |        |      |
| m   | m               | m <sup>2</sup>  | km <sup>2</sup> | m        | km      | m        | km      | m        | km                        | m        | km       | m       | km      | km <sup>2</sup> | km <sup>2</sup> |        |        |      |
| 1   | t32-t35         | P1              | 86.41           | 23463.24 | 0.0235  | 7709.07  | 0.0077  | 14078.34 | 0.0141                    | 9895.54  | 0.0099   | 0.70    | 0.30    | 0.22            | 0.85            | 0.0302 | 0.0551 | 0.55 |
| 2   | t35-t41         | P2              | 59.53           | 24361.56 | 0.0244  | 7709.07  | 0.0077  | 14854.75 | 0.0149                    | 9975.41  | 0.0100   | 0.70    | 0.30    | 0.22            | 0.85            | 0.0311 | 0.0569 | 0.55 |
| 3   | t41-t55         | P3              | 32.67           | 25769.14 | 0.0258  | 7709.07  | 0.0077  | 17539.26 | 0.0175                    | 10109.59 | 0.0101   | 0.70    | 0.30    | 0.22            | 0.85            | 0.0328 | 0.0611 | 0.54 |
| 4   | t55-t43         | P4              | 90.82           | 49833.98 | 0.0498  | 16277.42 | 0.0163  | 27548.02 | 0.0275                    | 21487.77 | 0.0215   | 0.70    | 0.30    | 0.22            | 0.85            | 0.0641 | 0.1151 | 0.56 |
| 5   | t56-t57         | P5              | 124.06          | 50360.19 | 0.0504  | 16277.42 | 0.0163  | 28824.25 | 0.0288                    | 21487.77 | 0.0215   | 0.70    | 0.30    | 0.22            | 0.85            | 0.0647 | 0.1169 | 0.55 |
| 6   | t57-t58         | P6              | 6.00            | 51959.73 | 0.0520  | 16277.42 | 0.0163  | 32643.46 | 0.0326                    | 21715.33 | 0.0217   | 0.70    | 0.30    | 0.22            | 0.85            | 0.0669 | 0.1226 | 0.55 |
| 7   | t58-t59         | P7              | 80.58           | 53278.65 | 0.0533  | 16277.42 | 0.0163  | 35507.22 | 0.0355                    | 22103.72 | 0.0221   | 0.70    | 0.30    | 0.22            | 0.85            | 0.0688 | 0.1272 | 0.54 |
| 8   | t59-t60         | P8              | 38.42           | 55334.39 | 0.0553  | 16277.42 | 0.0163  | 39434.30 | 0.0394                    | 22410.42 | 0.0224   | 0.70    | 0.30    | 0.22            | 0.85            | 0.0713 | 0.1335 | 0.53 |

(Sumber: Hasil Perhitungan)

#### 4.1.9 Menghitung Debit (Q) rencana

Perhitungan debit rencana menggunakan metode rasional dengan periode ulang tertentu dengan menggunakan rumus:

$$Q = \frac{1}{3,6} \cdot \beta \cdot C \cdot I \cdot A$$

Dimana :

$Q$  = Debit rencana ( $m^3/s$ )

$C$  = Koefisien Pengaliran

$A$  = Luas DAS ( $Km^2$ )

$I$  = Intensitas Hujan Periode Tertentu (mm/jam)

Contoh perhitungan debit rencana saluran tersier T1 dengan ruas saluran 1-2a dengan periode ulang 5 tahun

Diket :

$A = 0,0016 km^2$

$I = 111,91 mm/jam$

$C_{gb} = 0,66$

Sehingga

$$Q = \frac{1}{3,6} \times 0,66 \times 111,91 \text{ mm/jam} \times 0,0016 \text{ km}^2$$

$$= 0,033 m^3/s$$

Untuk debit rencana saluran Kuarter periode ulang 2 tahun, saluran tersier dan sekunder periode ulang 5 tahun dan saluran primer periode ulang 10 tahun dapat dilihat pada tabel 4.33, tabel 4.34, tabel 4.35, dan tabel 4.36

Tabel 4. 33 Perhitungan Debit Banjir Rencana pada daerah Perumahan

| Ruas Saluran | Kode saluran | titik Kontrol | I mm/jam | Cgab | A gab  | Q m <sup>3</sup> /det |
|--------------|--------------|---------------|----------|------|--------|-----------------------|
| 1-2a         | T1           | 2a            | 111.91   | 0.66 | 0.0016 | 0.033                 |
| 2a-2         | T2           | 2             | 79.96    | 0.68 | 0.0028 | 0.042                 |
| 2-4          | S1.A         | 4             | 79.04    | 0.68 | 0.0028 | 0.042                 |
| 3-4          | T3           |               | 102.48   | 0.58 | 0.0035 | 0.058                 |
| 4-5          | S1.B         | 5             | 75.20    | 0.63 | 0.0066 | 0.088                 |
| 3-5          | T4           |               | 95.02    | 0.59 | 0.0038 | 0.059                 |
| 5-7          | S1.C         | 7             | 74.34    | 0.62 | 0.0105 | 0.135                 |
| 6-7          | T5           |               | 102.35   | 0.58 | 0.0034 | 0.056                 |
| 7-8          | S1.D         | 8             | 71.53    | 0.61 | 0.0142 | 0.174                 |
| 6-8          | T6           |               | 94.83    | 0.59 | 0.0038 | 0.060                 |
| 8-10         | S1.E         | 10            | 70.86    | 0.61 | 0.0182 | 0.219                 |
| 9-10         | T7           |               | 102.04   | 0.58 | 0.0035 | 0.057                 |
| 10-11        | S1.F         | 11            | 68.58    | 0.61 | 0.0220 | 0.255                 |
| 9-11         | T8           |               | 95.09    | 0.60 | 0.0038 | 0.061                 |
| 11-14        | S1.G         | 14            | 67.63    | 0.61 | 0.0260 | 0.298                 |
| 12-13        | T9A          | 13            | 105.76   | 0.74 | 0.0014 | 0.031                 |
| 13-14        | T9           | 14            | 80.74    | 0.63 | 0.0050 | 0.070                 |
| 14-15        | S1.H         | 15            | 65.75    | 0.61 | 0.0313 | 0.351                 |
| 13-15        | T10          |               | 94.79    | 0.59 | 0.0037 | 0.058                 |
| 15-16        | S1.I         | 16            | 65.27    | 0.61 | 0.0351 | 0.390                 |
| 17-16        | T11          |               | 102.18   | 0.59 | 0.0037 | 0.062                 |
| 16-18        | S1.J         | 18            | 63.61    | 0.61 | 0.0391 | 0.423                 |
| 17-18        | T12          |               | 95.28    | 0.59 | 0.0036 | 0.055                 |
| 18-20        | S1.K         | 20            | 63.00    | 0.61 | 0.0427 | 0.456                 |
| 19-20        | T13          |               | 112.12   | 0.60 | 0.0037 | 0.068                 |
| 20-t32       | S1.L         | t32           | 62.23    | 0.61 | 0.0464 | 0.488                 |
| 2-21         | T14          | 21            | 115.03   | 0.70 | 0.0024 | 0.053                 |
| 21-23        | S2.A         | 23            | 111.79   | 0.70 | 0.0024 | 0.053                 |
| 22-23        | T15          |               | 103.32   | 0.58 | 0.0032 | 0.053                 |

Tabel 4. 33 Perhitungan Debit Banjir Rencana pada daerah Perumahan

| Ruas Saluran | Kode saluran | titik Kontrol | I mm/jam | Cgab | A gab  | Q m <sup>3</sup> /det |
|--------------|--------------|---------------|----------|------|--------|-----------------------|
| 23-24        | S2.B         | 24            | 96.25    | 0.63 | 0.0058 | 0.099                 |
| 22-24        | T16          |               | 96.59    | 0.61 | 0.0038 | 0.063                 |
| 24-26        | S2.C         | 26            | 95.06    | 0.62 | 0.0097 | 0.161                 |
| 25-26        | T17          |               | 103.90   | 0.58 | 0.0033 | 0.056                 |
| 26-27        | S2.D         | 27            | 90.16    | 0.62 | 0.0134 | 0.206                 |
| 25-27        | T18          |               | 96.86    | 0.61 | 0.0038 | 0.062                 |
| 27-29        | S2.E         | 29            | 89.00    | 0.62 | 0.0172 | 0.263                 |
| 28-29        | T19          |               | 103.32   | 0.58 | 0.0033 | 0.055                 |
| 29-30        | S2.F         | 30            | 85.20    | 0.61 | 0.0208 | 0.302                 |
| 28-30        | T20          |               | 97.93    | 0.65 | 0.0043 | 0.077                 |
| 30-32        | S2.G         |               | 83.64    | 0.62 | 0.0252 | 0.364                 |
| 31-32        | T21          | 32            | 103.85   | 0.57 | 0.0034 | 0.056                 |
| 21-32        | T22          |               | 100.28   | 0.63 | 0.0039 | 0.068                 |
| 32-33        | S2.H         | 33            | 80.63    | 0.62 | 0.0327 | 0.452                 |
| 31-33        | T23          |               | 96.30    | 0.60 | 0.0035 | 0.056                 |
| 33-35        | S2.I         | 35            | 79.89    | 0.62 | 0.0362 | 0.495                 |
| 34-35        | T24          |               | 104.79   | 0.56 | 0.0038 | 0.061                 |
| 35-36        | S2.J         | 36            | 77.33    | 0.61 | 0.0402 | 0.528                 |
| 34-36        | T25          |               | 97.21    | 0.61 | 0.0034 | 0.056                 |
| 36-38        | S2.K         | 38            | 76.50    | 0.61 | 0.0436 | 0.566                 |
| 37-38        | T26          |               | 107.88   | 0.42 | 0.0018 | 0.023                 |
| 38-39        | S2.L         | 39            | 74.50    | 0.60 | 0.0459 | 0.572                 |
| 37-39        | T27          |               | 106.71   | 0.44 | 0.0020 | 0.026                 |
| 39-40        | S2.M         |               | 73.87    | 0.60 | 0.0478 | 0.585                 |
| 19-40        | T28          | 40            | 97.14    | 0.61 | 0.0043 | 0.071                 |
| 41-40        | T29          |               | 113.39   | 0.50 | 0.0019 | 0.029                 |
| 40-t55       | S2.N         | t55           | 72.80    | 0.59 | 0.0540 | 0.648                 |

(Sumber: Hasil Perhitungan)

Tabel 4. 34 Perhitungan Debit Banjir Rencana daerah Pemukiman  
Warga menuju boezem

| Ruas Saluran | Kode saluran | titik Kontrol | I mm/jam | Cgab | A gab  | $\frac{Q}{m^3/det}$ |
|--------------|--------------|---------------|----------|------|--------|---------------------|
| t1-t2        | St1          | t2            | 101.13   | 0.38 | 0.0025 | 0.026               |
| t2-t3        | St2          | t3            | 79.01    | 0.39 | 0.0042 | 0.036               |
| t5-t3        | St3a         |               | 102.11   | 0.42 | 0.0053 | 0.064               |
| t3-t6        | St4          | t6            | 78.60    | 0.40 | 0.0119 | 0.105               |
| t7-t6        | St8a         |               | 157.91   | 0.85 | 0.0002 | 0.008               |
| t6-t8        | St5          | t8            | 70.24    | 0.42 | 0.0140 | 0.115               |
| t8-t11       | St6a         | t12           | 64.70    | 0.42 | 0.0156 | 0.119               |
| t9-t11a      | k10          | t11a          | 74.73    | 0.35 | 0.0048 | 0.035               |
| t10-t11a     | k11          | t11           | 97.52    | 0.35 | 0.0028 | 0.026               |
| t11a-t11     | k11a         |               | 71.50    | 0.35 | 0.0076 | 0.053               |
| t11-t13      | St6b         | t13           | 62.10    | 0.40 | 0.0241 | 0.165               |
| t7-t12       | St8          | t12           | 214.76   | 0.85 | 0.0002 | 0.008               |
| t12-t13      | St9          | t13           | 76.46    | 0.41 | 0.0016 | 0.014               |
| t13-t22      | St7          | t22           | 61.69    | 0.40 | 0.0257 | 0.175               |
| t2-t14       | St10         | t14           | 80.95    | 0.40 | 0.0038 | 0.035               |
| t14-t15      | St11         | t15           | 70.72    | 0.42 | 0.0062 | 0.051               |
| t4-t5        | k9           | t5            | 83.32    | 0.37 | 0.0029 | 0.025               |
| t5-t15       | St3b         | t15           | 81.94    | 0.40 | 0.0040 | 0.036               |
| t16-t17      | St12         | t17           | 111.49   | 0.48 | 0.0021 | 0.030               |
| t18-t17      | St13         |               | 91.84    | 0.42 | 0.0017 | 0.018               |
| t19-t20a     | St14         | t20a          | 113.91   | 0.41 | 0.0033 | 0.043               |
| t15-t20      | Ss1          | t20           | 73.25    | 0.42 | 0.0155 | 0.132               |
| t50-t21      | St15a        | t21           | 103.59   | 0.32 | 0.0022 | 0.020               |
| t21a-t21     | k15          |               | 88.45    | 0.40 | 0.0027 | 0.026               |
| t21-20b      | St15b        | t20b          | 88.03    | 0.36 | 0.0064 | 0.056               |
| t20b-t20c    | Ss2          | t20c          | 59.74    | 0.40 | 0.0476 | 0.316               |

(Sumber: Hasil Perhitungan)

Tabel 4. 35 Perhitungan Debit Banjir Rencana daerah Pemukiman Warga menuju saluran Primer

| Ruas Saluran | Kode saluran | titik Kontrol | I mm/jam | Cgab | A gab  | $\frac{Q}{m^3/det}$ |
|--------------|--------------|---------------|----------|------|--------|---------------------|
| t22-t23      | K1.a         | t23           | 112.35   | 0.27 | 0.0016 | 0.014               |
| t23-t26      | St.16a       | t26           | 108.43   | 0.27 | 0.0016 | 0.013               |
| t25-t26      | K2.a         |               | 98.18    | 0.31 | 0.0016 | 0.013               |
| t28-t29      | K3.a         | t29           | 95.80    | 0.36 | 0.0016 | 0.015               |
| t29-t32      | St.16b       | t32           | 92.20    | 0.30 | 0.0057 | 0.043               |
| t31-t32      | K4.a         | t35           | 105.76   | 0.30 | 0.0016 | 0.014               |
| t34-t35      | K5.a         | t35           | 116.75   | 0.49 | 0.0009 | 0.014               |
| t37-t38      | K6.a         | t38           | 89.78    | 0.50 | 0.0009 | 0.011               |
| t40-t41      | K7           | t41           | 103.18   | 0.39 | 0.0026 | 0.029               |
| t42-t43      | K8           | t43           | 104.79   | 0.42 | 0.0016 | 0.020               |
| t24a-t24     | St.17a       | t24           | 128.44   | 0.45 | 0.0011 | 0.018               |
| t22-t24      | K1.b         |               | 129.03   | 0.46 | 0.0008 | 0.013               |
| t24-t27      | St.17b       | t27           | 88.05    | 0.44 | 0.0026 | 0.029               |
| t25-t27      | K2.b         |               | 116.65   | 0.55 | 0.0005 | 0.009               |
| t28-t30      | K3.b         | t30           | 133.03   | 0.45 | 0.0006 | 0.009               |
| t27-t33      | St.17.c      | t33           | 81.70    | 0.46 | 0.0046 | 0.049               |
| t31-t33      | K4.b         |               | 89.50    | 0.48 | 0.0017 | 0.021               |
| t33-36       | St.17d       | t36           | 71.82    | 0.46 | 0.0081 | 0.075               |
| t34-t36      | K5.b         |               | 105.06   | 0.47 | 0.0010 | 0.013               |
| t37-t39      | K6.b         | t39           | 115.29   | 0.50 | 0.0007 | 0.011               |
| t39-t43      | St.17e       | t43           | 62.68    | 0.47 | 0.0099 | 0.082               |
| t8-t44       | St.18a       | t44           | 84.15    | 0.30 | 0.0054 | 0.038               |
| t43-t44      | K12          |               | 108.74   | 0.39 | 0.0023 | 0.027               |
| t44-t47      | St.18b       | t47           | 77.35    | 0.33 | 0.0077 | 0.055               |
| t46-t47      | K13          |               | 93.30    | 0.39 | 0.0028 | 0.028               |
| t47-t56      | St.18c       | t56           | 75.69    | 0.35 | 0.0105 | 0.077               |
| t10-t45      | St.19a       | t45           | 86.52    | 0.35 | 0.0026 | 0.022               |
| t43-t45      | K14          |               | 98.58    | 0.30 | 0.0016 | 0.013               |
| t45-t57      | St.19b       | t57           | 73.30    | 0.38 | 0.0056 | 0.044               |
| t48-t58      | St.20        | t58           | 78.40    | 0.48 | 0.0019 | 0.020               |

Tabel 4. 35 Perhitungan Debit Banjir Rencana daerah Pemukiman Warga pada menuju saluran Primer

| Ruas Saluran | Kode saluran | titik Kontrol | I mm/jam | Cgab | A gab  | $\frac{Q}{m^3/det}$ |
|--------------|--------------|---------------|----------|------|--------|---------------------|
| t49-t50      | K16          | t50           | 93.36    | 0.48 | 0.0015 | 0.019               |
| t51-t52      | K17          | t52           | 99.03    | 0.44 | 0.0020 | 0.024               |
| t50-t54      | St.21a       | t54           | 98.83    | 0.46 | 0.0035 | 0.044               |
| t53-t54      | K18          |               | 99.00    | 0.34 | 0.0028 | 0.027               |
| t54-t59      | St.21b       | t59           | 92.37    | 0.41 | 0.0063 | 0.066               |

(Sumber: Hasil Perhitungan)

Tabel 4. 36 Perhitungan Debit Banjir Rencana saluran Primer menuju boezem

| Ruas Saluran | Kode saluran | titik Kontrol | I mm/jam | Cgab | A gab  | $\frac{Q}{m^3/det}$ |
|--------------|--------------|---------------|----------|------|--------|---------------------|
| t32-t35      | P1           | t35           | 64.85    | 0.55 | 0.0537 | 0.532               |
| t35-t41      | P2           | t41           | 63.02    | 0.55 | 0.0555 | 0.532               |
| t41-t55      | P3           | t55           | 62.08    | 0.54 | 0.0597 | 0.554               |
| t55-t43      | P4           | t43           | 60.79    | 0.56 | 0.1137 | 1.058               |
| t56-t57      | P5           | t57           | 58.32    | 0.55 | 0.1155 | 1.026               |
| t57-t58      | P6           | t58           | 58.23    | 0.55 | 0.1212 | 1.059               |
| t58-t59      | P7           | t59           | 57.01    | 0.54 | 0.1258 | 1.057               |
| t59-t60      | P8           | t60           | 56.34    | 0.53 | 0.1321 | 1.081               |

(Sumber: Hasil Perhitungan)

## 4.2 ANALISA HIDROLIKA

### 4.2.1 Perhitungan Dimensi Saluran

Perhitungan dimensi saluran direncanakan dengan menggunakan debit banjir rencana metode Rasional dengan periode ulang 2 tahun, 5 tahun, dan 10 tahun.

Contoh perhitungan dimensi saluran 3-4

- Bentuk penampang saluran adalah persegi dengan :

$$\text{Lebar basah (b)} = 0,50 \text{ meter}$$

$$\text{Tinggi air (hn)} = 0,325 \text{ meter}$$

Luas penampang basah :

$$\begin{aligned} A &= b \times hn \\ &= 0,5 \text{ m} \times 0,325 \text{ m} \\ &= 0,163 \text{ m}^2 \end{aligned}$$

Keliling basah saluran :

$$\begin{aligned} P &= b + 2hn \\ &= 0,5 + 2 \times (0,325) \\ &= 1,150 \text{ m} \end{aligned}$$

Jari – jari hidrolik :

$$R = \frac{A}{P} = \frac{0,163}{1,150} = 0,141 \text{ m}$$

Kemiringan dasar saluran ( $I_0$ ) = 0,0005 (direncanakan)

Koefesien manning(n) = 0,017

$$\begin{aligned} \text{Kecepatan aliran (V)} &= \frac{1}{n} \times R^{2/3} \times I_0^{0.5} \\ &= \frac{1}{0,017} \times 0,141^{2/3} \times 0,0005^{0.5} \\ &= 0,358 \text{ m/det} \end{aligned}$$

$$\begin{aligned} \text{Debit saluran} &= V \times A \\ &= 0,357 \text{ m/det} \times 0,163 \text{ m}^2 \\ &= 0,059 \text{ m}^3/\text{det} \end{aligned}$$

Tabel 4. 37 Perhitungan Debit Saluran terhadap debit rencana daerah Perumahan

| Ruas<br>Saluran | Kode<br>saluran | titik<br>Kontrol | Lebar (b)<br>m | Tinggi (h)<br>m | A<br>m <sup>2</sup> | P<br>m | R<br>medan | I<br>Rencana | V<br>m/det | Q hidrolika<br>m <sup>3</sup> /det | Q hidrologi<br>m <sup>3</sup> /det | $\Delta Q$         |
|-----------------|-----------------|------------------|----------------|-----------------|---------------------|--------|------------|--------------|------------|------------------------------------|------------------------------------|--------------------|
| 1-2a            | T1              | 2a               | 0.40           | 0.270           | 0.108               | 0.940  | 0.115      | 0.0054       | 0.0005     | 0.311                              | 0.034                              | $\geq$ 0.033 0.001 |
| 2a-2            | T2              | 2                | 0.50           | 0.260           | 0.130               | 1.020  | 0.127      | 0.0060       | 0.0005     | 0.333                              | 0.043                              | $\geq$ 0.042 0.001 |
| 2-4             | S1.A            | 4                | 0.50           | 0.260           | 0.130               | 1.020  | 0.127      | 0.0261       | 0.0005     | 0.333                              | 0.043                              | $\geq$ 0.042 0.001 |
| 3-4             | T3              |                  | 0.50           | 0.330           | 0.165               | 1.160  | 0.142      | 0.0074       | 0.0005     | 0.358                              | 0.059                              | $\geq$ 0.058 0.001 |
| 4-5             | S1.B            | 5                | 0.80           | 0.280           | 0.224               | 1.360  | 0.165      | 0.0116       | 0.0005     | 0.395                              | 0.089                              | $\geq$ 0.088 0.001 |
| 3-5             | T4              |                  | 0.50           | 0.330           | 0.165               | 1.160  | 0.142      | 0.0083       | 0.0005     | 0.358                              | 0.059                              | $\geq$ 0.059 0.000 |
| 5-7             | S1.C            | 7                | 0.80           | 0.381           | 0.305               | 1.562  | 0.195      | 0.0060       | 0.0005     | 0.443                              | 0.135                              | $\geq$ 0.135 0.000 |
| 6-7             | T5              |                  | 0.50           | 0.320           | 0.160               | 1.140  | 0.140      | 0.0104       | 0.0005     | 0.355                              | 0.057                              | $\geq$ 0.056 0.001 |
| 7-8             | S1.D            | 8                | 0.80           | 0.462           | 0.370               | 1.724  | 0.214      | 0.0046       | 0.0005     | 0.471                              | 0.174                              | $\geq$ 0.174 0.000 |
| 6-8             | T6              |                  | 0.50           | 0.340           | 0.170               | 1.180  | 0.144      | 0.0093       | 0.0005     | 0.361                              | 0.061                              | $\geq$ 0.060 0.001 |
| 8-10            | S1.E            | 10               | 0.80           | 0.554           | 0.443               | 1.908  | 0.232      | 0.0005       | 0.0005     | 0.497                              | 0.220                              | $\geq$ 0.219 0.001 |
| 9-10            | T7              |                  | 0.50           | 0.320           | 0.160               | 1.140  | 0.140      | 0.0173       | 0.0005     | 0.355                              | 0.057                              | $\geq$ 0.057 0.000 |
| 10-11           | S1.F            | 11               | 1.00           | 0.493           | 0.493               | 1.986  | 0.248      | 0.0005       | 0.0005     | 0.520                              | 0.256                              | $\geq$ 0.255 0.001 |
| 9-11            | T8              |                  | 0.50           | 0.340           | 0.170               | 1.180  | 0.144      | 0.0139       | 0.0005     | 0.361                              | 0.061                              | $\geq$ 0.061 0.001 |
| 11-14           | S1.G            | 14               | 1.00           | 0.553           | 0.553               | 2.106  | 0.263      | 0.0012       | 0.0005     | 0.539                              | 0.298                              | $\geq$ 0.298 0.001 |
| 12-13           | T9A             | 13               | 0.40           | 0.250           | 0.100               | 0.900  | 0.111      | 0.0076       | 0.0005     | 0.304                              | 0.030                              | $\geq$ 0.031 0.000 |
| 13-14           | T9              | 14               | 0.50           | 0.380           | 0.190               | 1.260  | 0.151      | 0.0248       | 0.0005     | 0.373                              | 0.071                              | $\geq$ 0.070 0.001 |
| 14-15           | S1.H            | 15               | 1.00           | 0.627           | 0.627               | 2.254  | 0.278      | 0.0005       | 0.0005     | 0.561                              | 0.351                              | $\geq$ 0.351 0.000 |
| 13-15           | T10             |                  | 0.50           | 0.330           | 0.165               | 1.160  | 0.142      | 0.0200       | 0.0005     | 0.358                              | 0.059                              | $\geq$ 0.058 0.001 |
| 15-16           | S1.I            | 16               | 1.00           | 0.680           | 0.680               | 2.360  | 0.288      | 0.0110       | 0.0005     | 0.574                              | 0.390                              | $\geq$ 0.390 0.000 |
| 17-16           | T11             |                  | 0.50           | 0.343           | 0.172               | 1.186  | 0.145      | 0.0262       | 0.0005     | 0.362                              | 0.062                              | $\geq$ 0.062 0.001 |
| 16-18           | S1.J            | 18               | 1.00           | 0.724           | 0.724               | 2.448  | 0.296      | 0.0038       | 0.0005     | 0.584                              | 0.423                              | $\geq$ 0.423 0.000 |
| 17-18           | T12             |                  | 0.50           | 0.320           | 0.160               | 1.140  | 0.140      | 0.0218       | 0.0005     | 0.355                              | 0.057                              | $\geq$ 0.055 0.001 |
| 18-20           | S1.K            | 20               | 1.00           | 0.769           | 0.769               | 2.538  | 0.303      | 0.0014       | 0.0005     | 0.593                              | 0.456                              | $\geq$ 0.456 0.000 |
| 19-20           | T13             |                  | 0.50           | 0.367           | 0.184               | 1.234  | 0.149      | 0.0011       | 0.0005     | 0.369                              | 0.068                              | $\geq$ 0.068 0.000 |

Tabel 4. 37 Tabel Perhitungan Debit Saluran terhadap debit rencana daerah Perumahan

| Ruas<br>Saluran | Kode<br>saluran | titik<br>Kontrol | Lebar (b)<br>m | Tinggi (h)<br>m | A<br>m <sup>2</sup> | P<br>m | R<br>medan | I<br>Rencana | V<br>m <sup>3</sup> /det | Qhidrolika<br>m <sup>3</sup> /det | Q hidrologi<br>m <sup>3</sup> /det | $\Delta Q$   |
|-----------------|-----------------|------------------|----------------|-----------------|---------------------|--------|------------|--------------|--------------------------|-----------------------------------|------------------------------------|--------------|
| 20-t32          | S1.L            | t32              | 1.00           | 0.813           | 0.813               | 2.626  | 0.310      | 0.0105       | 0.0005                   | 0.602                             | 0.489                              | $\geq$ 0.488 |
| 2-21            | T14             | 21               | 0.50           | 0.305           | 0.153               | 1.110  | 0.137      | 0.0046       | 0.0005                   | 0.350                             | 0.053                              | $\geq$ 0.053 |
| 21-23           | S2.A            | 23               | 0.50           | 0.310           | 0.155               | 1.120  | 0.138      | 0.0283       | 0.0005                   | 0.352                             | 0.055                              | $\geq$ 0.053 |
| 22-23           | T15             |                  | 0.50           | 0.310           | 0.155               | 1.120  | 0.138      | 0.0070       | 0.0005                   | 0.352                             | 0.055                              | $\geq$ 0.053 |
| 23-24           | S2.B            | 24               | 0.80           | 0.305           | 0.244               | 1.410  | 0.173      | 0.0384       | 0.0005                   | 0.408                             | 0.100                              | $\geq$ 0.099 |
| 22-24           | T16             |                  | 0.50           | 0.350           | 0.175               | 1.200  | 0.146      | 0.0138       | 0.0005                   | 0.364                             | 0.064                              | $\geq$ 0.063 |
| 24-26           | S2.C            | 26               | 0.80           | 0.434           | 0.347               | 1.668  | 0.208      | 0.0060       | 0.0005                   | 0.462                             | 0.160                              | $\geq$ 0.161 |
| 25-26           | T17             |                  | 0.50           | 0.318           | 0.159               | 1.136  | 0.140      | 0.0086       | 0.0005                   | 0.355                             | 0.056                              | $\geq$ 0.056 |
| 26-27           | S2.D            | 27               | 0.80           | 0.526           | 0.421               | 1.852  | 0.227      | 0.0011       | 0.0005                   | 0.490                             | 0.206                              | $\geq$ 0.206 |
| 25-27           | T18             |                  | 0.50           | 0.342           | 0.171               | 1.184  | 0.144      | 0.0071       | 0.0005                   | 0.362                             | 0.062                              | $\geq$ 0.062 |
| 27-29           | S2.E            | 29               | 0.80           | 0.636           | 0.509               | 2.072  | 0.246      | 0.0190       | 0.0005                   | 0.516                             | 0.262                              | $\geq$ 0.263 |
| 28-29           | T19             |                  | 0.50           | 0.313           | 0.157               | 1.126  | 0.139      | 0.0084       | 0.0005                   | 0.353                             | 0.055                              | $\geq$ 0.055 |
| 29-30           | S2.F            | 30               | 1.00           | 0.560           | 0.560               | 2.120  | 0.264      | 0.0084       | 0.0005                   | 0.542                             | 0.303                              | $\geq$ 0.302 |
| 28-30           | T20             |                  | 0.50           | 0.405           | 0.203               | 1.310  | 0.155      | 0.0085       | 0.0005                   | 0.379                             | 0.077                              | $\geq$ 0.077 |
| 30-32           | S2.G            |                  | 1.00           | 0.644           | 0.644               | 2.288  | 0.281      | 0.0123       | 0.0005                   | 0.565                             | 0.364                              | $\geq$ 0.364 |
| 31-32           | T21             | 32               | 0.50           | 0.320           | 0.160               | 1.140  | 0.140      | 0.0112       | 0.0005                   | 0.355                             | 0.057                              | $\geq$ 0.056 |
| 21-32           | T22             |                  | 0.50           | 0.370           | 0.185               | 1.240  | 0.149      | 0.0126       | 0.0005                   | 0.370                             | 0.068                              | $\geq$ 0.068 |
| 32-33           | S2.H            | 33               | 1.00           | 0.763           | 0.763               | 2.526  | 0.302      | 0.0094       | 0.0005                   | 0.592                             | 0.452                              | $\geq$ 0.452 |
| 31-33           | T23             |                  | 0.50           | 0.320           | 0.160               | 1.140  | 0.140      | 0.0110       | 0.0005                   | 0.355                             | 0.057                              | $\geq$ 0.056 |
| 33-35           | S2.I            | 35               | 1.20           | 0.675           | 0.810               | 2.550  | 0.318      | 0.0350       | 0.0005                   | 0.612                             | 0.496                              | $\geq$ 0.495 |
| 34-35           | T24             |                  | 0.50           | 0.340           | 0.170               | 1.180  | 0.144      | 0.0144       | 0.0005                   | 0.361                             | 0.061                              | $\geq$ 0.061 |
| 35-36           | S2.J            | 36               | 1.20           | 0.710           | 0.852               | 2.620  | 0.325      | 0.0014       | 0.0005                   | 0.622                             | 0.530                              | $\geq$ 0.528 |
| 34-36           | T25             |                  | 0.50           | 0.315           | 0.158               | 1.130  | 0.139      | 0.0119       | 0.0005                   | 0.354                             | 0.056                              | $\geq$ 0.056 |
| 36-38           | S2.K            | 38               | 1.20           | 0.747           | 0.896               | 2.694  | 0.333      | 0.0070       | 0.0005                   | 0.632                             | 0.566                              | $\geq$ 0.566 |
| 37-38           | T26             |                  | 0.40           | 0.200           | 0.080               | 0.800  | 0.100      | 0.0117       | 0.0005                   | 0.283                             | 0.023                              | $\geq$ 0.023 |

Tabel 4. 37 Tabel Perhitungan Debit Saluran terhadap debit rencana daerah Perumahan

| Ruas<br>Saluran | Kode<br>saluran | titik<br>Kontrol | Lebar (b)<br>m | Tinggi (h)<br>m | A<br>m <sup>2</sup> | P<br>m | R<br>medan | I<br>Rencana | V<br>m/det | Q hidrolika<br>m <sup>3</sup> /det | Q hidrologi<br>m <sup>3</sup> /det | $\Delta Q$   |
|-----------------|-----------------|------------------|----------------|-----------------|---------------------|--------|------------|--------------|------------|------------------------------------|------------------------------------|--------------|
| 38-39           | S2.L            | 39               | 1.20           | 0.755           | 0.906               | 2.710  | 0.334      | 0.0025       | 0.0005     | 0.634                              | 0.574                              | $\geq$ 0.572 |
| 37-39           | T27             |                  | 0.40           | 0.220           | 0.088               | 0.840  | 0.105      | 0.0113       | 0.0005     | 0.292                              | 0.026                              | $\geq$ 0.026 |
| 39-40           | S2.M            |                  | 1.20           | 0.768           | 0.922               | 2.736  | 0.337      | 0.0027       | 0.0005     | 0.637                              | 0.587                              | $\geq$ 0.585 |
| 19-40           | T28             | 40               | 0.50           | 0.381           | 0.191               | 1.262  | 0.151      | 0.0130       | 0.0005     | 0.373                              | 0.071                              | $\geq$ 0.071 |
| 41-40           | T29             |                  | 0.50           | 0.200           | 0.100               | 0.900  | 0.111      | 0.0053       | 0.0005     | 0.304                              | 0.030                              | $\geq$ 0.029 |
| 40-t55          | S2.N            | t55              | 1.20           | 0.832           | 0.998               | 2.864  | 0.349      | 0.0068       | 0.0005     | 0.652                              | 0.650                              | $\geq$ 0.649 |

**Tabel 4. 38 Perhitungan Debit Saluran terhadap debit rencana daerah Pemukiman Warga**

| Ruas<br>Saluran | Kode<br>saluran | titik<br>Kontrol | Lebar (b)<br>m | Tinggi (h)<br>m | A<br>m <sup>2</sup> | P<br>m | R<br>medan | I<br>Rencana | V<br>m/det | Qhidrolika<br>m <sup>3</sup> /det | Q hidrologi<br>m <sup>3</sup> /det | ΔQ            |
|-----------------|-----------------|------------------|----------------|-----------------|---------------------|--------|------------|--------------|------------|-----------------------------------|------------------------------------|---------------|
| t1-t2           | St1             | t2               | 0.40           | 0.220           | 0.088               | 0.840  | 0.105      | 0.011        | 0.0005     | 0.292                             | 0.026                              | ≥ 0.026 0.000 |
| t2-t3           | St2             | t3               | 0.40           | 0.290           | 0.116               | 0.980  | 0.118      | 0.019        | 0.0005     | 0.317                             | 0.037                              | ≥ 0.036 0.001 |
| t5-t3           | St3a            |                  | 0.50           | 0.350           | 0.175               | 1.200  | 0.146      | 0.008        | 0.0005     | 0.364                             | 0.064                              | ≥ 0.064 0.000 |
| t3-t6           | St4             |                  | 0.50           | 0.396           | 0.198               | 1.292  | 0.153      | 0.020        | 0.001      | 0.533                             | 0.105                              | ≥ 0.105 0.000 |
| t7-t6           | St8a            | t6               | 0.30           | 0.150           | 0.045               | 0.600  | 0.075      | 0.005        | 0.0005     | 0.234                             | 0.011                              | ≥ 0.008 0.003 |
| t6-t8           | St5             | t8               | 0.60           | 0.460           | 0.276               | 1.520  | 0.182      | 0.017        | 0.0005     | 0.422                             | 0.116                              | ≥ 0.115 0.002 |
| t8-t11          | St6a            | t12              | 0.70           | 0.396           | 0.277               | 1.492  | 0.186      | 0.003        | 0.0005     | 0.428                             | 0.119                              | ≥ 0.119 0.000 |
| t9-t11a         | k10             |                  | 0.40           | 0.280           | 0.112               | 0.960  | 0.117      | 0.014        | 0.0005     | 0.314                             | 0.035                              | ≥ 0.035 0.000 |
| t10-t11a        | k11             | t11a             | 0.40           | 0.230           | 0.092               | 0.860  | 0.107      | 0.019        | 0.0005     | 0.296                             | 0.027                              | ≥ 0.026 0.001 |
| t11a-t11        | k11a            | t11              | 0.40           | 0.390           | 0.156               | 1.180  | 0.132      | 0.025        | 0.0005     | 0.341                             | 0.053                              | ≥ 0.053 0.000 |
| t11-t13         | St6b            | t13              | 0.70           | 0.510           | 0.357               | 1.720  | 0.208      | 0.005        | 0.0005     | 0.461                             | 0.165                              | ≥ 0.165 0.000 |
| t7-t12          | St8             | t12              | 0.30           | 0.150           | 0.045               | 0.600  | 0.075      | 0.009        | 0.0005     | 0.234                             | 0.011                              | ≥ 0.008 0.002 |
| t12-t13         | St9             | t13              | 0.30           | 0.210           | 0.063               | 0.720  | 0.088      | 0.028        | 0.0005     | 0.259                             | 0.016                              | ≥ 0.014 0.002 |
| t13-t22         | St7             | t22              | 0.60           | 0.483           | 0.290               | 1.566  | 0.185      | 0.033        | 0.001      | 0.604                             | 0.175                              | ≥ 0.175 0.000 |
| t2-t14          | St10            | t14              | 0.60           | 0.200           | 0.120               | 1.000  | 0.120      | 0.004        | 0.0005     | 0.320                             | 0.038                              | ≥ 0.035 0.004 |
| t14-t15         | St11            | t15              | 0.60           | 0.244           | 0.146               | 1.088  | 0.135      | 0.017        | 0.0005     | 0.345                             | 0.051                              | ≥ 0.051 0.000 |
| t4-t5           | k9              | t5               | 0.40           | 0.220           | 0.088               | 0.840  | 0.105      | 0.029        | 0.0005     | 0.292                             | 0.026                              | ≥ 0.025 0.001 |
| t5-t15          | St3b            | t15              | 0.50           | 0.240           | 0.120               | 0.980  | 0.122      | 0.006        | 0.0005     | 0.324                             | 0.039                              | ≥ 0.036 0.003 |
| t16-t17         | St12            | t17              | 0.40           | 0.250           | 0.100               | 0.900  | 0.111      | 0.015        | 0.0005     | 0.304                             | 0.030                              | ≥ 0.030 0.000 |
| t18-t17         | St13            | t17              | 0.30           | 0.160           | 0.048               | 0.620  | 0.077      | 0.001        | 0.001      | 0.382                             | 0.018                              | ≥ 0.018 0.000 |
| t19-t20a        | St14            | t20a             | 0.40           | 0.330           | 0.132               | 1.060  | 0.125      | 0.007        | 0.0005     | 0.328                             | 0.043                              | ≥ 0.043 0.000 |
| t15-t20         | Ss1             | t20              | 0.80           | 0.380           | 0.304               | 1.560  | 0.195      | 0.028        | 0.0005     | 0.442                             | 0.134                              | ≥ 0.132 0.002 |
| t50-t21         | St15a           | t21              | 0.50           | 0.150           | 0.075               | 0.800  | 0.094      | 0.013        | 0.0005     | 0.271                             | 0.020                              | ≥ 0.020 0.000 |
| t21a-t21        | k15             |                  | 0.40           | 0.230           | 0.092               | 0.860  | 0.107      | 0.032        | 0.0005     | 0.296                             | 0.027                              | ≥ 0.026 0.001 |
| t21-20b         | St15b           | t20b             | 0.50           | 0.380           | 0.190               | 1.260  | 0.151      | 0.0003       | 0.0003     | 0.302                             | 0.057                              | ≥ 0.056 0.001 |
| t20b-t20c       | Ss2             | t20c             | 1.00           | 0.580           | 0.580               | 2.160  | 0.269      | 0.030        | 0.0005     | 0.547                             | 0.318                              | ≥ 0.316 0.002 |

Tabel 4. 39 Perhitungan Debit Saluran terhadap debit rencana daerah Pemukiman Warga menuju Saluran Primer

| Ruas Saluran | Kode saluran | titik Kontrol | Lebar (b)<br>m | Tinggi (h)<br>m | A<br>m <sup>2</sup> | P<br>m | R<br>medan | I<br>Rencana | V<br>m/det | Q hidrolika<br>m <sup>3</sup> /det | Q hidrologi<br>m <sup>3</sup> /det | ΔQ             |
|--------------|--------------|---------------|----------------|-----------------|---------------------|--------|------------|--------------|------------|------------------------------------|------------------------------------|----------------|
| t22-23       | K1.a         | t23           | 0.30           | 0.200           | 0.060               | 0.700  | 0.086      | 0.039        | 0.0005     | 0.256                              | 0.015                              | ≥ 0.014 0.0015 |
| t23-t26      | St.16a       | t26           | 0.40           | 0.140           | 0.056               | 0.680  | 0.082      | 0.005        | 0.0005     | 0.249                              | 0.014                              | ≥ 0.013 0.0005 |
| t25-t26      | K2.a         |               | 0.30           | 0.180           | 0.054               | 0.660  | 0.082      | 0.025        | 0.0005     | 0.248                              | 0.013                              | ≥ 0.013 0.0001 |
| t28-t29      | K3.a         | t29           | 0.30           | 0.200           | 0.060               | 0.700  | 0.086      | 0.025        | 0.0005     | 0.256                              | 0.015                              | ≥ 0.015 0.0002 |
| t29-t32      | St.16b       | t32           | 0.40           | 0.328           | 0.131               | 1.056  | 0.124      | 0.027        | 0.0005     | 0.328                              | 0.043                              | ≥ 0.043 0.0000 |
| t31-t32      | K4.a         |               | 0.30           | 0.200           | 0.060               | 0.700  | 0.086      | 0.063        | 0.0005     | 0.256                              | 0.015                              | ≥ 0.014 0.0015 |
| t34-t35      | K5.a         | t35           | 0.30           | 0.200           | 0.060               | 0.700  | 0.086      | 0.030        | 0.0005     | 0.256                              | 0.015                              | ≥ 0.014 0.0014 |
| t37-t38      | K6.a         | t38           | 0.30           | 0.180           | 0.054               | 0.660  | 0.082      | 0.029        | 0.0005     | 0.248                              | 0.013                              | ≥ 0.011 0.0025 |
| t40-t41      | K7           | t41           | 0.30           | 0.140           | 0.042               | 0.580  | 0.072      | 0.005        | 0.005      | 0.689                              | 0.029                              | ≥ 0.029 0.0000 |
| t42-t43      | K8           | t43           | 0.30           | 0.110           | 0.033               | 0.520  | 0.063      | 0.004        | 0.004      | 0.610                              | 0.020                              | ≥ 0.020 0.0004 |
| t24a-t24     | St.17a       | t24           | 0.40           | 0.170           | 0.068               | 0.740  | 0.092      | 0.0005       | 0.0005     | 0.268                              | 0.018                              | ≥ 0.018 0.0007 |
| t22-t24      | K1.b         |               | 0.30           | 0.130           | 0.039               | 0.560  | 0.070      | 0.001        | 0.001      | 0.346                              | 0.013                              | ≥ 0.013 0.0009 |
| t24-t27      | St.17b       | t27           | 0.40           | 0.240           | 0.096               | 0.880  | 0.109      | 0.014        | 0.0005     | 0.300                              | 0.029                              | ≥ 0.029 0.0002 |
| t25-t27      | K2.b         |               | 0.30           | 0.100           | 0.030               | 0.500  | 0.060      | 0.003        | 0.003      | 0.466                              | 0.014                              | ≥ 0.009 0.0048 |
| t28-t30      | K3.b         | t30           | 0.30           | 0.080           | 0.024               | 0.460  | 0.052      | 0.003        | 0.003      | 0.425                              | 0.010                              | ≥ 0.009 0.0009 |
| t27-t33      | St.17.c      | t33           | 0.40           | 0.240           | 0.096               | 0.880  | 0.109      | 0.021        | 0.021      | 1.941                              | 0.186                              | ≥ 0.052 0.1346 |
| t31-t33      | K4.b         |               | 0.30           | 0.256           | 0.077               | 0.812  | 0.095      | 0.008        | 0.0005     | 0.273                              | 0.021                              | ≥ 0.021 0.0003 |
| t33-36       | St.17d       | t36           | 0.50           | 0.395           | 0.198               | 1.290  | 0.153      | 0.022        | 0.0005     | 0.376                              | 0.079                              | ≥ 0.079 0.0003 |
| t34-t36      | K5.b         |               | 0.30           | 0.200           | 0.060               | 0.700  | 0.086      | 0.029        | 0.0005     | 0.256                              | 0.015                              | ≥ 0.013 0.0022 |
| t37-t39      | K6.b         | t39           | 0.30           | 0.170           | 0.051               | 0.640  | 0.080      | 0.028        | 0.0005     | 0.244                              | 0.012                              | ≥ 0.011 0.0011 |
| t39-t43      | St.17e       | t43           | 0.50           | 0.426           | 0.213               | 1.352  | 0.158      | 0.019        | 0.0005     | 0.384                              | 0.085                              | ≥ 0.085 0.0004 |
| t8-t44       | St.18a       | t44           | 0.40           | 0.300           | 0.120               | 1.000  | 0.120      | 0.019        | 0.0005     | 0.320                              | 0.038                              | ≥ 0.038 0.0003 |
| t43-t44      | K12          |               | 0.30           | 0.310           | 0.093               | 0.920  | 0.101      | 0.014        | 0.0005     | 0.285                              | 0.027                              | ≥ 0.027 0.0000 |

Tabel 4. 39 Perhitungan Debit Saluran terhadap debit rencana daerah Pemukiman Warga menuju Saluran Primer

| Ruas<br>Saluran | Kode<br>saluran | titik<br>Kontrol | Lebar (b)<br>m | Tinggi (h)<br>m | A<br>m <sup>2</sup> | P<br>m | R<br>medan | I<br>Rencana | V<br>m/det | Q hidrolika<br>m <sup>3</sup> /det | Q hidrologi<br>m <sup>3</sup> /det | ΔQ      |
|-----------------|-----------------|------------------|----------------|-----------------|---------------------|--------|------------|--------------|------------|------------------------------------|------------------------------------|---------|
| t44-t47         | St.18b          | t47              | 0.40           | 0.410           | 0.164               | 1.220  | 0.134      | 0.019        | 0.0005     | 0.345                              | 0.057                              | ≥ 0.055 |
| t46-t47         | K13             |                  | 0.30           | 0.330           | 0.099               | 0.960  | 0.103      | 0.016        | 0.0005     | 0.289                              | 0.029                              | ≥ 0.028 |
| t47-t56         | St.18c          | t56              | 0.50           | 0.410           | 0.205               | 1.320  | 0.155      | 0.049        | 0.0005     | 0.380                              | 0.078                              | ≥ 0.077 |
| t10-t45         | St.19a          | t45              | 0.40           | 0.200           | 0.080               | 0.800  | 0.100      | 0.011        | 0.0005     | 0.283                              | 0.023                              | ≥ 0.022 |
| t43-t45         | K14             |                  | 0.30           | 0.140           | 0.042               | 0.580  | 0.072      | 0.001        | 0.001      | 0.320                              | 0.013                              | ≥ 0.013 |
| t45-t57         | St.19b          | t57              | 0.40           | 0.336           | 0.134               | 1.072  | 0.125      | 0.024        | 0.0005     | 0.329                              | 0.044                              | ≥ 0.044 |
| t48-t58         | St.20           | t58              | 0.30           | 0.250           | 0.075               | 0.800  | 0.094      | 0.020        | 0.0005     | 0.271                              | 0.020                              | ≥ 0.020 |
| t49-t50         | K16             | t50              | 0.30           | 0.240           | 0.072               | 0.780  | 0.092      | 0.009        | 0.0005     | 0.269                              | 0.019                              | ≥ 0.019 |
| t51-t52         | K17             | t52              | 0.30           | 0.290           | 0.087               | 0.880  | 0.099      | 0.010        | 0.0005     | 0.281                              | 0.024                              | ≥ 0.024 |
| t50-t54         | St.21a          | t54              | 0.50           | 0.263           | 0.132               | 1.026  | 0.128      | 0.002        | 0.0005     | 0.334                              | 0.044                              | ≥ 0.044 |
| t53-t54         | K18             |                  | 0.30           | 0.310           | 0.093               | 0.920  | 0.101      | 0.005        | 0.0005     | 0.285                              | 0.027                              | ≥ 0.027 |
| t54-t59         | St.21b          | t59              | 0.50           | 0.360           | 0.180               | 1.220  | 0.148      | 0.039        | 0.0005     | 0.367                              | 0.066                              | ≥ 0.066 |

Tabel 4. 40 Perhitungan Debit Saluran terhadap debit rencana pada saluran Primer menuju Boezem

| Ruas<br>Saluran | Kode<br>saluran | titik<br>Kontrol | Lebar (b)<br>m | Tinggi (h)<br>m | A<br>m <sup>2</sup> | P<br>m | R<br>medan | I<br>Rencana | V<br>m/det | Q hidrolika<br>m <sup>3</sup> /det | Q hidrologi<br>m <sup>3</sup> /det | ΔQ      |
|-----------------|-----------------|------------------|----------------|-----------------|---------------------|--------|------------|--------------|------------|------------------------------------|------------------------------------|---------|
| t32-t35         | P1              | t35              | 1.4            | 0.49            | 0.690               | 2.386  | 0.289      | 0.0009       | 0.0009     | 0.772                              | 0.533                              | ≥ 0.532 |
| t35-t41         | P2              | t41              | 1.4            | 0.51            | 0.720               | 2.428  | 0.296      | 0.016        | 0.0008     | 0.740                              | 0.532                              | ≥ 0.532 |
| t41-t55         | P3              | t55              | 1.4            | 0.53            | 0.741               | 2.458  | 0.301      | 0.014        | 0.0008     | 0.748                              | 0.554                              | ≥ 0.554 |
| t55-t43         | P4              | t43              | 1.4            | 0.83            | 1.162               | 3.060  | 0.380      | 0.0009       | 0.0009     | 0.916                              | 1.064                              | ≥ 1.058 |
| t56-t57         | P5              | t57              | 1.4            | 0.77            | 1.078               | 2.940  | 0.367      | 0.0010       | 0.0010     | 0.953                              | 1.027                              | ≥ 1.026 |
| t57-t58         | P6              | t58              | 1.4            | 0.79            | 1.106               | 2.980  | 0.371      | 0.0005       | 0.0010     | 0.961                              | 1.063                              | ≥ 1.059 |
| t58-t59         | P7              | t59              | 1.4            | 0.95            | 1.330               | 3.300  | 0.403      | 0.0006       | 0.0006     | 0.800                              | 1.063                              | ≥ 1.057 |
| t59-t60         | P8              | t60              | 1.4            | 1.05            | 1.470               | 3.500  | 0.420      | 0.0125       | 0.0005     | 0.738                              | 1.084                              | ≥ 1.081 |

## Perencanaan Dimensi Saluran

| TYPE<br>wxhxL | DIMENSIONS |      |      |     |     |     | APPR.<br>WEIGHT<br>(kg)/ Pcs |      |
|---------------|------------|------|------|-----|-----|-----|------------------------------|------|
|               | w          | h    | w1   | t1  | t2  | t3  | L                            |      |
| U 30X30X120   | 300        | 300  | 270  | 44  | 55  | 55  | 2400                         | 159  |
| U 30X40X120   | 300        | 400  | 270  | 42  | 55  | 55  | 2400                         | 183  |
| U 30X50X120   | 300        | 500  | 270  | 40  | 55  | 55  | 2400                         | 206  |
| U 40X30X120   | 400        | 300  | 350  | 52  | 65  | 65  | 1200                         | 216  |
| U 40X40X120   | 400        | 400  | 350  | 48  | 65  | 65  | 1200                         | 236  |
| U 40X50X120   | 400        | 500  | 350  | 44  | 65  | 65  | 1200                         | 261  |
| U 40X60X120   | 400        | 600  | 350  | 40  | 65  | 65  | 1200                         | 284  |
| U 50X50X120   | 500        | 500  | 460  | 61  | 75  | 75  | 1200                         | 347  |
| U 50X60X120   | 500        | 600  | 460  | 58  | 75  | 75  | 1200                         | 380  |
| U 50X70X120   | 500        | 700  | 460  | 55  | 75  | 75  | 1200                         | 411  |
| U 60X60X120   | 600        | 600  | 560  | 60  | 75  | 75  | 1200                         | 405  |
| U 60X70X120   | 600        | 700  | 560  | 58  | 75  | 75  | 1200                         | 439  |
| U 60X80X120   | 600        | 800  | 560  | 55  | 75  | 75  | 1200                         | 470  |
| U 80X80X120   | 800        | 800  | 740  | 62  | 85  | 85  | 1200                         | 583  |
| U 80X90X120   | 800        | 900  | 740  | 59  | 85  | 85  | 1200                         | 616  |
| U 80X100X120  | 800        | 1000 | 740  | 55  | 85  | 85  | 1200                         | 647  |
| U 100X100X120 | 1000       | 1000 | 940  | 75  | 100 | 100 | 1200                         | 864  |
| U 100X120X120 | 1000       | 1200 | 940  | 70  | 100 | 100 | 1200                         | 945  |
| U 120X120X120 | 1200       | 1200 | 1110 | 76  | 115 | 115 | 1200                         | 1137 |
| U 120X140X120 | 1200       | 1400 | 1110 | 70  | 115 | 115 | 1200                         | 1219 |
| U 140X140X120 | 1400       | 1400 | 1332 | 120 | 150 | 150 | 1200                         | 1862 |
| U 140X160X120 | 1400       | 1600 | 1332 | 116 | 150 | 150 | 1200                         | 1996 |

Data is subject to change without notice

Gambar 4. 5 Dimensi U-Ditch

Pada saluran kawasan boezem Sumur Welut direncanakan dengan menggunakan saluran U-ditch seperti gambar 4.5. Rekapitulasi perencanaan dimensi saluran terdapat pada tabel 4.41, tabel 4.42, tabel 4.43, dan tabel 4.44

Tabel 4. 41 Rekapitulasi Perencanaan dimensi Saluran Perumahan

| Ruas<br>Saluran | Kode<br>saluran | Titik<br>Kontrol | b<br>(m) | h<br>(m) | H<br>(m) | U | Type | Width  |
|-----------------|-----------------|------------------|----------|----------|----------|---|------|--------|
| 1-2a            | T1              | 1                | 0.40     | 0.27     | 0.40     | U | 400  | x 400  |
| 2a-2            | T2              |                  | 0.50     | 0.26     | 0.50     | U | 500  | x 500  |
| 2-4             | S1.A            | 2                | 0.50     | 0.26     | 0.50     | U | 500  | x 500  |
| 3-4             | T3              |                  | 0.50     | 0.33     | 0.50     | U | 500  | x 500  |
| 4-5             | S1.B            | 5                | 0.80     | 0.28     | 0.80     | U | 800  | x 800  |
| 3-5             | T4              |                  | 0.50     | 0.33     | 0.50     | U | 500  | x 500  |
| 5-7             | S1.C            | 7                | 0.80     | 0.38     | 0.80     | U | 800  | x 800  |
| 6-7             | T5              |                  | 0.50     | 0.32     | 0.50     | U | 500  | x 500  |
| 7-8             | S1.D            | 8                | 0.80     | 0.46     | 0.80     | U | 800  | x 800  |
| 6-8             | T6              |                  | 0.50     | 0.34     | 0.50     | U | 500  | x 500  |
| 8-10            | S1.E            | 10               | 0.80     | 0.55     | 0.80     | U | 800  | x 800  |
| 9-10            | T7              | 9a               | 0.50     | 0.32     | 0.50     | U | 500  | x 500  |
| 10-11           | S1.F            |                  | 1.00     | 0.49     | 1.00     | U | 1000 | x 1000 |
| 9-11            | T8              |                  | 0.50     | 0.34     | 0.50     | U | 500  | x 500  |
| 11-14           | S1.G            |                  | 1.00     | 0.55     | 1.00     | U | 1000 | x 1000 |
| 12-13           | T9A             |                  | 0.40     | 0.25     | 0.40     | U | 400  | x 400  |
| 13-14           | T9              |                  | 0.50     | 0.38     | 0.50     | U | 500  | x 500  |
| 14-15           | S1.H            | 14               | 1.00     | 0.63     | 1.00     | U | 1000 | x 1000 |
| 13-15           | T10             |                  | 0.50     | 0.33     | 0.50     | U | 500  | x 500  |
| 15-16           | S1.I            |                  | 1.00     | 0.68     | 1.00     | U | 1000 | x 1000 |
| 17-16           | T11             |                  | 0.50     | 0.34     | 0.50     | U | 500  | x 500  |
| 16-18           | S1.J            |                  | 1.00     | 0.72     | 1.00     | U | 1000 | x 1000 |
| 17-18           | T12             | 19a              | 0.50     | 0.32     | 0.50     | U | 500  | x 500  |
| 18-20           | S1.K            |                  | 1.00     | 0.77     | 1.00     | U | 1000 | x 1000 |
| 19-20           | T13             |                  | 0.50     | 0.37     | 0.50     | U | 500  | x 500  |
| 20-P1           | S1.L            |                  | 1.00     | 0.81     | 1.00     | U | 1000 | x 1000 |
| 2-21            | T14             | 21               | 0.50     | 0.31     | 0.50     | U | 500  | x 500  |
| 21-23           | S2.A            |                  | 0.50     | 0.31     | 0.50     | U | 500  | x 500  |
| 22-23           | T15             | 23               | 0.50     | 0.31     | 0.50     | U | 500  | x 500  |

Tabel 4. 41 Rekapitulasi Perencanaan dimensi Saluran Perumahan

| Ruas<br>Saluran | Kode<br>saluran | Titik<br>Kontrol | b    | h    | H    | U- ditch |       |        |
|-----------------|-----------------|------------------|------|------|------|----------|-------|--------|
|                 |                 |                  | (m)  | (m)  | (m)  | Type     | Width |        |
| 23-24           | S2.B            | 24               | 0.80 | 0.31 | 0.80 | U        | 800   | x 800  |
| 22-24           | T16             |                  | 0.50 | 0.35 | 0.50 | U        | 500   | x 500  |
| 24-26           | S2.C            | 26               | 0.80 | 0.43 | 0.80 | U        | 800   | x 800  |
| 25-26           | T17             |                  | 0.50 | 0.32 | 0.50 | U        | 500   | x 500  |
| 26-27           | S2.D            | 27               | 0.80 | 0.53 | 0.80 | U        | 800   | x 800  |
| 25-27           | T18             |                  | 0.50 | 0.34 | 0.50 | U        | 500   | x 500  |
| 27-29           | S2.E            | 29               | 0.80 | 0.64 | 0.80 | U        | 800   | x 800  |
| 28-29           | T19             |                  | 0.50 | 0.31 | 0.50 | U        | 500   | x 500  |
| 29-30           | S2.F            | 30               | 1.00 | 0.56 | 1.00 | U        | 1000  | x 1000 |
| 28-30           | T20             |                  | 0.50 | 0.41 | 0.50 | U        | 500   | x 500  |
| 30-32           | S2.G            |                  | 1.00 | 0.64 | 1.00 | U        | 1000  | x 1000 |
| 31-32           | T21             | 32               | 0.50 | 0.32 | 0.50 | U        | 500   | x 500  |
| 21-32           | T22             |                  | 0.50 | 0.37 | 0.50 | U        | 500   | x 500  |
| 32-33           | S2.H            | 33               | 1.00 | 0.76 | 1.00 | U        | 1000  | x 1000 |
| 31-33           | T23             |                  | 0.50 | 0.32 | 0.50 | U        | 500   | x 500  |
| 33-35           | S2.I            | 35               | 1.20 | 0.68 | 1.20 | U        | 1200  | x 1200 |
| 34-35           | T24             |                  | 0.50 | 0.34 | 0.50 | U        | 500   | x 500  |
| 35-36           | S2.J            | 36               | 1.20 | 0.71 | 1.20 | U        | 1200  | x 1200 |
| 34-36           | T25             |                  | 0.50 | 0.32 | 0.50 | U        | 500   | x 500  |
| 36-38           | S2.K            | 38               | 1.20 | 0.75 | 1.20 | U        | 1200  | x 1200 |
| 37-38           | T26             |                  | 0.40 | 0.20 | 0.40 | U        | 400   | x 400  |
| 38-39           | S2.L            | 39               | 1.20 | 0.76 | 1.20 | U        | 1200  | x 1200 |
| 37-39           | T27             |                  | 0.40 | 0.22 | 0.40 | U        | 400   | x 400  |
| 39-40           | S2.M            |                  | 1.20 | 0.77 | 1.20 | U        | 1200  | x 1200 |
| 19-40           | T28             | 40               | 0.50 | 0.38 | 0.50 | U        | 500   | x 500  |
| 41-40           | T29             |                  | 0.50 | 0.20 | 0.50 | U        | 500   | x 500  |
| 40-P2           | S2.N            |                  | 1.20 | 0.83 | 1.20 | U        | 1200  | x 1200 |

(Sumber: Hasil Perhitungan)

Tabel 4. 42 Rekapitulasi Perencanaan dimensi Saluran pemukiman warga menuju Boezem

| Ruas Saluran | Kode saluran | titk Kontrol | b<br>(m) | h<br>(m) | H<br>(m) | U | Type | Width  |
|--------------|--------------|--------------|----------|----------|----------|---|------|--------|
| t1-t2        | St1          | t2           | 0.40     | 0.220    | 0.50     | U | 400  | x 500  |
| t2-t3        | St2          | t3           | 0.40     | 0.290    | 0.50     | U | 400  | x 500  |
| t5-t3        | St3a         |              | 0.50     | 0.350    | 0.50     | U | 500  | x 500  |
| t3-t6        | St4          | t6           | 0.50     | 0.396    | 0.50     | U | 500  | x 500  |
| t7-t6        | St8a         | t6           | 0.30     | 0.150    | 0.30     | U | 300  | x 300  |
| t6-t8        | St5          | t8           | 0.60     | 0.460    | 0.60     | U | 600  | x 600  |
| t8-t11       | St6a         | t12          | 0.70     | 0.396    | 0.70     | U | 700  | x 700  |
| t9-t11a      | k10          | t11a         | 0.40     | 0.280    | 0.40     | U | 400  | x 400  |
| t10-t11a     | k11          | t11a         | 0.40     | 0.230    | 0.40     | U | 400  | x 400  |
| t11a-t11     | k11a         | t11          | 0.40     | 0.390    | 0.50     | U | 400  | x 500  |
| t11-t13      | St6b         | t13          | 0.70     | 0.510    | 0.70     | U | 700  | x 700  |
| t7-t12       | St8          | t12          | 0.30     | 0.150    | 0.30     | U | 300  | x 300  |
| t12-t13      | St9          | t13          | 0.30     | 0.210    | 0.30     | U | 300  | x 300  |
| t13-t22      | St7          | t22          | 0.60     | 0.483    | 0.60     | U | 600  | x 600  |
| t2-t14       | St10         | t14          | 0.60     | 0.200    | 0.60     | U | 600  | x 600  |
| t14-t15      | St11         | t15          | 0.60     | 0.244    | 0.60     | U | 600  | x 600  |
| t4-t5        | k9           | t5           | 0.40     | 0.220    | 0.40     | U | 400  | x 400  |
| t5-t15       | St3b         | t15          | 0.50     | 0.240    | 0.50     | U | 500  | x 500  |
| t16-t17      | St12         | t17          | 0.40     | 0.250    | 0.50     | U | 400  | x 500  |
| t18-t17      | St13         | t17          | 0.30     | 0.160    | 0.30     | U | 300  | x 300  |
| t19-t20a     | St14         | t20a         | 0.40     | 0.330    | 0.50     | U | 400  | x 500  |
| t15-t20      | Ss1          | t20          | 0.80     | 0.380    | 0.80     | U | 800  | x 800  |
| t50-t21      | St15a        | t21          | 0.50     | 0.150    | 0.50     | U | 500  | x 500  |
| t21a-t21     | k15          |              | 0.40     | 0.230    | 0.40     | U | 400  | x 400  |
| t21-20b      | St15b        | t20b         | 0.50     | 0.380    | 0.50     | U | 500  | x 500  |
| t20b-t20c    | Ss2          | t20c         | 1.00     | 0.580    | 1.00     | U | 1000 | x 1000 |

(Sumber: Hasil Perhitungan)

Tabel 4. 43 Rekapitulasi Perencanaan dimensi Saluran pemukiman warga menuju saluran Primer

| Ruas<br>Saluran | Kode<br>saluran | titk<br>Kontrol | b<br>(m) | h<br>(m) | H<br>(m) | U | Type | Width |
|-----------------|-----------------|-----------------|----------|----------|----------|---|------|-------|
| t22-23          | K1.a            | t23             | 0.30     | 0.20     | 0.30     | U | 300  | x 300 |
| t23-t26         | St.16a          | t26             | 0.40     | 0.14     | 0.40     | U | 400  | x 400 |
| t25-t26         | K2.a            |                 | 0.30     | 0.18     | 0.30     | U | 300  | x 300 |
| t28-t29         | K3.a            | t29             | 0.30     | 0.20     | 0.30     | U | 300  | x 300 |
| t29-t32         | St.16b          | t32             | 0.40     | 0.33     | 0.50     | U | 400  | x 500 |
| t31-t32         | K4.a            | t32             | 0.30     | 0.20     | 0.30     | U | 300  | x 300 |
| t34-t35         | K5.a            | t35             | 0.30     | 0.20     | 0.30     | U | 300  | x 300 |
| t37-t38         | K6.a            | t38             | 0.30     | 0.18     | 0.30     | U | 300  | x 300 |
| t40-t41         | K7              | t41             | 0.30     | 0.14     | 0.30     | U | 300  | x 300 |
| t42-t43         | K8              | t43             | 0.30     | 0.11     | 0.30     | U | 300  | x 300 |
| t24a-t24        | St.17a          | t24             | 0.40     | 0.17     | 0.40     | U | 400  | x 400 |
| t22-t24         | K1.b            |                 | 0.30     | 0.13     | 0.30     | U | 300  | x 300 |
| t24-t27         | St.17b          | t27             | 0.40     | 0.24     | 0.40     | U | 400  | x 400 |
| t25-t27         | K2.b            |                 | 0.30     | 0.10     | 0.30     | U | 300  | x 300 |
| t28-t30         | K3.b            | t30             | 0.30     | 0.08     | 0.30     | U | 300  | x 300 |
| t27-t33         | St.17.c         | t33             | 0.40     | 0.24     | 0.40     | U | 400  | x 400 |
| t31-t33         | K4.b            |                 | 0.30     | 0.26     | 0.30     | U | 300  | x 300 |
| t33-36          | St.17d          | t36             | 0.50     | 0.40     | 0.50     | U | 500  | x 500 |
| t34-t36         | K5.b            |                 | 0.30     | 0.20     | 0.30     | U | 300  | x 300 |
| t37-t39         | K6.b            | t39             | 0.30     | 0.17     | 0.30     | U | 300  | x 300 |
| t39-t43         | St.17e          | t43             | 0.50     | 0.43     | 0.50     | U | 500  | x 500 |
| t8-t44          | St.18a          | t44             | 0.40     | 0.30     | 0.50     | U | 400  | x 500 |
| t43-t44         | K12             |                 | 0.30     | 0.31     | 0.40     | U | 300  | x 400 |
| t44-t47         | St.18b          | t47             | 0.40     | 0.41     | 0.50     | U | 400  | x 500 |
| t46-t47         | K13             |                 | 0.30     | 0.33     | 0.40     | U | 300  | x 400 |
| t47-t56         | St.18c          | t56             | 0.40     | 0.53     | 0.50     | U | 400  | x 500 |
| t10-t45         | St.19a          | t45             | 0.40     | 0.20     | 0.50     | U | 400  | x 500 |
| t43-t45         | K14             |                 | 0.30     | 0.14     | 0.30     | U | 300  | x 300 |
| t45-t57         | St.19b          | t57             | 0.40     | 0.34     | 0.50     | U | 400  | x 500 |
| t48-t58         | St.20           | t58             | 0.30     | 0.25     | 0.40     | U | 300  | x 400 |
| t49-t50         | K16             | t50             | 0.30     | 0.24     | 0.40     | U | 300  | x 400 |

Tabel 4. 43 Rekapitulasi Perencanaan dimensi Saluran pemukiman warga menuju saluran Primer

| Ruas<br>Saluran | Kode<br>saluran | titk<br>Kontrol | b<br>(m) | h<br>(m) | H<br>(m) | U | Type | Width |
|-----------------|-----------------|-----------------|----------|----------|----------|---|------|-------|
| t51-t52         | K17             | t52             | 0.30     | 0.29     | 0.40     | U | 300  | x 400 |
| t50-t54         | St.21a          | t54             | 0.50     | 0.26     | 0.50     | U | 500  | x 500 |
| t53-t54         | K18             |                 | 0.30     | 0.31     | 0.40     | U | 300  | x 400 |
| t54-t59         | St.21b          | t59             | 0.50     | 0.36     | 0.50     | U | 500  | x 500 |

(Sumber: Hasil Perhitungan)

Tabel 4. 44 Rekapitulasi Perencanaan dimensi Saluran Primer pemukiman warga menuju boezem

| Ruas<br>Saluran | Kode<br>saluran | titk<br>Kontrol | b<br>(m) | h<br>(m) | H<br>(m) | U | Type | Width  |
|-----------------|-----------------|-----------------|----------|----------|----------|---|------|--------|
| t32-t35         | P1              | t35             | 1.40     | 0.493    | 1.20     | U | 1400 | x 1400 |
| t35-t41         | P2              | t41             | 1.40     | 0.514    | 1.20     | U | 1400 | x 1400 |
| t41-t55         | P3              | t55             | 1.40     | 0.529    | 1.20     | U | 1400 | x 1400 |
| t55-t43         | P4              | t43             | 1.40     | 0.830    | 1.20     | U | 1400 | x 1400 |
| t56-t57         | P5              | t57             | 1.40     | 0.770    | 1.20     | U | 1400 | x 1400 |
| t57-t58         | P6              | t58             | 1.40     | 0.790    | 1.20     | U | 1400 | x 1400 |
| t58-t59         | P7              | t59             | 1.40     | 0.950    | 1.20     | U | 1400 | x 1400 |
| t59-t60         | P8              | t60             | 1.40     | 1.050    | 1.20     | U | 1400 | x 1400 |

(Sumber: Hasil Perhitungan)

#### 4.2.2 Bangunan Terjun

Perhitungan bangunan terjun untuk perencanaan sistem drainase kawasan Boezem Sumur Welut bertujuan untuk memperkecil nilai kecepatan aliran yang terjadi di dalam saluran drainase. Selain itu bangunan terjun ini juga diperlukan untuk mengatasi perbedaan yang terlalu besar antara kemiringan medan dan kemiringan rencana.

Contoh perhitungan bangunan terjun pada saluran tersier. Dari perhitungan dimensi saluran sekunder Ss2 diperoleh data sebagai berikut :

|                      |                             |
|----------------------|-----------------------------|
| L                    | = 47,34 m                   |
| I <sub>medan</sub>   | = 0,0300                    |
| I <sub>rencana</sub> | = 0,0010                    |
| Q                    | = 0,318 m <sup>3</sup> /det |
| h                    | = 0,58 m                    |
| b                    | = 1,00 m                    |

karena I<sub>medan</sub> > I<sub>rencana</sub> saluran, maka diperlukan bangunan terjun.

Perhitungan tinggi dan panjang terjunan

Perhitungan tinggi terjunan :

$$\begin{aligned}\Delta H &= L \times (I_{\text{medan}} - I_{\text{rencana}}) \\ &= 47,34 \text{ m} \times (0,0300 - 0,0010) \\ &= 1,37 \text{ m}\end{aligned}$$

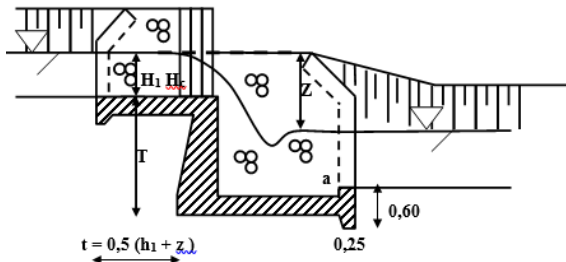
Direncanakan tinggi terjunan t = 0,7 m, maka jumlah bangunan terjun yang diperlukan sebanyak :

$$n = \frac{\Delta H}{t} = \frac{1,37}{0,70} = 1,96 \approx 2 \text{ buah}$$

$$l = \frac{L}{n+1} = \frac{47,34}{2+1} = 15,99 \text{ m}$$

Perhitungan kolam Olak

Adapun bentuk penampang bangunan terjun adalah segi empat sehingga yang digunakan adalah sebagai berikut :



$$L_1 = 3z$$

$$L_2 = C_1 \sqrt{z \times h_c} + 0,25$$

$$C_1 = 2,5 + 1,1 \left( \frac{h_c}{z} \right) + 0,7 \left( \frac{h_c}{z} \right)^3$$

$$h_c = \sqrt[3]{\frac{q^2}{g}}$$

$$q = \frac{Q}{0,8b}$$

$$t_1 = 0,5 (h_{\text{sal}} + z)$$

dimana :

$L_2$  = panjang kolam Olak (m)

$h_c$  = kedalaman kritis (m)

$Q$  = debit saluran ( $\text{m}^3/\text{det}$ )

$q$  = debit persatuan lebar ( $\text{m}^2/\text{det}$ )

$g$  = percepatan gravitasi =  $9,8 \text{ m/det}^2$

$b$  = lebar dasar saluran (m)

$h_{\text{sal}}$  = tinggi air di saluran (m)

$t$  = tinggi terjunan (m)

$z$  = kehilangan energi (m)

Sehingga :

$$\begin{aligned} L_1 &= 3 (0,70 - 0,10) \\ &= 1,80 \text{ m} \end{aligned}$$

$$q = \frac{0,318}{0,8 \times 1,00}$$

$$\begin{aligned}
 &= 0,40 \text{ m}^2/\text{det} \\
 h_c &= \sqrt[3]{\frac{0,40^2}{9,81}} \\
 &= 0,25 \text{ m} \\
 C_1 &= 2,5 + 1,1 \left( \frac{0,25}{0,6} \right) + 0,7 \left( \frac{0,25}{0,6} \right)^3 \\
 &= 3,01
 \end{aligned}$$

$$\begin{aligned}
 L_2 &= 3,01 \sqrt{0,6 \times 0,25} + 0,25 \\
 &= 1,42 \text{ m}
 \end{aligned}$$

$$\begin{aligned}
 t_1 &= 0,5 (0,58 + 0,1) \\
 &= 0,59
 \end{aligned}$$

Untuk perhitungan bangunan terjun salurannya dapat dilihat pada tabel 4.45, tabel 4.46, tabel 4.47, tabel 4.48, dan tabel 4.49.

Tabel 4. 45 Perhitungan Bangunan Terjun pada saluran Pemukiman warga menuju Boezem

*“Halaman ini sengaja dikosongkan”*

Tabel 4. 45 Perhitungan Bangunan Terjun pada saluran Pemukiman warga menuju Boezem

| Ruas<br>Saluran | Kode<br>saluran | L<br>saluran | titik<br>Kontrol | b<br>m | h<br>m | I<br>medan | Qhidro<br>Rencana | $\Delta H$<br>m3/det | t<br>m | n<br>m | a<br>m | l<br>m2/det | hc<br>m | z<br>m | L1<br>m | t1<br>m | C1<br>m | L2<br>m |
|-----------------|-----------------|--------------|------------------|--------|--------|------------|-------------------|----------------------|--------|--------|--------|-------------|---------|--------|---------|---------|---------|---------|
| 26-27           | S2.D            | 37.00        | 27               | 0.50   | 0.34   | 0.0011     | 0.0005            | 0.062                | 0.021  | 0.00   | 0      | 0.00        | 0.00    | 0.00   | 0.00    | 0.00    | 0.00    |         |
| 25-27           | T18             | 173.79       |                  | 0.80   | 0.53   | 0.0071     | 0.0005            | 0.206                | 1.143  | 0.60   | 2      | 0.1         | 59.82   | 0.32   | 0.22    | 0.50    | 1.50    | 0.51    |
| 27-29           | S2.E            | 10.00        | 29               | 0.50   | 0.31   | 0.0190     | 0.0005            | 0.055                | 0.185  | 0.19   | 1      | 0.1         | 5.00    | 0.14   | 0.12    | 0.09    | 0.26    | 0.20    |
| 28-29           | T19             | 138.06       |                  | 0.80   | 0.64   | 0.0084     | 0.0005            | 0.262                | 1.091  | 0.50   | 2      | 0.1         | 43.39   | 0.41   | 0.26    | 0.40    | 1.20    | 0.52    |
| 29-30           | S2.F            | 37.00        | 30               | 0.50   | 0.41   | 0.0084     | 0.0005            | 0.077                | 0.291  | 0.29   | 1      | 0.1         | 18.50   | 0.19   | 0.16    | 0.19    | 0.57    | 0.30    |
| 28-30           | T20             | 173.79       |                  | 1.00   | 0.56   | 0.0085     | 0.0005            | 0.303                | 1.383  | 0.70   | 2      | 0.1         | 58.40   | 0.38   | 0.24    | 0.60    | 1.80    | 0.58    |
| 30-32           | S2.G            | 17.06        | 32               | 0.50   | 0.32   | 0.0123     | 0.0005            | 0.057                | 0.201  | 0.20   | 1      | 0.1         | 8.53    | 0.14   | 0.13    | 0.10    | 0.30    | 0.21    |
| 31-32           | T21             | 136.78       |                  | 0.50   | 0.37   | 0.0112     | 0.0005            | 0.068                | 1.462  | 0.70   | 2      | 0.1         | 44.29   | 0.17   | 0.14    | 0.60    | 1.80    | 0.49    |
| 21-32           | T22             | 161.71       |                  | 1.00   | 0.64   | 0.0126     | 0.0005            | 0.364                | 1.949  | 0.70   | 3      | 0.1         | 42.73   | 0.45   | 0.28    | 0.60    | 1.80    | 0.62    |
| 32-33           | S2.H            | 37.06        |                  | 0.50   | 0.32   | 0.0086     | 0.0005            | 0.057                | 0.301  | 0.30   | 1      | 0.1         | 18.53   | 0.14   | 0.13    | 0.20    | 0.60    | 0.26    |
| 31-33           | T23             | 170.89       |                  | 1.00   | 0.76   | 0.0108     | 0.0005            | 0.452                | 1.765  | 0.60   | 3      | 0.1         | 43.36   | 0.56   | 0.32    | 0.50    | 1.50    | 0.63    |
| 33-35           | S2.I            | 10.00        | 35               | 0.50   | 0.34   | 0.0020     | 0.0005            | 0.061                | 0.015  | 0.01   | 0      | 0.1         | 0.00    | 0.15   | 0.00    | 0.00    | 0.00    | 0.00    |
| 34-35           | T24             | 134.14       |                  | 1.20   | 0.68   | 0.0139     | 0.0005            | 0.496                | 1.803  | 0.60   | 3      | 0.1         | 33.49   | 0.52   | 0.30    | 0.50    | 1.50    | 0.59    |
| 35-36           | S2.J            | 36.89        | 36               | 0.50   | 0.32   | 0.0011     | 0.0005            | 0.056                | 0.022  | 0.00   | 0      | 0           | 0.00    | 0.00   | 0.00    | 0.00    | 0.00    | 0.00    |
| 34-36           | T25             | 170.26       |                  | 1.20   | 0.71   | 0.0112     | 0.0005            | 0.530                | 1.825  | 0.60   | 3      | 0.1         | 42.13   | 0.55   | 0.31    | 0.50    | 1.50    | 0.61    |
| 36-38           | S2.K            | 12.86        | 38               | 0.40   | 0.20   | 0.0005     | 0.0005            | 0.023                | 0.000  | 0.00   | 0      | 0           | 0.00    | 0.00   | 0.00    | 0.00    | 0.00    | 0.00    |
| 37-38           | T26             | 126.18       |                  | 1.20   | 0.75   | 0.0102     | 0.0005            | 0.566                | 1.227  | 0.70   | 2      | 0.1         | 45.84   | 0.59   | 0.33    | 0.60    | 1.80    | 0.67    |
| 38-39           | S2.L            | 32.50        | 39               | 0.40   | 0.22   | 0.0006     | 0.0005            | 0.026                | 0.004  | 0.00   | 0      | 0           | 0.00    | 0.00   | 0.00    | 0.00    | 0.00    | 0.00    |
| 37-39           | T27             | 133.79       |                  | 1.20   | 0.76   | 0.0098     | 0.0005            | 0.574                | 1.243  | 0.70   | 2      | 0.1         | 48.20   | 0.60   | 0.33    | 0.60    | 1.80    | 0.68    |
| 39-40           | S2.M            | 10.91        | 40               | 0.50   | 0.38   | 0.0005     | 0.0005            | 0.071                | 0.000  | 0.00   | 0      | 0           | 0.00    | 0.00   | 0.00    | 0.00    | 0.00    | 0.00    |
| 19-40           | T28             | 174.83       |                  | 0.50   | 0.20   | 0.0111     | 0.0005            | 0.030                | 1.853  | 0.70   | 3      | 0.1         | 47.94   | 0.08   | 0.08    | 0.60    | 1.80    | 0.40    |
| 41-40           | T29             | 140.25       |                  | 1.20   | 0.77   | 0.0030     | 0.0005            | 0.587                | 0.350  | 0.35   | 1      | 0.1         | 70.12   | 0.61   | 0.34    | 0.25    | 0.75    | 0.51    |
| 40-P2           | S2.N            | 19.10        |                  | 1.20   | 0.83   | 0.0005     | 0.0005            | 0.650                | 0.000  | 0.00   | 0      | 0           | 0.00    | 0.00   | 0.00    | 0.00    | 0.00    | 0.00    |
| 26-27           | S2.D            | 37.00        | 27               | 0.50   | 0.34   | 0.0011     | 0.0005            | 0.062                | 0.021  | 0.00   | 0      | 0           | 0.00    | 0.00   | 0.00    | 0.00    | 0.00    | 0.00    |

(Sumber: Hasil Perhitungan)

*“Halaman ini sengaja dikosongkan”*

Tabel 4. 46 Perhitungan Bangunan Terjun pada saluran Pemukiman warga menuju Boezem

| Ruas<br>Saluran | Kode<br>saluran | L<br>saluran | titik<br>Kontrol | b<br>m | h<br>m | I<br>medan | Qhidro<br>Rencana | $\Delta H$<br>m3/det | t<br>m | n<br>m | a<br>m | 1<br>m | q<br>m2/det | hc<br>m | z<br>m | L1<br>m | t1<br>m | C1<br>m | L2<br>m |      |
|-----------------|-----------------|--------------|------------------|--------|--------|------------|-------------------|----------------------|--------|--------|--------|--------|-------------|---------|--------|---------|---------|---------|---------|------|
| t1-t2           | St1             | 93.69        | t2               | 0.4    | 0.22   | 0.0106     | 0.0005            | 0.026                | 0.943  | 0.50   | 2      | 0.1    | 32.46       | 0.08    | 0.09   | 0.40    | 1.20    | 0.31    | 2.75    | 0.76 |
| t2-t3           | St2             | 118.38       |                  | 0.4    | 0.29   | 0.0193     | 0.0005            | 0.037                | 2.231  | 0.80   | 3      | 0.1    | 31.25       | 0.11    | 0.11   | 0.70    | 2.10    | 0.50    | 2.68    | 0.99 |
| t5-t3           | St3a            | 70.49        | t3               | 0.5    | 0.35   | 0.0075     | 0.0005            | 0.064                | 0.495  | 0.50   | 1      | 0.1    | 35.43       | 0.16    | 0.14   | 0.40    | 1.20    | 0.38    | 2.91    | 0.93 |
| t3-t6           | St4             | 5.00         |                  | 0.5    | 0.40   | 0.0200     | 0.0010            | 0.105                | 0.000  | 0.00   | 0      | 0      | 0.00        | 0.00    | 0.00   | 0.00    | 0.00    | 0.00    | 0.00    |      |
| t7-t6           | St8a            | 85.26        | t6               | 0.3    | 0.15   | 0.0048     | 0.0005            | 0.011                | 0.367  | 0.37   | 1      | 0.1    | 42.63       | 0.04    | 0.06   | 0.27    | 0.80    | 0.21    | 2.75    | 0.59 |
| t6-t8           | St5             | 94.19        | t8               | 0.6    | 0.46   | 0.0166     | 0.0005            | 0.116                | 1.513  | 0.80   | 2      | 0.1    | 32.58       | 0.24    | 0.18   | 0.70    | 2.10    | 0.58    | 2.80    | 1.25 |
| t8-t11          | St6a            | 80.86        | t12              | 0.7    | 0.40   | 0.0030     | 0.0005            | 0.119                | 0.200  | 0.20   | 1      | 0.1    | 40.43       | 0.21    | 0.17   | 0.10    | 0.30    | 0.25    | 7.59    | 1.23 |
| t9-t11a         | k10             | 90.98        | t11a             | 0.4    | 0.28   | 0.0143     | 0.0005            | 0.035                | 1.255  | 0.60   | 2      | 0.1    | 29.44       | 0.11    | 0.11   | 0.50    | 1.50    | 0.39    | 2.74    | 0.89 |
| t10-t11a        | k11             | 78.92        |                  | 0.4    | 0.23   | 0.0191     | 0.0005            | 0.027                | 1.471  | 0.70   | 2      | 0.1    | 25.45       | 0.09    | 0.09   | 0.60    | 1.80    | 0.42    | 2.67    | 0.87 |
| t11a-t11        | k11a            | 24.80        | t11              | 0.4    | 0.39   | 0.0254     | 0.0005            | 0.053                | 0.618  | 0.62   | 1      | 0.1    | 12.40       | 0.17    | 0.14   | 0.52    | 1.55    | 0.45    | 2.81    | 1.01 |
| t11-t13         | St6b            | 47.67        | t13              | 0.7    | 0.51   | 0.0050     | 0.0005            | 0.165                | 0.216  | 0.70   | 0      | 0.1    | 36.43       | 0.29    | 0.21   | 0.60    | 1.80    | 0.56    | 2.91    | 1.27 |
| t7-t12          | St8             | 51.46        | t12              | 0.3    | 0.15   | 0.0089     | 0.0005            | 0.011                | 0.434  | 0.43   | 1      | 0.1    | 25.73       | 0.04    | 0.06   | 0.33    | 1.00    | 0.24    | 2.69    | 0.63 |
| t12-t13         | St9             | 72.27        | t13              | 0.3    | 0.21   | 0.0275     | 0.0005            | 0.016                | 1.954  | 0.70   | 3      | 0.1    | 19.06       | 0.07    | 0.08   | 0.60    | 1.80    | 0.41    | 2.64    | 0.82 |
| t13-t22         | St7             | 10.31        | t22              | 0.6    | 0.48   | 0.0330     | 0.0010            | 0.175                | 0.330  | 0.33   | 1      | 0.1    | 5.15        | 0.36    | 0.24   | 0.23    | 0.69    | 0.36    | 4.43    | 1.29 |
| t2-t14          | St10            | 146.73       | t14              | 0.6    | 0.20   | 0.0043     | 0.0005            | 0.038                | 0.557  | 0.56   | 1      | 0.1    | 73.36       | 0.08    | 0.09   | 0.46    | 1.37    | 0.33    | 2.71    | 0.79 |
| t14-t15         | St11            | 90.25        | t15              | 0.6    | 0.24   | 0.0173     | 0.0005            | 0.051                | 1.515  | 0.70   | 2      | 0.1    | 28.52       | 0.11    | 0.10   | 0.60    | 1.80    | 0.42    | 2.69    | 0.92 |
| t4-t5           | k9              | 54.79        | t5               | 0.4    | 0.22   | 0.0287     | 0.0005            | 0.026                | 1.543  | 0.70   | 2      | 0.1    | 17.10       | 0.08    | 0.09   | 0.60    | 1.80    | 0.41    | 2.66    | 0.86 |
| t5-t15          | St3b            | 77.79        | t15              | 0.5    | 0.24   | 0.0055     | 0.0005            | 0.039                | 0.391  | 0.39   | 1      | 0.1    | 38.90       | 0.10    | 0.10   | 0.29    | 0.87    | 0.27    | 2.90    | 0.74 |
| t16-t17         | St12            | 90.87        |                  | 0.4    | 0.25   | 0.0152     | 0.0005            | 0.030                | 1.335  | 0.70   | 2      | 0.1    | 31.26       | 0.10    | 0.10   | 0.60    | 1.80    | 0.43    | 2.68    | 0.90 |
| t18-t17         | St13            | 62.58        | t17              | 0.3    | 0.16   | 0.0013     | 0.0013            | 0.018                | 0.000  | 0.00   | 0      | 0.1    | 0.00        | 0.00    | 0.00   | 0.00    | 0.00    | 0.00    | 0.00    |      |
| t19-t20a        | St14            | 65.74        | t20a             | 0.4    | 0.33   | 0.0068     | 0.0005            | 0.043                | 0.417  | 0.42   | 1      | 0.1    | 32.87       | 0.14    | 0.12   | 0.32    | 0.95    | 0.32    | 0.00    | 0.00 |
| t15-t20         | Ss1             | 92.48        | t20              | 0.8    | 0.38   | 0.0279     | 0.0005            | 0.134                | 2.534  | 0.80   | 3      | 0.1    | 22.19       | 0.21    | 0.17   | 0.70    | 2.10    | 0.54    | 2.77    | 1.19 |
| t50-t21         | St15a           | 50.36        |                  | 0.5    | 0.15   | 0.0129     | 0.0005            | 0.020                | 0.625  | 0.63   | 1      | 0.1    | 25.18       | 0.05    | 0.06   | 0.52    | 1.57    | 0.34    | 2.64    | 0.73 |
| t21a-t21        | k15             | 71.44        |                  | 0.4    | 0.23   | 0.0323     | 0.0005            | 0.027                | 2.274  | 0.80   | 3      | 0.1    | 18.59       | 0.09    | 0.09   | 0.70    | 2.10    | 0.47    | 2.64    | 0.92 |
| t21-20b         | St15b           | 60.71        | t20b             | 0.5    | 0.38   | 0.0003     | 0.0003            | 0.057                | 0.000  | 0.00   | 0      | 0.1    | 60.71       | 0.14    | 0.13   | 0.00    | 0.00    | 0.00    | 0.00    | 0.00 |
| t20b-t20c       | Ss2             | 47.34        | t20c             | 1      | 0.58   | 0.0300     | 0.0005            | 0.318                | 1.396  | 0.70   | 2      | 0.1    | 15.81       | 0.40    | 0.25   | 0.60    | 1.80    | 0.59    | 3.01    | 1.42 |

(Sumber: Hasil Perhitungan)

*“Halaman ini sengaja dikosongkan”*

Tabel 4. 47 Perhitungan Bangunan Terjun pada saluran Pemukiman warga menuju Saluran Primer

| Ruas<br>Saluran | Kode<br>saluran | L<br>saluran | titik<br>Kontrol | b<br>m | h<br>m | I<br>medan | Qhidrolik<br>Rencana | $\Delta H$<br>m3/det | t<br>m | n<br>m | a<br>m | l<br>m | q<br>m2/det | hc<br>m | z<br>m | L1<br>m | t1<br>m | C1<br>m | L2<br>m |      |      |
|-----------------|-----------------|--------------|------------------|--------|--------|------------|----------------------|----------------------|--------|--------|--------|--------|-------------|---------|--------|---------|---------|---------|---------|------|------|
| t22-t23         | K1.a            | 46.44        | t23              | 0.30   | 0.20   | 0.0385     | 0.0005               | 0.015                | 1.767  | 0.60   | 3      | 0.10   | 11.77       | 0.06    | 0.07   | 0.50    | 1.50    | 0.35    | 2.67    | 0.77 |      |
| t23-t26         | St.14a          | 43.35        | t26              | 0.40   | 0.14   | 0.0048     | 0.0005               | 0.014                | 0.188  | 0.00   | 0      | 0.00   | 0.00        | 0.00    | 0.00   | 0.00    | 0.00    | 0.00    | 0.07    | 0.00 | 0.00 |
| t25-t26         | K2.a            | 55.75        | t29              | 0.30   | 0.18   | 0.0255     | 0.0005               | 0.013                | 1.392  | 0.70   | 2      | 0.10   | 18.65       | 0.06    | 0.07   | 0.60    | 1.80    | 0.39    | 2.63    | 0.78 |      |
| t28-t29         | K3.a            | 55.75        | t29              | 0.30   | 0.20   | 0.0255     | 0.0005               | 0.015                | 1.392  | 0.70   | 2      | 0.10   | 18.65       | 0.06    | 0.07   | 0.60    | 1.80    | 0.40    | 2.64    | 0.81 |      |
| t29-t32         | St.14b          | 67.65        | t32              | 0.40   | 0.33   | 0.0275     | 0.0005               | 0.043                | 1.826  | 0.60   | 3      | 0.10   | 16.73       | 0.13    | 0.12   | 0.50    | 1.50    | 0.41    | 2.78    | 0.94 |      |
| t31-t32         | K4.a            | 35.61        | t32              | 0.30   | 0.20   | 0.0632     | 0.0005               | 0.015                | 2.232  | 0.70   | 3      | 0.10   | 8.50        | 0.06    | 0.07   | 0.60    | 1.80    | 0.40    | 2.64    | 0.81 |      |
| t34-t35         | K5.a            | 46.06        | t35              | 0.30   | 0.20   | 0.0304     | 0.0005               | 0.015                | 1.377  | 0.70   | 2      | 0.10   | 15.52       | 0.06    | 0.07   | 0.60    | 1.80    | 0.40    | 2.64    | 0.81 |      |
| t37-t38         | K6.a            | 46.06        | t38              | 0.30   | 0.18   | 0.0287     | 0.0005               | 0.013                | 1.297  | 0.70   | 2      | 0.10   | 16.15       | 0.06    | 0.07   | 0.60    | 1.80    | 0.39    | 2.63    | 0.78 |      |
| t40-t41         | K7              | 68.15        | t41              | 0.30   | 0.14   | 0.0045     | 0.0045               | 0.029                | 0.000  | 0.00   | 0      | 0.10   | 0.00        | 0.00    | 0.00   | 0.00    | 0.00    | 0.00    | 0.00    | 0.00 |      |
| t42-t43         | K8              | 68.15        | t43              | 0.30   | 0.11   | 0.0043     | 0.0043               | 0.020                | 0.000  | 0.00   | 0      | 0.10   | 0.00        | 0.00    | 0.00   | 0.00    | 0.00    | 0.00    | 0.00    | 0.00 |      |
| t24a-t24        | St.15a          | 65.69        | t24              | 0.40   | 0.17   | 0.0005     | 0.0005               | 0.018                | 0.000  | 0.00   | 0      | 0.10   | 0.00        | 0.00    | 0.00   | 0.00    | 0.00    | 0.00    | 0.00    | 0.00 |      |
| t22-t24         | K1.b            | 41.46        | t24              | 0.30   | 0.13   | 0.0012     | 0.0012               | 0.013                | 0.000  | 0.00   | 0      | 0.10   | 0.00        | 0.00    | 0.00   | 0.00    | 0.00    | 0.00    | 0.00    | 0.00 |      |
| t24-t27         | St.15b          | 42.92        | t27              | 0.40   | 0.24   | 0.0144     | 0.0005               | 0.029                | 0.599  | 0.60   | 1      | 0.10   | 21.49       | 0.09    | 0.09   | 0.50    | 1.50    | 0.37    | 2.71    | 0.84 |      |
| t25-t27         | K2.b            | 33.65        | t30              | 0.30   | 0.10   | 0.0027     | 0.0027               | 0.014                | 0.000  | 0.00   | 0      | 0.10   | 0.00        | 0.00    | 0.00   | 0.00    | 0.00    | 0.00    | 0.05    | 0.00 | 0.00 |
| t28-t30         | K3.b            | 33.65        | t30              | 0.30   | 0.08   | 0.0027     | 0.0027               | 0.010                | 0.000  | 0.00   | 0      | 0.10   | 0.00        | 0.00    | 0.00   | 0.00    | 0.00    | 0.00    | 0.04    | 0.00 | 0.00 |
| t27-t33         | St.15.c         | 62.26        | t33              | 0.40   | 0.24   | 0.0014     | 0.0014               | 0.049                | 0.000  | 0.00   | 0      | 0.10   | 0.00        | 0.00    | 0.00   | 0.00    | 0.00    | 0.00    | 0.12    | 0.00 | 0.00 |
| t31-t33         | K4.b            | 45.95        | t33              | 0.30   | 0.26   | 0.0283     | 0.0005               | 0.021                | 1.277  | 0.60   | 2      | 0.10   | 14.69       | 0.09    | 0.09   | 0.50    | 1.50    | 0.38    | 2.71    | 0.83 |      |
| t33-36          | St.15d          | 92.42        | t36              | 0.50   | 0.40   | 0.0217     | 0.0005               | 0.076                | 1.964  | 0.60   | 3      | 0.10   | 21.63       | 0.19    | 0.15   | 0.50    | 1.50    | 0.45    | 2.86    | 1.04 |      |
| t34-t36         | K5.b            | 31.24        | t36              | 0.30   | 0.20   | 0.0294     | 0.0005               | 0.015                | 0.904  | 0.50   | 2      | 0.10   | 11.12       | 0.06    | 0.07   | 0.40    | 1.20    | 0.30    | 2.71    | 0.72 |      |
| t37-t39         | K6.b            | 31.24        | t39              | 0.30   | 0.17   | 0.0275     | 0.0005               | 0.012                | 0.844  | 0.50   | 2      | 0.10   | 11.62       | 0.05    | 0.06   | 0.40    | 1.20    | 0.29    | 2.68    | 0.68 |      |
| t39-t43         | St.15e          | 120.96       | t43              | 0.50   | 0.43   | 0.0188     | 0.0005               | 0.082                | 2.220  | 0.70   | 3      | 0.10   | 29.00       | 0.20    | 0.16   | 0.60    | 1.80    | 0.51    | 2.81    | 1.13 |      |
| t8-t44          | St.16a          | 156.20       | t44              | 0.40   | 0.30   | 0.0195     | 0.0005               | 0.038                | 2.962  | 0.60   | 5      | 0.10   | 26.31       | 0.12    | 0.11   | 0.50    | 1.50    | 0.40    | 2.76    | 0.91 |      |
| t43-t44         | K12             | 60.71        | t44              | 0.30   | 0.31   | 0.0140     | 0.0005               | 0.027                | 0.820  | 0.50   | 2      | 0.10   | 23.00       | 0.11    | 0.11   | 0.40    | 1.20    | 0.36    | 2.81    | 0.83 |      |
| t44-t47         | St.16b          | 51.00        | t47              | 0.40   | 0.41   | 0.0194     | 0.0005               | 0.057                | 0.965  | 0.50   | 2      | 0.10   | 17.41       | 0.18    | 0.15   | 0.40    | 1.20    | 0.41    | 2.94    | 0.96 |      |
| t46-t47         | K13             | 69.67        | t47              | 0.30   | 0.33   | 0.0159     | 0.0005               | 0.029                | 1.075  | 0.50   | 2      | 0.10   | 22.11       | 0.12    | 0.11   | 0.40    | 1.20    | 0.37    | 2.83    | 0.85 |      |
| t47-t56         | St.16c          | 15.00        | t56              | 0.40   | 0.53   | 0.0487     | 0.0005               | 0.077                | 0.723  | 0.50   | 1      | 0.10   | 6.13        | 0.24    | 0.18   | 0.40    | 1.20    | 0.47    | 3.06    | 1.07 |      |
| t10-t45         | St.17a          | 84.29        | t45              | 0.40   | 0.20   | 0.0112     | 0.0005               | 0.023                | 0.898  | 0.50   | 2      | 0.10   | 30.15       | 0.07    | 0.08   | 0.40    | 1.20    | 0.30    | 2.73    | 0.74 |      |
| t43-t45         | K14             | 51.08        | t45              | 0.30   | 0.14   | 0.0010     | 0.0010               | 0.013                | 0.000  | 0.00   | 0      | 0.00   | 0.00        | 0.00    | 0.00   | 0.00    | 0.00    | 0.00    | 0.00    | 0.00 |      |
| t45-t57         | St.17b          | 97.93        | t57              | 0.40   | 0.34   | 0.0221     | 0.0005               | 0.044                | 2.111  | 0.70   | 3      | 0.10   | 24.39       | 0.14    | 0.13   | 0.60    | 1.80    | 0.47    | 2.74    | 1.00 |      |
| t48-t58         | St.18           | 165.81       | t58              | 0.30   | 0.25   | 0.0185     | 0.0005               | 0.020                | 2.987  | 0.60   | 5      | 0.10   | 27.73       | 0.08    | 0.09   | 0.50    | 1.50    | 0.38    | 2.70    | 0.82 |      |

*“Halaman ini sengaja dikosongkan”*

Tabel 4. 47 Perhitungan Bangunan Terjun pada saluran Pemukiman warga menuju Saluran Primer

| Ruas<br>Saluran | Kode<br>saluran | L<br>saluran | titik<br>Kontrol | b<br>m | h<br>m | I<br>medan | Qhidrolika<br>Rencana | $\Delta H$<br>m3/det | t<br>m | n<br>m | a<br>m | l<br>m | q<br>m2/det | hc<br>m | z<br>m | L1<br>m | t1<br>m | C1<br>m | L2<br>m |      |
|-----------------|-----------------|--------------|------------------|--------|--------|------------|-----------------------|----------------------|--------|--------|--------|--------|-------------|---------|--------|---------|---------|---------|---------|------|
| t49-t50         | K16             | 82.38        | t50              | 0.30   | 0.24   | 0.0095     | 0.0005                | 0.019                | 0.739  | 0.70   | 1      | 0.10   | 40.08       | 0.08    | 0.09   | 0.60    | 1.80    | 0.42    | 2.66    | 0.86 |
| t51-t52         | K17             | 82.38        | t52              | 0.30   | 0.29   | 0.0101     | 0.0005                | 0.024                | 0.789  | 0.70   | 1      | 0.10   | 38.73       | 0.10    | 0.10   | 0.60    | 1.80    | 0.45    | 2.69    | 0.92 |
| t50-t54         | St.19a          | 33.92        | t54              | 0.50   | 0.26   | 0.0206     | 0.0005                | 0.044                | 0.683  | 0.70   | 1      | 0.10   | 17.17       | 0.11    | 0.11   | 0.60    | 1.8     | 0.43    | 2.70    | 0.94 |
| t53-t54         | K18             | 75.64        |                  | 0.30   | 0.31   | 0.0052     | 0.0005                | 0.027                | 0.352  | 0.35   | 1      | 0.10   | 37.82       | 0.11    | 0.11   | 0.25    | 0.76    | 0.28    | 3.02    | 0.75 |
| t54-t59         | St.19b          | 33.78        | t59              | 0.50   | 0.36   | 0.0394     | 0.0005                | 0.066                | 1.313  | 0.60   | 2      | 0.10   | 10.59       | 0.17    | 0.14   | 0.50    | 1.5     | 0.43    | 2.83    | 1.00 |

(Sumber: Hasil Perhitungan)

Tabel 4. 48 Perhitungan Bangunan Terjun pada saluran Primer menuju boezem

| Ruas<br>Saluran | Kode<br>saluran | L<br>saluran | titik<br>Kontrol | b<br>m | h<br>m | I<br>medan | Qhidrolika<br>Rencana | $\Delta H$<br>m3/det | t<br>m | n<br>m | a<br>m | l<br>m | q<br>m2/det | hc<br>m | z<br>m | L1<br>m | t1<br>m | C1<br>m | L2<br>m |      |
|-----------------|-----------------|--------------|------------------|--------|--------|------------|-----------------------|----------------------|--------|--------|--------|--------|-------------|---------|--------|---------|---------|---------|---------|------|
| t32-t35         | P1              | 86.41        | t35              | 1.40   | 0.49   | 0.0009     | 0.0009                | 0.533                | 0.000  | 0.00   | 0      | 0.00   | 0.00        | 0.00    | 0.00   | 0.00    | 0.00    | 0.00    | 0.00    |      |
| t35-t41         | P2              | 59.53        | t41              | 1.40   | 0.51   | 0.0161     | 0.0008                | 0.532                | 0.912  | 0.91   | 1      | 0.10   | 29.77       | 0.48    | 0.28   | 0.81    | 2.44    | 0.66    | 2.92    | 1.65 |
| t41-t55         | P3              | 32.67        | t55              | 1.40   | 0.53   | 0.0165     | 0.0008                | 0.554                | 0.514  | 0.51   | 1      | 0.10   | 16.33       | 0.49    | 0.29   | 0.41    | 1.24    | 0.47    | 3.52    | 1.48 |
| t55-t43         | P4              | 90.82        | t43              | 1.40   | 0.53   | 0.0030     | 0.0030                | 1.070                | 0.000  | 0.00   | 0      | 0.00   | 0.00        | 0.00    | 0.00   | 0.00    | 0.00    | 0.00    | 0.00    |      |
| t56-t57         | P5              | 124.06       | t57              | 1.40   | 0.78   | 0.0015     | 0.0010                | 1.038                | 0.000  | 0.00   | 0      | 0.00   | 0.00        | 0.00    | 0.00   | 0.00    | 0.00    | 0.00    | 0.00    |      |
| t57-t58         | P6              | 6.00         | t58              | 1.40   | 0.66   | 0.0017     | 0.0017                | 1.074                | 0.000  | 0.00   | 0      | 0.00   | 0.00        | 0.00    | 0.00   | 0.00    | 0.00    | 0.00    | 0.00    |      |
| t58-t59         | P7              | 80.58        | t59              | 1.40   | 0.67   | 0.0016     | 0.0016                | 1.080                | 0.000  | 0.00   | 0      | 0.00   | 0.00        | 0.00    | 0.00   | 0.00    | 0.00    | 0.00    | 0.00    |      |
| t59-t60         | P8              | 38.42        | t60              | 1.40   | 0.82   | 0.0125     | 0.0010                | 1.107                | 0.442  | 0.44   | 1      | 0.10   | 19.21       | 0.99    | 0.46   | 0.34    | 1.02    | 0.58    | 5.74    | 2.54 |

(Sumber: Hasil Perhitungan)

*“Halaman ini sengaja dikosongkan”*

#### 4.2.3 Perhitungan Elevasi Saluran

Contoh perhitungan pada saluran Sekunder Ss2 ruas t20b – t20c.

Diketahui :

|                      |              |
|----------------------|--------------|
| El. Muka tanah hilir | : + 11.00    |
| Kemiringan medan     | : 0,03       |
| Kemeringan saluran   | : 0,0005     |
| H saluran            | : 1,00 m     |
| H air                | : 0,58 m     |
| L saluran            | : 47,34 m    |
| Tinggi terjun (ht)   | : 0,70 m     |
| Jumlah terjun (n)    | : 2 terjunan |

$$\begin{aligned} \text{El. Dasar saluran hilir} &= \text{El. Hilir muka tanah} - \text{H saluran} \\ &= +11,00 - (1,00) \\ &= +10,00 \end{aligned}$$

$$\begin{aligned} \text{El. Muka air hilir} &= \text{El. Dasar saluran} + \text{H air} \\ &= +10,00 + (0,58) \\ &= +10,58 \end{aligned}$$

$$\begin{aligned} \text{El. Muka tanah hulu} &= \text{El. Muka tanah hilir} + (\text{L sal x I medan}) \\ &= +11,00 + (47,34 \times 0,03) \\ &= +12,42 \end{aligned}$$

$$\begin{aligned} \text{El. Dasar saluran hulu} &\\ \text{L saluran t20b ke BT1} &= 16 \text{ m} \\ \text{El. Dasar saluran hulu} &= \text{El. Dasar sal hilir} + (\text{Lsal BT1 x I renc}) \\ &= +10,00 + (16 \times 0,0005) \\ &= +10,0075 \end{aligned}$$

$$\begin{aligned} \text{El. Muka air hulu} &= \text{El. Dasar saluran hulu} + \text{H air} \\ &= +10,0075 + 0,58 \\ &= +10,5875 \end{aligned}$$

$$\begin{aligned} \text{L saluran BT1 ke BT2} &= 16 \text{ m} \\ \text{El. Dasar saluran hilir} &= \text{El. Dasar saluran hulu} + \text{Tinggi terjun} \\ &= +10,0075 + 0,70 \\ &= +10,7075 \end{aligned}$$

|                         |  |
|-------------------------|--|
| El. Muka air hilir      | = El. Dasar saluran hilir + H air<br>= +10,7075 + 0,58<br>= +11,2875                       |
| El. Dasar saluran hulu  | = El. Dasar sal hilir + (Lsal BT1 x I renc)<br>= +10,7075 + (16 x 0,0005)<br>= +10,7160    |
| El. Muka air hulu       | = El. Dasar saluran hulu + H air<br>= +10,7160 + 0,58<br>= +11,2960                        |
| L saluran BT2 ke t20c   | = 15,34 m  |
| El. Dasar saluran hilir | = El. Dasar saluran hulu + Tinggi terjun<br>= +10,7160 + 0,72<br>= +11,4360                |
| El. Muka air hilir      | = El. Dasar saluran hilir + H air<br>= +11,4360 + 0,58<br>= +12,0160                       |
| El. Dasar saluran hulu  | = El. Dasar sal hilir + (Lsal BT1 x I renc)<br>= +11,4360 + (15,34 x 0,0005)<br>= +11,4437 |
| El. Muka air hulu       | = El. Dasar saluran hulu + H air<br>= +11,4437+ 0,58<br>= +12,0237                         |

Untuk perhitungan elevasi saluran lainnya dapat dilihat pada tabel 4.50, tabel 4.51, tabel 4.52, tabel 4.53, tabel 4.54, dan tabel 4.55.

Tabel 4. 49 Perhitungan Elevasi saluran Perumahan

| No | Nama Saluran | Kode Saluran | titik Kontrol | L saluurau | I medan | I rencana | AH   | Elevasi Muka tanah |        | H air | H sal | Elvasi Muka Dasar |        | Elevasi Muka Air |        |
|----|--------------|--------------|---------------|------------|---------|-----------|------|--------------------|--------|-------|-------|-------------------|--------|------------------|--------|
|    |              |              |               |            |         |           |      | Hilir              | Hulu   |       |       | Hilir             | Hulu   | Hilir            | Hulu   |
|    |              |              |               |            |         |           |      | m                  | m      |       |       | m                 | m      | m                | m      |
| 1  | 40-t55       | S2.N         | t55           | 19.10      | 0.0005  | 0.0005    | 0.00 | +11.86             | +11.87 | 0.83  | 1.20  | +10.66            | +10.67 | +11.49           | +11.50 |
| 2  | 41-40        | T29          | 40            | 140.25     | 0.0030  | 0.0005    | 0.35 | +11.87             | +12.29 | 0.20  | 0.50  | +11.37            | +11.79 | +11.57           | +11.99 |
| 3  | 19-40        | T28          |               | 174.83     | 0.0111  | 0.0005    | 1.85 | +11.87             | +13.81 | 0.38  | 0.50  | +11.37            | +13.31 | +11.75           | +13.69 |
| 4  | 39-40        | S2.M         |               | 10.91      | 0.0005  | 0.0005    | 0.00 | +11.87             | +11.88 | 0.77  | 1.20  | +10.67            | +10.68 | +11.44           | +11.44 |
| 5  | 37-39        | T27          |               | 133.79     | 0.0098  | 0.0005    | 1.24 | +11.87             | +13.18 | 0.22  | 0.40  | +11.47            | +12.78 | +11.69           | +13.00 |
| 6  | 38-39        | S2.L         | 39            | 32.50      | 0.0006  | 0.0005    | 0.00 | +11.87             | +11.89 | 0.76  | 1.20  | +10.67            | +10.69 | +11.43           | +11.45 |
| 7  | 37-38        | T26          |               | 126.18     | 0.0102  | 0.0005    | 1.23 | +11.89             | +13.18 | 0.20  | 0.40  | +11.49            | +12.78 | +11.69           | +12.98 |
| 8  | 36-38        | S2.K         | 38            | 12.86      | 0.0005  | 0.0005    | 0.00 | +11.89             | +11.90 | 0.75  | 1.20  | +10.69            | +10.70 | +11.44           | +11.44 |
| 9  | 34-36        | T25          |               | 170.26     | 0.0112  | 0.0005    | 1.82 | +11.89             | +13.80 | 0.32  | 0.50  | +11.39            | +13.30 | +11.71           | +13.62 |
| 10 | 35-36        | S2.J         | 36            | 36.89      | 0.0011  | 0.0005    | 0.02 | +11.89             | +11.93 | 0.71  | 1.20  | +10.69            | +10.73 | +11.40           | +11.44 |
| 11 | 34-35        | T24          |               | 134.14     | 0.0139  | 0.0005    | 1.80 | +11.93             | +13.80 | 0.34  | 0.50  | +11.43            | +13.30 | +11.77           | +13.64 |
| 12 | 33-35        | S2.I         | 35            | 10.00      | 0.0020  | 0.0005    | 0.01 | +11.93             | +11.95 | 0.68  | 1.20  | +10.73            | +10.75 | +11.41           | +11.43 |
| 13 | 31-33        | T23          |               | 170.89     | 0.0108  | 0.0005    | 1.76 | +11.95             | +13.80 | 0.32  | 0.50  | +11.45            | +13.30 | +11.77           | +13.62 |
| 14 | 32-33        | S2.H         | 33            | 37.06      | 0.0086  | 0.0005    | 0.30 | +11.95             | +12.27 | 0.76  | 1.00  | +10.95            | +11.27 | +11.71           | +12.03 |
| 15 | 21-32        | T22          |               | 161.71     | 0.0126  | 0.0005    | 1.95 | +12.27             | +14.30 | 0.37  | 0.50  | +11.77            | +13.80 | +12.14           | +14.17 |
| 16 | 31-32        | T21          | 32            | 136.78     | 0.0112  | 0.0005    | 1.46 | +12.27             | +13.80 | 0.32  | 0.50  | +11.77            | +13.30 | +12.09           | +13.62 |
| 17 | 30-32        | S2.G         |               | 17.06      | 0.0123  | 0.0005    | 0.20 | +12.27             | +12.48 | 0.64  | 1.00  | +11.27            | +11.48 | +11.91           | +12.12 |
| 18 | 28-30        | T20          |               | 173.79     | 0.0085  | 0.0005    | 1.38 | +12.48             | +13.95 | 0.41  | 0.50  | +11.98            | +13.45 | +12.39           | +13.86 |
| 19 | 29-30        | S2.F         | 30            | 37.00      | 0.0084  | 0.0005    | 0.29 | +12.48             | +12.79 | 0.56  | 1.00  | +11.48            | +11.79 | +12.04           | +12.35 |
| 20 | 28-29        | T19          |               | 138.06     | 0.0084  | 0.0005    | 1.09 | +12.79             | +13.95 | 0.31  | 0.50  | +12.29            | +13.45 | +12.60           | +13.76 |
| 21 | 27-29        | S2.E         |               | 10.00      | 0.0190  | 0.0005    | 0.19 | +12.79             | +12.98 | 0.64  | 0.80  | +11.99            | +12.18 | +12.63           | +12.82 |
| 22 | 25-27        | T18          | 27            | 173.79     | 0.0071  | 0.0005    | 1.14 | +12.98             | +14.21 | 0.34  | 0.50  | +12.48            | +13.71 | +12.82           | +14.05 |
| 23 | 26-27        | S2.D         |               | 37.00      | 0.0011  | 0.0005    | 0.02 | +12.98             | +13.02 | 0.53  | 0.80  | +12.18            | +12.22 | +12.71           | +12.75 |

*“Halaman ini sengaja dikosongkan”*

Tabel 4. 49 Perhitungan Elevasi saluran Perumahan(Lanjutan)

| No | Nama Saluran | Kode Saluran | titik Kontrol | L saluurran | I medan | I rencana | AH    | Elevasi Muka tanah |        | H air | H sal | Elvasi Muka Dasar |        | Elevasi Muka Air |        |
|----|--------------|--------------|---------------|-------------|---------|-----------|-------|--------------------|--------|-------|-------|-------------------|--------|------------------|--------|
|    |              |              |               |             |         |           |       | Hilir              | Hulu   |       |       | Hilir             | Hulu   | Hilir            | Hulu   |
| 24 | 25-26        | T17          | 26            | 138.06      | 0.0086  | 0.0005    | 1.12  | +13.02             | +14.21 | 0.32  | 0.50  | +12.52            | +13.71 | +12.84           | +14.03 |
| 25 | 24-26        | S2.C         |               | 10.00       | 0.0060  | 0.0005    | 0.06  | +13.02             | +13.08 | 0.43  | 0.80  | +12.22            | +12.28 | +12.65           | +12.71 |
| 26 | 22-24        | T16          | 24            | 173.61      | 0.0138  | 0.0005    | 2.31  | +13.08             | +15.48 | 0.35  | 0.50  | +12.58            | +14.98 | +12.93           | +15.33 |
| 27 | 23-24        | S2.B         |               | 37.00       | 0.0384  | 0.0005    | 1.40  | +13.08             | +14.50 | 0.31  | 0.80  | +12.28            | +13.70 | +12.59           | +14.01 |
| 28 | 22-23        | T15          | 23            | 140.15      | 0.0070  | 0.0005    | 0.91  | +14.50             | +15.48 | 0.31  | 0.50  | +14.00            | +14.98 | +14.31           | +15.29 |
| 29 | 21-23        | S2.A         |               | 10.59       | 0.0283  | 0.0005    | 0.29  | +14.50             | +14.80 | 0.31  | 0.50  | +14.00            | +14.30 | +14.31           | +14.61 |
| 30 | 2-21         | T14          | 21            | 156.32      | 0.0046  | 0.0005    | 0.64  | +14.80             | +15.52 | 0.31  | 0.50  | +14.30            | +15.02 | +14.61           | +15.33 |
| 31 | 20-t32       | S1.L         | t32           | 19.10       | 0.0105  | 0.0005    | 0.19  | +13.64             | +13.84 | 0.81  | 1.00  | +12.64            | +12.84 | +13.45           | +13.65 |
| 32 | 19-20        | T13          | 20            | 110.46      | 0.0011  | 0.0005    | 0.06  | +17.80             | +17.92 | 0.37  | 0.50  | +17.30            | +17.42 | +17.67           | +17.79 |
| 33 | 18-20        | S1.K         |               | 14.40       | 0.0014  | 0.0005    | 0.01  | +13.84             | +13.86 | 0.77  | 1.00  | +12.84            | +12.86 | +13.61           | +13.63 |
| 34 | 17-18        | T12          | 18            | 180.67      | 0.0218  | 0.0005    | 3.84  | +13.86             | +17.79 | 0.32  | 0.50  | +13.36            | +17.29 | +13.68           | +17.61 |
| 35 | 16-18        | S1.J         |               | 37.00       | 0.0038  | 0.0005    | 0.12  | +13.86             | +14.00 | 0.72  | 1.00  | +12.86            | +13.00 | +13.58           | +13.72 |
| 36 | 17-16        | T11          | 16            | 144.93      | 0.0262  | 0.0005    | 3.72  | +14.00             | +17.79 | 0.34  | 0.50  | +13.50            | +17.29 | +13.84           | +17.63 |
| 37 | 15-16        | S1.I         |               | 10.00       | 0.0110  | 0.0005    | 0.10  | +14.00             | +14.11 | 0.68  | 1.00  | +13.00            | +13.11 | +13.68           | +13.79 |
| 38 | 13-15        | T10          | 15            | 180.67      | 0.0200  | 0.0005    | 3.52  | +14.11             | +17.72 | 0.33  | 0.50  | +13.61            | +17.22 | +13.94           | +17.55 |
| 39 | 14-15        | S1.H         |               | 37.00       | 0.0005  | 0.0005    | 0.00  | +14.11             | +14.13 | 0.63  | 1.00  | +13.11            | +13.13 | +13.74           | +13.76 |
| 40 | 13-14        | T9           | 14            | 144.94      | 0.0248  | 0.0005    | 3.52  | +14.13             | +17.72 | 0.38  | 0.50  | +13.63            | +17.22 | +14.01           | +17.60 |
| 41 | 12-13        | T9A          | 13            | 163.74      | 0.0076  | 0.0005    | 1.17  | +16.85             | +18.10 | 0.25  | 0.40  | +16.45            | +17.70 | +16.70           | +17.95 |
| 42 | 11-14        | S1.G         | 14            | 17.00       | 0.0012  | 0.0005    | 0.01  | +14.13             | +14.15 | 0.55  | 1.00  | +13.13            | +13.15 | +13.68           | +13.70 |
| 43 | 9-11         | T8           | 11            | 180.67      | 0.0139  | 0.0005    | 2.43  | +14.15             | +16.67 | 0.34  | 0.50  | +13.65            | +16.17 | +13.99           | +16.51 |
| 44 | 10-11        | S1.F         |               | 37.00       | 0.0003  | 0.0005    | -0.01 | +14.15             | +14.16 | 0.49  | 1.00  | +13.15            | +13.16 | +13.64           | +13.65 |
| 45 | 9-10         | T7           | 10            | 144.94      | 0.0172  | 0.0005    | 2.43  | +14.17             | +16.67 | 0.32  | 0.50  | +13.67            | +16.17 | +13.99           | +16.49 |
| 46 | 8-10         | S1.E         |               | 10.00       | 0.0005  | 0.0005    | 0.00  | +14.16             | +14.17 | 0.55  | 0.80  | +13.36            | +13.37 | +13.91           | +13.92 |
| 47 | 6-8          | T6           | 8             | 180.67      | 0.0093  | 0.0005    | 1.59  | +14.16             | +15.84 | 0.34  | 0.50  | +13.66            | +15.34 | +14.00           | +15.68 |

*“Halaman ini sengaja dikosongkan”*

Tabel 4. 49 Perhitungan Elevasi saluran Perumahan(Lanjutan)

| No | Nama Saluran | Kode Saluran | titik Kontrol | L saluuran | I medan | I rencana | AH   | Elevasi Muka tanah |        | H air | H sal | Elvasi Muka Dasar |        | Elevasi Muka Air |        |
|----|--------------|--------------|---------------|------------|---------|-----------|------|--------------------|--------|-------|-------|-------------------|--------|------------------|--------|
|    |              |              |               |            |         |           |      | Hilir              | Hulu   |       |       | Hilir             | Hulu   | Hilir            | Hulu   |
| 9  | 7-8          | S1.D         | 8             | 37.00      | 0.0046  | 0.0005    | 0.15 | +14.16             | +14.33 | 0.46  | 0.80  | +13.36            | +13.53 | +13.82           | +13.99 |
| 49 | 6-7          | T5           | 7             | 144.94     | 0.0104  | 0.0005    | 1.44 | +14.33             | +15.84 | 0.32  | 0.50  | +13.83            | +15.34 | +14.15           | +15.66 |
| 50 | 5-7          | S1.C         |               | 10.00      | 0.0060  | 0.0005    | 0.06 | +14.33             | +14.39 | 0.38  | 0.80  | +13.53            | +13.59 | +13.91           | +13.97 |
| 51 | 3-5          | T4           | 5             | 180.67     | 0.0083  | 0.0005    | 1.41 | +14.39             | +15.89 | 0.33  | 0.50  | +13.89            | +15.39 | +14.22           | +15.72 |
| 52 | 4-5          | S1.B         |               | 37.00      | 0.0116  | 0.0005    | 0.41 | +14.39             | +14.82 | 0.28  | 0.80  | +13.59            | +14.02 | +13.87           | +14.30 |
| 53 | 3-4          | T3           | 4             | 144.94     | 0.0074  | 0.0005    | 1.00 | +14.82             | +15.89 | 0.33  | 0.50  | +14.32            | +15.39 | +14.65           | +15.72 |
| 54 | 2-4          | S1.A         |               | 6.89       | 0.0261  | 0.0005    | 0.18 | +14.82             | +15.00 | 0.26  | 0.50  | +14.32            | +14.50 | +14.58           | +14.76 |
| 55 | 2a-2         | T2           | 2             | 156.34     | 0.0060  | 0.0005    | 0.86 | +15.00             | +15.94 | 0.26  | 0.50  | +14.50            | +15.44 | +14.76           | +15.70 |
| 56 | 1-2a         | T1           | 2a            | 147.76     | 0.0054  | 0.0005    | 0.73 | +15.94             | +16.74 | 0.27  | 0.40  | +15.54            | +16.34 | +15.81           | +16.61 |

(Sumber: Hasil Perhitungan)

*“Halaman ini sengaja dikosongkan”*

Tabel 4. 50 Perhitungan Elevasi saluran dengan bangunan terjun Perumahan

*“Halaman ini sengaja dikosongkan”*

Tabel 4. 50 Perhitungan Elevasi saluran dengan bangunan terjun Perumahan (Lanjutan)

*“Halaman ini sengaja dikosongkan”*

Tabel 4. 51 Perhitungan Elevasi saluran pemukiman Warga menuju Boezem

| No | Nama Saluran | Kode Saluran | titik Kontrol | L sal  | I medan | I rencana | AH   | Elv. Muka tanah |        | H air | H sal | Elvasi Muka Dasar |        | Elevasi Muka Air |        |
|----|--------------|--------------|---------------|--------|---------|-----------|------|-----------------|--------|-------|-------|-------------------|--------|------------------|--------|
|    |              |              |               |        |         |           |      | Hilir           | Hulu   |       |       | Hilir             | Hulu   | Hilir            | Hulu   |
|    |              |              |               |        |         |           |      | m               | m      |       |       | m                 | m      | m                | m      |
| 1  | t20b-t20c    | Ss2          | t20c          | 47.34  | 0.0300  | 0.0005    | 1.40 | +11.00          | +12.42 | 0.58  | 1     | +10.00            | +11.42 | +10.58           | +12.00 |
| 2  | t21-20b      | St15b        | t20b          | 60.71  | 0.0003  | 0.0003    | 0.00 | +12.42          | +12.44 | 0.38  | 0.50  | +11.92            | +11.94 | +12.30           | +12.32 |
| 3  | t21a-t21     | k15          |               | 71.44  | 0.0323  | 0.0005    | 2.27 | +12.44          | +14.75 | 0.23  | 0.40  | +12.04            | +14.35 | +12.27           | +14.58 |
| 4  | t50-t21      | St15a        | t21           | 50.36  | 0.0129  | 0.0005    | 0.62 | +12.44          | +13.09 | 0.15  | 0.50  | +11.94            | +12.59 | +12.09           | +12.74 |
| 5  | t15-t20      | Ss1          | t20           | 92.48  | 0.0279  | 0.0005    | 2.53 | +12.42          | +15.00 | 0.38  | 0.80  | +11.62            | +14.20 | +12.00           | +14.58 |
| 6  | t19-t20a     | St14         | t20a          | 65.74  | 0.0068  | 0.0005    | 0.42 | +14.60          | +15.05 | 0.33  | 0.50  | +14.10            | +14.55 | +14.43           | +14.88 |
| 7  | t18-t17      | St13         | t17           | 62.58  | 0.0013  | 0.0013    | 0.00 | +15.00          | +15.08 | 0.16  | 0.30  | +14.70            | +14.78 | +14.86           | +14.94 |
| 8  | t16-t17      | St12         |               | 90.87  | 0.0152  | 0.0005    | 1.33 | +15.00          | +16.38 | 0.25  | 0.50  | +14.50            | +15.88 | +14.75           | +16.13 |
| 9  | t5-t15       | St3b         | t15           | 77.79  | 0.0055  | 0.0005    | 0.39 | +15.00          | +15.43 | 0.24  | 0.50  | +14.50            | +14.93 | +14.74           | +15.17 |
| 10 | t4-t5        | k9           | t5            | 54.79  | 0.0287  | 0.0005    | 1.54 | +15.43          | +17.00 | 0.22  | 0.40  | +15.03            | +16.60 | +15.25           | +16.82 |
| 11 | t14-t15      | St11         | t15           | 90.25  | 0.0173  | 0.0005    | 1.51 | +15.00          | +16.56 | 0.24  | 0.60  | +14.40            | +15.96 | +14.64           | +16.20 |
| 12 | t2-t14       | St10         | t14           | 146.73 | 0.0043  | 0.0005    | 0.56 | +16.56          | +17.19 | 0.20  | 0.60  | +15.96            | +16.59 | +16.16           | +16.79 |
| 13 | t13-t22      | St7          | t22           | 10.31  | 0.0330  | 0.0010    | 0.33 | +12.42          | +12.76 | 0.48  | 0.60  | +11.82            | +12.16 | +12.30           | +12.64 |
| 14 | t12-t13      | St9          | t13           | 72.27  | 0.0275  | 0.0005    | 1.95 | +12.76          | +14.75 | 0.21  | 0.30  | +12.46            | +14.45 | +12.67           | +14.66 |
| 15 | t7-t12       | St8          | t12           | 51.46  | 0.0089  | 0.0005    | 0.43 | +14.75          | +15.21 | 0.15  | 0.30  | +14.45            | +14.91 | +14.60           | +15.06 |
| 16 | t11-t13      | St6b         | t13           | 47.67  | 0.0050  | 0.0005    | 0.22 | +12.76          | +13.00 | 0.51  | 0.70  | +12.06            | +12.30 | +12.57           | +12.81 |
| 17 | t11a-t11     | k11a         | t11           | 24.80  | 0.0254  | 0.0005    | 0.62 | +13.00          | +13.63 | 0.39  | 0.50  | +12.50            | +13.13 | +12.89           | +13.52 |
| 18 | t10-t11a     | k11          | t11a          | 78.92  | 0.0191  | 0.0005    | 1.47 | +13.63          | +15.14 | 0.23  | 0.40  | +13.23            | +14.74 | +13.46           | +14.97 |
| 19 | t9-t11a      | k10          |               | 90.98  | 0.0143  | 0.0005    | 1.25 | +13.63          | +14.93 | 0.28  | 0.40  | +13.23            | +14.53 | +13.51           | +14.81 |
| 20 | t8-t11       | St6a         | t12           | 80.86  | 0.0030  | 0.0005    | 0.20 | +13.00          | +13.24 | 0.40  | 0.70  | +12.30            | +12.54 | +12.70           | +12.94 |
| 21 | t6-t8        | St5          | t8            | 94.19  | 0.0166  | 0.0005    | 1.51 | +13.24          | +14.80 | 0.46  | 0.60  | +12.64            | +14.20 | +13.10           | +14.66 |
| 22 | t7-t6        | St8a         | t6            | 85.26  | 0.0048  | 0.0005    | 0.37 | +14.80          | +15.21 | 0.15  | 0.30  | +14.50            | +14.91 | +14.65           | +15.06 |
| 23 | t3-t6        | St4          |               | 5.00   | 0.0200  | 0.0010    | 0.09 | +14.80          | +14.90 | 0.40  | 0.50  | +14.30            | +14.40 | +14.70           | +14.80 |
| 24 | t5-t3        | St3a         | t3            | 70.49  | 0.0075  | 0.0005    | 0.49 | +14.90          | +15.43 | 0.35  | 0.50  | +14.40            | +14.93 | +14.75           | +15.28 |
| 25 | t2-t3        | St2          |               | 118.38 | 0.0193  | 0.0005    | 2.23 | +14.90          | +17.19 | 0.29  | 0.50  | +14.40            | +16.69 | +14.69           | +16.98 |
| 26 | t1-t2        | St1          | t2            | 93.69  | 0.0106  | 0.0005    | 0.94 | +17.19          | +18.18 | 0.22  | 0.50  | +16.69            | +17.68 | +16.91           | +17.90 |

*“Halaman ini sengaja dikosongkan”*

Tabel 4. 52 Perhitungan Elevasi saluran dengan bangunan terjun pemukiman Warga menuju Boezem

| No | Nama Saluran | Kode Saluran | L saluran | Jml. Terjun (n) | Elvasi dasar sal |        | Elevasi Muka Air |        | Bangunan Terjun 1 |              |        |        | Bangunan Terjun 2 |              |        |                | Bangunan Terjun 3 |        |        |        |
|----|--------------|--------------|-----------|-----------------|------------------|--------|------------------|--------|-------------------|--------------|--------|--------|-------------------|--------------|--------|----------------|-------------------|--------|--------|--------|
|    |              |              |           |                 | Hilir            | Hulu   | Hilir            | Hulu   | El. Muka Dasar    | El. Muka Air | Hilir  | Hulu   | El. Muka Dasar    | El. Muka Air | Hilir  | El. Muka Dasar | El. Muka Air      |        |        |        |
|    |              |              |           |                 | m                | m      | m                | m      | Hilir             | Hulu         | Hilir  | Hulu   | Hilir             | Hulu         | Hilir  | Hulu           | Hilir             | Hulu   |        |        |
| 1  | t20b-t20c    | Ss2          | 47        | 2               | +10.00           | +10.01 | +10.58           | +10.59 | +10.71            | +10.72       | +11.29 | +11.30 | +11.41            | +11.42       | +11.99 | +12.00         |                   |        |        |        |
| 2  | t21-20b      | St15b        | 61        | 0               | +11.92           | +11.92 | +12.30           | +12.30 | +11.92            | +11.95       | +12.30 | +12.32 |                   |              |        |                |                   |        |        |        |
| 3  | t21a-t21     | k15          | 71        | 3               | +12.04           | +12.05 | +12.27           | +12.28 | +12.85            | +12.86       | +13.08 | +13.09 | +13.66            | +13.67       | +13.89 | +13.90         | +14.34            | +14.35 | +14.57 | +14.58 |
| 4  | t50-t21      | St15a        | 50        | 1               | +11.94           | +11.95 | +12.09           | +12.10 | +12.58            | +12.59       | +12.73 | +12.74 |                   |              |        |                |                   |        |        |        |
| 5  | t15-t20      | Ss1          | 92        | 3               | +11.62           | +11.63 | +12.00           | +12.01 | +12.43            | +12.44       | +12.81 | +12.82 | +13.24            | +13.25       | +13.62 | +13.63         | +14.19            | +14.20 | +14.57 | +14.58 |
| 6  | t19-t20a     | St14         | 66        | 1               | +14.10           | +14.12 | +14.43           | +14.45 | +14.53            | +14.55       | +14.86 | +14.88 |                   |              |        |                |                   |        |        |        |
| 7  | t18-t17      | St13         | 63        | 0               | +14.70           | +14.70 | +14.86           | +14.86 | 14.70             | +14.73       | 14.86  | +14.94 |                   |              |        |                |                   |        |        |        |
| 8  | t16-t17      | St12         | 91        | 2               | +14.50           | +14.52 | +14.75           | +14.77 | +15.22            | +15.23       | +15.47 | +15.48 | +15.87            | +15.88       | +16.12 | +16.12         |                   |        |        |        |
| 9  | t5-t15       | St3b         | 78        | 1               | +14.50           | +14.52 | +14.74           | +14.76 | +14.91            | +14.93       | +15.15 | +15.17 |                   |              |        |                |                   |        |        |        |
| 10 | t4-t5        | k9           | 55        | 2               | +15.03           | +15.04 | +15.25           | +15.26 | +15.74            | +15.75       | +15.96 | +15.97 | +16.59            | +16.60       | +16.81 | +16.82         |                   |        |        |        |
| 11 | t14-t15      | St11         | 90        | 2               | +14.40           | +14.41 | +14.64           | +14.66 | +15.11            | +15.13       | +15.36 | +15.37 | +15.94            | +15.96       | +16.19 | +16.20         |                   |        |        |        |
| 12 | t2-t14       | St10         | 147       | 1               | +15.96           | +16.00 | +16.16           | +16.20 | +16.55            | +16.59       | +16.75 | +16.79 |                   |              |        |                |                   |        |        |        |
| 13 | t13-t22      | St7          | 10        | 1               | +11.82           | +11.82 | +12.30           | +12.30 | +12.15            | +12.15       | +12.63 | +12.64 |                   |              |        |                |                   |        |        |        |
| 14 | t12-t13      | St9          | 72        | 3               | +12.46           | +12.47 | +12.67           | +12.68 | +13.17            | +13.18       | +13.38 | +13.39 | +13.88            | +13.89       | +14.09 | +14.10         | +14.44            | +14.45 | +14.65 | +14.66 |
| 15 | t7-t12       | St8          | 51        | 1               | +14.45           | +14.46 | +14.60           | +14.61 | +14.90            | +14.91       | +15.05 | +15.06 |                   |              |        |                |                   |        |        |        |
| 16 | t11-t13      | St6b         | 48        | 1               | +12.06           | +12.07 | +12.57           | +12.58 | +12.29            | +12.30       | +12.80 | +12.81 |                   |              |        |                |                   |        |        |        |
| 17 | t11a-t11     | k11a         | 25        | 1               | +12.50           | +12.51 | +12.89           | +12.90 | +13.12            | +13.13       | +13.51 | +13.52 |                   |              |        |                |                   |        |        |        |
| 18 | t10-t11a     | k11          | 79        | 2               | +13.23           | +13.24 | +13.46           | +13.47 | +13.94            | +13.96       | +14.17 | +14.19 | +14.73            | +14.74       | +14.96 | +14.96         |                   |        |        |        |
| 19 | t9-t11a      | k10          | 91        | 2               | +13.23           | +13.25 | +13.51           | +13.53 | +13.85            | +13.86       | +14.13 | +14.14 | +14.51            | +14.53       | +14.79 | +14.81         |                   |        |        |        |
| 20 | t8-t11       | St6a         | 81        | 1               | +12.30           | +12.32 | +12.70           | +12.72 | +12.52            | +12.54       | +12.92 | +12.94 |                   |              |        |                |                   |        |        |        |
| 21 | t6-t8        | St5          | 94        | 2               | +12.64           | +12.66 | +13.10           | +13.12 | +13.46            | +13.47       | +13.92 | +13.93 | +14.19            | +14.20       | +14.65 | +14.66         |                   |        |        |        |
| 22 | t7-t6        | St8a         | 85        | 1               | +14.50           | +14.52 | +14.65           | +14.67 | +14.89            | +14.91       | +15.04 | +15.06 |                   |              |        |                |                   |        |        |        |
| 23 | t3-t6        | St4          | 5         | 0               | +14.30           | +14.30 | +14.70           | +14.70 | +14.40            | +14.40       | +14.79 | +14.80 |                   |              |        |                |                   |        |        |        |
| 24 | t5-t3        | St3a         | 70        | 1               | +14.40           | +14.42 | +14.75           | +14.77 | +14.92            | +14.94       | +15.27 | +15.29 |                   |              |        |                |                   |        |        |        |
| 25 | t2-t3        | St2          | 118       | 3               | +14.40           | +14.42 | +14.69           | +14.71 | +15.22            | +15.23       | +15.51 | +15.52 | +16.03            | +16.05       | +16.32 | +16.34         | +16.68            | +16.69 | +16.97 | +16.98 |
| 26 | t1-t2        | St1          | 94        | 2               | +16.69           | +16.71 | +16.91           | +16.93 | +17.21            | +17.22       | +17.43 | +17.44 | +17.67            | +17.68       | +17.89 | +17.90         |                   |        |        |        |

(Sumber: Hasil Perhitungan)

*“Halaman ini sengaja dikosongkan”*

Tabel 4. 53 Perhitungan Elevasi saluran pemukiman Warga menuju saluran Primer

| No | Nama Saluran | Kode Saluran | titik Kontrol | L saluurran | I medan | I rencana | AH   | Elevasi Muka tanah |        | H air | H sal | Elvasi Muka Dasar |        | Elevasi Muka Air |        |
|----|--------------|--------------|---------------|-------------|---------|-----------|------|--------------------|--------|-------|-------|-------------------|--------|------------------|--------|
|    |              |              |               |             |         |           |      | Hilir              | Hulu   |       |       | Hilir             | Hulu   | Hilir            | Hulu   |
|    |              |              |               |             |         |           |      | m                  | m      |       |       | m                 | m      | m                | m      |
| 1  | t59-t60      | P8           | t60           | 38.42       | 0.0125  | 0.0005    | 0.46 | 11.19              | +11.67 | 1.05  | 1.40  | +9.79             | +10.27 | +10.84           | +11.32 |
| 2  | t58-t59      | P7           | t59           | 80.58       | 0.0006  | 0.0006    | 0.00 | +11.67             | +11.72 | 0.95  | 1.4   | +10.27            | +10.32 | +11.22           | +11.27 |
| 3  | t54-t59      | St.21b       |               | 33.78       | 0.0394  | 0.0005    | 1.31 | 11.67              | +13.00 | 0.36  | 0.50  | +11.17            | +12.50 | +11.53           | +12.86 |
| 4  | t53-t54      | K18          | t54           | 75.64       | 0.0052  | 0.0005    | 0.35 | +13.00             | +13.39 | 0.31  | 0.40  | +12.60            | +12.99 | +12.91           | +13.30 |
| 5  | t50-t54      | St.21a       |               | 33.92       | 0.0021  | 0.0005    | 0.05 | +13.00             | +13.07 | 0.26  | 0.50  | +12.50            | +12.57 | +12.76           | +12.83 |
| 6  | t51-t52      | K17          | t52           | 82.38       | 0.0101  | 0.0005    | 0.79 | +13.07             | +13.90 | 0.29  | 0.40  | +12.67            | +13.50 | +12.96           | +13.79 |
| 7  | t49-t50      | K16          | t50           | 82.38       | 0.0095  | 0.0005    | 0.74 | 13.09              | +13.87 | 0.24  | 0.40  | +12.69            | +13.47 | +12.93           | +13.71 |
| 8  | t57-t58      | P6           | t58           | 6.00        | 0.0010  | 0.0010    | 0.00 | +11.72             | +11.73 | 0.79  | 1.40  | +10.32            | +10.33 | +11.11           | +11.12 |
| 9  | t48-t58      | St.20        | t58           | 165.81      | 0.0201  | 0.0005    | 3.25 | +11.72             | +15.05 | 0.25  | 0.40  | +11.32            | +14.65 | +11.57           | +14.90 |
| 10 | t56-t57      | P5           | t57           | 124.06      | 0.0010  | 0.0010    | 0.00 | +11.73             | +11.80 | 0.77  | 1.40  | +10.33            | +10.42 | +11.10           | +11.19 |
| 11 | t45-t57      | St.19b       |               | 97.93       | 0.0247  | 0.0005    | 2.37 | +11.73             | +14.15 | 0.34  | 0.50  | +11.23            | +13.65 | +11.56           | +13.98 |
| 12 | t43-t45      | K14          | t45           | 51.08       | 0.0010  | 0.0010    | 0.00 | +14.15             | +14.20 | 0.14  | 0.30  | +13.85            | +13.90 | +13.99           | +14.04 |
| 13 | t10-t45      | St.19a       |               | 84.29       | 0.0112  | 0.0005    | 0.90 | +14.15             | +15.09 | 0.20  | 0.50  | +13.65            | +14.59 | +13.85           | +14.79 |
| 14 | t47-t56      | St.18c       | t56           | 15.00       | 0.0360  | 0.0005    | 0.53 | 11.62              | +12.16 | 0.41  | 0.50  | +11.12            | +11.66 | +11.53           | +12.07 |
| 15 | t46-t47      | K13          | t47           | 69.67       | 0.0159  | 0.0005    | 1.08 | +12.16             | +13.27 | 0.33  | 0.40  | +11.76            | +12.87 | +12.09           | +13.20 |
| 16 | t44-t47      | St.18b       |               | 51.00       | 0.0194  | 0.0005    | 0.96 | +12.16             | +13.15 | 0.41  | 0.50  | +11.66            | +12.65 | +12.07           | +13.06 |
| 17 | t43-t44      | K12          | t44           | 60.71       | 0.0140  | 0.0005    | 0.82 | +13.15             | +14.00 | 0.31  | 0.40  | +12.75            | +13.60 | +13.06           | +13.91 |
| 18 | t8-t44       | St.18a       |               | 156.20      | 0.0195  | 0.0005    | 2.96 | +13.15             | +16.19 | 0.30  | 0.50  | +12.65            | +15.69 | +12.95           | +15.99 |
| 19 | t39-t43      | St.17e       | t43           | 120.96      | 0.0173  | 0.0005    | 2.03 | 11.62              | +13.71 | 0.43  | 0.50  | +11.12            | +13.21 | +11.55           | +13.64 |
| 20 | t37-t39      | K6.b         | t39           | 31.24       | 0.0275  | 0.0005    | 0.84 | +13.71             | +14.57 | 0.17  | 0.30  | +13.41            | +14.27 | +13.58           | +14.44 |
| 21 | t34-t36      | K5.b         | t36           | 31.24       | 0.0294  | 0.0005    | 0.90 | +14.04             | +14.96 | 0.20  | 0.30  | +13.74            | +14.66 | +13.94           | +14.86 |
| 22 | t33-36       | St.17d       |               | 92.42       | 0.0217  | 0.0005    | 1.96 | +14.04             | +16.05 | 0.40  | 0.50  | +13.54            | +15.55 | +13.94           | +15.95 |
| 23 | t31-t33      | K4.b         | t33           | 45.95       | 0.0078  | 0.0005    | 0.34 | +16.05             | +16.41 | 0.26  | 0.30  | +15.75            | +16.11 | +16.01           | +16.37 |

*“Halaman ini sengaja dikosongkan”*

Tabel 4. 53 Perhitungan Elevasi saluran pemukiman Warga menuju boezem(Lanjutan)

| No | Nama Saluran | Kode Saluran | titik Kontrol | L saluuran | I medan | I rencana | AH   | Elevasi Muka tanah |        | H air | H sal | Elvasi Muka Dasar |        | Elevasi Muka Air |        |
|----|--------------|--------------|---------------|------------|---------|-----------|------|--------------------|--------|-------|-------|-------------------|--------|------------------|--------|
|    |              |              |               |            |         |           |      | Hilir              | Hulu   |       |       | Hilir             | Hulu   | Hilir            | Hulu   |
|    |              |              |               |            |         |           |      | m                  | m      |       |       | m                 | m      | m                | m      |
| 24 | t27-t33      | St.17.c      |               | 62.26      | 0.0209  | 0.0209    | 0.00 | +16.05             | +17.35 | 0.24  | 0.40  | +15.65            | +16.95 | +15.89           | +17.19 |
| 25 | t28-t30      | K3.b         | t30           | 33.65      | 0.0027  | 0.0027    | 0.00 | +17.35             | +17.44 | 0.08  | 0.30  | +17.05            | +17.14 | +17.13           | +17.22 |
| 26 | t25-t27      | K2.b         | t27           | 33.65      | 0.0027  | 0.0027    | 0.00 | 17.39              | +17.48 | 0.10  | 0.30  | +17.09            | +17.18 | +17.19           | +17.28 |
| 27 | t24-t27      | St.17b       |               | 42.92      | 0.0144  | 0.0005    | 0.60 | +17.35             | +17.97 | 0.24  | 0.40  | +16.95            | +17.57 | +17.19           | +17.81 |
| 28 | t22-t24      | K1.b         | t24           | 41.46      | 0.0012  | 0.0012    | 0.00 | +17.97             | +18.02 | 0.13  | 0.30  | +17.67            | +17.72 | +17.80           | +17.85 |
| 29 | t24a-t24     | St.17a       |               | 65.69      | 0.0005  | 0.0005    | 0.00 | +17.97             | +18.00 | 0.17  | 0.40  | +17.57            | +17.60 | +17.74           | +17.77 |
| 30 | t55-t56a     | P4           | t56a          | 90.82      | 0.0009  | 0.0009    | 0.00 | +11.80             | +11.86 | 0.83  | 1.40  | +10.40            | +10.48 | +11.23           | +11.31 |
| 31 | t41-t55      | P3           | t55           | 43.48      | 0.0136  | 0.0008    | 0.56 | +11.86             | +12.43 | 0.53  | 1.40  | +10.46            | +11.05 | +10.99           | +11.58 |
| 32 | t42-t43      | K8           | t43           | 68.15      | 0.0043  | 0.0043    | 0.00 | 12.43              | +12.72 | 0.11  | 0.30  | +12.13            | +12.42 | +12.24           | +12.53 |
| 33 | t40-t41      | K7           | t41           | 68.15      | 0.0045  | 0.0045    | 0.00 | 12.48              | +12.79 | 0.14  | 0.30  | +12.18            | +12.49 | +12.32           | +12.63 |
| 34 | t35-t41      | P2           |               | 59.53      | 0.0161  | 0.0008    | 0.91 | +12.48             | +13.44 | 0.51  | 1.40  | +11.08            | +12.04 | +11.59           | +12.55 |
| 35 | t37-t38      | K6.a         | t38           | 46.06      | 0.0287  | 0.0005    | 1.30 | 13.44              | +14.76 | 0.18  | 0.30  | +13.14            | +14.46 | +13.32           | +14.64 |
| 36 | t34-t35      | K5.a         | t35           | 46.06      | 0.0304  | 0.0005    | 1.38 | 13.56              | +14.96 | 0.20  | 0.30  | +13.26            | +14.66 | +13.46           | +14.86 |
| 37 | t32-t35      | P1           |               | 86.41      | 0.0009  | 0.0009    | 0.00 | +13.56             | +13.64 | 0.49  | 1.40  | +12.16            | +12.24 | +12.65           | +12.73 |
| 38 | t31-t32      | K4.a         | t32           | 35.61      | 0.0778  | 0.0005    | 2.75 | 14.16              | +16.93 | 0.20  | 0.30  | +13.86            | +16.63 | +14.06           | +16.83 |
| 39 | t29-t32      | St.16b       |               | 67.65      | 0.0275  | 0.0005    | 1.83 | 14.16              | +16.02 | 0.33  | 0.50  | +13.66            | +15.52 | +13.99           | +15.85 |
| 40 | t28-t29      | K3.a         | t29           | 55.75      | 0.0255  | 0.0005    | 1.39 | +16.02             | +17.44 | 0.20  | 0.30  | +15.72            | +17.14 | +15.92           | +17.34 |
| 41 | t25-t26      | K2.a         | t26           | 55.75      | 0.0255  | 0.0005    | 1.39 | 16.06              | +17.48 | 0.18  | 0.30  | +15.76            | +17.18 | +15.94           | +17.36 |
| 42 | t23-t26      | St.16a       |               | 43.35      | 0.0048  | 0.0005    | 0.19 | +16.02             | +16.23 | 0.14  | 0.40  | +15.62            | +15.83 | +15.76           | +15.97 |
| 43 | t22-23       | K1.a         | t23           | 46.44      | 0.0385  | 0.0005    | 1.77 | +16.23             | +18.02 | 0.20  | 0.30  | +15.93            | +17.72 | +16.13           | +17.92 |

(Sumber: Hasil Perhitungan)

*“Halaman ini sengaja dikosongkan”*

Tabel 4. 54 Perhitungan Elevasi saluran dengan bangunan Terjun pemukiman Warga menuju boezem

*“Halaman ini sengaja dikosongkan”*

Tabel 4. 54 Perhitungan Elevasi saluran dengan bangunan Terjun pemukiman Warga menuju boezem (Lanjutan)

| No | Nama Saluran | Kode Saluran | L sal | Jml. Terjun (n) | Elvasi dasar sal |        | Elevasi Muka Air |        | Bangunan Terjun 1 |        |               |        | Bangunan Terjun 2 |        |               |        | Bangunan Terjun 3 |        |               |        | Bangunan Terjun 4 |      |               |      |  |
|----|--------------|--------------|-------|-----------------|------------------|--------|------------------|--------|-------------------|--------|---------------|--------|-------------------|--------|---------------|--------|-------------------|--------|---------------|--------|-------------------|------|---------------|------|--|
|    |              |              |       |                 | Hilir            | Hulu   | Hilir            | Hulu   | Elv. Dasar sal    |        | Elv. Muka Air |        | Elv. Dasar sal    |        | Elv. Muka Air |        | Elv. Dasar sal    |        | Elv. Muka Air |        | Elv. Dasar sal    |      | Elv. Muka Air |      |  |
|    |              |              |       |                 | m                | m      | m                | m      | Hilir             | Hulu   | Hilir         | Hulu   | Hilir             | Hulu   | Hilir         | Hulu   | Hilir             | Hulu   | Hilir         | Hulu   | Hilir             | Hulu | Hilir         | Hulu |  |
| 28 | t22-t24      | K1.b         | 41.46 | 0               | +17.57           | +17.60 | +17.74           | +17.77 |                   |        |               |        |                   |        |               |        |                   |        |               |        |                   |      |               |      |  |
| 29 | t24a-t24     | St.17a       | 65.69 | 0               | +10.40           | +10.48 | +11.23           | +11.31 |                   |        |               |        |                   |        |               |        |                   |        |               |        |                   |      |               |      |  |
| 30 | t55-t56a     | P4           | 90.82 | 0               | +10.46           | +10.47 | +10.99           | +11.00 | +11.03            | +11.04 | +11.56        | +11.58 |                   |        |               |        |                   |        |               |        |                   |      |               |      |  |
| 31 | t41-t55      | P3           | 43.48 | 1               | +12.13           | +12.42 | +12.24           | +12.53 |                   |        |               |        |                   |        |               |        |                   |        |               |        |                   |      |               |      |  |
| 32 | t42-t43      | K8           | 68.15 | 0               | +12.18           | +12.49 | +12.32           | +12.63 |                   |        |               |        |                   |        |               |        |                   |        |               |        |                   |      |               |      |  |
| 33 | t40-t41      | K7           | 68.15 | 0               | +11.08           | +11.10 | +11.59           | +11.62 | +12.02            | +12.03 | +12.53        | +12.55 |                   |        |               |        |                   |        |               |        |                   |      |               |      |  |
| 34 | t35-t41      | P2           | 59.53 | 1               | +13.14           | +13.15 | +13.32           | +13.33 | +13.85            | +13.86 | +14.03        | +14.04 | +14.45            | +14.46 | +14.63        | +14.64 |                   |        |               |        |                   |      |               |      |  |
| 35 | t37-t38      | K6.a         | 46.06 | 2               | +13.26           | +13.27 | +13.46           | +13.47 | +13.97            | +13.98 | +14.17        | +14.18 | +14.65            | +14.66 | +14.85        | +14.86 |                   |        |               |        |                   |      |               |      |  |
| 36 | t34-t35      | K5.a         | 46.06 | 2               | +12.16           | +12.24 | +12.65           | +12.73 |                   |        |               |        |                   |        |               |        |                   |        |               |        |                   |      |               |      |  |
| 37 | t32-t35      | P1           | 86.41 | 0               | +13.86           | +13.86 | +14.06           | +14.06 | +14.56            | +14.57 | +14.76        | +14.77 | +15.27            | +15.27 | +15.47        | +15.48 | +16.63            | +16.63 | +16.83        | +16.83 |                   |      |               |      |  |
| 38 | t31-t32      | K4.a         | 35.61 | 4               | +13.66           | +13.67 | +13.99           | +14.00 | +14.27            | +14.28 | +14.60        | +14.61 | +14.88            | +14.89 | +15.21        | +15.21 | +15.51            | +15.52 | +15.84        | +15.85 |                   |      |               |      |  |
| 39 | t29-t32      | St.16b       | 67.65 | 3               | +15.72           | +15.73 | +15.92           | +15.93 | +16.43            | +16.44 | +16.63        | +16.64 | +17.13            | +17.14 | +17.33        | +17.34 |                   |        |               |        |                   |      |               |      |  |
| 40 | t28-t29      | K3.a         | 55.75 | 2               | +15.76           | +15.77 | +15.94           | +15.95 | +16.47            | +16.48 | +16.65        | +16.66 | +17.17            | +17.18 | +17.35        | +17.36 |                   |        |               |        |                   |      |               |      |  |
| 41 | t25-t26      | K2.a         | 55.75 | 2               | +15.62           | +15.62 | +15.76           | +15.76 |                   |        |               |        |                   |        |               |        |                   |        |               |        |                   |      |               |      |  |
| 42 | t23-t26      | St.16a       | 43.35 | 0               | +15.93           | +15.94 | +16.13           | +16.14 | +16.54            | +16.54 | +16.74        | +16.74 | +17.14            | +17.15 | +17.34        | +17.35 | +17.71            | +17.72 | +17.91        | +17.92 |                   |      |               |      |  |
| 43 | t22-23       | K1.a         | 46.44 | 3               | +17.57           | +17.60 | +17.74           | +17.77 |                   |        |               |        |                   |        |               |        |                   |        |               |        |                   |      |               |      |  |
| 28 | t22-t24      | K1.b         | 41.46 | 0               | +10.40           | +10.48 | +11.23           | +11.31 |                   |        |               |        |                   |        |               |        |                   |        |               |        |                   |      |               |      |  |
| 29 | t24a-t24     | St.17a       | 65.69 | 0               | +10.46           | +10.47 | +10.99           | +11.00 | +11.03            | +11.04 | +11.56        | +11.58 |                   |        |               |        |                   |        |               |        |                   |      |               |      |  |

(Sumber: Hasil Perhitungan)

*“Halaman ini sengaja dikosongkan”*

#### 4.2.4 Analisa Kapasitas Boezem

Untuk menganalisa tampungan Boezem Sumur Welut dihitung dengan menggunakan hidrograf. Hal ini dilakukan untuk mengetahui besar debit dan volume limpasan air yang mampu ditampung dan dibuang oleh boezem. Data boezem dilapangannya adalah sebagai berikut :

|                       |                       |
|-----------------------|-----------------------|
| Panjang Boezem        | : 148 m               |
| Lebar Boezem          | : 37 m                |
| Luas Boezem           | : 5476 m <sup>2</sup> |
| Kedalaman             | : 4 m                 |
| Tinggi jagaan         | : 1 m                 |
| Tinggi Tampungan mati | : 2,0 m               |

Data Saluran yang menuju ke boezem Sumur Welut adalah sebagai berikut :

|                               |               |
|-------------------------------|---------------|
| Saluran Ss2 ruas t20b-t20c    |               |
| Tc = 0,51 jam                 | = 30,58 menit |
| Td = 0,51 jam                 | = 30,58 menit |
| R5 = 119,49 mm                |               |
| I5 = 59,74 mm/jam             |               |
| C = 0,40                      |               |
| A = 0,0467 km <sup>2</sup>    |               |
| Q = 0,316 m <sup>3</sup> /det |               |

#### Saluran P8 ruas t59-t60

|                               |               |
|-------------------------------|---------------|
| Tc = 0,63 jam                 | = 37,83 menit |
| Td = 0,63 jam                 | = 37,83 menit |
| R5 = 119,49 mm                |               |
| I5 = 56,34 mm/jam             |               |
| C = 0,53                      |               |
| A = 0,133 km <sup>2</sup>     |               |
| Q = 1,106 m <sup>3</sup> /det |               |

Lahan Kosong

Tc = 6,63 menit

Td = 6,63 menit

R5 = 119,49 mm

I5 = 165,61 mm/jam

C = 0,22

A = 0,0061 km<sup>2</sup>

Q = 0,056 m<sup>3</sup>/det

Tabel 4. 55 Perhitungan Volume limpasan yang masuk pada Boezem Sumur Welut (tc=td)

| No | t (menit) | Saluran sekunder |              |                   | Saluran Primer |           |                | Lahan Kosong  |           |                | Boezem                 |                      |                     |                 |                    |                   |         |
|----|-----------|------------------|--------------|-------------------|----------------|-----------|----------------|---------------|-----------|----------------|------------------------|----------------------|---------------------|-----------------|--------------------|-------------------|---------|
|    |           | Qin<br>m3/det    | Vol in<br>m3 | Vol. in kom<br>m3 | Qin<br>m3/det  | Vol in m3 | Vol. in kom m3 | Qin<br>m3/det | Vol in m3 | Vol. in kom m3 | Q in total<br>(m3/det) | Vol in<br>total (m3) | Vol. in<br>kom (m3) | Vol out<br>(m3) | Tampungan<br>Akhir | tinggi Air<br>(m) | Elevasi |
| 1  | 0         | 0.000            | 0.000        | 0.000             | 0.000          | 0.000     | 0.000          | 0.000         | 0.000     | 0.000          | 0.000                  | 0.000                | 0.000               | 0.000           | 2.000              | +8.00             |         |
| 2  | 1.25      | 0.013            | 1.452        | 1.452             | 0.035          | 3.892     | 3.892          | 0.011         | 1.189     | 1.189          | 0.058                  | 6.533                | 6.533               | 0.000           | 6.533              | 2.001             | +8.00   |
| 3  | 2.50      | 0.026            | 2.420        | 3.871             | 0.069          | 6.487     | 10.379         | 0.021         | 1.981     | 3.169          | 0.116                  | 10.888               | 17.420              | 0.000           | 17.420             | 2.003             | +8.00   |
| 4  | 3.75      | 0.039            | 3.387        | 7.259             | 0.104          | 9.082     | 19.461         | 0.032         | 2.773     | 5.943          | 0.174                  | 15.243               | 32.663              | 0.000           | 32.663             | 2.006             | +8.01   |
| 5  | 5.00      | 0.052            | 4.355        | 11.614            | 0.138          | 11.677    | 31.138         | 0.042         | 3.566     | 9.508          | 0.232                  | 19.598               | 52.261              | 0.000           | 52.261             | 2.010             | +8.01   |
| 6  | 6.25      | 0.065            | 5.323        | 16.937            | 0.173          | 14.272    | 45.410         | 0.053         | 3.566     | 13.074         | 0.290                  | 23.160               | 75.421              | 0.000           | 75.421             | 2.014             | +8.01   |
| 7  | 7.50      | 0.077            | 6.291        | 23.229            | 0.208          | 16.866    | 62.276         | 0.042         | 2.773     | 15.847         | 0.327                  | 25.931               | 101.352             | 0.000           | 101.352            | 2.019             | +8.02   |
| 8  | 8.75      | 0.090            | 7.259        | 30.487            | 0.242          | 19.461    | 81.737         | 0.032         | 1.981     | 17.828         | 0.364                  | 28.701               | 130.053             | 0.000           | 130.053            | 2.024             | +8.02   |
| 9  | 10.00     | 0.103            | 8.227        | 38.714            | 0.277          | 22.056    | 103.793        | 0.021         | 1.189     | 19.016         | 0.401                  | 31.471               | 161.524             | 0.000           | 161.524            | 2.029             | +8.03   |
| 10 | 11.25     | 0.116            | 9.195        | 47.909            | 0.311          | 24.651    | 128.444        | 0.011         | 0.396     | 19.413         | 0.438                  | 34.242               | 195.766             | 0.000           | 195.766            | 2.036             | +8.04   |
| 11 | 12.50     | 0.129            | 10.162       | 58.071            | 0.346          | 27.246    | 155.690        | 0.000         | 0.000     | 19.413         | 0.475                  | 37.408               | 233.174             | 0.000           | 233.174            | 2.043             | +8.04   |
| 12 | 13.75     | 0.142            | 11.130       | 69.202            | 0.381          | 29.841    | 185.531        | 0.000         | 0.000     | 19.413         | 0.523                  | 40.971               | 274.145             | 0.000           | 274.145            | 2.050             | +8.05   |
| 13 | 15.00     | 0.155            | 12.098       | 81.300            | 0.415          | 32.435    | 217.966        | 0.000         | 0.000     | 19.413         | 0.570                  | 44.534               | 318.679             | 0.000           | 318.679            | 2.058             | +8.06   |
| 14 | 16.25     | 0.168            | 13.066       | 94.366            | 0.450          | 35.030    | 252.997        | 0.000         | 0.000     | 19.413         | 0.618                  | 48.096               | 366.775             | 0.000           | 366.775            | 2.067             | +8.07   |
| 15 | 17.50     | 0.181            | 14.034       | 108.400           | 0.484          | 37.625    | 290.622        | 0.000         | 0.000     | 19.413         | 0.665                  | 51.659               | 418.434             | 0.000           | 418.434            | 2.076             | +8.08   |
| 16 | 18.75     | 0.194            | 15.002       | 123.401           | 0.519          | 40.220    | 330.842        | 0.000         | 0.000     | 19.413         | 0.713                  | 55.222               | 473.656             | 0.000           | 473.656            | 2.086             | +8.09   |
| 17 | 20.00     | 0.206            | 15.970       | 139.371           | 0.554          | 42.815    | 373.656        | 0.000         | 0.000     | 19.413         | 0.760                  | 58.784               | 532.440             | 0.000           | 532.440            | 2.097             | +8.10   |
| 18 | 21.25     | 0.219            | 16.937       | 156.308           | 0.588          | 45.410    | 419.066        | 0.000         | 0.000     | 19.413         | 0.808                  | 62.347               | 594.787             | 0.000           | 594.787            | 2.109             | +8.11   |
| 19 | 22.50     | 0.232            | 17.905       | 174.214           | 0.623          | 48.004    | 467.071        | 0.000         | 0.000     | 19.413         | 0.855                  | 65.910               | 660.697             | 0.000           | 660.697            | 2.121             | +8.12   |
| 20 | 23.75     | 0.245            | 18.873       | 193.087           | 0.657          | 50.599    | 517.670        | 0.000         | 0.000     | 19.413         | 0.903                  | 69.472               | 730.169             | 0.000           | 730.169            | 2.133             | +8.13   |
| 21 | 25.00     | 0.258            | 19.841       | 212.928           | 0.692          | 53.194    | 570.864        | 0.000         | 0.000     | 19.413         | 0.950                  | 73.035               | 803.205             | 0.000           | 803.205            | 2.147             | +8.15   |
| 22 | 26.25     | 0.271            | 20.809       | 233.737           | 0.727          | 55.789    | 626.653        | 0.000         | 0.000     | 19.413         | 0.998                  | 76.598               | 879.803             | 0.000           | 879.803            | 2.161             | +8.16   |
| 23 | 27.50     | 0.284            | 21.777       | 255.514           | 0.761          | 58.384    | 685.037        | 0.000         | 0.000     | 19.413         | 1.045                  | 80.161               | 959.963             | 0.000           | 959.963            | 2.175             | +8.18   |
| 24 | 28.75     | 0.297            | 22.745       | 278.258           | 0.796          | 60.979    | 746.016        | 0.000         | 0.000     | 19.413         | 1.093                  | 83.723               | 1043.686            | 0.000           | 1043.686           | 2.191             | +8.19   |

Tabel 4. 55 Perhitungan Volume limpasan yang masuk pada Boezem Sumur Welut (tc=td) (Lanjutan)

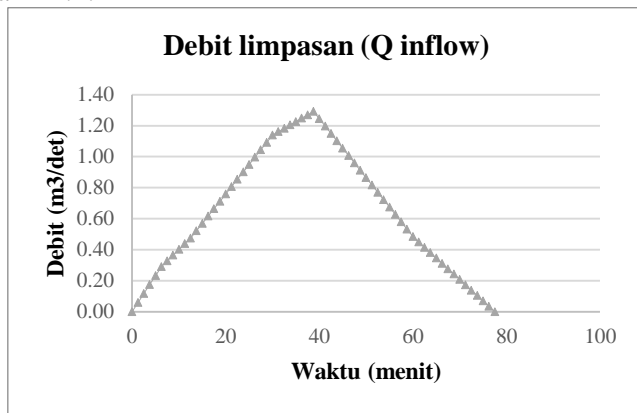
| No | t (menit) | Saluran sekunder |              |                   | Saluran Primer |           |                | Lahan Kosong  |           |                | Boezem                 |                      |                     |                 |                    |                   |         |
|----|-----------|------------------|--------------|-------------------|----------------|-----------|----------------|---------------|-----------|----------------|------------------------|----------------------|---------------------|-----------------|--------------------|-------------------|---------|
|    |           | Qin<br>m3/det    | Vol in<br>m3 | Vol. in kom<br>m3 | Qin<br>m3/det  | Vol in m3 | Vol. in kom m3 | Qin<br>m3/det | Vol in m3 | Vol. in kom m3 | Q in total<br>(m3/det) | Vol in<br>total (m3) | Vol. in kom<br>(m3) | Vol out<br>(m3) | Tampungan<br>Akhir | tinggi Air<br>(m) | Elevasi |
| 25 | 30.00     | 0.310            | 22.745       | 301.003           | 0.830          | 63.573    | 809.589        | 0.000         | 0.000     | 19.413         | 1.140                  | 86.318               | 1130.004            | 0.000           | 1130.004           | 2.206             | +8.21   |
| 26 | 31.25     | 0.297            | 21.777       | 322.779           | 0.865          | 66.168    | 875.757        | 0.000         | 0.000     | 19.413         | 1.162                  | 87.945               | 1217.949            | 0.000           | 1217.949           | 2.222             | +8.22   |
| 27 | 32.50     | 0.284            | 20.809       | 343.588           | 0.900          | 68.763    | 944.521        | 0.000         | 0.000     | 19.413         | 1.183                  | 89.572               | 1307.521            | 0.000           | 1307.521           | 2.239             | +8.24   |
| 28 | 33.75     | 0.271            | 19.841       | 363.429           | 0.934          | 71.358    | 1015.879       | 0.000         | 0.000     | 19.413         | 1.205                  | 91.199               | 1398.721            | 0.000           | 1398.721           | 2.255             | +8.26   |
| 29 | 35.00     | 0.258            | 18.873       | 382.303           | 0.969          | 73.953    | 1089.831       | 0.000         | 0.000     | 19.413         | 1.227                  | 92.826               | 1491.547            | 0.000           | 1491.547           | 2.272             | +8.27   |
| 30 | 36.25     | 0.245            | 17.905       | 400.208           | 1.003          | 76.548    | 1166.379       | 0.000         | 0.000     | 19.413         | 1.249                  | 94.453               | 1585.999            | 0.000           | 1585.999           | 2.290             | +8.29   |
| 31 | 37.50     | 0.232            | 16.937       | 417.145           | 1.038          | 79.143    | 1245.522       | 0.000         | 0.000     | 19.413         | 1.270                  | 96.080               | 1682.079            | 0.000           | 1682.079           | 2.307             | +8.31   |
| 32 | 38.75     | 0.219            | 15.970       | 433.115           | 1.073          | 79.143    | 1324.664       | 0.000         | 0.000     | 19.413         | 1.292                  | 95.112               | 1777.192            | 0.000           | 1777.192           | 2.325             | +8.32   |
| 33 | 40.00     | 0.206            | 15.002       | 448.117           | 1.038          | 76.548    | 1401.212       | 0.000         | 0.000     | 19.413         | 1.244                  | 91.549               | 1868.741            | 0.000           | 1868.741           | 2.341             | +8.34   |
| 34 | 41.25     | 0.194            | 14.034       | 462.151           | 1.003          | 73.953    | 1475.165       | 0.000         | 0.000     | 19.413         | 1.197                  | 87.987               | 1956.728            | 0.000           | 1956.728           | 2.357             | +8.36   |
| 35 | 42.50     | 0.181            | 13.066       | 475.217           | 0.969          | 71.358    | 1546.523       | 0.000         | 0.000     | 19.413         | 1.149                  | 84.424               | 2041.152            | 0.000           | 2041.152           | 2.373             | +8.37   |
| 36 | 43.75     | 0.168            | 12.098       | 487.315           | 0.934          | 68.763    | 1615.286       | 0.000         | 0.000     | 19.413         | 1.102                  | 80.861               | 2122.013            | 0.000           | 2122.013           | 2.388             | +8.39   |
| 37 | 45.00     | 0.155            | 11.130       | 498.445           | 0.900          | 66.168    | 1681.454       | 0.000         | 0.000     | 19.413         | 1.054                  | 77.299               | 2199.312            | 0.000           | 2199.312           | 2.402             | +8.40   |
| 38 | 46.25     | 0.142            | 10.162       | 508.608           | 0.865          | 63.573    | 1745.028       | 0.000         | 0.000     | 19.413         | 1.007                  | 73.736               | 2273.048            | 0.000           | 2273.048           | 2.415             | +8.42   |
| 39 | 47.50     | 0.129            | 9.195        | 517.802           | 0.830          | 60.979    | 1806.006       | 0.000         | 0.000     | 19.413         | 0.959                  | 70.173               | 2343.221            | 0.000           | 2343.221           | 2.428             | +8.43   |
| 40 | 48.75     | 0.116            | 8.227        | 526.029           | 0.796          | 58.384    | 1864.390       | 0.000         | 0.000     | 19.413         | 0.912                  | 66.611               | 2409.832            | 0.000           | 2409.832           | 2.440             | +8.44   |
| 41 | 50.00     | 0.103            | 7.259        | 533.288           | 0.761          | 55.789    | 1920.179       | 0.000         | 0.000     | 19.413         | 0.864                  | 63.048               | 2472.880            | 0.000           | 2472.880           | 2.452             | +8.45   |
| 42 | 51.25     | 0.090            | 6.291        | 539.579           | 0.727          | 53.194    | 1973.373       | 0.000         | 0.000     | 19.413         | 0.817                  | 59.485               | 2532.365            | 0.000           | 2532.365           | 2.462             | +8.46   |
| 43 | 52.50     | 0.077            | 5.323        | 544.902           | 0.692          | 50.599    | 2023.973       | 0.000         | 0.000     | 19.413         | 0.769                  | 55.923               | 2588.287            | 0.000           | 2588.287           | 2.473             | +8.47   |
| 44 | 53.75     | 0.065            | 4.355        | 549.257           | 0.657          | 48.004    | 2071.977       | 0.000         | 0.000     | 19.413         | 0.722                  | 52.360               | 2640.647            | 0.000           | 2640.647           | 2.482             | +8.48   |
| 45 | 55.00     | 0.052            | 3.387        | 552.645           | 0.623          | 45.410    | 2117.387       | 0.000         | 0.000     | 19.413         | 0.674                  | 48.797               | 2689.444            | 0.000           | 2689.444           | 2.491             | +8.49   |
| 46 | 56.25     | 0.039            | 2.420        | 555.065           | 0.588          | 42.815    | 2160.201       | 0.000         | 0.000     | 19.413         | 0.627                  | 45.234               | 2734.679            | 0.000           | 2734.679           | 2.499             | +8.50   |
| 47 | 57.50     | 0.026            | 1.452        | 556.516           | 0.554          | 40.220    | 2200.421       | 0.000         | 0.000     | 19.413         | 0.579                  | 41.672               | 2776.350            | 0.000           | 2776.350           | 2.507             | +8.51   |
| 48 | 58.75     | 0.013            | 0.484        | 557.000           | 0.519          | 37.625    | 2238.047       | 0.000         | 0.000     | 19.413         | 0.532                  | 38.109               | 2814.459            | 0.000           | 2814.459           | 2.514             | +8.51   |

Tabel 4. 55 Perhitungan Volume limpasan yang masuk pada Boezem Sumur Welut (tc=td) (Lanjutan)

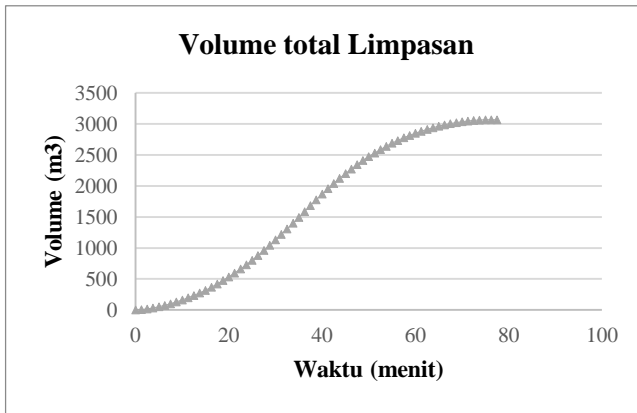
| No | t (menit) | Saluran sekunder |              |                   | Saluran Primer |           |                | Lahan Kosong  |           |                | Boezem                 |                      |                     |                 |                           |                   |         |
|----|-----------|------------------|--------------|-------------------|----------------|-----------|----------------|---------------|-----------|----------------|------------------------|----------------------|---------------------|-----------------|---------------------------|-------------------|---------|
|    |           | Qin<br>m3/det    | Vol in<br>m3 | Vol. in kom<br>m3 | Qin<br>m3/det  | Vol in m3 | Vol. in kom m3 | Qin<br>m3/det | Vol in m3 | Vol. in kom m3 | Q in total<br>(m3/det) | Vol in<br>total (m3) | Vol. in kom<br>(m3) | Vol out<br>(m3) | Tampungan<br>Akhir<br>(m) | tinggi Air<br>(m) | Elevasi |
| 49 | 60.00     | 0.000            | 0.000        | 557.000           | 0.484          | 35.030    | 2273.077       | 0.000         | 0.000     | 19.413         | 0.484                  | 35.030               | 2849.490            | 0.000           | 2849.490                  | 2.520             | +8.52   |
| 50 | 61.25     | 0.000            | 0.000        | 557.000           | 0.450          | 32.435    | 2305.512       | 0.000         | 0.000     | 19.413         | 0.450                  | 32.435               | 2881.925            | 0.000           | 2881.925                  | 2.526             | +8.53   |
| 51 | 62.50     | 0.000            | 0.000        | 557.000           | 0.415          | 29.841    | 2335.353       | 0.000         | 0.000     | 19.413         | 0.415                  | 29.841               | 2911.766            | 0.000           | 2911.766                  | 2.532             | +8.53   |
| 52 | 63.75     | 0.000            | 0.000        | 557.000           | 0.381          | 27.246    | 2362.599       | 0.000         | 0.000     | 19.413         | 0.381                  | 27.246               | 2939.012            | 0.000           | 2939.012                  | 2.537             | +8.54   |
| 53 | 65.00     | 0.000            | 0.000        | 557.000           | 0.346          | 24.651    | 2387.250       | 0.000         | 0.000     | 19.413         | 0.346                  | 24.651               | 2963.663            | 0.000           | 2963.663                  | 2.541             | +8.54   |
| 54 | 66.25     | 0.000            | 0.000        | 557.000           | 0.311          | 22.056    | 2409.306       | 0.000         | 0.000     | 19.413         | 0.311                  | 22.056               | 2985.719            | 0.000           | 2985.719                  | 2.545             | +8.55   |
| 55 | 67.50     | 0.000            | 0.000        | 557.000           | 0.277          | 19.461    | 2428.767       | 0.000         | 0.000     | 19.413         | 0.277                  | 19.461               | 3005.180            | 0.000           | 3005.180                  | 2.549             | +8.55   |
| 56 | 68.75     | 0.000            | 0.000        | 557.000           | 0.242          | 16.866    | 2445.634       | 0.000         | 0.000     | 19.413         | 0.242                  | 16.866               | 3022.046            | 0.000           | 3022.046                  | 2.552             | +8.55   |
| 57 | 70.00     | 0.000            | 0.000        | 557.000           | 0.208          | 14.272    | 2459.905       | 0.000         | 0.000     | 19.413         | 0.208                  | 14.272               | 3036.318            | 0.000           | 3036.318                  | 2.554             | +8.55   |
| 58 | 71.25     | 0.000            | 0.000        | 557.000           | 0.173          | 11.677    | 2471.582       | 0.000         | 0.000     | 19.413         | 0.173                  | 11.677               | 3047.995            | 0.000           | 3047.995                  | 2.557             | +8.56   |
| 59 | 72.50     | 0.000            | 0.000        | 557.000           | 0.138          | 9.082     | 2480.664       | 0.000         | 0.000     | 19.413         | 0.138                  | 9.082                | 3057.077            | 0.000           | 3057.077                  | 2.558             | +8.56   |
| 60 | 73.75     | 0.000            | 0.000        | 557.000           | 0.104          | 6.487     | 2487.151       | 0.000         | 0.000     | 19.413         | 0.104                  | 6.487                | 3063.564            | 0.000           | 3063.564                  | 2.559             | +8.56   |
| 61 | 75.00     | 0.000            | 0.000        | 557.000           | 0.069          | 3.892     | 2491.043       | 0.000         | 0.000     | 19.413         | 0.069                  | 3.892                | 3067.456            | 0.000           | 3067.456                  | 2.560             | +8.56   |
| 62 | 76.25     | 0.000            | 0.000        | 557.000           | 0.035          | 1.297     | 2492.341       | 0.000         | 0.000     | 19.413         | 0.035                  | 1.297                | 3068.753            | 0.000           | 3068.753                  | 2.560             | +8.56   |
| 63 | 77.50     | 0.000            | 0.000        | 557.000           | 0.000          | 0.000     | 2492.341       | 0.000         | 0.000     | 19.413         | 0.000                  | 0.000                | 3068.753            | 0.000           | 3068.753                  | 2.560             | +8.56   |

(Sumber: Hasil Perhitungan)

Dari tabel 4.52 dapat disajikan dalam bentuk grafik 4.1 dan grafik 4.2.



Grafik 4. 1 Debit limpasan menuju boezem Sumur Welut



Grafik 4. 2 Volume limpasan menuju boezem Sumur Welut

Grafik 4.1 menunjukkan bahwa debit limpasan total yang menuju boezem Sumur Welut sebesar 1,294 m<sup>3</sup>/det, dan grafik 4.2 menunjukkan bahwa volume limpasan total yang menuju boezem Sumur Welut sebesar 3068,75 m<sup>3</sup>.

Boezem Sumur Welut direncanakan dapat menahan hujan dengan waktu  $t_d = 2$  jam sehingga Data Saluran yang menuju ke boezem Sumur Welut adalah sebagai berikut :

Saluran Ss2 ruas t20b-t20c

|    |                             |               |
|----|-----------------------------|---------------|
| Tc | = 0,51 jam                  | = 30,58 menit |
| Td | = 2 jam                     | = 120 menit   |
| R5 | = 119,49 mm                 |               |
| I5 | = 59,74 mm/jam              |               |
| C  | = 0,40                      |               |
| A  | = 0,0467 km <sup>2</sup>    |               |
| Q  | = 0,316 m <sup>3</sup> /det |               |

Saluran P8 ruas t59-t60

|     |                             |               |
|-----|-----------------------------|---------------|
| Tc  | = 0,65 jam                  | = 39,18 menit |
| Td  | = 2 jam                     | = 120 menit   |
| R5  | = 119,49 mm                 |               |
| I10 | = 56,34 mm/jam              |               |
| C   | = 0,53                      |               |
| A   | = 0,132 km <sup>2</sup>     |               |
| Q   | = 1,084 m <sup>3</sup> /det |               |

Lahan Kosong

|    |                             |             |
|----|-----------------------------|-------------|
| Tc | = 6,63 menit                |             |
| Td | = 2 jam                     | = 120 menit |
| R5 | = 119,49 mm                 |             |
| I5 | = 165,61 mm/jam             |             |
| C  | = 0,22                      |             |
| A  | = 0,0061 km <sup>2</sup>    |             |
| Q  | = 0,056 m <sup>3</sup> /det |             |

Tabel 4. 56 Perhitungan Volume limpasan yang masuk pada Boezem Sumur Welut (td=2jam)

| No | t (menit) | Saluran sekunder |              |                   | Saluran Primer |           |                   | Lahan Kosong  |           |                   | Boezem                 |                      |                     |                 |                    |                   |                   |
|----|-----------|------------------|--------------|-------------------|----------------|-----------|-------------------|---------------|-----------|-------------------|------------------------|----------------------|---------------------|-----------------|--------------------|-------------------|-------------------|
|    |           | Qin<br>m3/det    | Vol in<br>m3 | Vol. in kom<br>m3 | Qin<br>m3/det  | Vol in m3 | Vol. in<br>kom m3 | Qin<br>m3/det | Vol in m3 | Vol. in<br>kom m3 | Q in total<br>(m3/det) | Vol in<br>total (m3) | Vol. in<br>kom (m3) | Vol out<br>(m3) | Tampungan<br>Akhir | tinggi<br>Air (m) | Elevasi<br>MA (m) |
| 1  | 0         | 0.000            | 0.000        | 0.000             | 0.000          | 0.000     | 0.000             | 0.000         | 0.000     | 0.000             | 0.000                  | 0.000                | 0.000               | 0.000           | 2.000              | +8.00             |                   |
| 2  | 2.50      | 0.026            | 5.807        | 5.807             | 0.072          | 16.137    | 16.137            | 0.021         | 4.754     | 4.754             | 0.119                  | 26.698               | 26.698              | 0.000           | 26.698             | 2.005             | +8.00             |
| 3  | 5.00      | 0.052            | 9.679        | 15.486            | 0.143          | 26.895    | 43.031            | 0.042         | 7.924     | 7.924             | 0.237                  | 44.497               | 71.195              | 0.000           | 71.195             | 2.013             | +8.01             |
| 4  | 7.50      | 0.077            | 13.550       | 29.036            | 0.215          | 37.652    | 80.684            | 0.063         | 11.093    | 11.093            | 0.356                  | 62.295               | 133.490             | 0.000           | 133.490            | 2.024             | +8.02             |
| 5  | 10.00     | 0.103            | 17.421       | 46.457            | 0.287          | 48.410    | 129.094           | 0.085         | 14.262    | 14.262            | 0.475                  | 80.094               | 213.584             | 0.000           | 213.584            | 2.039             | +8.04             |
| 6  | 12.50     | 0.129            | 21.293       | 67.750            | 0.359          | 59.168    | 188.262           | 0.106         | 17.432    | 17.432            | 0.593                  | 97.893               | 311.477             | 0.000           | 311.477            | 2.057             | +8.06             |
| 7  | 15.00     | 0.155            | 25.164       | 92.914            | 0.430          | 69.926    | 258.189           | 0.127         | 20.601    | 20.601            | 0.712                  | 115.691              | 427.168             | 0.000           | 427.168            | 2.078             | +8.08             |
| 8  | 17.50     | 0.181            | 29.036       | 121.950           | 0.502          | 80.684    | 338.872           | 0.148         | 23.771    | 23.771            | 0.831                  | 133.490              | 560.658             | 0.000           | 560.658            | 2.102             | +8.10             |
| 9  | 20.00     | 0.206            | 32.907       | 154.857           | 0.574          | 91.442    | 430.314           | 0.169         | 26.940    | 26.940            | 0.949                  | 151.289              | 711.947             | 0.000           | 711.947            | 2.130             | +8.13             |
| 10 | 22.50     | 0.232            | 36.778       | 191.635           | 0.645          | 102.200   | 532.514           | 0.190         | 30.109    | 30.109            | 1.068                  | 169.087              | 881.035             | 0.000           | 881.035            | 2.161             | +8.16             |
| 11 | 25.00     | 0.258            | 40.650       | 232.285           | 0.717          | 112.957   | 645.471           | 0.211         | 33.279    | 33.279            | 1.187                  | 186.886              | 1067.921            | 0.000           | 1067.921           | 2.195             | +8.20             |
| 12 | 27.50     | 0.284            | 44.521       | 276.806           | 0.789          | 123.715   | 769.187           | 0.232         | 36.448    | 36.448            | 1.305                  | 204.685              | 1272.606            | 0.000           | 1272.606           | 2.232             | +8.23             |
| 13 | 30.00     | 0.310            | 48.393       | 325.199           | 0.861          | 134.473   | 903.660           | 0.254         | 39.618    | 39.618            | 1.424                  | 222.484              | 1495.089            | 0.000           | 1495.089           | 2.273             | +8.27             |
| 14 | 32.50     | 0.336            | 52.264       | 377.463           | 0.932          | 145.231   | 1048.891          | 0.275         | 42.787    | 42.787            | 1.543                  | 240.282              | 1735.371            | 0.000           | 1735.371           | 2.317             | +8.32             |
| 15 | 35.00     | 0.361            | 56.136       | 433.599           | 1.004          | 155.989   | 1204.880          | 0.296         | 45.956    | 45.956            | 1.661                  | 258.081              | 1993.452            | 0.000           | 1993.452           | 2.364             | +8.36             |
| 16 | 37.50     | 0.387            | 58.071       | 491.670           | 1.076          | 161.368   | 1366.248          | 0.317         | 47.541    | 47.541            | 1.780                  | 266.980              | 2260.432            | 0.000           | 2260.432           | 2.413             | +8.41             |
| 17 | 40.00     | 0.387            | 58.071       | 549.741           | 1.076          | 161.368   | 1527.616          | 0.317         | 47.541    | 47.541            | 1.780                  | 266.980              | 2527.413            | 0.000           | 2527.413           | 2.462             | +8.46             |
| 18 | 42.50     | 0.387            | 58.071       | 607.813           | 1.076          | 161.368   | 1688.983          | 0.317         | 47.541    | 47.541            | 1.780                  | 266.980              | 2794.393            | 0.000           | 2794.393           | 2.510             | +8.51             |
| 19 | 45.00     | 0.387            | 58.071       | 665.884           | 1.076          | 161.368   | 1850.351          | 0.317         | 47.541    | 47.541            | 1.780                  | 266.980              | 3061.373            | 0.000           | 3061.373           | 2.559             | +8.56             |
| 20 | 47.50     | 0.387            | 58.071       | 723.955           | 1.076          | 161.368   | 2011.719          | 0.317         | 47.541    | 47.541            | 1.780                  | 266.980              | 3328.353            | 0.000           | 3328.353           | 2.608             | +8.61             |
| 21 | 50.00     | 0.387            | 58.071       | 782.026           | 1.076          | 161.368   | 2173.087          | 0.317         | 47.541    | 47.541            | 1.780                  | 266.980              | 3595.334            | 0.000           | 3595.334           | 2.657             | +8.66             |
| 22 | 52.50     | 0.387            | 58.071       | 840.098           | 1.076          | 161.368   | 2334.455          | 0.317         | 47.541    | 47.541            | 1.780                  | 266.980              | 3862.314            | 0.000           | 3862.314           | 2.705             | +8.71             |
| 23 | 55.00     | 0.387            | 58.071       | 898.169           | 1.076          | 161.368   | 2495.823          | 0.317         | 47.541    | 47.541            | 1.780                  | 266.980              | 4129.294            | 0.000           | 4129.294           | 2.754             | +8.75             |
| 24 | 57.50     | 0.387            | 58.071       | 956.240           | 1.076          | 161.368   | 2657.191          | 0.317         | 47.541    | 47.541            | 1.780                  | 266.980              | 4396.274            | 0.000           | 4396.274           | 2.803             | +8.80             |

Tabel 4. 56 Perhitungan Volume limpasan yang masuk pada Boezem Sumur Welut (td=2jam) (Lanjutan)

| No | t (menit) | Saluran sekunder |              |                   | Saluran Primer |           |                   | Lahan Kosong  |           |                   | Boezem                 |                      |                     |                 |                    |                   |                   |
|----|-----------|------------------|--------------|-------------------|----------------|-----------|-------------------|---------------|-----------|-------------------|------------------------|----------------------|---------------------|-----------------|--------------------|-------------------|-------------------|
|    |           | Qin<br>m3/det    | Vol in<br>m3 | Vol. in kom<br>m3 | Qin<br>m3/det  | Vol in m3 | Vol. in<br>kom m3 | Qin<br>m3/det | Vol in m3 | Vol. in<br>kom m3 | Q in total<br>(m3/det) | Vol in<br>total (m3) | Vol. in<br>kom (m3) | Vol out<br>(m3) | Tampungan<br>Akhir | tinggi<br>Air (m) | Elevasi<br>MA (m) |
| 25 | 60.00     | 0.387            | 58.071       | 1014.311          | 1.076          | 161.368   | 2818.558          | 0.317         | 47.541    | 47.541            | 1.780                  | 266.980              | 4663.254            | 0.000           | 4663.254           | 2.852             | +8.85             |
| 26 | 62.50     | 0.387            | 58.071       | 1072.383          | 1.076          | 161.368   | 2979.926          | 0.317         | 47.541    | 47.541            | 1.780                  | 266.980              | 4930.235            | 0.000           | 4930.235           | 2.900             | +8.90             |
| 27 | 65.00     | 0.387            | 58.071       | 1130.454          | 1.076          | 161.368   | 3141.294          | 0.317         | 47.541    | 47.541            | 1.780                  | 266.980              | 5197.215            | 0.000           | 5197.215           | 2.949             | +8.95             |
| 28 | 67.50     | 0.387            | 58.071       | 1188.525          | 1.076          | 161.368   | 3302.662          | 0.317         | 47.541    | 47.541            | 1.780                  | 266.980              | 5464.195            | 0.000           | 5464.195           | 2.998             | +9.00             |
| 29 | 70.00     | 0.387            | 58.071       | 1246.597          | 1.076          | 161.368   | 3464.030          | 0.317         | 47.541    | 47.541            | 1.780                  | 266.980              | 5731.175            | 0.000           | 5731.175           | 3.047             | +9.05             |
| 30 | 72.50     | 0.387            | 58.071       | 1304.668          | 1.076          | 161.368   | 3625.398          | 0.317         | 47.541    | 47.541            | 1.780                  | 266.980              | 5998.155            | 0.000           | 5998.155           | 3.095             | +9.10             |
| 31 | 75.00     | 0.387            | 58.071       | 1362.739          | 1.076          | 161.368   | 3786.765          | 0.317         | 47.541    | 47.541            | 1.780                  | 266.980              | 6265.136            | 0.000           | 6265.136           | 3.144             | +9.14             |
| 32 | 77.50     | 0.387            | 58.071       | 1420.810          | 1.076          | 161.368   | 3948.133          | 0.317         | 47.541    | 47.541            | 1.780                  | 266.980              | 6532.116            | 0.000           | 6532.116           | 3.193             | +9.19             |
| 33 | 80.00     | 0.387            | 58.071       | 1478.882          | 1.076          | 161.368   | 4109.501          | 0.317         | 47.541    | 47.541            | 1.780                  | 266.980              | 6799.096            | 0.000           | 6799.096           | 3.242             | +9.24             |
| 34 | 82.50     | 0.387            | 58.071       | 1536.953          | 1.076          | 161.368   | 4270.869          | 0.317         | 47.541    | 47.541            | 1.780                  | 266.980              | 7066.076            | 0.000           | 7066.076           | 3.290             | +9.29             |
| 35 | 85.00     | 0.387            | 58.071       | 1595.024          | 1.076          | 161.368   | 4432.237          | 0.317         | 47.541    | 47.541            | 1.780                  | 266.980              | 7333.057            | 0.000           | 7333.057           | 3.339             | +9.34             |
| 36 | 87.50     | 0.387            | 58.071       | 1653.095          | 1.076          | 161.368   | 4593.605          | 0.317         | 47.541    | 47.541            | 1.780                  | 266.980              | 7600.037            | 0.000           | 7600.037           | 3.388             | +9.39             |
| 37 | 90.00     | 0.387            | 58.071       | 1711.167          | 1.076          | 161.368   | 4754.973          | 0.317         | 47.541    | 47.541            | 1.780                  | 266.980              | 7867.017            | 0.000           | 7867.017           | 3.437             | +9.44             |
| 38 | 92.50     | 0.387            | 58.071       | 1769.238          | 1.076          | 161.368   | 4916.340          | 0.317         | 47.541    | 47.541            | 1.780                  | 266.980              | 8133.997            | 0.000           | 8133.997           | 3.485             | +9.49             |
| 39 | 95.00     | 0.387            | 58.071       | 1827.309          | 1.076          | 161.368   | 5077.708          | 0.317         | 47.541    | 47.541            | 1.780                  | 266.980              | 8400.977            | 0.000           | 8400.977           | 3.534             | +9.53             |
| 40 | 97.50     | 0.387            | 58.071       | 1885.381          | 1.076          | 161.368   | 5239.076          | 0.317         | 47.541    | 47.541            | 1.780                  | 266.980              | 8667.958            | 0.000           | 8667.958           | 3.583             | +9.58             |
| 41 | 100.00    | 0.387            | 58.071       | 1943.452          | 1.076          | 161.368   | 5400.444          | 0.317         | 47.541    | 47.541            | 1.780                  | 266.980              | 8934.938            | 0.000           | 8934.938           | 3.632             | +9.63             |
| 42 | 102.50    | 0.387            | 58.071       | 2001.523          | 1.076          | 161.368   | 5561.812          | 0.317         | 47.541    | 47.541            | 1.780                  | 266.980              | 9201.918            | 0.000           | 9201.918           | 3.680             | +9.68             |
| 43 | 105.00    | 0.387            | 58.071       | 2059.594          | 1.076          | 161.368   | 5723.180          | 0.317         | 47.541    | 47.541            | 1.780                  | 266.980              | 9468.898            | 0.000           | 9468.898           | 3.729             | +9.73             |
| 44 | 107.50    | 0.387            | 58.071       | 2117.666          | 1.076          | 161.368   | 5884.547          | 0.317         | 47.541    | 47.541            | 1.780                  | 266.980              | 9735.878            | 0.000           | 9735.878           | 3.778             | +9.78             |
| 45 | 110.00    | 0.387            | 58.071       | 2175.737          | 1.076          | 161.368   | 6045.915          | 0.317         | 47.541    | 47.541            | 1.780                  | 266.980              | 10002.859           | 0.000           | 10002.859          | 3.827             | +9.83             |
| 46 | 112.50    | 0.387            | 58.071       | 2233.808          | 1.076          | 161.368   | 6207.283          | 0.317         | 47.541    | 47.541            | 1.780                  | 266.980              | 10269.839           | 0.000           | 10269.839          | 3.875             | +9.88             |
| 47 | 115.00    | 0.387            | 58.071       | 2291.879          | 1.076          | 161.368   | 6368.651          | 0.317         | 47.541    | 47.541            | 1.780                  | 266.980              | 10536.819           | 0.000           | 10536.819          | 3.924             | +9.92             |
| 48 | 117.50    | 0.387            | 58.071       | 2349.951          | 1.076          | 161.368   | 6530.019          | 0.317         | 47.541    | 47.541            | 1.780                  | 266.980              | 10803.799           | 0.000           | 10803.799          | 3.973             | +9.97             |

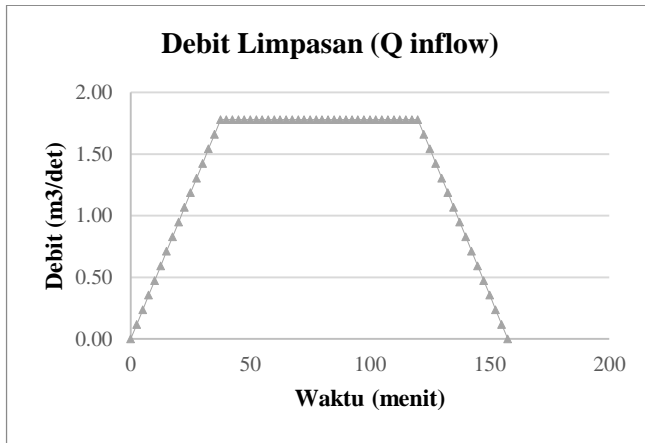
Tabel 4. 56 Perhitungan Volume limpasan yang masuk pada Boezem Sumur Welut (td=2jam) (Lanjutan)

| No | t (menit) | Saluran sekunder |              |                   | Saluran Primer |           |                   | Lahan Kosong  |           |                   | Boezem                 |                      |                     |                 |                    |                   |                   |
|----|-----------|------------------|--------------|-------------------|----------------|-----------|-------------------|---------------|-----------|-------------------|------------------------|----------------------|---------------------|-----------------|--------------------|-------------------|-------------------|
|    |           | Qin<br>m3/det    | Vol in<br>m3 | Vol. in kom<br>m3 | Qin<br>m3/det  | Vol in m3 | Vol. in<br>kom m3 | Qin<br>m3/det | Vol in m3 | Vol. in<br>kom m3 | Q in total<br>(m3/det) | Vol in<br>total (m3) | Vol. in<br>kom (m3) | Vol out<br>(m3) | Tampungan<br>Akhir | tinggi<br>Air (m) | Elevasi<br>MA (m) |
| 49 | 120.00    | 0.387            | 56.136       | 2406.086          | 1.076          | 155.989   | 6686.008          | 0.317         | 45.956    | 45.956            | 1.780                  | 258.081              | 11061.880           | 0.000           | 11061.880          | 4.020             | +10.02            |
| 50 | 122.50    | 0.361            | 52.264       | 2458.350          | 1.004          | 145.231   | 6831.239          | 0.296         | 42.787    | 42.787            | 1.661                  | 240.282              | 11302.162           | 0.000           | 11302.162          | 4.064             | +10.06            |
| 51 | 125.00    | 0.336            | 48.393       | 2506.743          | 0.932          | 134.473   | 6965.712          | 0.275         | 39.618    | 39.618            | 1.543                  | 222.484              | 11524.646           | 0.000           | 11524.646          | 4.105             | +10.10            |
| 52 | 127.50    | 0.310            | 44.521       | 2551.264          | 0.861          | 123.715   | 7089.427          | 0.254         | 36.448    | 36.448            | 1.424                  | 204.685              | 11729.331           | 0.000           | 11729.331          | 4.142             | +10.14            |
| 53 | 130.00    | 0.284            | 40.650       | 2591.914          | 0.789          | 112.957   | 7202.385          | 0.232         | 33.279    | 33.279            | 1.305                  | 186.886              | 11916.217           | 0.000           | 11916.217          | 4.176             | +10.18            |
| 54 | 132.50    | 0.258            | 36.778       | 2628.693          | 0.717          | 102.200   | 7304.585          | 0.211         | 30.109    | 30.109            | 1.187                  | 169.087              | 12085.304           | 0.000           | 12085.304          | 4.207             | +10.21            |
| 55 | 135.00    | 0.232            | 32.907       | 2661.600          | 0.645          | 91.442    | 7396.026          | 0.190         | 26.940    | 26.940            | 1.068                  | 151.289              | 12236.593           | 0.000           | 12236.593          | 4.235             | +10.23            |
| 56 | 137.50    | 0.206            | 29.036       | 2690.635          | 0.574          | 80.684    | 7476.710          | 0.169         | 23.771    | 23.771            | 0.949                  | 133.490              | 12370.083           | 0.000           | 12370.083          | 4.259             | +10.26            |
| 57 | 140.00    | 0.181            | 25.164       | 2715.800          | 0.502          | 69.926    | 7546.636          | 0.148         | 20.601    | 20.601            | 0.831                  | 115.691              | 12485.775           | 0.000           | 12485.775          | 4.280             | +10.28            |
| 58 | 142.50    | 0.155            | 21.293       | 2737.092          | 0.430          | 59.168    | 7605.804          | 0.127         | 17.432    | 17.432            | 0.712                  | 97.893               | 12583.667           | 0.000           | 12583.667          | 4.298             | +10.30            |
| 59 | 145.00    | 0.129            | 17.421       | 2754.514          | 0.359          | 48.410    | 7654.215          | 0.106         | 14.262    | 14.262            | 0.593                  | 80.094               | 12663.761           | 0.000           | 12663.761          | 4.313             | +10.31            |
| 60 | 147.50    | 0.103            | 13.550       | 2768.064          | 0.287          | 37.652    | 7691.867          | 0.085         | 11.093    | 11.093            | 0.475                  | 62.295               | 12726.057           | 0.000           | 12726.057          | 4.324             | +10.32            |
| 61 | 150.00    | 0.077            | 9.679        | 2777.742          | 0.215          | 26.895    | 7718.762          | 0.063         | 7.924     | 7.924             | 0.356                  | 44.497               | 12770.554           | 0.000           | 12770.554          | 4.332             | +10.33            |
| 62 | 152.50    | 0.052            | 5.807        | 2783.549          | 0.143          | 16.137    | 7734.899          | 0.042         | 4.754     | 4.754             | 0.237                  | 26.698               | 12797.252           | 0.000           | 12797.252          | 4.337             | +10.34            |
| 63 | 155.00    | 0.026            | 1.936        | 2785.485          | 0.072          | 5.379     | 7740.278          | 0.021         | 1.585     | 1.585             | 0.119                  | 8.899                | 12806.151           | 0.000           | 12806.151          | 4.339             | +10.34            |
| 64 | 157.50    | 0.000            | 0.000        | 2785.485          | 0.000          | 0.000     | 7740.278          | 0.000         | 0.000     | 0.000             | 0.000                  | 12806.151            | 0.000               | 12806.151       | 4.339              | +10.34            |                   |

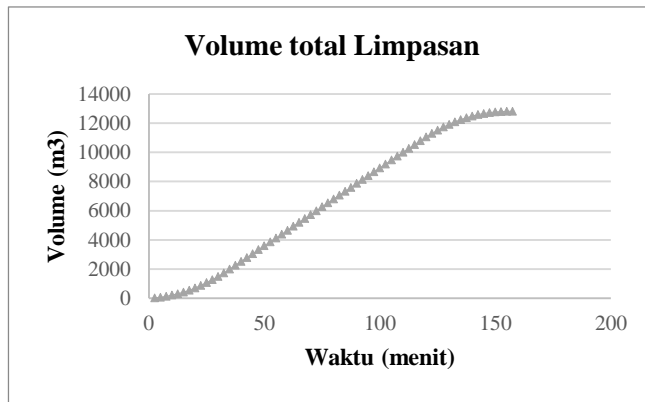
(Sumber: Hasil Perhitungan)

Dari perhitungan tabel 4.52 menunjukkan bahwa *Boezem* Sumur Welut mampu menampung hujan yang terjadi selama 2 jam dengan ketinggian muka air 4,339 m.

Dari tabel 4.52 dapat disajikan dalam bentuk grafik 4.3 dan grafik 4.4.



Grafik 4. 3 Debit limpasan menuju boezem Sumur Welut



Grafik 4. 4 Volume limpasan menuju boezem Sumur Welut

Grafik 4.3 menunjukkan bahwa debit limpasan total yang menuju boezem Sumur Welut sebesar 1,780 m<sup>3</sup>/det, dan grafik 4.4 menunjukkan bahwa volume limpasan total yang menuju boezem Sumur Welut sebesar 12806,15 m<sup>3</sup>.

#### 4.2.5 Analisa Penulusuran Banjir

Penulusuran banjir atau yang disebut *flood routing* merupakan prakiraan hidrograf di suatu titik pada suatu aliran atau bagian sungai yang didasarkan atas pengamatan hidrograf di titik lain.

##### 1) Menggunakan Pintu

Pintu air digunakan mengalirkan air yang melebihi batas aman dengan cara gravitasi dari boezem sumur welut. Pintu air dilapangan berdimensi dengan tinggi pintu ( $H_p$ ) 2,0 meter dan Lebar pintu ( $B_p$ ) 1,20 meter. Pintu air dibuka disaat air melebihi dasar pintu dan tinggi bukaan pintu dibuka sesuai yang telah dihitung dengan rumus bukaan pintu.

Debit Outflow yang diijinkan adalah 0,75 m<sup>3</sup>/det atau dengan kapasitas 112.50 m<sup>3</sup>/det.

Data Perencanaan Pintu pada Boezem:

$$\begin{aligned}\mu &= 0,80 \\ b &= 1,20 \text{ m} \\ h_{\text{pintu}} &= 2,00 \text{ m} \\ h_{\text{air}} &= 0,30 \text{ m} \\ g &= 9,81 \text{ m/dt}^2 \\ Q &= 0,75 \text{ m}^3/\text{dt}\end{aligned}$$

Bukaan Pintu

$$\begin{aligned}Q &= \mu \cdot a \cdot b \sqrt{2 \cdot g \cdot h} \\ 0,75 &= 0,8 \cdot a \cdot 1,2 \cdot \sqrt{2 \cdot 9,81 \cdot 0,30} \\ a &= 0,32 \text{ m}\end{aligned}$$

Dari perhitungan diatas, buaan pintu maksimal dibuka sampai 32 cm yaitu dengan debit 0,75 m<sup>3</sup>/det. Untuk mengetahui flood routing pada pintu air maka dapat dilihat pada tabel 4.57

Tabel 4. 57 Perhitungan volume limpasan yang masuk boezem dengan membuka pintu air

| No | t<br>(menit) | Saluran sekunder |              |                   | Saluran Primer |              |                   | Lahan Kosong  |              |                   | Boezem                     |                         |                        | Pintu Air      |                 |                        | Pompa          |                 |                        | Tampung<br>an Akhir<br>(m3) | tinggi<br>Air (m) | Elevasi<br>MA (m) |
|----|--------------|------------------|--------------|-------------------|----------------|--------------|-------------------|---------------|--------------|-------------------|----------------------------|-------------------------|------------------------|----------------|-----------------|------------------------|----------------|-----------------|------------------------|-----------------------------|-------------------|-------------------|
|    |              | Qin<br>m3/det    | Vol in<br>m3 | Vol. in<br>kom m3 | Qin<br>m3/det  | Vol in<br>m3 | Vol. in<br>kom m3 | Qin<br>m3/det | Vol in<br>m3 | Vol. in<br>kom m3 | Q in<br>total<br>(m3/det ) | Vol in<br>total<br>(m3) | Vol. in<br>kom<br>(m3) | Qout<br>m3/det | Vol out<br>(m3) | Vol out<br>kom<br>(m3) | Qout<br>m3/det | Vol out<br>(m3) | Vol out<br>kom<br>(m3) |                             |                   |                   |
| 1  | 0            | 0.000            | 0.000        | 0.000             | 0.000          | 0.000        | 0.000             | 0.000         | 0.000        | 0.000             | 0.000                      | 0.000                   | 0.000                  | 0.000          | 0.000           | 0.000                  | 0.000          | 0.000           | 0.000                  | 2.000                       | +8.00             |                   |
| 2  | 2.50         | 0.026            | 5.807        | 5.807             | 0.072          | 16.137       | 16.137            | 0.021         | 4.754        | 4.754             | 0.119                      | 26.698                  | 26.698                 | 0.000          | 0.000           | 0.000                  | 0.000          | 0.000           | 0.000                  | 26.698                      | 2.005             | +8.00             |
| 3  | 5.00         | 0.052            | 9.679        | 15.486            | 0.143          | 26.895       | 43.031            | 0.042         | 7.924        | 7.924             | 0.237                      | 44.497                  | 71.195                 | 0.000          | 0.000           | 0.000                  | 0.000          | 0.000           | 0.000                  | 71.195                      | 2.013             | +8.01             |
| 4  | 7.50         | 0.077            | 13.550       | 29.036            | 0.215          | 37.652       | 80.684            | 0.063         | 11.093       | 11.093            | 0.356                      | 62.295                  | 133.490                | 0.000          | 0.000           | 0.000                  | 0.000          | 0.000           | 0.000                  | 133.490                     | 2.024             | +8.02             |
| 5  | 10.00        | 0.103            | 17.421       | 46.457            | 0.287          | 48.410       | 129.094           | 0.085         | 14.262       | 14.262            | 0.475                      | 80.094                  | 213.584                | 0.000          | 0.000           | 0.000                  | 0.000          | 0.000           | 0.000                  | 213.584                     | 2.039             | +8.04             |
| 6  | 12.50        | 0.129            | 21.293       | 67.750            | 0.359          | 59.168       | 188.262           | 0.106         | 17.432       | 17.432            | 0.593                      | 97.893                  | 311.477                | 0.000          | 0.000           | 0.000                  | 0.000          | 0.000           | 0.000                  | 311.477                     | 2.057             | +8.06             |
| 7  | 15.00        | 0.155            | 25.164       | 92.914            | 0.430          | 69.926       | 258.189           | 0.127         | 20.601       | 20.601            | 0.712                      | 115.691                 | 427.168                | 0.000          | 0.000           | 0.000                  | 0.000          | 0.000           | 0.000                  | 427.168                     | 2.078             | +8.08             |
| 8  | 17.50        | 0.181            | 29.036       | 121.950           | 0.502          | 80.684       | 338.872           | 0.148         | 23.771       | 23.771            | 0.831                      | 133.490                 | 560.658                | 0.000          | 0.000           | 0.000                  | 0.000          | 0.000           | 0.000                  | 560.658                     | 2.102             | +8.10             |
| 9  | 20.00        | 0.206            | 32.907       | 154.857           | 0.574          | 91.442       | 430.314           | 0.169         | 26.940       | 26.940            | 0.949                      | 151.289                 | 711.947                | 0.000          | 0.000           | 0.000                  | 0.000          | 0.000           | 0.000                  | 711.947                     | 2.130             | +8.13             |
| 10 | 22.50        | 0.232            | 36.778       | 191.635           | 0.645          | 102.200      | 532.514           | 0.190         | 30.109       | 30.109            | 1.068                      | 169.087                 | 881.035                | 0.000          | 0.000           | 0.000                  | 0.000          | 0.000           | 0.000                  | 881.035                     | 2.161             | +8.16             |
| 11 | 25.00        | 0.258            | 40.650       | 232.285           | 0.717          | 112.957      | 645.471           | 0.211         | 33.279       | 33.279            | 1.187                      | 186.886                 | 1067.921               | 0.000          | 0.000           | 0.000                  | 0.000          | 0.000           | 0.000                  | 1067.921                    | 2.195             | +8.20             |
| 12 | 27.50        | 0.284            | 44.521       | 276.806           | 0.789          | 123.715      | 769.187           | 0.232         | 36.448       | 36.448            | 1.305                      | 204.685                 | 1272.606               | 0.000          | 0.000           | 0.000                  | 0.000          | 0.000           | 0.000                  | 1272.606                    | 2.232             | +8.23             |
| 13 | 30.00        | 0.310            | 48.393       | 325.199           | 0.861          | 134.473      | 903.660           | 0.254         | 39.618       | 39.618            | 1.424                      | 222.484                 | 1495.089               | 0.000          | 0.000           | 0.000                  | 0.000          | 0.000           | 0.000                  | 1495.089                    | 2.273             | +8.27             |
| 14 | 32.50        | 0.336            | 52.264       | 377.463           | 0.932          | 145.231      | 1048.891          | 0.275         | 42.787       | 42.787            | 1.543                      | 240.282                 | 1735.371               | 0.000          | 0.000           | 0.000                  | 0.000          | 0.000           | 0.000                  | 1735.371                    | 2.317             | +8.32             |
| 15 | 35.00        | 0.361            | 56.136       | 433.599           | 1.004          | 155.989      | 1204.880          | 0.296         | 45.956       | 45.956            | 1.661                      | 258.081                 | 1993.452               | 0.000          | 0.000           | 0.000                  | 0.000          | 0.000           | 0.000                  | 1993.452                    | 2.364             | +8.36             |
| 16 | 37.50        | 0.387            | 58.071       | 491.670           | 1.076          | 161.368      | 1366.248          | 0.317         | 47.541       | 47.541            | 1.780                      | 266.980                 | 2260.432               | 0.000          | 0.000           | 0.000                  | 0.000          | 0.000           | 0.000                  | 2260.432                    | 2.413             | +8.41             |
| 17 | 40.00        | 0.387            | 58.071       | 549.741           | 1.076          | 161.368      | 1527.616          | 0.317         | 47.541       | 47.541            | 1.780                      | 266.980                 | 2527.413               | 0.000          | 0.000           | 0.000                  | 0.000          | 0.000           | 0.000                  | 2527.413                    | 2.462             | +8.46             |
| 18 | 42.50        | 0.387            | 58.071       | 607.813           | 1.076          | 161.368      | 1688.983          | 0.317         | 47.541       | 47.541            | 1.780                      | 266.980                 | 2794.393               | 0.000          | 0.000           | 0.000                  | 0.000          | 0.000           | 0.000                  | 2794.393                    | 2.510             | +8.51             |
| 19 | 45.00        | 0.387            | 58.071       | 665.884           | 1.076          | 161.368      | 1850.351          | 0.317         | 47.541       | 47.541            | 1.780                      | 266.980                 | 3061.373               | 0.000          | 0.000           | 0.000                  | 0.000          | 0.000           | 0.000                  | 3061.373                    | 2.559             | +8.56             |
| 20 | 47.50        | 0.387            | 58.071       | 723.955           | 1.076          | 161.368      | 2011.719          | 0.317         | 47.541       | 47.541            | 1.780                      | 266.980                 | 3328.353               | 0.000          | 0.000           | 0.000                  | 0.000          | 0.000           | 0.000                  | 3328.353                    | 2.608             | +8.61             |
| 21 | 50.00        | 0.387            | 58.071       | 782.026           | 1.076          | 161.368      | 2173.087          | 0.317         | 47.541       | 47.541            | 1.780                      | 266.980                 | 3595.334               | 0.000          | 0.000           | 0.000                  | 0.000          | 0.000           | 0.000                  | 3595.334                    | 2.657             | +8.66             |
| 22 | 52.50        | 0.387            | 58.071       | 840.098           | 1.076          | 161.368      | 2334.455          | 0.317         | 47.541       | 47.541            | 1.780                      | 266.980                 | 3862.314               | 0.000          | 0.000           | 0.000                  | 0.000          | 0.000           | 0.000                  | 3862.314                    | 2.705             | +8.71             |
| 23 | 55.00        | 0.387            | 58.071       | 898.169           | 1.076          | 161.368      | 2495.823          | 0.317         | 47.541       | 47.541            | 1.780                      | 266.980                 | 4129.294               | 0.000          | 0.000           | 0.000                  | 0.000          | 0.000           | 0.000                  | 4129.294                    | 2.754             | +8.75             |
| 24 | 57.50        | 0.387            | 58.071       | 956.240           | 1.076          | 161.368      | 2657.191          | 0.317         | 47.541       | 47.541            | 1.780                      | 266.980                 | 4396.274               | 0.000          | 0.000           | 0.000                  | 0.000          | 0.000           | 0.000                  | 4396.274                    | 2.803             | +8.80             |
| 25 | 60.00        | 0.387            | 58.071       | 1014.311          | 1.076          | 161.368      | 2818.558          | 0.317         | 47.541       | 47.541            | 1.780                      | 266.980                 | 4663.254               | 0.000          | 0.000           | 0.000                  | 0.000          | 0.000           | 0.000                  | 4663.254                    | 2.852             | +8.85             |
| 26 | 62.50        | 0.387            | 58.071       | 1072.383          | 1.076          | 161.368      | 2979.926          | 0.317         | 47.541       | 47.541            | 1.780                      | 266.980                 | 4930.235               | 0.000          | 0.000           | 0.000                  | 0.000          | 0.000           | 0.000                  | 4930.235                    | 2.900             | +8.90             |

Tabel 4. 57 Perhitungan volume limpasan yang masuk boezem dengan membuka pintu air (lanjutan)

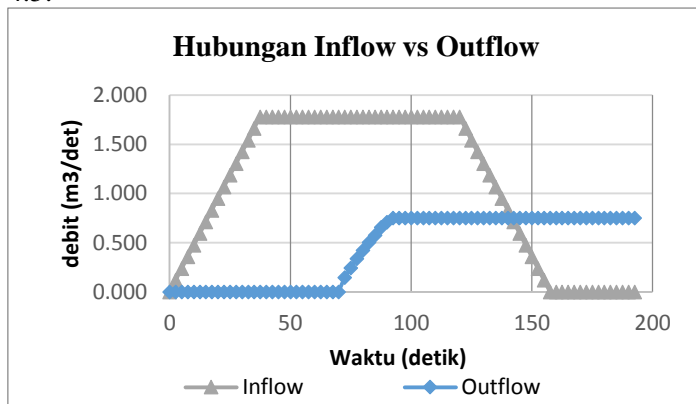
| No | t<br>(menit) | Saluran sekunder |              |                   | Saluran Primer |              |                   | Lahan Kosong  |              |                   | Boezem                     |                         |                        | Pintu Air      |                 |                        | Pompa          |                 |                        | Tampung<br>an Akhir<br>(m3) | tinggi<br>Air (m) | Elevasi<br>MA (m) |       |
|----|--------------|------------------|--------------|-------------------|----------------|--------------|-------------------|---------------|--------------|-------------------|----------------------------|-------------------------|------------------------|----------------|-----------------|------------------------|----------------|-----------------|------------------------|-----------------------------|-------------------|-------------------|-------|
|    |              | Qin<br>m3/det    | Vol in<br>m3 | Vol. in<br>kom m3 | Qin<br>m3/det  | Vol in<br>m3 | Vol. in<br>kom m3 | Qin<br>m3/det | Vol in<br>m3 | Vol. in<br>kom m3 | Q in<br>total<br>(m3/det ) | Vol in<br>total<br>(m3) | Vol. in<br>kom<br>(m3) | Qout<br>m3/det | Vol out<br>(m3) | Vol out<br>kom<br>(m3) | Qout<br>m3/det | Vol out<br>(m3) | Vol out<br>kom<br>(m3) |                             |                   |                   |       |
| 27 | 65.00        | 0.387            | 58.071       | 1130.454          | 1.076          | 161.368      | 3141.294          | 0.317         | 47.541       | 47.541            | 1.780                      | 266.980                 | 5197.215               | 0.000          | 0.000           | 0.000                  | 0.000          | 0.000           | 0.000                  | 5197.215                    | 2.949             | +8.95             |       |
| 28 | 67.50        | 0.387            | 58.071       | 1188.525          | 1.076          | 161.368      | 3302.662          | 0.317         | 47.541       | 47.541            | 1.780                      | 266.980                 | 5464.195               | 0.000          | 0.000           | 0.000                  | 0.000          | 0.000           | 0.000                  | 5464.195                    | 2.998             | +9.00             |       |
| 29 | 70.00        | 0.387            | 58.071       | 1246.597          | 1.076          | 161.368      | 3464.030          | 0.317         | 47.541       | 47.541            | 1.780                      | 266.980                 | 5731.175               | 0.000          | 0.000           | 0.000                  | 0.000          | 0.000           | 0.000                  | 5731.175                    | 3.047             | +9.05             |       |
| 30 | 72.50        | 0.387            | 58.071       | 1304.668          | 1.076          | 161.368      | 3625.398          | 0.317         | 47.541       | 47.541            | 1.780                      | 266.980                 | 5998.155               | 0.146          | 21.975          | 21.975                 | 0.000          | 0.000           | 0.000                  | 0.000                       | 5976.181          | 3.091             | +9.09 |
| 31 | 75.00        | 0.387            | 58.071       | 1362.739          | 1.076          | 161.368      | 3786.765          | 0.317         | 47.541       | 47.541            | 1.780                      | 266.980                 | 6265.136               | 0.243          | 36.446          | 58.421                 | 0.000          | 0.000           | 0.000                  | 0.000                       | 6206.715          | 3.133             | +9.13 |
| 32 | 77.50        | 0.387            | 58.071       | 1420.810          | 1.076          | 161.368      | 3948.133          | 0.317         | 47.541       | 47.541            | 1.780                      | 266.980                 | 6532.116               | 0.337          | 50.600          | 109.021                | 0.000          | 0.000           | 0.000                  | 0.000                       | 6423.095          | 3.173             | +9.17 |
| 33 | 80.00        | 0.387            | 58.071       | 1478.882          | 1.076          | 161.368      | 4109.501          | 0.317         | 47.541       | 47.541            | 1.780                      | 266.980                 | 6799.096               | 0.422          | 63.368          | 172.389                | 0.000          | 0.000           | 0.000                  | 0.000                       | 6626.707          | 3.210             | +9.21 |
| 34 | 82.50        | 0.387            | 58.071       | 1536.953          | 1.076          | 161.368      | 4270.869          | 0.317         | 47.541       | 47.541            | 1.780                      | 266.980                 | 7066.076               | 0.502          | 75.362          | 247.751                | 0.000          | 0.000           | 0.000                  | 0.000                       | 6818.326          | 3.245             | +9.25 |
| 35 | 85.00        | 0.387            | 58.071       | 1595.024          | 1.076          | 161.368      | 4432.237          | 0.317         | 47.541       | 47.541            | 1.780                      | 266.980                 | 7333.057               | 0.576          | 86.367          | 334.118                | 0.000          | 0.000           | 0.000                  | 0.000                       | 6998.939          | 3.278             | +9.28 |
| 36 | 87.50        | 0.387            | 58.071       | 1653.095          | 1.076          | 161.368      | 4593.605          | 0.317         | 47.541       | 47.541            | 1.780                      | 266.980                 | 7600.037               | 0.656          | 98.466          | 432.583                | 0.000          | 0.000           | 0.000                  | 0.000                       | 7167.453          | 3.309             | +9.31 |
| 37 | 90.00        | 0.387            | 58.071       | 1711.167          | 1.076          | 161.368      | 4754.973          | 0.317         | 47.541       | 47.541            | 1.780                      | 266.980                 | 7867.017               | 0.710          | 106.442         | 539.026                | 0.000          | 0.000           | 0.000                  | 0.000                       | 7327.991          | 3.338             | +9.34 |
| 38 | 92.50        | 0.387            | 58.071       | 1769.238          | 1.076          | 161.368      | 4916.340          | 0.317         | 47.541       | 47.541            | 1.780                      | 266.980                 | 8133.997               | 0.750          | 112.500         | 651.526                | 0.000          | 0.000           | 0.000                  | 0.000                       | 7482.471          | 3.366             | +9.37 |
| 39 | 95.00        | 0.387            | 58.071       | 1827.309          | 1.076          | 161.368      | 5077.708          | 0.317         | 47.541       | 47.541            | 1.780                      | 266.980                 | 8400.977               | 0.750          | 112.500         | 764.026                | 0.000          | 0.000           | 0.000                  | 0.000                       | 7636.952          | 3.395             | +9.39 |
| 40 | 97.50        | 0.387            | 58.071       | 1885.381          | 1.076          | 161.368      | 5239.076          | 0.317         | 47.541       | 47.541            | 1.780                      | 266.980                 | 8667.958               | 0.750          | 112.500         | 876.526                | 0.000          | 0.000           | 0.000                  | 0.000                       | 7791.432          | 3.423             | +9.42 |
| 41 | 100.00       | 0.387            | 58.071       | 1943.452          | 1.076          | 161.368      | 5400.444          | 0.317         | 47.541       | 47.541            | 1.780                      | 266.980                 | 8934.938               | 0.750          | 112.500         | 989.026                | 0.000          | 0.000           | 0.000                  | 0.000                       | 7945.912          | 3.451             | +9.45 |
| 42 | 102.50       | 0.387            | 58.071       | 2001.523          | 1.076          | 161.368      | 5561.812          | 0.317         | 47.541       | 47.541            | 1.780                      | 266.980                 | 9201.918               | 0.750          | 112.500         | 1101.526               | 0.000          | 0.000           | 0.000                  | 0.000                       | 8100.392          | 3.479             | +9.48 |
| 43 | 105.00       | 0.387            | 58.071       | 2059.594          | 1.076          | 161.368      | 5723.180          | 0.317         | 47.541       | 47.541            | 1.780                      | 266.980                 | 9468.898               | 0.750          | 112.500         | 1214.026               | 0.000          | 0.000           | 0.000                  | 0.000                       | 8254.872          | 3.507             | +9.51 |
| 44 | 107.50       | 0.387            | 58.071       | 2117.666          | 1.076          | 161.368      | 5884.547          | 0.317         | 47.541       | 47.541            | 1.780                      | 266.980                 | 9735.878               | 0.750          | 112.500         | 1326.526               | 0.000          | 0.000           | 0.000                  | 0.000                       | 8409.353          | 3.536             | +9.54 |
| 45 | 110.00       | 0.387            | 58.071       | 2175.737          | 1.076          | 161.368      | 6045.915          | 0.317         | 47.541       | 47.541            | 1.780                      | 266.980                 | 10002.86               | 0.750          | 112.500         | 1439.026               | 0.000          | 0.000           | 0.000                  | 0.000                       | 8563.833          | 3.564             | +9.56 |
| 46 | 112.50       | 0.387            | 58.071       | 2233.808          | 1.076          | 161.368      | 6207.283          | 0.317         | 47.541       | 47.541            | 1.780                      | 266.980                 | 10269.84               | 0.750          | 112.500         | 1551.526               | 0.000          | 0.000           | 0.000                  | 0.000                       | 8718.313          | 3.592             | +9.59 |
| 47 | 115.00       | 0.387            | 58.071       | 2291.879          | 1.076          | 161.368      | 6368.651          | 0.317         | 47.541       | 47.541            | 1.780                      | 266.980                 | 10536.82               | 0.750          | 112.500         | 1664.026               | 0.000          | 0.000           | 0.000                  | 0.000                       | 8872.793          | 3.620             | +9.62 |
| 48 | 117.50       | 0.387            | 58.071       | 2349.951          | 1.076          | 161.368      | 6530.019          | 0.317         | 47.541       | 47.541            | 1.780                      | 266.980                 | 10803.80               | 0.750          | 112.500         | 1776.526               | 0.000          | 0.000           | 0.000                  | 0.000                       | 9027.273          | 3.649             | +9.65 |
| 49 | 120.00       | 0.387            | 56.136       | 2406.086          | 1.076          | 155.989      | 6686.008          | 0.317         | 45.956       | 45.956            | 1.780                      | 258.081                 | 11061.88               | 0.750          | 112.500         | 1889.026               | 0.000          | 0.000           | 0.000                  | 0.000                       | 9172.854          | 3.675             | +9.68 |
| 50 | 122.50       | 0.361            | 52.264       | 2458.350          | 1.004          | 145.231      | 6831.239          | 0.296         | 42.787       | 42.787            | 1.661                      | 240.282                 | 11302.16               | 0.750          | 112.500         | 2001.526               | 0.000          | 0.000           | 0.000                  | 0.000                       | 9300.637          | 3.698             | +9.70 |
| 51 | 125.00       | 0.336            | 48.393       | 2506.743          | 0.932          | 134.473      | 6965.712          | 0.275         | 39.618       | 39.618            | 1.543                      | 222.484                 | 11524.65               | 0.750          | 112.500         | 2114.026               | 0.000          | 0.000           | 0.000                  | 0.000                       | 9410.620          | 3.719             | +9.72 |
| 52 | 127.50       | 0.310            | 44.521       | 2551.264          | 0.861          | 123.715      | 7089.427          | 0.254         | 36.448       | 36.448            | 1.424                      | 204.685                 | 11729.33               | 0.750          | 112.500         | 2226.526               | 0.000          | 0.000           | 0.000                  | 0.000                       | 9502.805          | 3.735             | +9.74 |

Tabel 4. 57 Perhitungan volume limpasan yang masuk boezem dengan membuka pintu air (Lanjutan)

| No | t<br>(menit) | Saluran sekunder |              |                   | Saluran Primer |              |                   | Lahan Kosong  |              |                   | Boezem                     |                         |                        | Pintu Air      |                 |                        | Pompa          |                 |                        | Tampung<br>an Akhir<br>(m3) | tinggi<br>Air (m) | Elevasi<br>MA (m) |
|----|--------------|------------------|--------------|-------------------|----------------|--------------|-------------------|---------------|--------------|-------------------|----------------------------|-------------------------|------------------------|----------------|-----------------|------------------------|----------------|-----------------|------------------------|-----------------------------|-------------------|-------------------|
|    |              | Qin<br>m3/det    | Vol in<br>m3 | Vol. in<br>kom m3 | Qin<br>m3/det  | Vol in<br>m3 | Vol. in<br>kom m3 | Qin<br>m3/det | Vol in<br>m3 | Vol. in<br>kom m3 | Q in<br>total<br>(m3/det ) | Vol in<br>total<br>(m3) | Vol. in<br>kom<br>(m3) | Qout<br>m3/det | Vol out<br>(m3) | Vol out<br>kom<br>(m3) | Qout<br>m3/det | Vol out<br>(m3) | Vol out<br>kom<br>(m3) |                             |                   |                   |
| 53 | 130.00       | 0.284            | 40.650       | 2591.914          | 0.789          | 112.957      | 7202.385          | 0.232         | 33.279       | 33.279            | 1.305                      | 186.886                 | 11916.22               | 0.750          | 112.500         | 2339.026               | 0.000          | 0.000           | 0.000                  | 9577.191                    | 3.749             | +9.75             |
| 54 | 132,50       | 0,258            | 36.778       | 2628.693          | 0,717          | 102,200      | 7304.585          | 0,211         | 30,109       | 30,109            | 1,187                      | 169,087                 | 12085.30               | 0,750          | 112,500         | 2451,526               | 0,000          | 0,000           | 0,000                  | 9633.779                    | 3,759             | +9.76             |
| 55 | 135,00       | 0,232            | 32,907       | 2661,600          | 0,645          | 91,442       | 7396,026          | 0,190         | 26,940       | 26,940            | 1,068                      | 151,289                 | 12236,59               | 0,750          | 112,500         | 2564,026               | 0,000          | 0,000           | 0,000                  | 9672,567                    | 3,766             | +9.77             |
| 56 | 137,50       | 0,206            | 29,036       | 2690,635          | 0,574          | 80,684       | 7476,710          | 0,169         | 23,771       | 23,771            | 0,949                      | 133,490                 | 12370,08               | 0,750          | 112,500         | 2676,526               | 0,000          | 0,000           | 0,000                  | 9693,557                    | 3,770             | +9.77             |
| 57 | 140,00       | 0,181            | 25,164       | 2715,800          | 0,502          | 69,926       | 7546,636          | 0,148         | 20,601       | 20,601            | 0,831                      | 115,691                 | 12485,77               | 0,750          | 112,500         | 2789,026               | 0,000          | 0,000           | 0,000                  | 9696,749                    | 3,771             | +9.77             |
| 58 | 142,50       | 0,155            | 21,293       | 2737,092          | 0,430          | 59,168       | 7605,804          | 0,127         | 17,432       | 17,432            | 0,712                      | 97,893                  | 12583,67               | 0,750          | 112,500         | 2901,526               | 0,000          | 0,000           | 0,000                  | 9682,142                    | 3,768             | +9.77             |
| 59 | 145,00       | 0,129            | 17,421       | 2754,514          | 0,359          | 48,410       | 7654,215          | 0,106         | 14,262       | 14,262            | 0,593                      | 80,094                  | 12663,76               | 0,750          | 112,500         | 3014,026               | 0,000          | 0,000           | 0,000                  | 9649,736                    | 3,762             | +9.76             |
| 60 | 147,50       | 0,103            | 13,550       | 2768,064          | 0,287          | 37,652       | 7691,867          | 0,085         | 11,093       | 11,093            | 0,475                      | 62,295                  | 12726,06               | 0,750          | 112,500         | 3126,526               | 0,000          | 0,000           | 0,000                  | 9599,531                    | 3,753             | +9.75             |
| 61 | 150,00       | 0,077            | 9,679        | 2777,742          | 0,215          | 26,895       | 7718,762          | 0,063         | 7,924        | 7,924             | 0,356                      | 44,497                  | 12770,55               | 0,750          | 112,500         | 3239,026               | 0,000          | 0,000           | 0,000                  | 9531,528                    | 3,741             | +9.74             |
| 62 | 152,50       | 0,052            | 5,807        | 2783,549          | 0,143          | 16,137       | 7734,899          | 0,042         | 4,754        | 4,754             | 0,237                      | 26,698                  | 12797,25               | 0,750          | 112,500         | 3351,526               | 0,000          | 0,000           | 0,000                  | 9445,726                    | 3,725             | +9.72             |
| 63 | 155,00       | 0,026            | 1,936        | 2785,485          | 0,072          | 5,379        | 7740,278          | 0,021         | 1,585        | 1,585             | 0,119                      | 8,899                   | 12806,15               | 0,750          | 112,500         | 3464,026               | 0,000          | 0,000           | 0,000                  | 9342,125                    | 3,706             | +9.71             |
| 64 | 157,50       | 0,000            | 0,000        | 2785,485          | 0,000          | 0,000        | 7740,278          | 0,000         | 0,000        | 0,000             | 0,000                      | 12806,15                | 0,750                  | 112,500        | 3576,526        | 0,000                  | 0,000          | 0,000           | 9229,625               | 3,685                       | +9.69             |                   |
| 65 | 160,00       | 0,000            | 0,000        | 0,000             | 0,000          | 0,000        | 0,000             | 0,000         | 0,000        | 0,000             | 0,000                      | #####                   | 0,750                  | 112,500        | 3689,026        | 0,000                  | 0,000          | 0,000           | 9117,125               | 3,665                       | +9.66             |                   |
| 66 | 162,50       | 0,000            | 0,000        | 0,000             | 0,000          | 0,000        | 0,000             | 0,000         | 0,000        | 0,000             | 0,000                      | #####                   | 0,750                  | 112,500        | 3801,526        | 0,000                  | 0,000          | 0,000           | 9004,625               | 3,644                       | +9.64             |                   |
| 67 | 165,00       | 0,000            | 0,000        | 0,000             | 0,000          | 0,000        | 0,000             | 0,000         | 0,000        | 0,000             | 0,000                      | #####                   | 0,750                  | 112,500        | 3914,026        | 0,000                  | 0,000          | 0,000           | 8892,125               | 3,624                       | +9.62             |                   |
| 68 | 167,50       | 0,000            | 0,000        | 0,000             | 0,000          | 0,000        | 0,000             | 0,000         | 0,000        | 0,000             | 0,000                      | #####                   | 0,750                  | 112,500        | 4026,526        | 0,000                  | 0,000          | 0,000           | 8779,625               | 3,603                       | +9.60             |                   |
| 69 | 170,00       | 0,000            | 0,000        | 0,000             | 0,000          | 0,000        | 0,000             | 0,000         | 0,000        | 0,000             | 0,000                      | #####                   | 0,750                  | 112,500        | 4139,026        | 0,000                  | 0,000          | 0,000           | 8667,125               | 3,583                       | +9.58             |                   |
| 70 | 172,50       | 0,000            | 0,000        | 0,000             | 0,000          | 0,000        | 0,000             | 0,000         | 0,000        | 0,000             | 0,000                      | #####                   | 0,750                  | 112,500        | 4251,526        | 0,000                  | 0,000          | 0,000           | 8554,625               | 3,562                       | +9.56             |                   |
| 71 | 175,00       | 0,000            | 0,000        | 0,000             | 0,000          | 0,000        | 0,000             | 0,000         | 0,000        | 0,000             | 0,000                      | #####                   | 0,750                  | 112,500        | 4364,026        | 0,000                  | 0,000          | 0,000           | 8442,125               | 3,542                       | +9.54             |                   |
| 72 | 177,50       | 0,000            | 0,000        | 0,000             | 0,000          | 0,000        | 0,000             | 0,000         | 0,000        | 0,000             | 0,000                      | #####                   | 0,750                  | 112,500        | 4476,526        | 0,000                  | 0,000          | 0,000           | 8329,625               | 3,521                       | +9.52             |                   |
| 73 | 180,00       | 0,000            | 0,000        | 0,000             | 0,000          | 0,000        | 0,000             | 0,000         | 0,000        | 0,000             | 0,000                      | #####                   | 0,750                  | 112,500        | 4589,026        | 0,000                  | 0,000          | 0,000           | 8217,125               | 3,501                       | +9.50             |                   |
| 74 | 182,50       | 0,000            | 0,000        | 0,000             | 0,000          | 0,000        | 0,000             | 0,000         | 0,000        | 0,000             | 0,000                      | #####                   | 0,750                  | 112,500        | 4701,526        | 0,000                  | 0,000          | 0,000           | 8104,625               | 3,480                       | +9.48             |                   |
| 75 | 185,00       | 0,000            | 0,000        | 0,000             | 0,000          | 0,000        | 0,000             | 0,000         | 0,000        | 0,000             | 0,000                      | #####                   | 0,750                  | 112,500        | 4814,026        | 0,000                  | 0,000          | 0,000           | 7992,125               | 3,459                       | +9.46             |                   |
| 76 | 187,50       | 0,000            | 0,000        | 0,000             | 0,000          | 0,000        | 0,000             | 0,000         | 0,000        | 0,000             | 0,000                      | #####                   | 0,750                  | 112,500        | 4926,526        | 0,000                  | 0,000          | 0,000           | 7879,625               | 3,439                       | +9.44             |                   |
| 77 | 190,00       | 0,000            | 0,000        | 0,000             | 0,000          | 0,000        | 0,000             | 0,000         | 0,000        | 0,000             | 0,000                      | #####                   | 0,750                  | 112,500        | 5039,026        | 0,000                  | 0,000          | 0,000           | 7767,125               | 3,418                       | +9.42             |                   |
| 78 | 192,50       | 0,000            | 0,000        | 0,000             | 0,000          | 0,000        | 0,000             | 0,000         | 0,000        | 0,000             | 0,000                      | #####                   | 0,750                  | 112,500        | 5151,526        | 0,000                  | 0,000          | 0,000           | 7654,625               | 3,398                       | +9.40             |                   |

(Sumber: Hasil Perhitungan)

Dari tabel 4.57 didapatkan elevasi muka air pada boezem yaitu +9.69 m dalam kondisi hujan berhenti. Debit terbesar yang melimpah adalah 0.75 m<sup>3</sup>/det. Debit terbesar ini lebih kecil dari pada debit yang masuk yaitu 1,78 m<sup>3</sup>/det atau 42% dari debit inflow maksimal. Dengan diselesaikannya perhitungan pada tabel 4.58 dapat dibuat hidrograf debit masuk (Inflow) dan debit keluar (Outflow), seperti pada grafik 4.5.



Grafik 4. 5 Hidrograf Inflow dan Outflow pada Boezem

## 2) Menggunakan Pelimpah

Untuk mengetahui debit outflow maksimum yang keluar pada boezem Sumur Welut menggunakan metode model telusuran waduk (*reservoir routing*). Kondisi dilapangan terdapat pintu air yang berdimensi dengan tinggi pintu (Hp) 2,0 meter dan Lebar pintu (Bp) 1,20 meter. Namun dalam perhitungan *flood routing* pintu air diabaikan dan dianggap air mengalir dengan melimpah secara grafitasi.

Diketahui :

|                      |                              |
|----------------------|------------------------------|
| Lebar Pelimpah       | : 0,50 meter                 |
| Elevasi dasar boezem | : +6,00 m                    |
| Tampungan mati       | : 2,0 meter di elevasi +8.00 |
| Elevasi dasar pintu  | : +9.00 m                    |

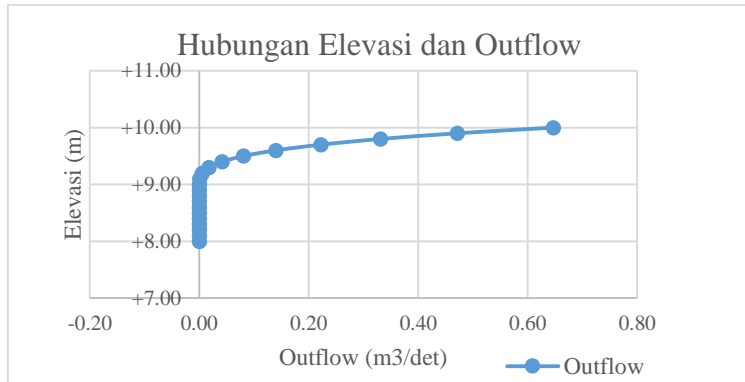
Sehingga diperoleh pada perhitungan analisa seperti pada tabel 4.57

Tabel 4. 58 Hubungan Elevasi, Tampungan, dan Outflow

| Elevasi<br>(m) | tampungan<br>(m3) | Outflow<br>(m3/dt) | S+ (O.Δt/2)<br>(m3) | S- (O.Δt/2)<br>(m3) |
|----------------|-------------------|--------------------|---------------------|---------------------|
| +8.00          | 0.00              | 0.00               | 0.00                | 0.00                |
| +8.10          | 547.60            | 0.00               | 547.60              | 547.60              |
| +8.20          | 1095.20           | 0.00               | 1095.20             | 1095.20             |
| +8.30          | 1642.80           | 0.00               | 1642.80             | 1642.80             |
| +8.40          | 2190.40           | 0.00               | 2190.40             | 2190.40             |
| +8.50          | 2738.00           | 0.00               | 2738.00             | 2738.00             |
| +8.60          | 3285.60           | 0.00               | 3285.60             | 3285.60             |
| +8.70          | 3833.20           | 0.00               | 3833.20             | 3833.20             |
| +8.80          | 4380.80           | 0.00               | 4380.80             | 4380.80             |
| +8.90          | 4928.40           | 0.00               | 4928.40             | 4928.40             |
| +9.00          | 5476.00           | 0.00               | 5476.00             | 5476.00             |
| +9.10          | 6023.60           | 0.00               | 6023.65             | 6023.55             |
| +9.20          | 6571.20           | 0.01               | 6571.59             | 6570.81             |
| +9.30          | 7118.80           | 0.02               | 7120.11             | 7117.49             |
| +9.40          | 7666.40           | 0.04               | 7669.51             | 7663.29             |
| +9.50          | 8214.00           | 0.08               | 8220.07             | 8207.93             |
| +9.60          | 8761.60           | 0.14               | 8772.08             | 8751.12             |
| +9.70          | 9309.20           | 0.22               | 9325.84             | 9292.56             |
| +9.80          | 9856.80           | 0.33               | 9881.64             | 9831.96             |
| +9.90          | 10404.40          | 0.47               | 10439.77            | 10369.03            |
| +10.00         | 10952.00          | 0.65               | 11000.52            | 10903.48            |

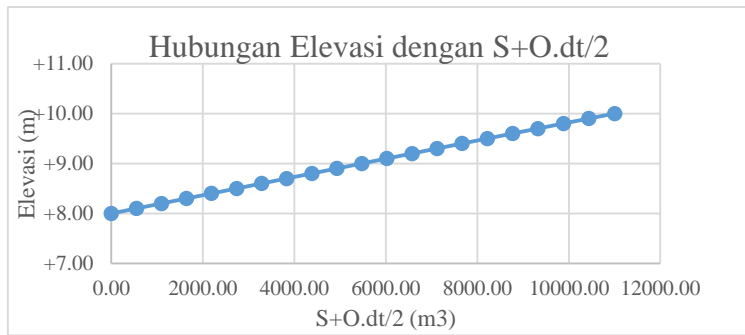
(Sumber: Hasil Perhitungan)

Dari perhitungan tabel 4.58 di dapatkan hubungan Elevasi, Outflow, dan Kapasitas yang disajikan pada grafik 4.6, grafik 4.7, dan grafik 4.8

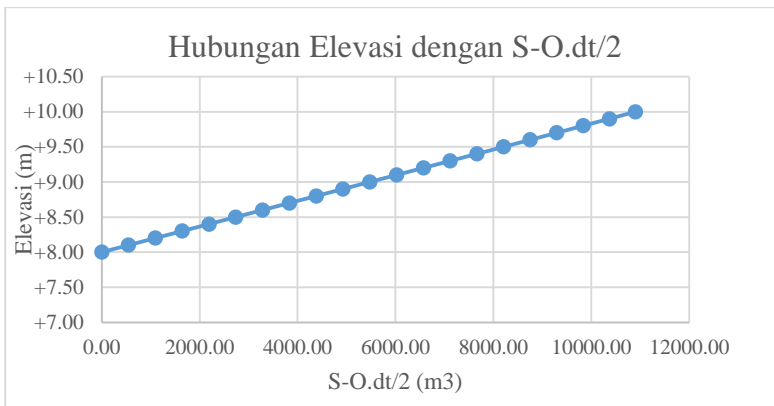


Grafik 4.6 Hubungan Elevasi dengan Outflow

Grafik 4.6 menunjukkan hubungan elevasi dengan debit Outflow pada ambang pintu boezem di elevasi +9.00 m.



Grafik 4.7 Hubungan Elevasi dengan  $S+O.dt/2$



Grafik 4. 8 Hubungan Elevasi dengan S+O.dt/2

Dari grafik 4.7 dan grafik 4.8 didapat persamaan linear yang digunakan untuk mendapatkan besar debit outflow dan tinggi atau elevasi muka air yang sajikan pada tabel 4.59

Tabel 4. 59 Hasil Penulusuran Banjir dengan metode *reservoir routing*

| Waktu<br>(menit) | Inflow<br>(m3/dt) | $(I_1+I_2)/2$<br>(m3/dt) | I.dt<br>(m3) | $S^- (O.\Delta t/2)$<br>(m3) | $S^+ (O.\Delta t/2)$<br>(m3) | Elevasi<br>(m) | Outflow<br>(m3/dt) |
|------------------|-------------------|--------------------------|--------------|------------------------------|------------------------------|----------------|--------------------|
| 0.00             | 0.000             |                          |              |                              |                              | +8.00          | 0.000              |
| 2.50             | 0.119             | 0.059                    | 8.899        | 0.000                        | 8.899                        | +8.00          | 0.000              |
| 5.00             | 0.237             | 0.178                    | 26.698       | 8.899                        | 35.597                       | +8.01          | 0.000              |
| 7.50             | 0.356             | 0.297                    | 44.497       | 35.597                       | 80.094                       | +8.01          | 0.000              |
| 10.00            | 0.475             | 0.415                    | 62.295       | 80.094                       | 142.389                      | +8.03          | 0.000              |
| 12.50            | 0.593             | 0.534                    | 80.094       | 142.389                      | 222.484                      | +8.04          | 0.000              |
| 15.00            | 0.712             | 0.653                    | 97.893       | 222.484                      | 320.376                      | +8.06          | 0.000              |
| 17.50            | 0.831             | 0.771                    | 115.691      | 320.376                      | 436.068                      | +8.08          | 0.000              |
| 20.00            | 0.949             | 0.890                    | 133.490      | 436.068                      | 569.558                      | +8.10          | 0.000              |
| 22.50            | 1.068             | 1.009                    | 151.289      | 569.558                      | 720.847                      | +8.13          | 0.000              |
| 25.00            | 1.187             | 1.127                    | 169.087      | 720.847                      | 889.934                      | +8.16          | 0.000              |
| 27.50            | 1.305             | 1.246                    | 186.886      | 889.934                      | 1076.820                     | +8.20          | 0.000              |
| 30.00            | 1.424             | 1.365                    | 204.685      | 1076.820                     | 1281.505                     | +8.23          | 0.000              |
| 32.50            | 1.543             | 1.483                    | 222.484      | 1281.505                     | 1503.989                     | +8.27          | 0.000              |
| 35.00            | 1.661             | 1.602                    | 240.282      | 1503.989                     | 1744.271                     | +8.32          | 0.000              |
| 37.50            | 1.780             | 1.721                    | 258.081      | 1744.271                     | 2002.352                     | +8.37          | 0.000              |
| 40.00            | 1.780             | 1.780                    | 266.980      | 2002.352                     | 2269.332                     | +8.41          | 0.000              |
| 42.50            | 1.780             | 1.780                    | 266.980      | 2269.332                     | 2536.312                     | +8.46          | 0.000              |
| 45.00            | 1.780             | 1.780                    | 266.980      | 2536.312                     | 2803.292                     | +8.51          | 0.000              |
| 47.50            | 1.780             | 1.780                    | 266.980      | 2803.292                     | 3070.272                     | +8.56          | 0.000              |
| 50.00            | 1.780             | 1.780                    | 266.980      | 3070.272                     | 3337.253                     | +8.61          | 0.000              |
| 52.50            | 1.780             | 1.780                    | 266.980      | 3337.253                     | 3604.233                     | +8.66          | 0.000              |
| 55.00            | 1.780             | 1.780                    | 266.980      | 3604.233                     | 3871.213                     | +8.71          | 0.000              |
| 57.50            | 1.780             | 1.780                    | 266.980      | 3871.213                     | 4138.193                     | +8.76          | 0.000              |
| 60.00            | 1.780             | 1.780                    | 266.980      | 4138.193                     | 4405.174                     | +8.80          | 0.000              |
| 62.50            | 1.780             | 1.780                    | 266.980      | 4405.174                     | 4672.154                     | +8.85          | 0.000              |
| 65.00            | 1.780             | 1.780                    | 266.980      | 4672.154                     | 4939.134                     | +8.90          | 0.000              |
| 67.50            | 1.780             | 1.780                    | 266.980      | 4939.134                     | 5206.114                     | +8.95          | 0.000              |

Tabel 4. 59 Hasil Penulusuran Banjir dengan metode *reservoir routing* (Lanjutan)

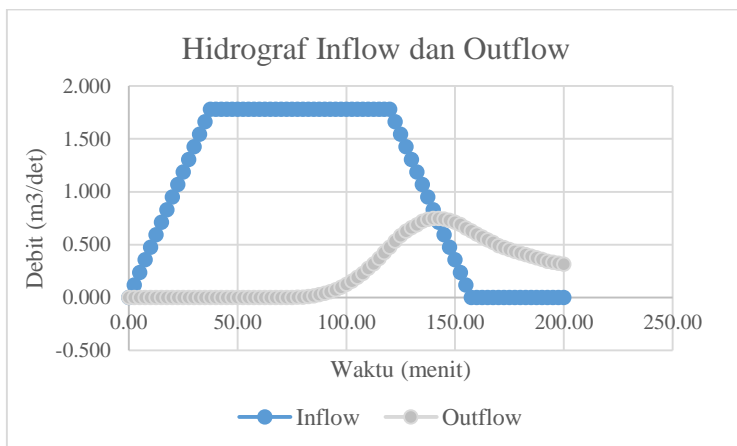
| Waktu<br>(menit) | Inflow<br>(m <sup>3</sup> /dt) | (I <sub>1</sub> +I <sub>2</sub> )/2<br>(m <sup>3</sup> /dt) | I.dt<br>(m <sup>3</sup> ) | S- (O.Δt/2)<br>(m <sup>3</sup> ) | S+ (O.Δt/2)<br>(m <sup>3</sup> ) | Elevasi<br>(m) | Outflow<br>(m <sup>3</sup> /dt) |
|------------------|--------------------------------|---|---------------------------|----------------------------------|----------------------------------|----------------|---------------------------------|
| 70.00            | 1.780                          | 1.780   | 266.980                   | 5206.114                         | 5473.094                         | +9.00          | 0.000                           |
| 72.50            | 1.780                          | 1.780   | 266.980                   | 5473.094                         | 5740.075                         | +9.05          | 0.000                           |
| 75.00            | 1.780                          | 1.780   | 266.980                   | 5740.028                         | 6007.008                         | +9.10          | 0.001                           |
| 77.50            | 1.780                          | 1.780   | 266.980                   | 6006.914                         | 6273.894                         | +9.15          | 0.003                           |
| 80.00            | 1.780                          | 1.780   | 266.980                   | 6273.487                         | 6540.467                         | +9.19          | 0.004                           |
| 82.50            | 1.780                          | 1.780   | 266.980                   | 6539.729                         | 6806.709                         | +9.24          | 0.010                           |
| 85.00            | 1.780                          | 1.780   | 266.980                   | 6805.143                         | 7072.123                         | +9.29          | 0.016                           |
| 87.50            | 1.780                          | 1.780   | 266.980                   | 7069.664                         | 7336.644                         | +9.34          | 0.027                           |
| 90.00            | 1.780                          | 1.780   | 266.980                   | 7332.609                         | 7599.589                         | +9.39          | 0.038                           |
| 92.50            | 1.780                          | 1.780   | 266.980                   | 7593.835                         | 7860.815                         | +9.43          | 0.055                           |
| 95.00            | 1.780                          | 1.780   | 266.980                   | 7852.548                         | 8119.528                         | +9.48          | 0.074                           |
| 97.50            | 1.780                          | 1.780   | 266.980                   | 8108.478                         | 8375.459                         | +9.53          | 0.097                           |
| 100.00           | 1.780                          | 1.780   | 266.980                   | 8360.842                         | 8627.822                         | +9.57          | 0.124                           |
| 102.50           | 1.780                          | 1.780   | 266.980                   | 8609.168                         | 8876.149                         | +9.62          | 0.155                           |
| 105.00           | 1.780                          | 1.780   | 266.980                   | 8852.871                         | 9119.851                         | +9.66          | 0.191                           |
| 107.50           | 1.780                          | 1.780   | 266.980                   | 9091.150                         | 9358.130                         | +9.71          | 0.228                           |
| 110.00           | 1.780                          | 1.780   | 266.980                   | 9323.891                         | 9590.871                         | +9.75          | 0.274                           |
| 112.50           | 1.780                          | 1.780   | 266.980                   | 9549.764                         | 9816.745                         | +9.79          | 0.318                           |
| 115.00           | 1.780                          | 1.780   | 266.980                   | 9768.973                         | 10035.953                        | +9.83          | 0.370                           |
| 117.50           | 1.780                          | 1.780   | 266.980                   | 9980.444                         | 10247.425                        | +9.87          | 0.423                           |
| 120.00           | 1.780                          | 1.780   | 266.980                   | 10183.937                        | 10450.917                        | +9.90          | 0.474                           |
| 122.50           | 1.661                          | 1.721   | 258.081                   | 10379.751                        | 10637.832                        | +9.94          | 0.534                           |
| 125.00           | 1.543                          | 1.602   | 240.282                   | 10557.798                        | 10798.080                        | +9.96          | 0.584                           |
| 127.50           | 1.424                          | 1.483   | 222.484                   | 10710.530                        | 10933.014                        | +9.99          | 0.626                           |
| 130.00           | 1.305                          | 1.365   | 204.685                   | 10839.135                        | 11043.820                        | +10.01         | 0.660                           |
| 132.50           | 1.187                          | 1.246   | 186.886                   | 10944.745                        | 11131.631                        | +10.02         | 0.688                           |
| 135.00           | 1.068                          | 1.127   | 169.087                   | 11027.115                        | 11196.203                        | +10.03         | 0.721                           |
| 137.50           | 0.949                          | 1.009   | 151.289                   | 11088.007                        | 11239.296                        | +10.04         | 0.738                           |

Tabel 4. 59 Hasil Penulusuran Banjir dengan metode *reservoir routing* (Lanjutan)

| Waktu<br>(menit) | Inflow<br>(m <sup>3</sup> /dt) | (I <sub>1</sub> +I <sub>2</sub> )/2<br>(m <sup>3</sup> /dt) | I.dt<br>(m <sup>3</sup> ) | S- (O.Δt/2)<br>(m <sup>3</sup> ) | S+ (O.Δt/2)<br>(m <sup>3</sup> ) | Elevasi<br>(m) | Outflow<br>(m <sup>3</sup> /dt) |
|------------------|--------------------------------|---|---------------------------|----------------------------------|----------------------------------|----------------|---------------------------------|
| 140.00           | 0.831                          | 0.890   | 133.490                   | 11128.645                        | 11262.135                        | +10.05         | 0.746                           |
| 142.50           | 0.712                          | 0.771   | 115.691                   | 11150.182                        | 11265.873                        | +10.05         | 0.748                           |
| 145.00           | 0.593                          | 0.653   | 97.893                    | 11153.707                        | 11251.600                        | +10.04         | 0.742                           |
| 147.50           | 0.475                          | 0.534   | 80.094                    | 11140.247                        | 11220.341                        | +10.04         | 0.730                           |
| 150.00           | 0.356                          | 0.415   | 62.295                    | 11110.770                        | 11173.065                        | +10.03         | 0.713                           |
| 152.50           | 0.237                          | 0.297   | 44.497                    | 11066.188                        | 11110.685                        | +10.02         | 0.689                           |
| 155.00           | 0.119                          | 0.178   | 26.698                    | 11007.363                        | 11034.061                        | +10.01         | 0.657                           |
| 157.50           | 0.000                          | 0.059   | 8.899                     | 10935.278                        | 10944.178                        | +9.99          | 0.629                           |
| 160.00           | 0.000                          | 0.000   | 0.000                     | 10849.776                        | 10849.776                        | +9.97          | 0.600                           |
| 162.50           | 0.000                          | 0.000   | 0.000                     | 10759.802                        | 10759.802                        | +9.96          | 0.572                           |
| 165.00           | 0.000                          | 0.000   | 0.000                     | 10674.047                        | 10674.047                        | +9.94          | 0.545                           |
| 167.50           | 0.000                          | 0.000   | 0.000                     | 10592.314                        | 10592.314                        | +9.93          | 0.519                           |
| 170.00           | 0.000                          | 0.000   | 0.000                     | 10514.415                        | 10514.415                        | +9.91          | 0.490                           |
| 172.50           | 0.000                          | 0.000   | 0.000                     | 10440.853                        | 10440.853                        | +9.90          | 0.472                           |
| 175.00           | 0.000                          | 0.000   | 0.000                     | 10370.067                        | 10370.067                        | +9.89          | 0.454                           |
| 177.50           | 0.000                          | 0.000   | 0.000                     | 10301.952                        | 10301.952                        | +9.88          | 0.437                           |
| 180.00           | 0.000                          | 0.000   | 0.000                     | 10236.407                        | 10236.407                        | +9.86          | 0.420                           |
| 182.50           | 0.000                          | 0.000   | 0.000                     | 10173.334                        | 10173.334                        | +9.85          | 0.405                           |
| 185.00           | 0.000                          | 0.000   | 0.000                     | 10112.642                        | 10112.642                        | +9.84          | 0.389                           |
| 187.50           | 0.000                          | 0.000   | 0.000                     | 10054.240                        | 10054.240                        | +9.83          | 0.375                           |
| 190.00           | 0.000                          | 0.000   | 0.000                     | 9998.041                         | 9998.041                         | +9.82          | 0.361                           |
| 192.50           | 0.000                          | 0.000   | 0.000                     | 9943.962                         | 9943.962                         | +9.81          | 0.344                           |
| 195.00           | 0.000                          | 0.000   | 0.000                     | 9892.437                         | 9892.437                         | +9.80          | 0.333                           |
| 197.50           | 0.000                          | 0.000   | 0.000                     | 9842.431                         | 9842.431                         | +9.79          | 0.324                           |
| 200.00           | 0.000                          | 0.000   | 0.000                     | 9793.902                         | 9793.902                         | +9.78          | 0.314                           |

(Sumber: Hasil Perhitungan)

Dari tabel 4.59 didapatkan elevasi muka air pada boezem yaitu +9.99 m dalam kondisi hujan berhenti. Debit terbesar yang melimpah adalah  $0.748 \text{ m}^3/\text{det}$ . Debit terbesar ini lebih kecil dari pada debit yang masuk yaitu  $1,78 \text{ m}^3/\text{det}$  atau 42% dari debit inflow maksimal. Dengan diselesaikannya perhitungan pada tabel 4.59 dapat dibuat hidrograf debit masuk (Inflow) dan debit keluar (Outflow), seperti pada grafik 4.9.



Grafik 4. 9 Hidrograf Inflow dan Outflow pada Boezem

### 4.3 Perencanaan Pompa

Perencanaan pompa digunakan untuk membuang air limpasan yang tertinggal pada boezem. Pompa yang akan digunakan berkapasitas kurang dari sama dengan debit outflow yaitu  $0,75 \text{ m}^3/\text{det}$  banjir sehingga pompa yang digunakan berkapasitas  $0,50 \text{ m}^3/\text{det}$ . Untuk mengoperasionalkan pompa dilakukan saat sebelum hujan turun sehingga tidak ada limpasan yang tertinggal dan tetap menjaga tinggi tumpungan mati yaitu di elevasi  $+8.00 \text{ m}$ .

#### 4.4 Perencanaan Dimensi Saluran Outflow

Perhitungan dimensi saluran Outflow dari pintu air atau pelimpah direncanakan menggunakan debit outflow terbesar yang keluar. Untuk merencanakan dimensi saluran menggunakan rumus persamaan *manning*.

Debit terbesar yang keluar yaitu 0,750 m<sup>3</sup>/det. Bentuk penampang saluran adalah trapezium.

#### Saluran Outflow bagian hulu

$$\text{Qoutflow maks} = 0,75 \text{ m}^3/\text{det}$$

$$\text{Lebar basah (b)} = 0,561 \text{ meter}$$

$$\text{Tinggi saluran} = 1,20 \text{ meter}$$

$$I \text{ saluran} = 0,0010$$

Dengan cara coba-coba, Dimisalkan tinggi air = 0,697 m

Luas penampang basah :

$$\begin{aligned} A &= (b + my)y \\ &= (1,2 + 0,5 \times 0,561) 0,561 \\ &= 0,831 \text{ m}^2 \end{aligned}$$

Keliling basah saluran :

$$\begin{aligned} P &= b + 2y \sqrt{m^2 + 1} \\ &= 1,2 + 2 \times 0,561 + \sqrt{0,5^2 + 1} \\ &= 2,454 \text{ m} \end{aligned}$$

Jari – jari hidrolik :

$$R = \frac{A}{P} = \frac{0,831}{2,454} = 0,338 \text{ m}$$

$$\begin{aligned} \text{Kecepatan aliran (V)} &= \frac{1}{n} \times R^{2/3} \times I_0^{0.5} \\ &= \frac{1}{0.017} \times 0,338^{2/3} \times 0,0010^{0.5} \\ &= 0,903 \text{ m/det} \\ &= V \times A \\ &= 0,903 \text{ m/det} \times 0,831 \text{ m}^2 \\ &= 0,750 \text{ m}^3/\text{det.} \end{aligned}$$

Debit saluran

**Cek/control:**

$$\begin{aligned} Q_{outflow \text{ maks}} &\leq Q \text{ hidraulika} \\ 0,750 \text{ m}^3/\text{det} &\leq 0,750 \text{ m}^3/\text{det} \text{ (OK)} \end{aligned}$$

**Saluran Outflow bagian hilir**

Dierncanakan:

$$\begin{aligned} \text{Lebar basah (b)} &= 1.5 \text{ meter} \\ \text{Tinggi air (hn)} &= 0,570 \text{ meter} \\ I \text{ saluran} &= 0.0023 \\ m &= 0.5 \end{aligned}$$

Luas penampang basah :

$$\begin{aligned} A &= (b + my)y \\ &= (1,5 + 0,5 \times 0,570) 0,57 \\ &= 1,017 \text{ m}^2 \end{aligned}$$

Keliling basah saluran :

$$\begin{aligned} P &= b + 2y \sqrt{m^2 + 1} \\ &= 1,5 + 2 \times (0,57) \sqrt{0,5^2 + 1} \\ &= 2,775 \text{ m} \end{aligned}$$

Jari – jari hidrolik :

$$R = \frac{A}{P} = \frac{1,017}{2,775} = 0,367 \text{ m}$$

$$\begin{aligned} \text{Kecepatan aliran (V)} &= \frac{1}{n} \times R^{2/3} \times I_0^{0.5} \\ &= \frac{1}{0,017} \times 0,367^{2/3} \times 0,0023^{0.5} \\ &= 1,312 \text{ m/det} \end{aligned}$$

$$\begin{aligned} \text{Debit saluran} &= V \times A \\ &= 1,312 \text{ m/det} \times 1,017 \text{ m}^2 \\ &= 1,326 \text{ m}^3/\text{det.} \end{aligned}$$

Debit yang masuk pada saluran outflow pintu air sepanjang 422,75 m yaitu debit pintu air dan daerah pemukiman disekitar saluran seluas 7.63 ha.

Menghitung Debit rencana pada saluran Outflow

Panjang saluran (L) : 422,75 m

Titik terjauh ke sal (l) : 360,12 m

Kemiringan medan (Im) : 0,025

Hujan rencana (R24) : 119,49 mm

Luas Cathment Area : 7,63 ha, meliputi :

- L. Pemukiman : 2,65 ha ; C pemukiman : 0,70

- L. Jalan : 0,35 ha ; C jalan : 0,85

- L. tanah kosong : 4,64 ha ; C tanah kosong : 0,22

Menghitung nilai to

$$\text{to} = 1,44 \left( nd \frac{l}{\sqrt{S}} \right)^{0,467}$$

$$\text{to} = 1,44 \left( 0,2 \frac{360,12}{\sqrt{0,025}} \right)^{0,467}$$

$$\text{to} = 25,12 \text{ m}$$

Menghitung nilai tf

$$tf = \frac{L}{V} = \frac{422,75}{1.312} = 5,37 \text{ menit}$$

Menghitung nilai tc

$$tc = \text{to} + tf$$

$$= 25,12 \text{ menit} + 5,37 \text{ menit}$$

$$= 30,49 \text{ menit}$$

$$= 0,51 \text{ jam}$$

Menghitung Intensitas hujan

$$I_t = \frac{R_{24}}{24} \cdot \left( \frac{24}{tc} \right)^{2/3}$$

$$I_t = \frac{119,49}{24} \cdot \left( \frac{24}{0,51} \right)^{2/3} = 65,06 \text{ mm/jam}$$

Menghitung Koefesien Pengaliran (C )

$$\begin{aligned} C_{gab} &= \frac{C_1A_1 + C_2A_2 + \dots + C_nA_n}{A_1 + A_2 + \dots + A_n} \\ &= \frac{2,65 \times 0,70 + 0,35 \times 0,85 + 4,64 \times 0,22}{2,65 + 0,35 + 4,64} \\ &= 0,42 \end{aligned}$$

Menghitung debit Rasional (Q )

$$\begin{aligned} Q &= 0,278 \times C \times I \times A \\ &= 0,278 \times 0,42 \times 65,06 \text{ mm/jam} \times 0,0763 \text{ km}^2 \\ &= 0,574 \text{ m}^3/\text{det} \end{aligned}$$

Sehingga debit rencana pada saluran outflow yaitu :

$$Q \text{ total} = 0,750 \text{ m}^3/\text{det} + 0,574 \text{ m}^3/\text{det} = 1,324 \text{ m}^3/\text{det}$$

Cek/control:

$$\begin{array}{ll} Q \text{ hidrologi} & \leq Q \text{ hidraulika} \\ 1,324 \text{ m}^3/\text{det} & \leq 1,326 \text{ m}^3/\text{det} \text{ (OK)} \end{array}$$

*“Halaman ini sengaja dikosongkan”*

## BAB V

### KESIMPULAN

#### 5.1 Kesimpulan

Dari uraian secara umum dan perhitungan secara teknis pada bab- bab sebelumnya dapat disimpulkan bahwa :

1. Distribusi curah hujan yang memenuhi syarat baik dari syarat parameter statistik, uji kecocokan, dan uji Smirnov-kolmogorov yaitu distribusi Gumbel. Untuk hujan rencana berbagai periode ulang yaitu :
  - $T = 2 \text{ tahun} \rightarrow R_2 = 95,55 \text{ mm}$
  - $T = 5 \text{ tahun} \rightarrow R_5 = 109,96 \text{ mm}$
  - $T = 10 \text{ tahun} \rightarrow R_{10} = 119,50 \text{ mm}$
2. Debit limpasan pada sistem jaringan drainase kawasan *boezem* Sumur Welut yaitu :
  - Saluran Primer (P8) =  $1,084 \text{ m}^3/\text{det}$
  - Saluran Sekunder(Ss2) =  $0,316 \text{ m}^3/\text{det}$
  - Lahan Kosong =  $0,056 \text{ m}^3/\text{det}$
3. Dari hasil perhitungan debit rencana yang masuk pada saluran di dapat dimensi saluran yang bervariasi yaitu :
  - Saluran kuarter menggunakan lebar  $0.30 \text{ m} - 0.4 \text{ m}$
  - Saluran tersier menggunakan lebar  $0.40 \text{ m} - 0.60 \text{ m}$
  - Sauran skunder menggunakan lebar  $0,8 \text{ m} - 1,20 \text{ m}$
  - Saluran Primer menggunakan lebar  $1,40 \text{ m} - 1,50 \text{ m}$
4. Dari perhitungan bab sebelumnya limpasan air hujan pada *boezem* Sumur Welut selama 2 jam sebesar  $12806,15 \text{ m}^3$  berada di elevasi  $+10,34 \text{ m}$ . Adanya penulusuran banjir dengan menggunakan dua alternatif didapat tinggi limpasan air hujan  $1.690 \text{ m}$  diatas tampungan mati di elevasi  $+9,69 \text{ m}$  yaitu dengan menggunakan pintu air dan tinggi limpasan air hujan  $1,99 \text{ m}$  diatas tampungan mati di elevasi  $+9,99 \text{ m}$  yaitu

dengan menggunakan pelimpah. Dari dua alternatif tersebut *boezem* mampu menampung.

5. Ada dua cara alternatif untuk mengatasi limpasan air hujan pada *boezem* Sumur Welut yaitu:
  - Alternatif 1 menggunakan bangunan Pelimpah dengan lebar (b) = 0,50 m dan Satu buah pompa dengan kapasitas 0,50 m<sup>3</sup>/det.
  - Alternatif 2 menggunakan pintu air dengan dimensi lebar pintu (Bp) 1,20 meter dan tinggi pintu (Hp) 2,00 dan satu buah pompa dengan kapasitas 0,50 m<sup>3</sup>/det.

## 5.2 Saran

1. Pada pelaksanaan survey disarankan untuk membawa surveyor yang cukup guna kemudahan pelaksanaan dikarenakan banyaknya aspek yang perlu ditinjau.

## DAFTAR PUSTAKA

- Loebis, J. (1984). *Banjir Rencana untuk Bangunan Air*. Jakarta: Badan Penerbit.
- Soemarto, C. (1987). *Hidrologi Teknik*. Surabaya: Usaha Nasional.
- Soewarno. (1995). *Hidrologi Aplikasi Metode Statistik untuk Analisa Data*. Bandung: NOVA.
- Subarkah, I. (1980). *Hidrologi untuk Bangunan Air*. Bandung: Idea Dharma.
- Triatmodjo, B. (2008). *Hidrologi Terapan*. Yogyakarta: Beta Offset.

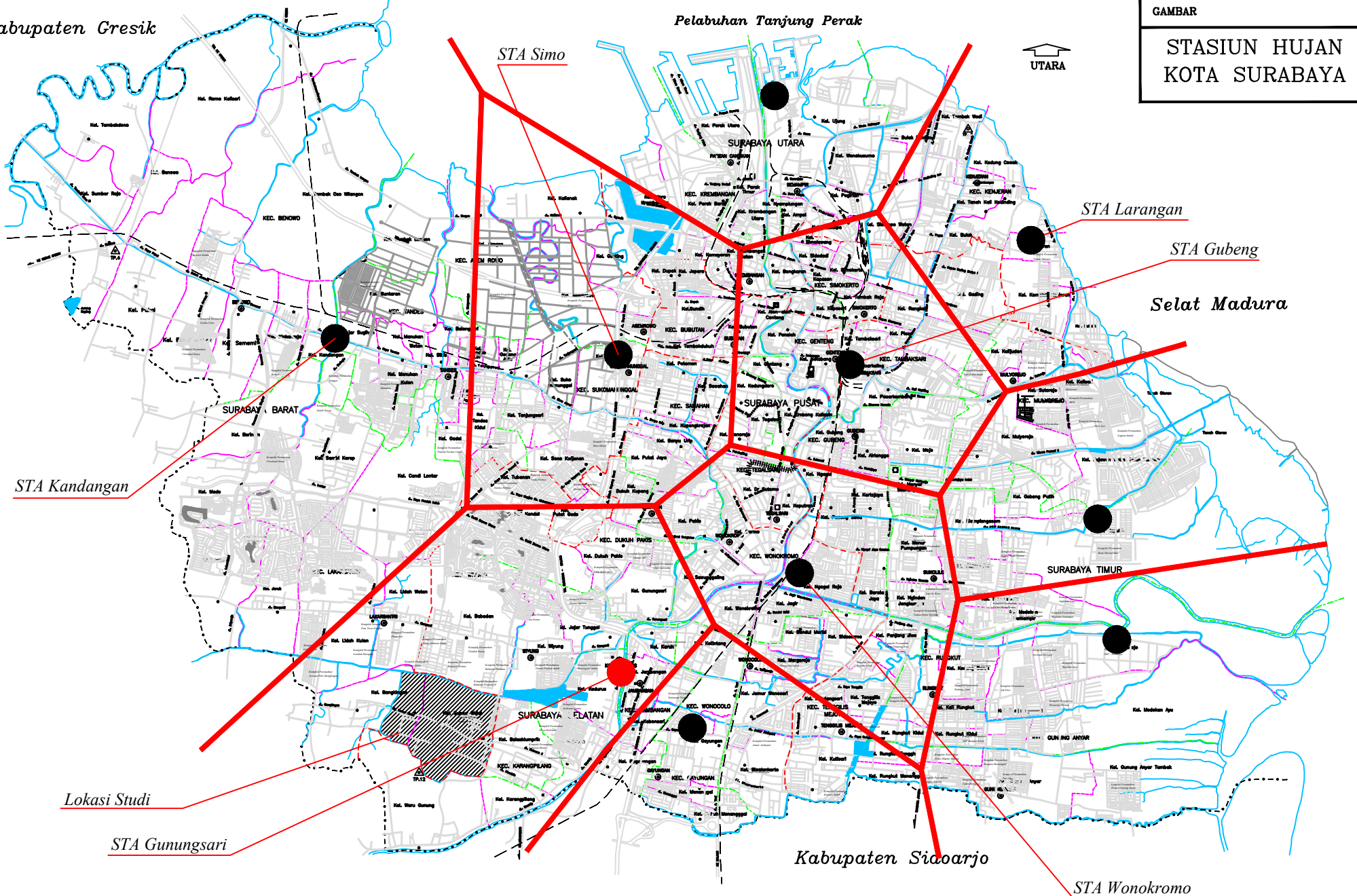
## **LAMPIRAN**

GAMBAR

**STASIUN HUJAN  
KOTA SURABAYA**



Kabupaten Gresik



Pelabuhan Tanjung Perak



DINAS PENGENDALIAN DAN PENANGGULANGAN BANJIR  
KOTA SURABAYA

LEGENDA PETA :  
Batas Kota Jalan Kota Rel KA Sungai Waduk/Bozem

Batas Kota Jalan Kota Rel KA Sungai Waduk/Bozem

Skala  
0 0.5 1.0 2.0 3.0 km

Nama File : Tanggal :



INSTITUT TEKNOLOGI SEPULUH NOPEMBER  
FAKULTAS TEKNIK SIPIL DAN PERENCANAAN  
PROGRAM STUDI SI-LJ TEKNIK SIPIL

KETERANGAN

- Saluran Sekunder
- Saluran Sekunder
- Saluran Tersier

JUDUL TUGAS AKHIR

PERENCANAAN SISTEM JARINGAN DRAINASE  
KAWASAN BOEZEM SUMUR WELUT,  
SURABAYA BARAT

DOSEN

Prof. Dr. Ir. Nadjadji Anwar MSc  
NIP. 19540113 198010 1 001

NAMA MAHASISWA

Rachmad Harnadi  
NRP. 3115 105 046

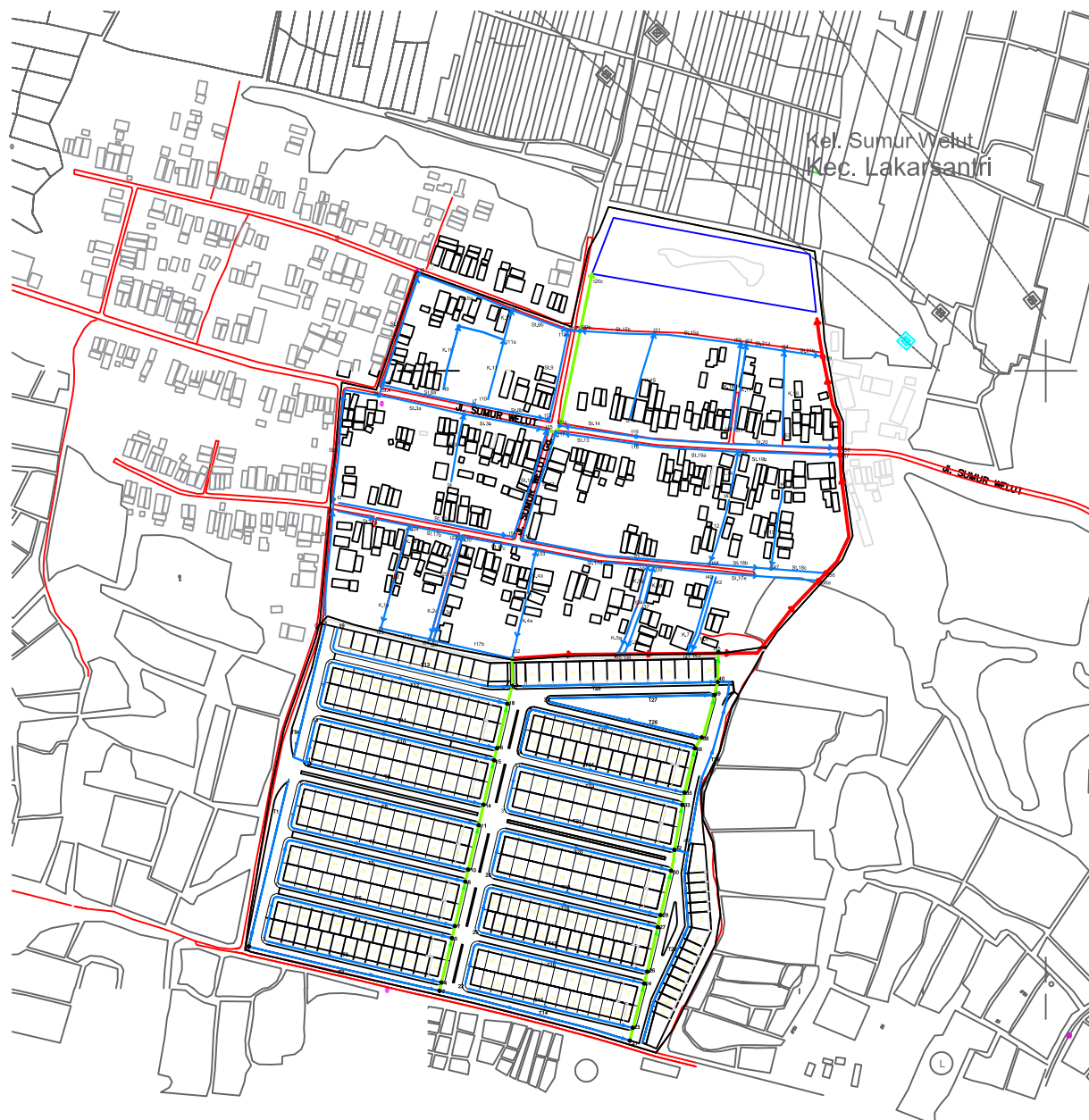
JUDUL GAMBAR

Cathment Area Boezem Sumur Welut

SKALA

1:200

| NO GAMBAR | JML LEMBAR |
|-----------|------------|
| 02        | 32         |





INSTITUT TEKNOLOGI SEPULUH NOPEMBER  
FAKULTAS TEKNIK SIPIL DAN PERENCANAAN  
PROGRAM STUDI SI-LJ TEKNIK SIPIL

KETERANGAN

- Saluran Sekunder
- Saluran Sekunder
- Saluran Tersier

JUDUL TUGAS AKHIR

PERENCANAAN SISTEM JARINGAN DRAINASE  
KAWASAN BOEZEM SUMUR WELUT,  
SURABAYA BARAT

DOSEN

Prof. Dr. Ir. Nadjadji Anwar MSc  
NIP. 19540113 198010 1 001

NAMA MAHASISWA

Rachmad Harnadi  
NRP. 3115 105 046

JUDUL GAMBAR

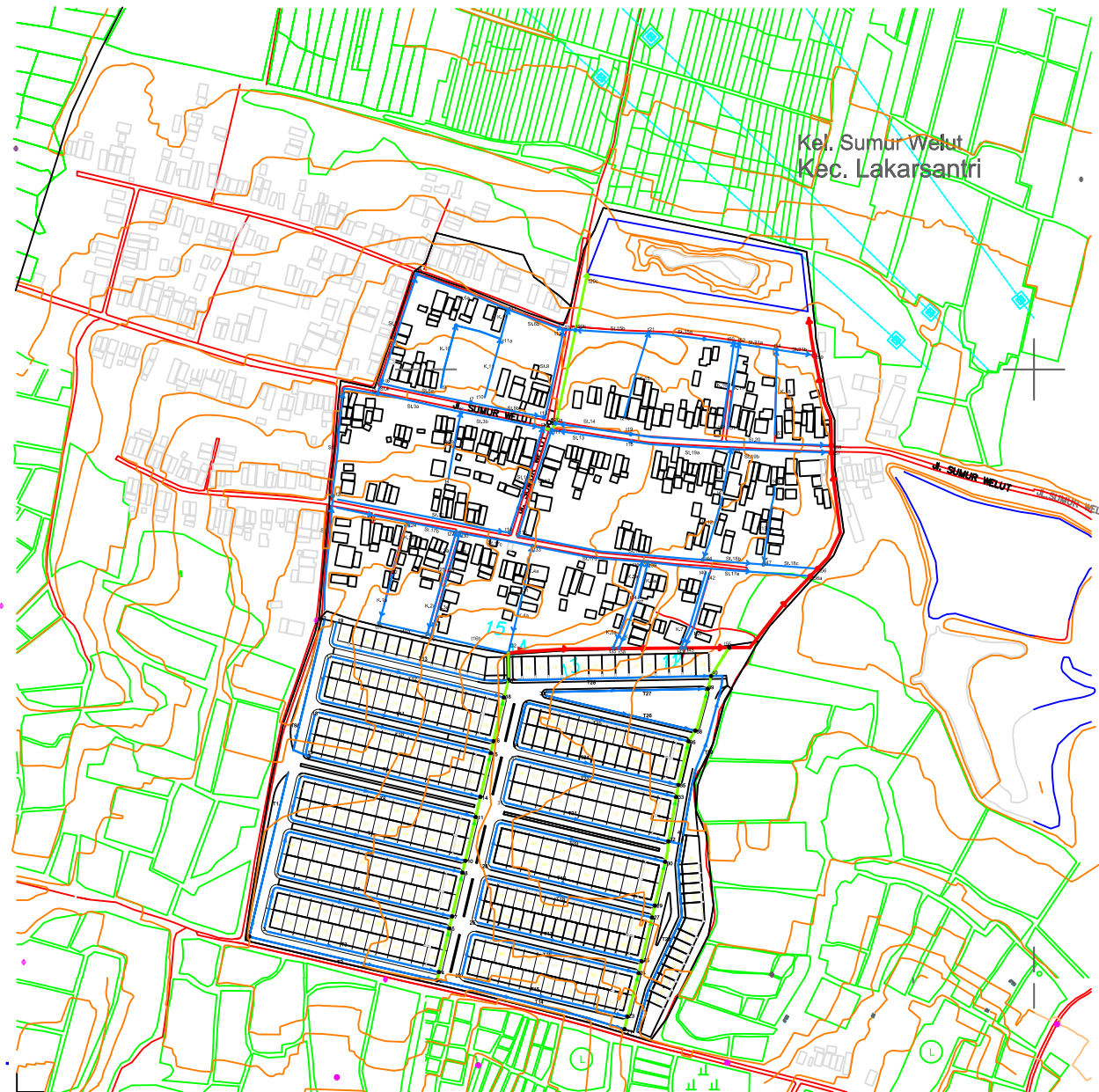
Peta Topografi pada Kawasan Boezem  
Sumur Welut

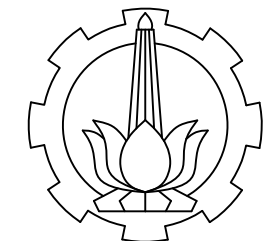
SKALA

1:200

| NO GAMBAR | JML LEMBAR |
|-----------|------------|
|-----------|------------|

|    |    |
|----|----|
| 03 | 32 |
|----|----|





INSTITUT TEKNOLOGI SEPULUH NOPEMBER  
FAKULTAS TEKNIK SIPIL DAN PERENCANAAN  
PROGRAM STUDI SI-LJ TEKNIK SIPIL

KETERANGAN

- Saluran Sekunder
- Saluran Tersier

JUDUL TUGAS AKHIR

PERENCANAAN SISTEM JARINGAN DRAINASE  
KAWASAN BOEZEM SUMUR WELUT,  
SURABAYA BARAT

DOSEN

Prof. Dr. Ir. Nadjadji Anwar MSc  
NIP. 19540113 198010 1 001

NAMA MAHASISWA

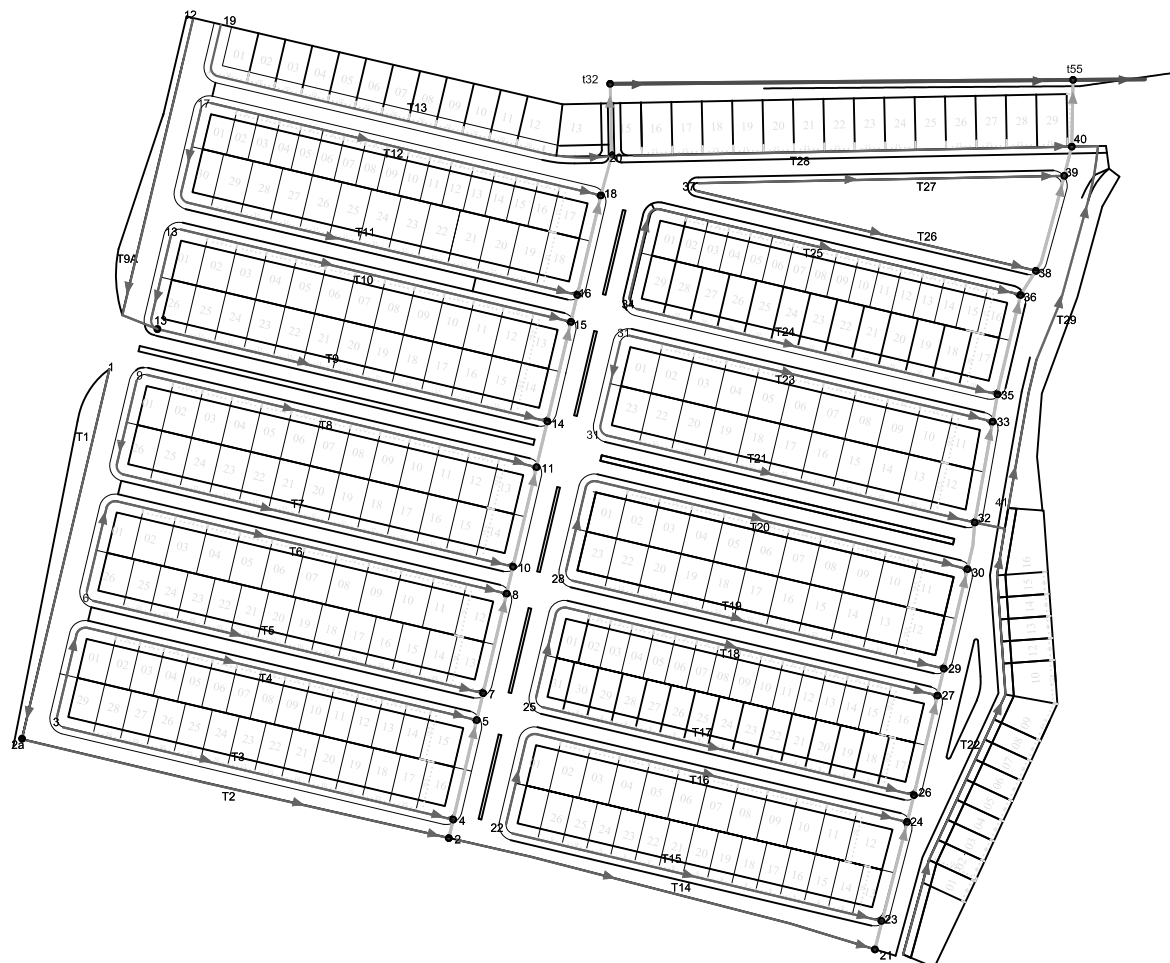
Rachmad Harnadi  
NRP. 3115 105 046

JUDUL GAMBAR

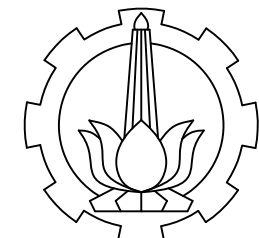
Gambar Denah Kavling Perumahan

SKALA

1:40



| NO LEMBAR | JML GAMBAR |
|-----------|------------|
| 04        | 32         |



INSTITUT TEKNOLOGI SEPULUH NOPEMBER  
FAKULTAS TEKNIK SIPIL DAN PERENCANAAN  
PROGRAM STUDI SI-LJ TEKNIK SIPIL

#### KETERANGAN

- Saluran Sekunder
- Saluran Tersier

#### JUDUL TUGAS AKHIR

PERENCANAAN SISTEM JARINGAN DRAINASE  
KAWASAN BOEZEM SUMUR WELUT,  
SURABAYA BARAT

#### DOSEN

Prof. Dr. Ir. Nadjadji Anwar MSc  
NIP. 19540113 198010 1 001

#### NAMA MAHASISWA

Rachmad Harnadi  
NRP. 3115 105 046

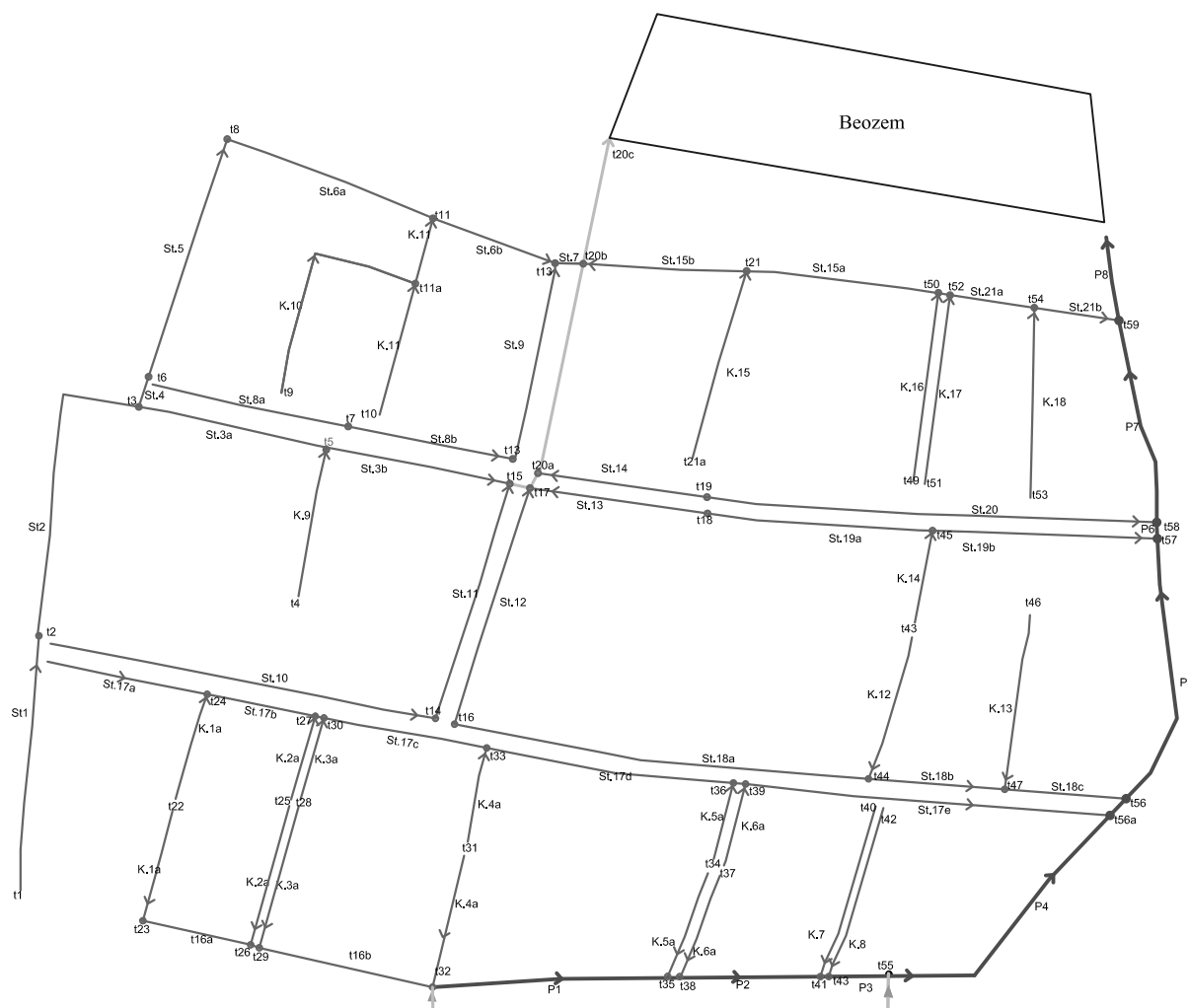
#### JUDUL GAMBAR

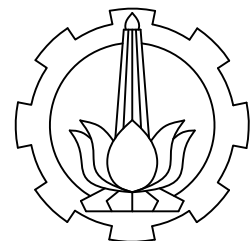
Gambar Rencana Jaringan Drainase  
Pemukiman

#### SKALA

1:40

| NO LEMBAR | JML GAMBAR |
|-----------|------------|
| 05        | 32         |





INSTITUT TEKNOLOGI SEPULUH NOPEMBER  
FAKULTAS TEKNIK SIPIL DAN PERENCANAAN  
PROGRAM STUDI SI-LJ TEKNIK SIPIL

KETERANGAN

- Saluran Sekunder
- Saluran Tersier

JUDUL TUGAS AKHIR

PERENCANAAN SISTEM JARINGAN DRAINASE  
KAWASAN BOEZEM SUMUR WELUT,  
SURABAYA BARAT

DOSEN

Prof. Dr. Ir. Nadjadji Anwar MSc  
NIP. 19540113 198010 1 001

NAMA MAHASISWA

Rachmad Harnadi  
NRP. 3115 105 046

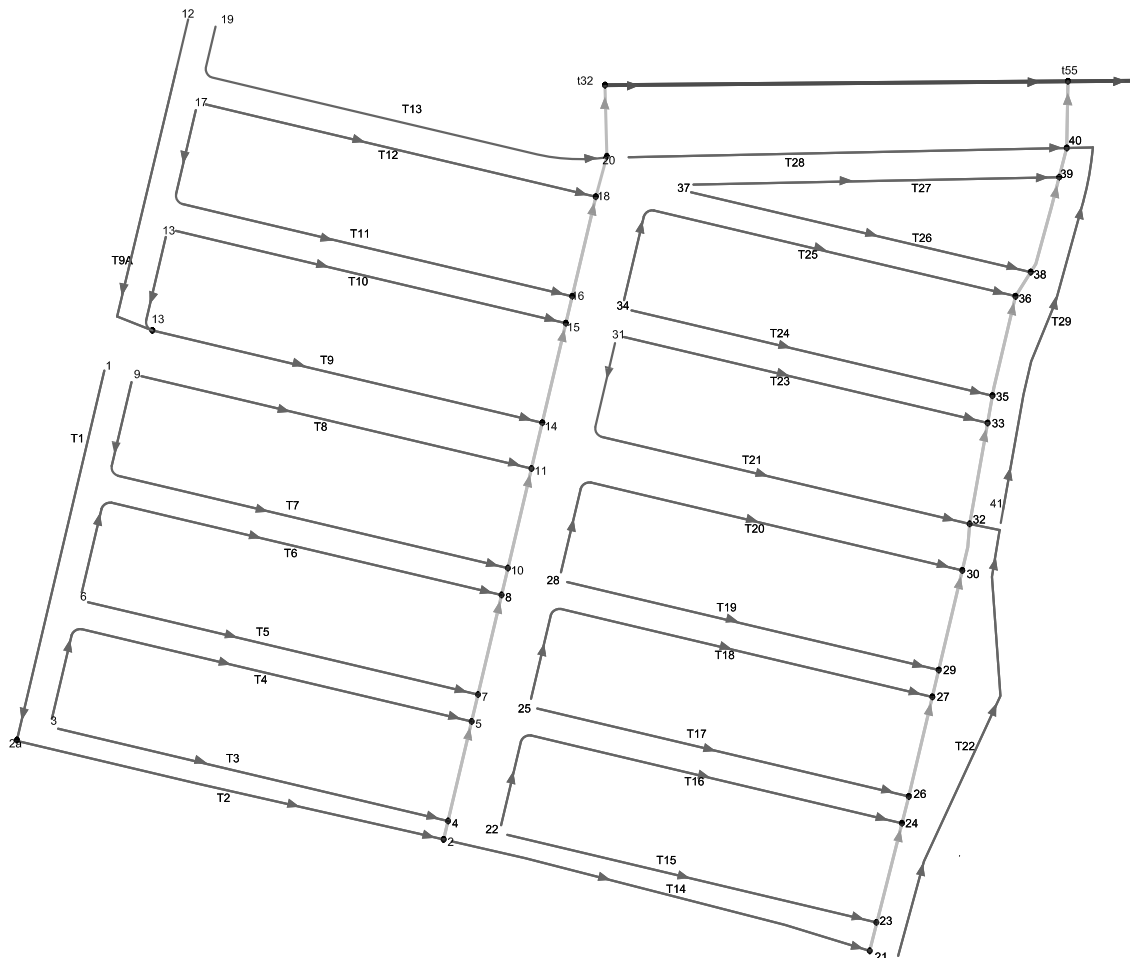
JUDUL GAMBAR

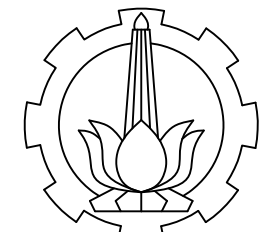
Gambar Rencana Jaringan Drainase  
Perumahan

SKALA

1:40

| NO LEMBAR | JML GAMBAR |
|-----------|------------|
| 06        | 32         |





INSTITUT TEKNOLOGI SEPULUH NOPEMBER  
FAKULTAS TEKNIK SIPIL DAN PERENCANAAN  
PROGRAM STUDI SI-LJ TEKNIK SIPIL

KETERANGAN

- Saluran Sekunder
- Saluran Sekunder
- Saluran Tersier

JUDUL TUGAS AKHIR

PERENCANAAN SISTEM JARINGAN DRAINASE  
KAWASAN BOEZEM SUMUR WELUT,  
SURABAYA BARAT

DOSEN

Prof. Dr. Ir. Nadjadji Anwar MSc  
NIP. 19540113 198010 1 001

NAMA MAHASISWA

Rachmad Harnadi  
NRP. 3115 105 046

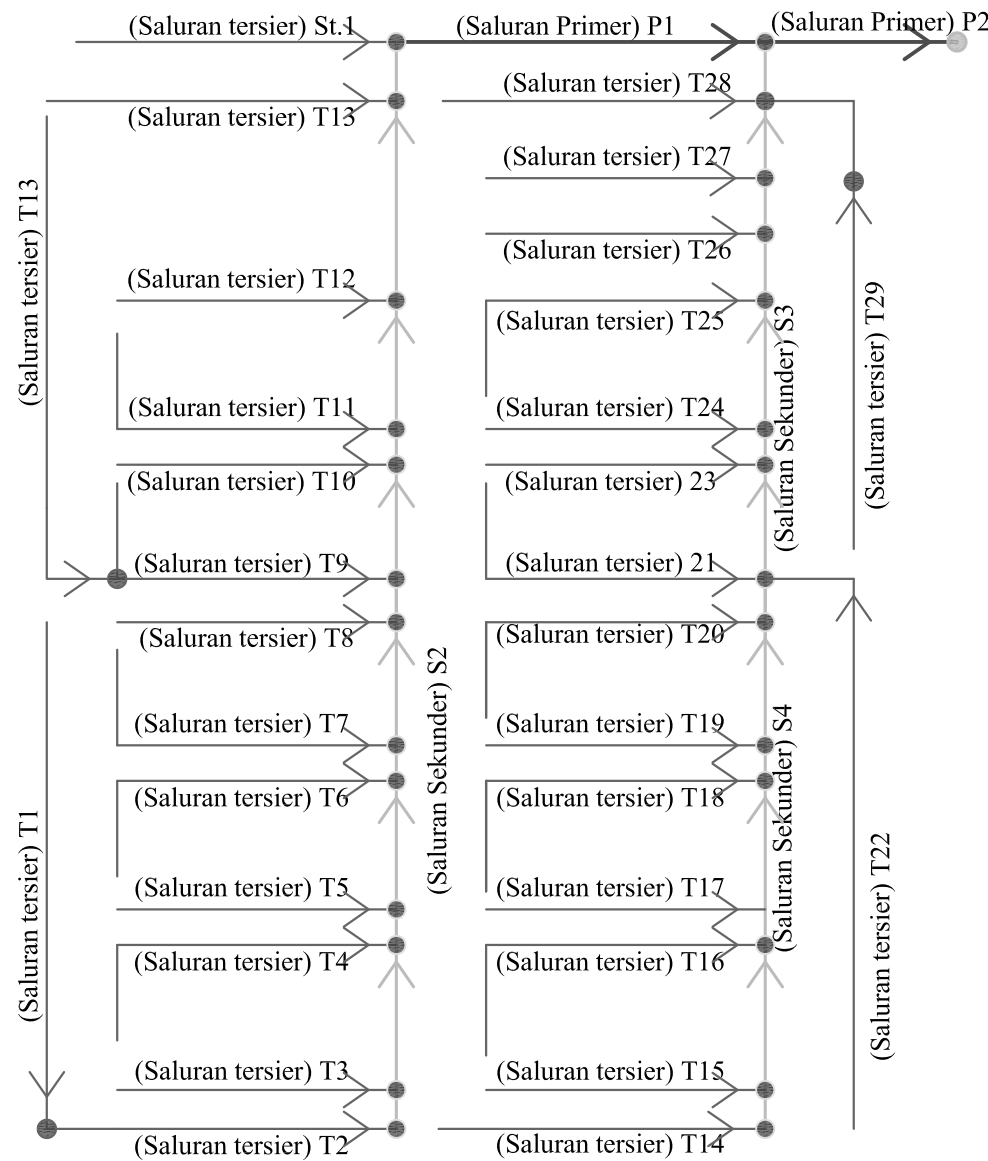
JUDUL GAMBAR

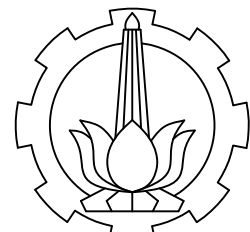
Gambar Rencana Skema Jaringan Drainase  
Perumahan

SKALA

NO GAMBAR JML LEMBAR

07 32





INSTITUT TEKNOLOGI SEPULUH NOPEMBER  
FAKULTAS TEKNIK SIPIL DAN PERENCANAAN  
PROGRAM STUDI SI-LJ TEKNIK SIPIL

KETERANGAN

- Saluran Sekunder
- Saluran Sekunder
- Saluran Tersier

JUDUL TUGAS AKHIR

PERENCANAAN SISTEM JARINGAN DRAINASE  
KAWASAN BOEZEM SUMUR WELUT,  
SURABAYA BARAT

DOSEN

Prof. Dr. Ir. Nadjadji Anwar MSc  
NIP. 19540113 198010 1 001

NAMA MAHASISWA

Rachmad Harnadi  
NRP. 3115 105 046

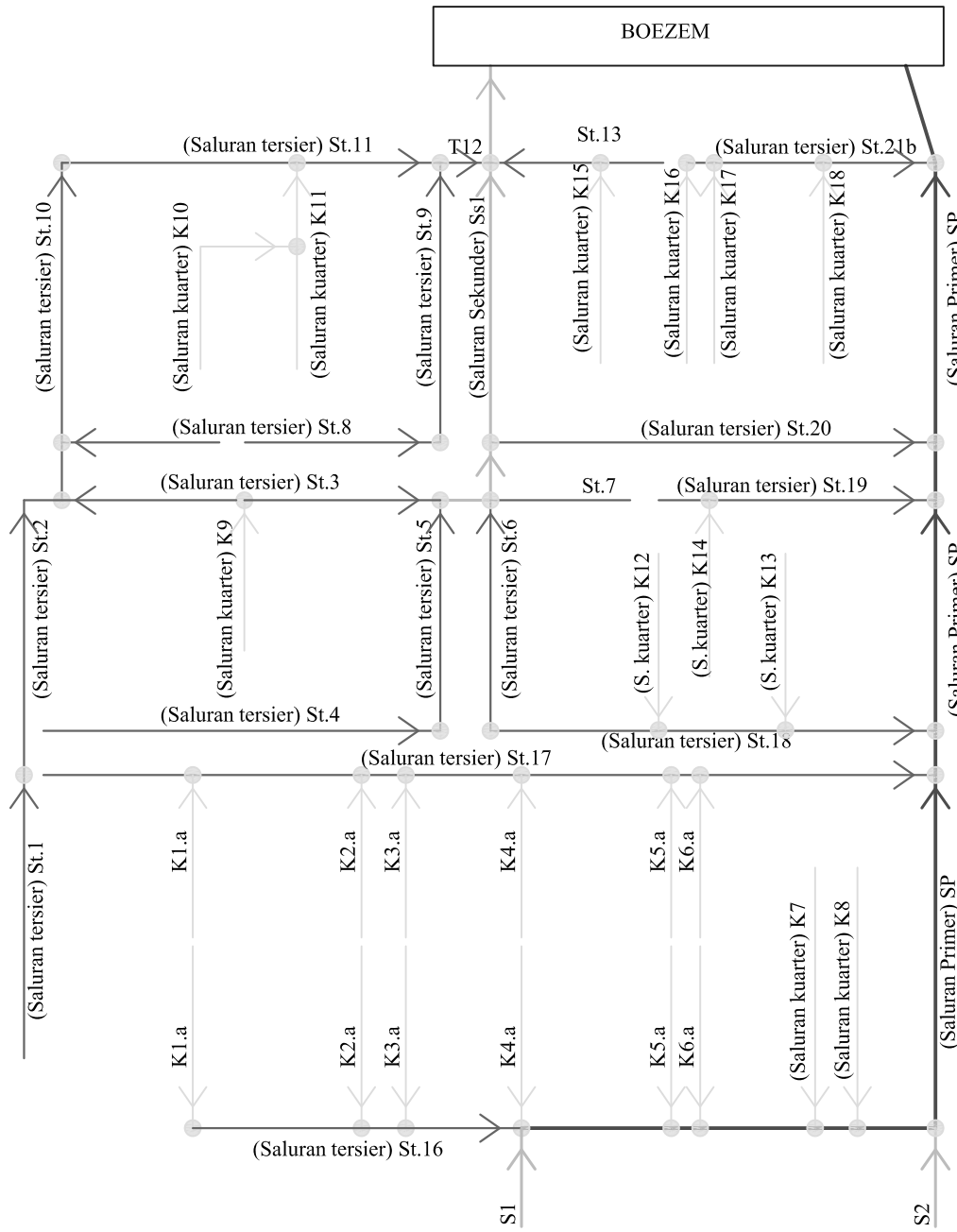
JUDUL GAMBAR

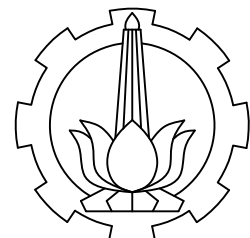
Gambar Rencana Skema Jaringan Drainase  
Pemukiman Warga

SKALA

NO LEMBAR JML GAMBAR

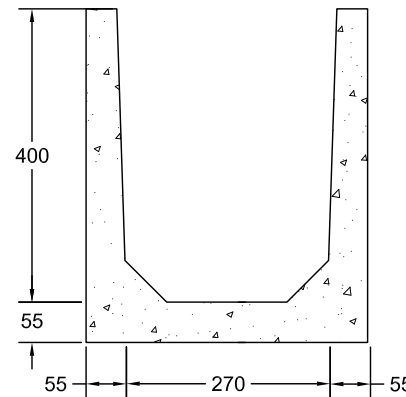
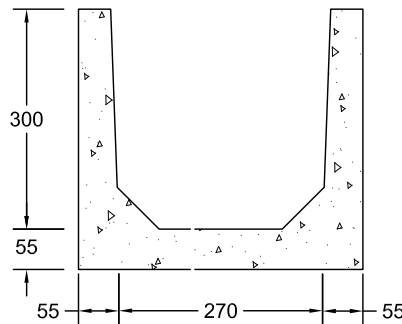
08 32





INSTITUT TEKNOLOGI SEPULUH NOPEMBER  
FAKULTAS TEKNIK SIPIL DAN PERENCANAAN  
PROGRAM STUDI SI-LJ TEKNIK SIPIL

KETERANGAN



JUDUL TUGAS AKHIR

PERENCANAAN SISTEM JARINGAN DRAINASE  
KAWASAN BOEZEM SUMUR WELUT,  
SURABAYA BARAT

DOSEN

Prof. Dr. Ir. Nadjadji Anwar MSc  
NIP. 19540113 198010 1 001

NAMA MAHASISWA

Rachmad Harnadi  
NRP. 3115 105 046

JUDUL GAMBAR

GAMBAR TYPICAL SALURAN

SKALA

1:10

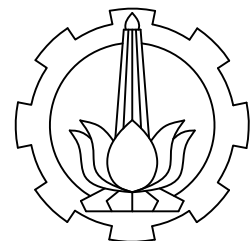
| No | Saluran | b (m) | h (m) |
|----|---------|-------|-------|
| 1  | St.8a   | 0.30  | 0.15  |
| 2  | St.8b   | 0.30  | 0.15  |
| 3  | St.9    | 0.30  | 0.21  |
| 4  | St.13   | 0.30  | 0.16  |
| 5  | K.1a    | 0.30  | 0.20  |
| 6  | K.2a    | 0.30  | 0.18  |
| 7  | K.3a    | 0.30  | 0.20  |
| 8  | K.4a    | 0.30  | 0.20  |
| 9  | K.5a    | 0.30  | 0.20  |
| 10 | K.6a    | 0.30  | 0.18  |

| No | Saluran | b (m) | h (m) |
|----|---------|-------|-------|
| 11 | K.7     | 0.30  | 0.14  |
| 12 | K.8     | 0.30  | 0.11  |
| 13 | K.1b    | 0.30  | 0.13  |
| 14 | K.2b    | 0.30  | 0.10  |
| 15 | K.3b    | 0.30  | 0.08  |
| 16 | K.4b    | 0.30  | 0.26  |
| 17 | K.5b    | 0.30  | 0.20  |
| 18 | K.6b    | 0.30  | 0.17  |
| 19 | K.14    | 0.30  | 0.14  |

| No | Saluran | b (m) | h (m) |
|----|---------|-------|-------|
| 1  | k.12    | 0.30  | 0.31  |
| 2  | k.13    | 0.30  | 0.33  |
| 3  | St.20   | 0.30  | 0.25  |
| 4  | K.16    | 0.30  | 0.24  |
| 5  | K.17    | 0.30  | 0.29  |
| 6  | K.18    | 0.30  | 0.31  |

NO LEMBAR JML GAMBAR

9 32



INSTITUT TEKNOLOGI SEPULUH NOPEMBER  
FAKULTAS TEKNIK SIPIL DAN PERENCANAAN  
PROGRAM STUDI SI-LJ TEKNIK SIPIL

KETERANGAN

JUDUL TUGAS AKHIR

PERENCANAAN SISTEM JARINGAN DRAINASE  
KAWASAN BOEZEM SUMUR WELUT,  
SURABAYA BARAT

DOSEN

Prof. Dr. Ir. Nadjadji Anwar MSc  
NIP. 19540113 198010 1 001

NAMA MAHASISWA

Rachmad Harnadi  
NRP. 3115 105 046

JUDUL GAMBAR

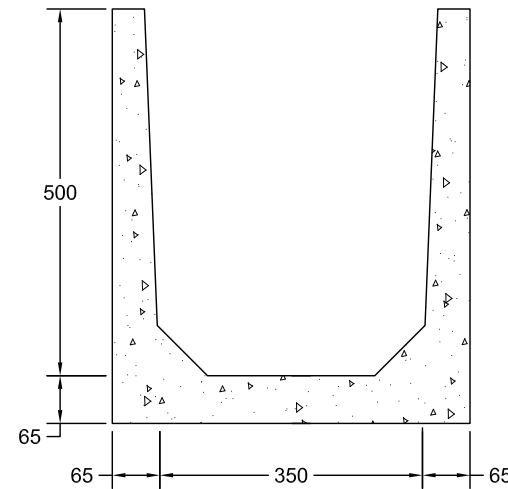
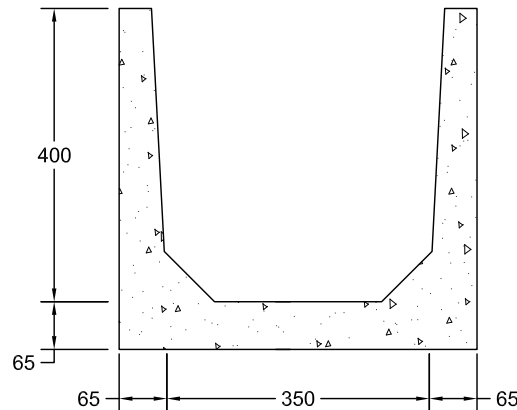
GAMBAR TYPICAL SALURAN

SKALA

1:10

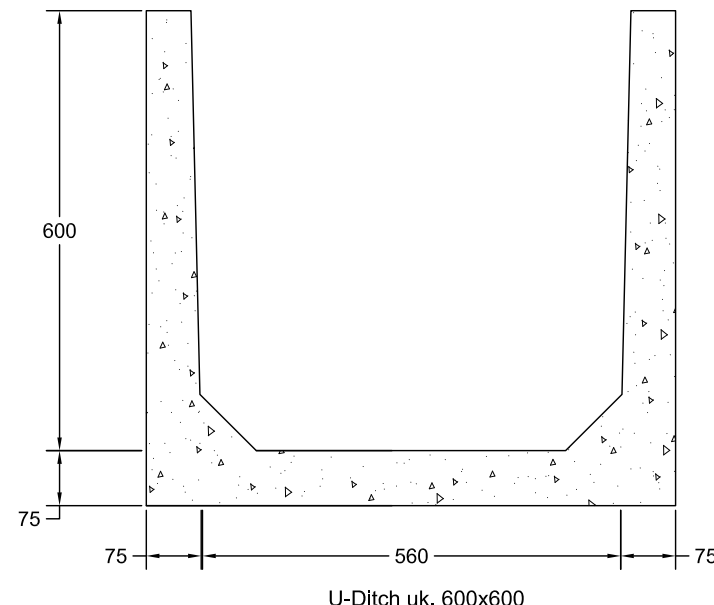
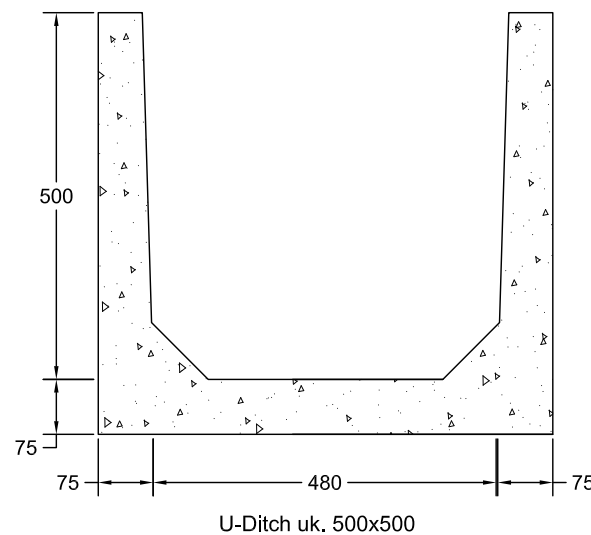
NO LEMBAR JML GAMBAR

10 32



| No | Saluran | b (m) | h (m) |
|----|---------|-------|-------|
| 1  | T.1     | 0.40  | 0.27  |
| 2  | T.9A    | 0.40  | 0.25  |
| 3  | T.26    | 0.40  | 0.20  |
| 4  | T.27    | 0.40  | 0.22  |
| 5  | K.10    | 0.40  | 0.28  |
| 6  | K.11    | 0.40  | 0.23  |
| 7  | K.9     | 0.40  | 0.22  |
| 8  | K.15    | 0.40  | 0.23  |
| 9  | St.16a  | 0.40  | 0.14  |
| 10 | St.17a  | 0.40  | 0.17  |
| 11 | St.17b  | 0.40  | 0.24  |
| 12 | St.17c  | 0.40  | 0.24  |
| 13 |         |       |       |

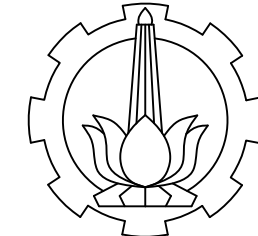
| No | Saluran | b (m) | h (m) |
|----|---------|-------|-------|
| 1  | St.1    | 0.40  | 0.22  |
| 2  | St.2    | 0.40  | 0.29  |
| 3  | TK.11a  | 0.40  | 0.39  |
| 4  | St.12   | 0.40  | 0.22  |
| 5  | K.11a   | 0.40  | 0.15  |
| 6  | St.12   | 0.40  | 0.25  |
| 7  | St.14   | 0.40  | 0.33  |
| 8  | St.16b  | 0.40  | 0.33  |
| 9  | St.18a  | 0.40  | 0.30  |
| 10 | St.18b  | 0.40  | 0.41  |
| 11 | St.19a  | 0.40  | 0.20  |
| 12 | St.19b  | 0.40  | 0.34  |



| No | Saluran | b (m) | h (m) |
|----|---------|-------|-------|
| 1  | T.2     | 0.50  | 0.26  |
| 2  | S1.A    | 0.50  | 0.26  |
| 3  | T.3     | 0.50  | 0.33  |
| 4  | T.4     | 0.50  | 0.33  |
| 5  | T.5     | 0.50  | 0.32  |
| 6  | T.6     | 0.50  | 0.34  |
| 7  | T.7     | 0.50  | 0.32  |
| 8  | T.9     | 0.50  | 0.38  |
| 9  | T.10    | 0.50  | 0.33  |
| 10 | T.11    | 0.50  | 0.34  |
| 11 | T.12    | 0.50  | 0.32  |
| 12 | T.13    | 0.50  | 0.37  |
| 13 | T.14    | 0.50  | 0.31  |
| 14 | T.15    | 0.50  | 0.31  |
| 15 | S2.A    | 0.50  | 0.31  |
| 16 | T.16    | 0.50  | 0.35  |
| 17 | T.17    | 0.50  | 0.32  |
| 18 | T.18    | 0.50  | 0.34  |

| No | Saluran | b (m) | h (m) |
|----|---------|-------|-------|
| 19 | T.19    | 0.50  | 0.31  |
| 20 | T.20    | 0.50  | 0.41  |
| 21 | T.21    | 0.50  | 0.32  |
| 22 | T.22    | 0.50  | 0.37  |
| 23 | T.23    | 0.50  | 0.32  |
| 24 | T.24    | 0.50  | 0.34  |
| 25 | T.25    | 0.50  | 0.32  |
| 28 | T.28    | 0.50  | 0.38  |
| 29 | T.29    | 0.50  | 0.20  |
| 30 | St.3a   | 0.50  | 0.35  |
| 31 | St.4    | 0.50  | 0.39  |
| 32 | St.3b   | 0.50  | 0.24  |
| 33 | St.15a  | 0.50  | 0.15  |
| 34 | St.15b  | 0.50  | 0.38  |
| 35 | St.17d  | 0.50  | 0.40  |
| 36 | St.17e  | 0.50  | 0.43  |
| 37 | St.18c  | 0.50  | 0.41  |
| 38 | St.21a  | 0.50  | 0.26  |
| 39 | St.21b  | 0.50  | 0.36  |

| No | Saluran | b (m) | h (m) |
|----|---------|-------|-------|
| 19 | St.5    | 0.60  | 0.46  |
| 20 | St.7    | 0.60  | 0.48  |
|    |         |       |       |
|    |         |       |       |
|    |         |       |       |
|    |         |       |       |
|    |         |       |       |
|    |         |       |       |



INSTITUT TEKNOLOGI SEPULUH NOPEMBER  
FAKULTAS TEKNIK SIPIL DAN PERENCANAAN  
PROGRAM STUDI SI-LJ TEKNIK SIPIL

#### KETERANGAN

#### JUDUL TUGAS AKHIR

PERENCANAAN SISTEM JARINGAN DRAINASE  
KAWASAN BOEZEM SUMUR WELUT,  
SURABAYA BARAT

#### DOSEN

Prof. Dr. Ir. Nadjadji Anwar MSc  
NIP. 19540113 198010 1 001

#### NAMA MAHASISWA

Rachmad Harnadi  
NRP. 3115 105 046

#### JUDUL GAMBAR

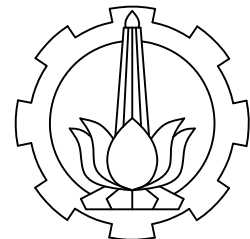
#### GAMBAR TYPICAL SALURAN

#### SKALA

1:10

|           |            |
|-----------|------------|
| NO LEMBAR | JML GAMBAR |
|-----------|------------|

|    |    |
|----|----|
| 11 | 32 |
|----|----|



INSTITUT TEKNOLOGI SEPULUH NOPEMBER  
FAKULTAS TEKNIK SIPIL DAN PERENCANAAN  
PROGRAM STUDI SI-LJ TEKNIK SIPIL

KETERANGAN

JUDUL TUGAS AKHIR

PERENCANAAN SISTEM JARINGAN DRAINASE  
KAWASAN BOEZEM SUMUR WELUT,  
SURABAYA BARAT

DOSEN

Prof. Dr. Ir. Nadjadji Anwar MSc  
NIP. 19540113 198010 1 001

NAMA MAHASISWA

Rachmad Harnadi  
NRP. 3115 105 046

JUDUL GAMBAR

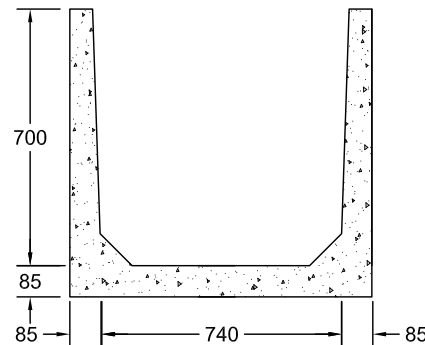
GAMBAR TYPICAL SALURAN

SKALA

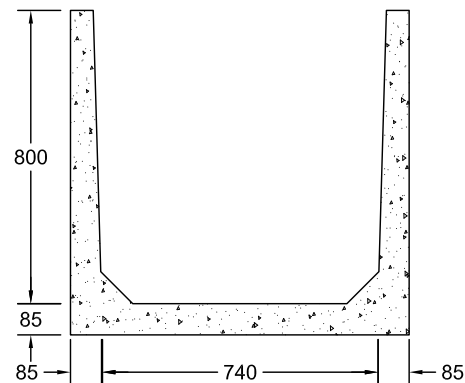
1:20

| NO LEMBAR | JML GAMBAR |
|-----------|------------|
|-----------|------------|

|    |    |
|----|----|
| 12 | 32 |
|----|----|



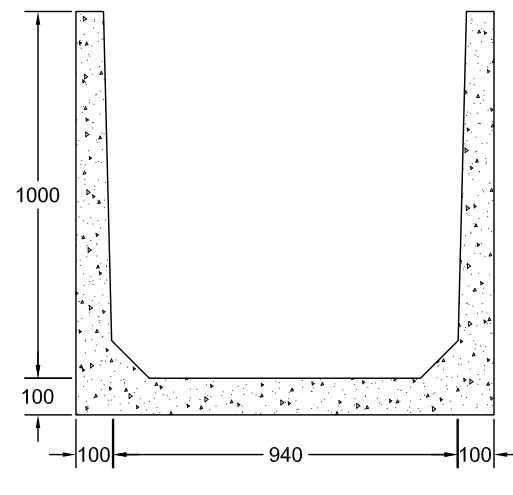
U-Ditch uk. 700x700



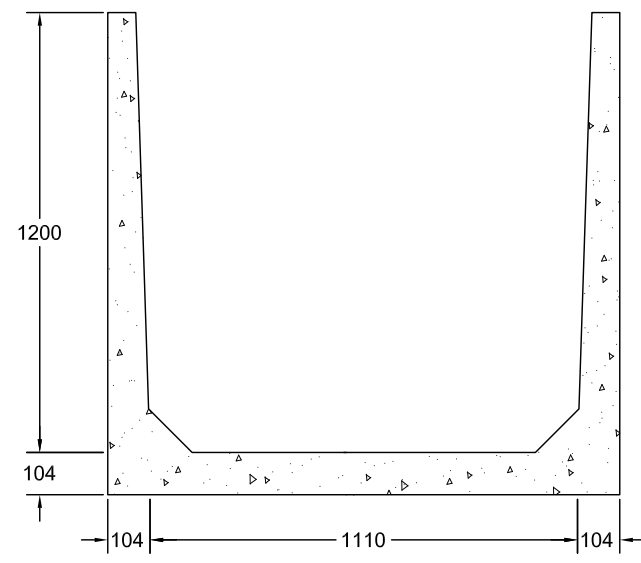
U-Ditch uk. 800x800

| No  | Saluran | b (m) | h (m) |
|-----|---------|-------|-------|
| 1   | St.6a   | 0.70  | 0.396 |
| 2   | St.6b   | 0.70  | 0.51  |
| ... | ...     | ...   | ...   |
| ... | ...     | ...   | ...   |

| No | Saluran | b (m) | h (m) |
|----|---------|-------|-------|
| 1  | S1.B    | 0.80  | 0.27  |
| 2  | S1.C    | 0.80  | 0.38  |
| 3  | S1.D    | 0.80  | 0.46  |
| 4  | S1.E    | 0.80  | 0.55  |
| 5  | S1.F    | 0.80  | 0.49  |
| 6  | S2.B    | 0.80  | 0.31  |
| 7  | S2.C    | 0.80  | 0.43  |
| 8  | S2.D    | 0.80  | 0.53  |
| 9  | S2.E    | 0.80  | 0.64  |
| 11 | Ss.1    | 0.80  | 0.38  |

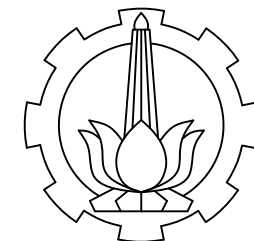


U-Ditch uk. 1000x1000



U-Ditch uk. 1200x1200

| No | Saluran | b (m) | h (m) |
|----|---------|-------|-------|
| 1  | S2.I    | 1.20  | 0.68  |
| 2  | S2.J    | 1.20  | 0.71  |
| 3  | S2.K    | 1.20  | 0.75  |
| 4  | S2.L    | 1.20  | 0.76  |
| 5  | S2.M    | 1.20  | 0.77  |
| 6  | S2.N    | 1.20  | 0.83  |



**INSTITUT TEKNOLOGI SEPULUH NOPEMBER  
FAKULTAS TEKNIK SIPIL DAN PERENCANAAN  
PROGRAM STUDI SI-LJ TEKNIK SIPIL**

## KETERANGAN

## JUDUL TUGAS AKHIR

## PERENCANAAN SISTEM JARINGAN DRAINASE KAWASAN BOEZEM SUMUR WELUT, SURABAYA BARAT

DOSEN

Prof. Dr. Ir. Nadjadji Anwar MSc  
NIP. 19540113 198010 1 001

NAMA MAHASISWA

Rachmad Harnadi  
NRP. 3115 105 046

### JUDUL GAMBAR

## GAMBAR TYPICAL SALURAN

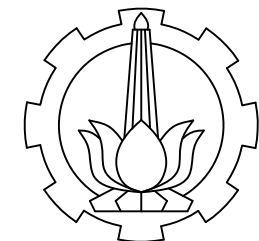
SKALA

1:20

|           |            |
|-----------|------------|
| NO LEMBAR | JML GAMBAR |
|-----------|------------|

13

32



INSTITUT TEKNOLOGI SEPULUH NOPEMBER  
FAKULTAS TEKNIK SIPIL DAN PERENCANAAN  
PROGRAM STUDI SI-LJ TEKNIK SIPIL

KETERANGAN

JUDUL TUGAS AKHIR

PERENCANAAN SISTEM JARINGAN DRAINASE  
KAWASAN BOEZEM SUMUR WELUT,  
SURABAYA BARAT

DOSEN

Prof. Dr. Ir. Nadjadji Anwar MSc  
NIP. 19540113 198010 1 001

NAMA MAHASISWA

Rachmad Harnadi  
NRP. 3115 105 046

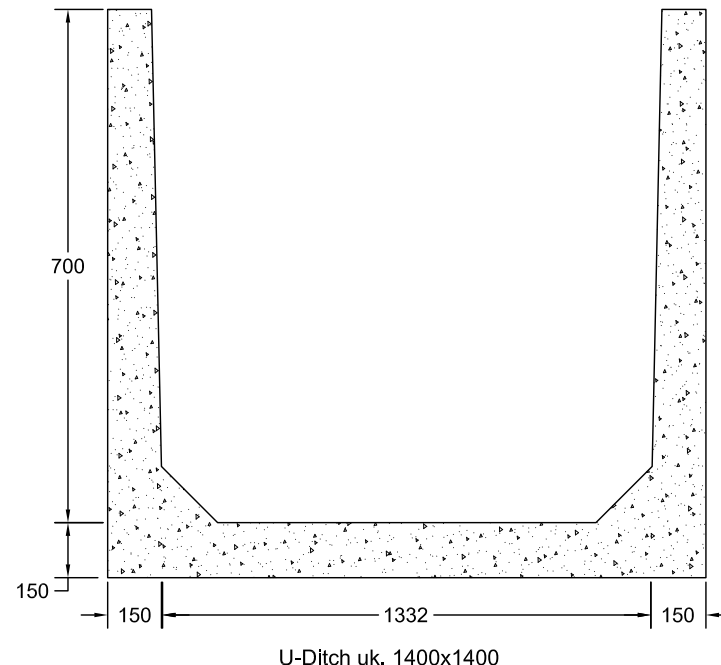
JUDUL GAMBAR

GAMBAR TYPICAL SALURAN

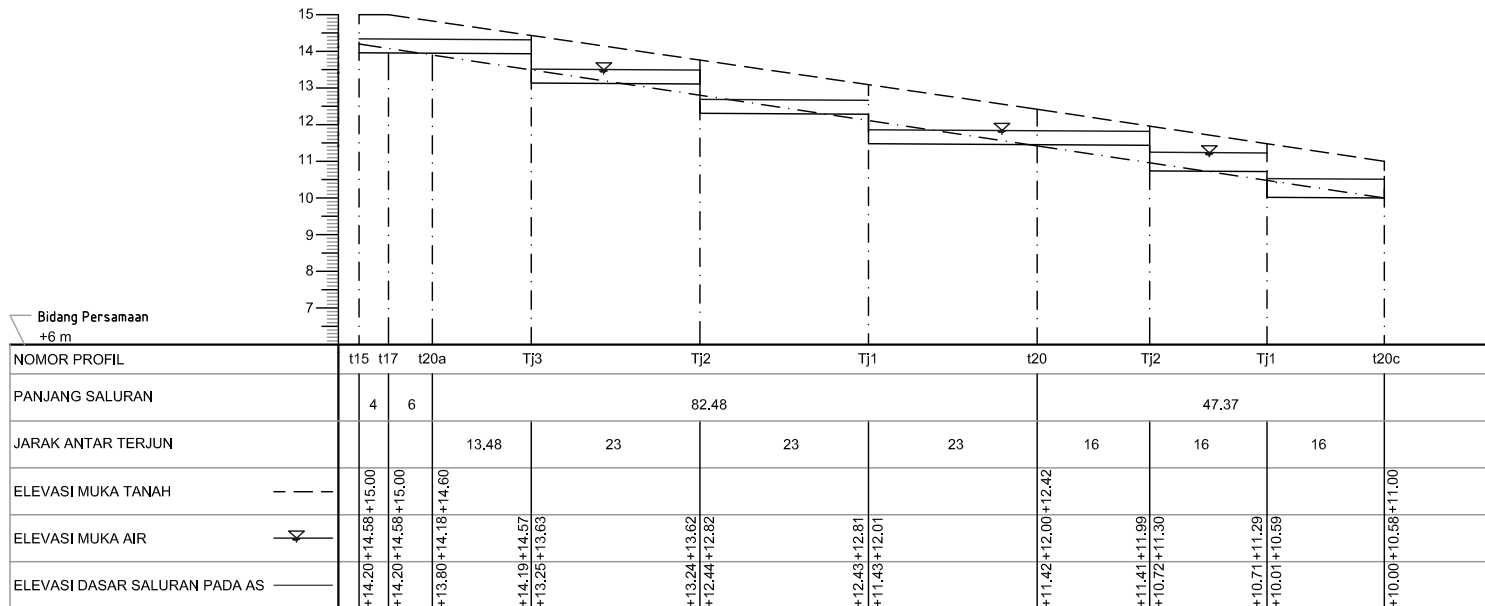
SKALA

1:20

| NO LEMBAR | JML GAMBAR |
|-----------|------------|
| 14        | 32         |

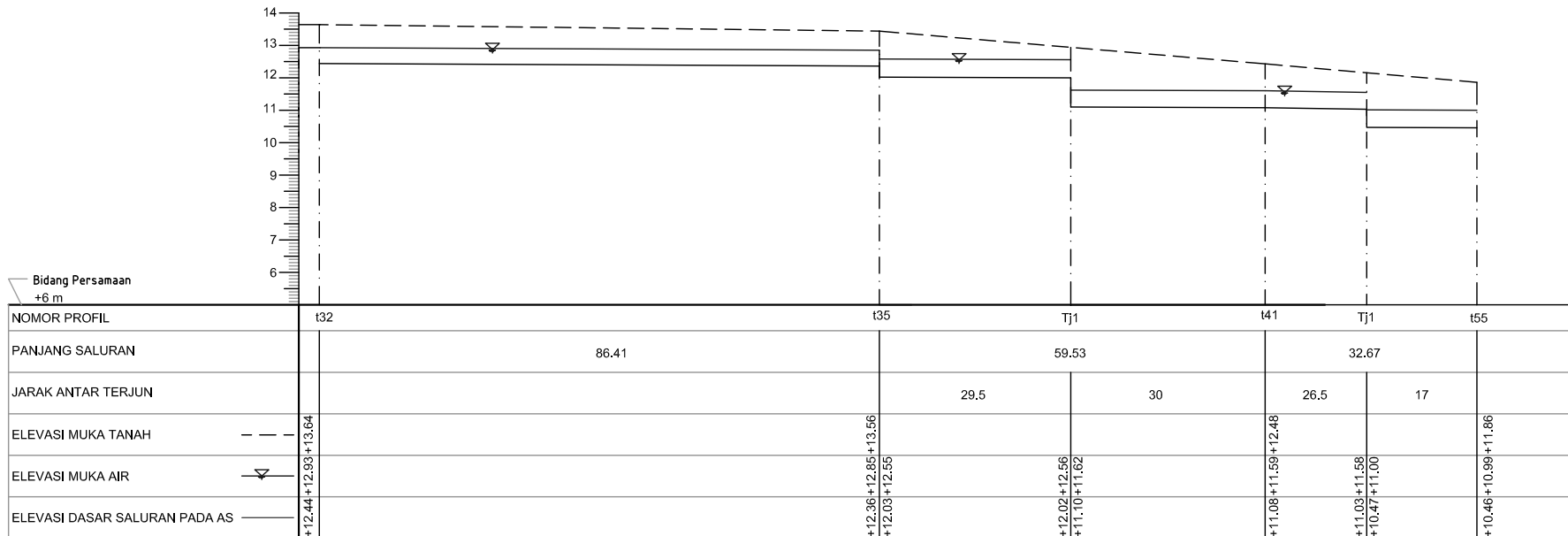


| No | Saluran | b (m) | h (m) |
|----|---------|-------|-------|
| 1  | P1      | 1.40  | 0.49  |
| 2  | P2      | 1.40  | 0.51  |
| 3  | P3      | 1.40  | 0.53  |
| 4  | P4      | 1.40  | 0.53  |
| 5  | P5      | 1.40  | 0.78  |
| 6  | P6      | 1.40  | 0.66  |
| 7  | P7      | 1.40  | 0.67  |
| 8  | P8      | 1.40  | 0.82  |



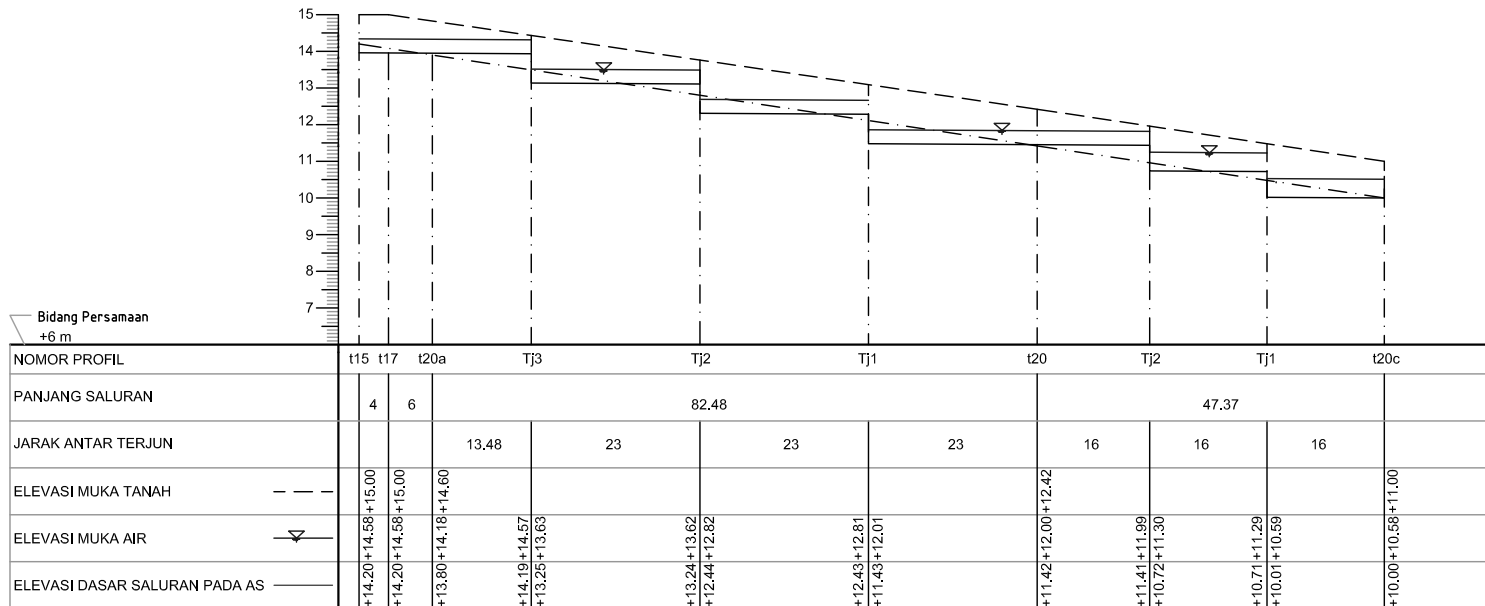
Long Section Saluran Sekunder Ss2-Ss1

|  | JUDUL GAMBAR | SKALA                | KETERANGAN | DOSEN PEBIMBING  | NAMA MAHASISWA                  | No Gmb | Jml Gmb |
|--|--------------|----------------------|------------|--|---------------------------------|--------|---------|
|  | LONG SECTION | V 1: 50<br>H 1: 1000 |            | Prof. Dr. Ir. Nadjadji Anwar MSc<br>NIP. 19540113 198010 1 001 | Rachmad Harnadi<br>3115 105 046 | 15     | 32      |



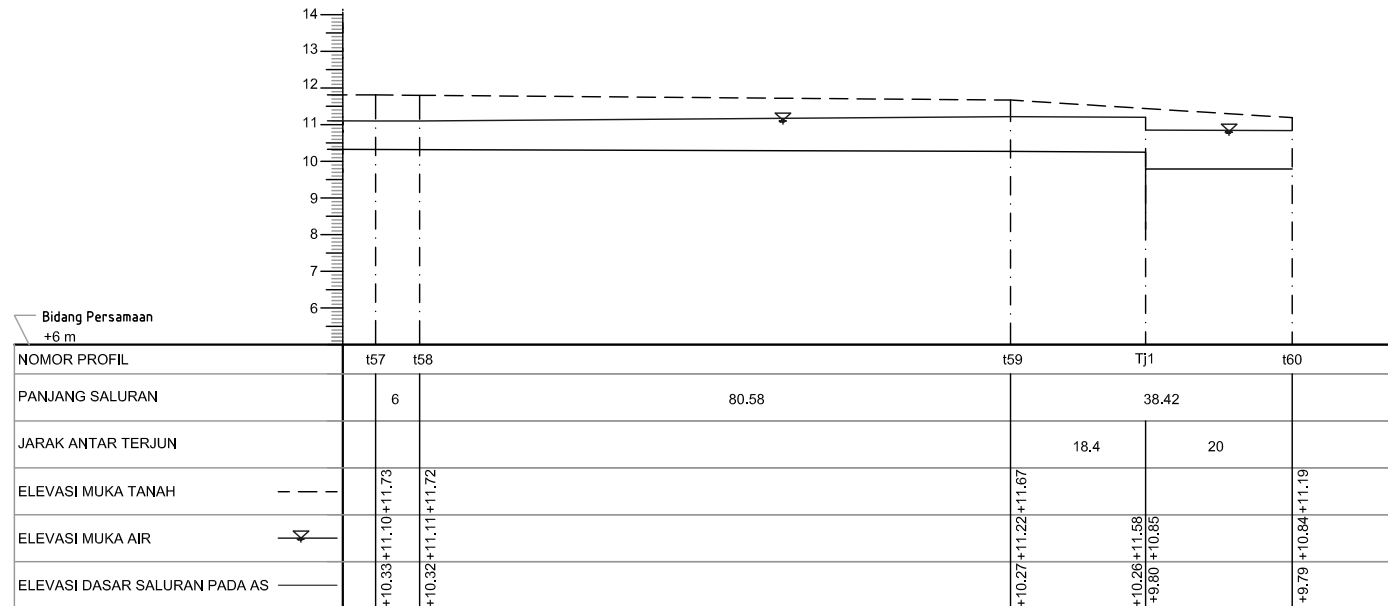
Long Section Saluran Primer

| Logo | JUDUL GAMBAR | SKALA                | KETERANGAN | DOSEN PEBIMBING  | NAMA MAHASISWA                  | No Gmb | Jml Gmb |
|------|--------------|----------------------|------------|--|---------------------------------|--------|---------|
|      | LONG SECTION | V 1: 50<br>H 1: 1000 |            | Prof. Dr. Ir. Nadjadji Anwar MSc<br>NIP. 19540113 198010 1 001 | Rachmad Harnadi<br>3115 105 046 | 16     | 32      |



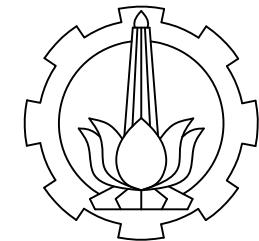
Long Section Saluran Sekunder Ss2-Ss1

|  | JUDUL GAMBAR | SKALA                | KETERANGAN | DOSEN PEBIMBING  | NAMA MAHASISWA                  | No Gmb | Jml Gmb |
|--|--------------|----------------------|------------|--|---------------------------------|--------|---------|
|  | LONG SECTION | V 1: 50<br>H 1: 1000 |            | Prof. Dr. Ir. Nadjadji Anwar MSc<br>NIP. 19540113 198010 1 001 | Rachmad Harnadi<br>3115 105 046 | 15     | 32      |



Long Section Saluran Primer

|  | JUDUL GAMBAR | SKALA                | KETERANGAN | DOSEN PEBIMBING  | NAMA MAHASISWA                  | No Gmb | Jml Gmb |
|--|--------------|----------------------|------------|--|---------------------------------|--------|---------|
|  | LONG SECTION | V 1: 50<br>H 1: 1000 |            | Prof. Dr. Ir. Nadjadji Anwar MSc<br>NIP. 19540113 198010 1 001 | Rachmad Harnadi<br>3115 105 046 | 18     | 32      |



INSTITUT TEKNOLOGI SEPULUH NOPEMBER  
FAKULTAS TEKNIK SIPIL DAN PERENCANAAN  
PROGRAM STUDI SI-LJ TEKNIK SIPIL

KETERANGAN

JUDUL TUGAS AKHIR

PERENCANAAN SISTEM JARINGAN DRAINASE  
KAWASAN BOEZEM SUMUR WELUT,  
SURABAYA BARAT

DOSEN

Prof. Dr. Ir. Nadjadji Anwar MSc  
NIP. 19540113 198010 1 001

NAMA MAHASISWA

Rachmad Harnadi  
NRP. 3115 105 046

JUDUL GAMBAR

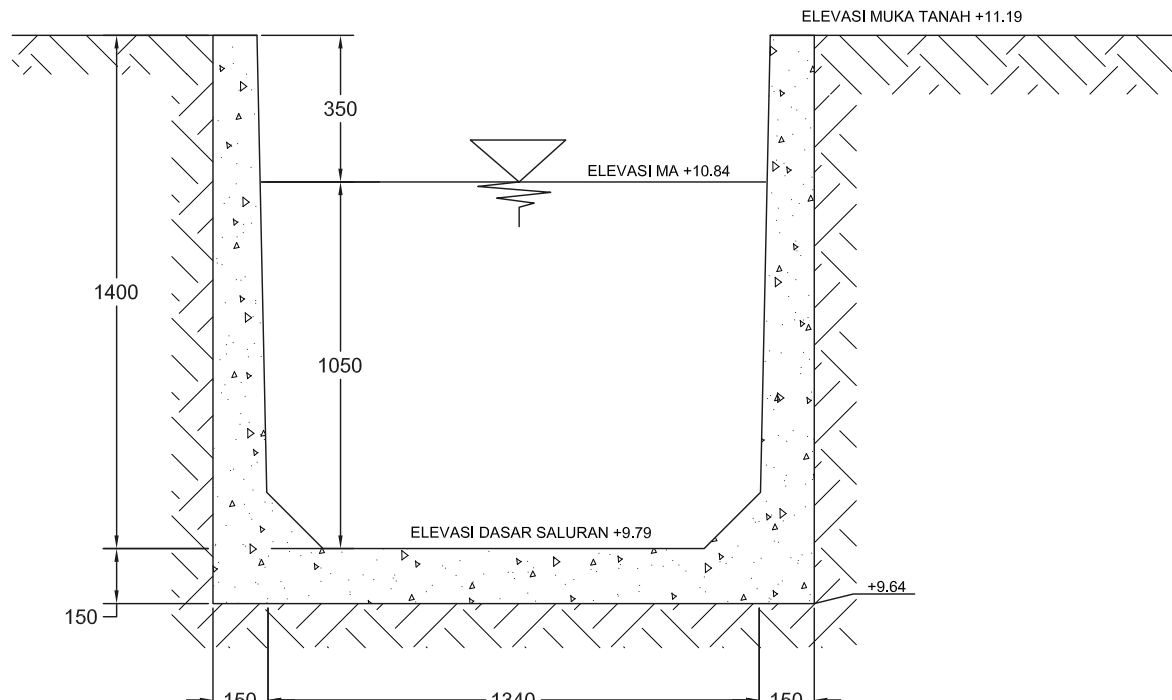
CROSS SECTION SALURAN

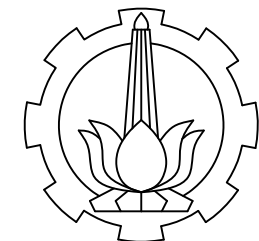
SKALA

1:20

| NO LEMBAR | JML GAMBAR |
|-----------|------------|
|-----------|------------|

|    |    |
|----|----|
| 19 | 32 |
|----|----|





INSTITUT TEKNOLOGI SEPULUH NOPEMBER  
FAKULTAS TEKNIK SIPIL DAN PERENCANAAN  
PROGRAM STUDI SI-LJ TEKNIK SIPIL

KETERANGAN

JUDUL TUGAS AKHIR

PERENCANAAN SISTEM JARINGAN DRAINASE  
KAWASAN BOEZEM SUMUR WELUT,  
SURABAYA BARAT

DOSEN

Prof. Dr. Ir. Nadjadji Anwar MSc  
NIP. 19540113 198010 1 001

NAMA MAHASISWA

Rachmad Harnadi  
NRP. 3115 105 046

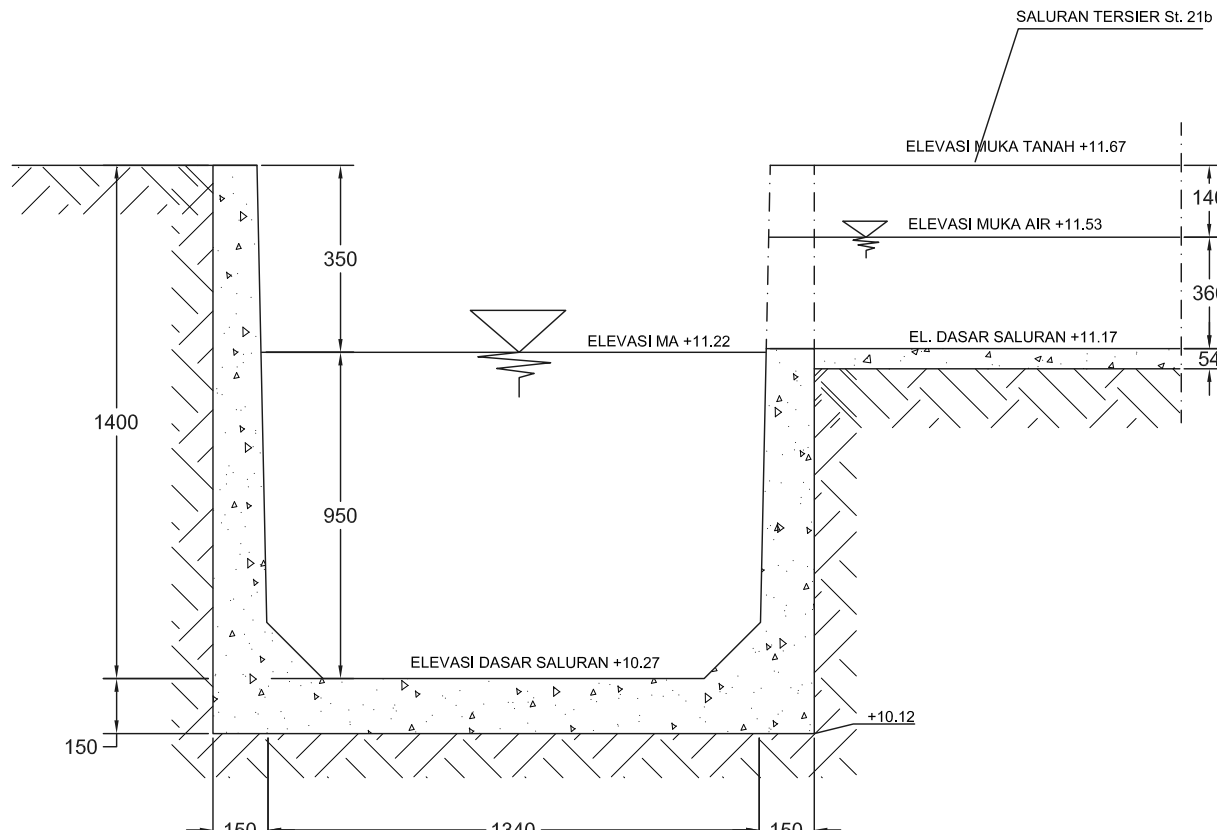
JUDUL GAMBAR

CROSS SECTION SALURAN

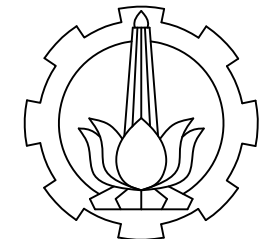
SKALA

1:20

| NO LEMBAR | JML GAMBAR |
|-----------|------------|
| 20        | 32         |



CROSS SECTION P7



INSTITUT TEKNOLOGI SEPULUH NOPEMBER  
FAKULTAS TEKNIK SIPIL DAN PERENCANAAN  
PROGRAM STUDI SI-LJ TEKNIK SIPIL

KETERANGAN

JUDUL TUGAS AKHIR

PERENCANAAN SISTEM JARINGAN DRAINASE  
KAWASAN BOEZEM SUMUR WELUT,  
SURABAYA BARAT

DOSEN

Prof. Dr. Ir. Nadjadji Anwar MSc  
NIP. 19540113 198010 1 001

NAMA MAHASISWA

Rachmad Harnadi  
NRP. 3115 105 046

JUDUL GAMBAR

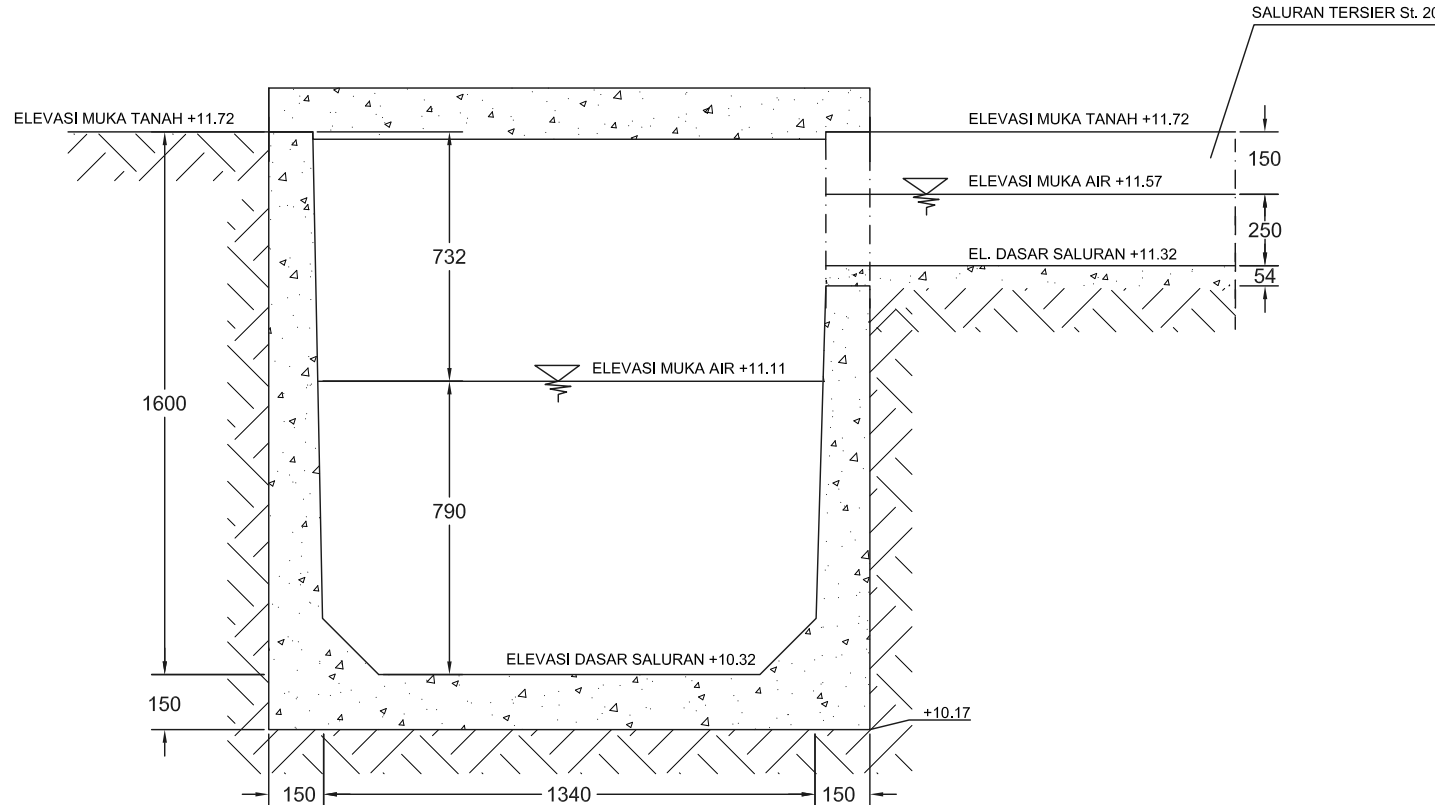
CROSS SECTION SALURAN

SKALA

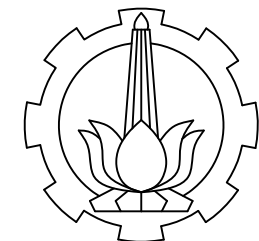
1:20

| NO LEMBAR | JML GAMBAR |
|-----------|------------|
|-----------|------------|

|    |    |
|----|----|
| 21 | 32 |
|----|----|



CROSS SECTION P6



INSTITUT TEKNOLOGI SEPULUH NOPEMBER  
FAKULTAS TEKNIK SIPIL DAN PERENCANAAN  
PROGRAM STUDI SI-LJ TEKNIK SIPIL

KETERANGAN

JUDUL TUGAS AKHIR

PERENCANAAN SISTEM JARINGAN DRAINASE  
KAWASAN BOEZEM SUMUR WELUT,  
SURABAYA BARAT

DOSEN

Prof. Dr. Ir. Nadjadji Anwar MSc  
NIP. 19540113 198010 1 001

NAMA MAHASISWA

Rachmad Harnadi  
NRP. 3115 105 046

JUDUL GAMBAR

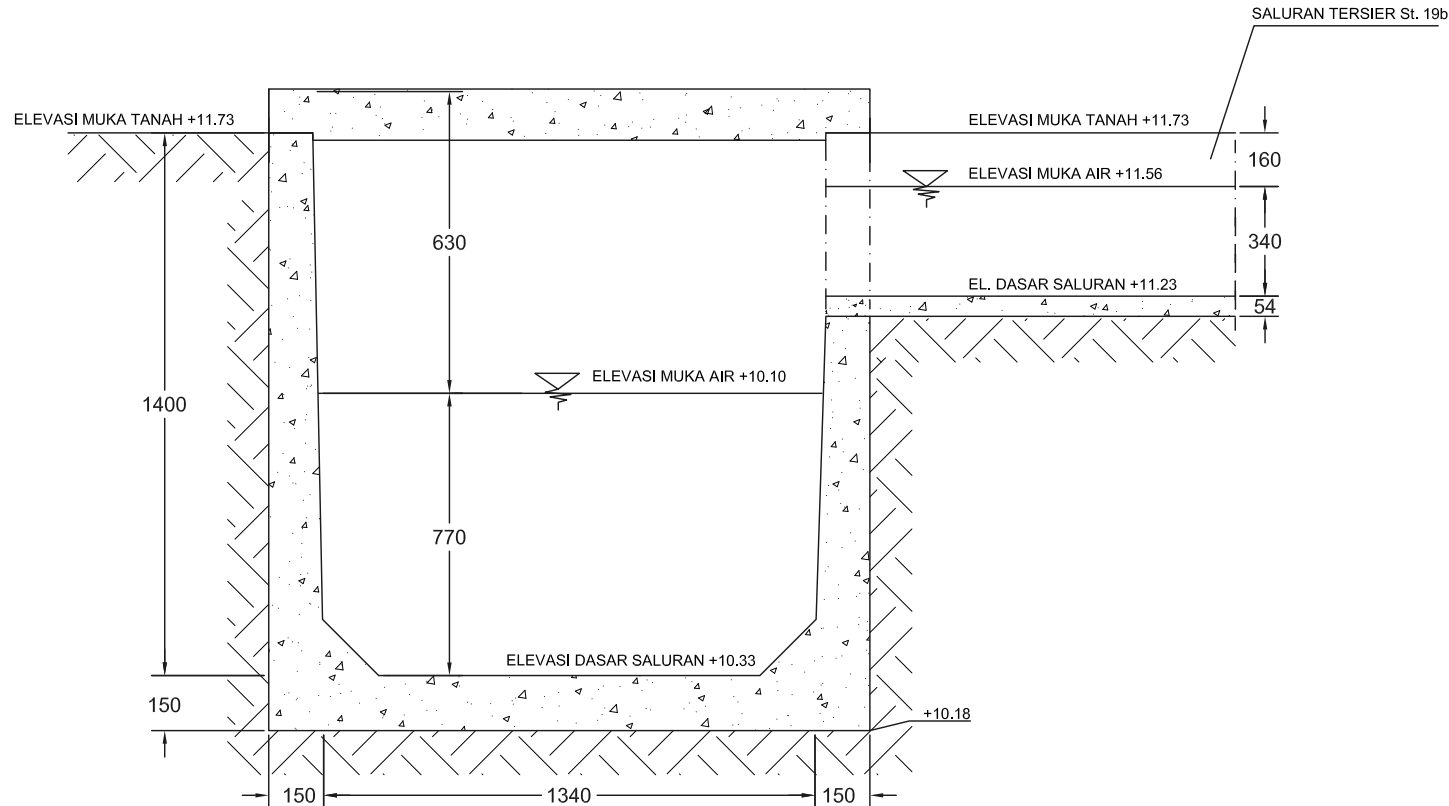
CROSS SECTION SALURAN

SKALA

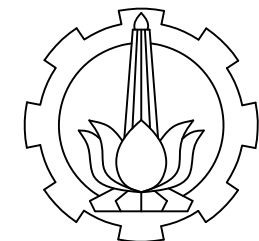
1:20

| NO LEMBAR | JML GAMBAR |
|-----------|------------|
|-----------|------------|

|    |    |
|----|----|
| 22 | 32 |
|----|----|



CROSS SECTION P5



INSTITUT TEKNOLOGI SEPULUH NOPEMBER  
FAKULTAS TEKNIK SIPIL DAN PERENCANAAN  
PROGRAM STUDI SI-LJ TEKNIK SIPIL

KETERANGAN

JUDUL TUGAS AKHIR

PERENCANAAN SISTEM JARINGAN DRAINASE  
KAWASAN BOEZEM SUMUR WELUT,  
SURABAYA BARAT

DOSEN

Prof. Dr. Ir. Nadjadji Anwar MSc  
NIP. 19540113 198010 1 001

NAMA MAHASISWA

Rachmad Harnadi  
NRP. 3115 105 046

JUDUL GAMBAR

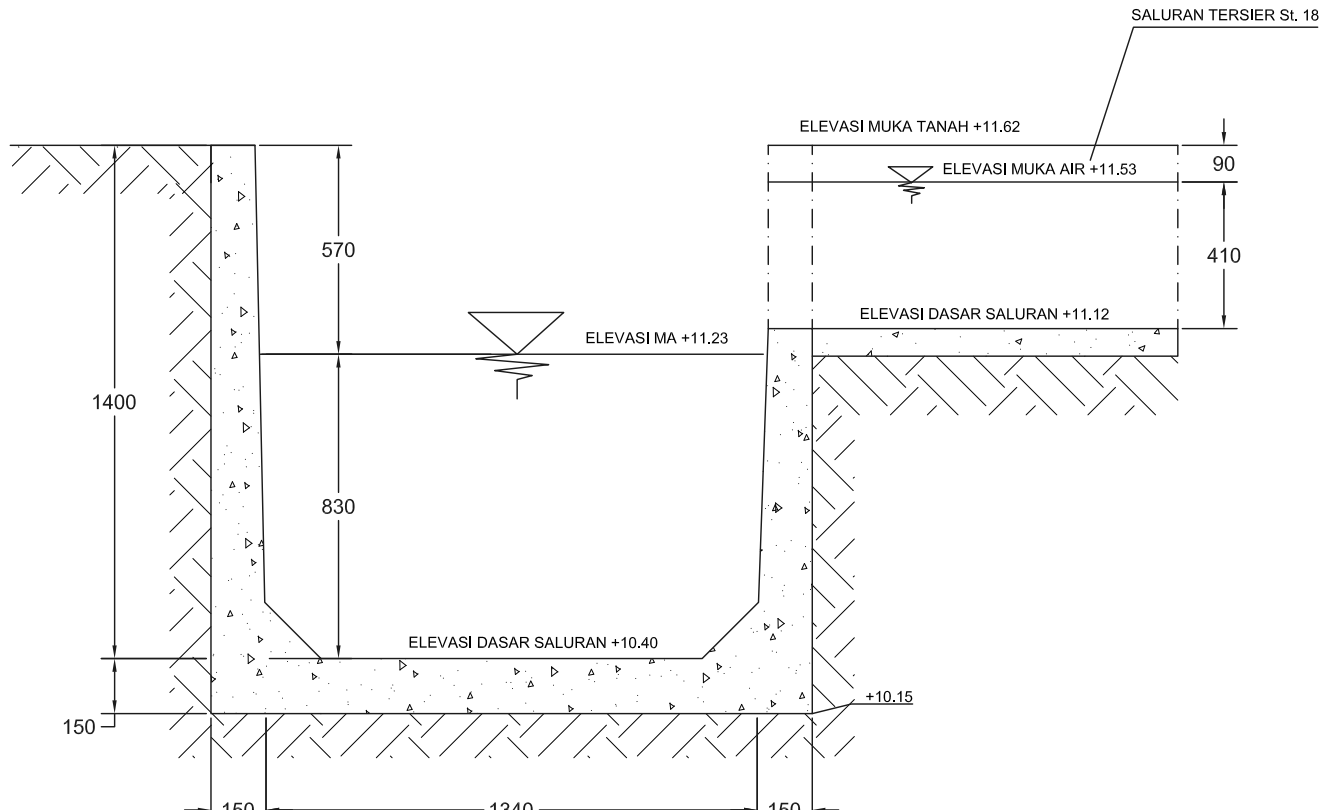
CROSS SECTION SALURAN

SKALA

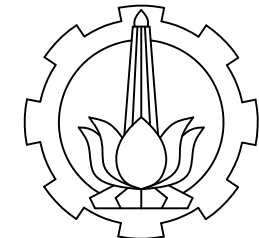
1:20

| NO LEMBAR | JML GAMBAR |
|-----------|------------|
|-----------|------------|

|    |    |
|----|----|
| 23 | 32 |
|----|----|



CROSS SECTION P4



INSTITUT TEKNOLOGI SEPULUH NOPEMBER  
FAKULTAS TEKNIK SIPIL DAN PERENCANAAN  
PROGRAM STUDI SI-LJ TEKNIK SIPIL

KETERANGAN

JUDUL TUGAS AKHIR

PERENCANAAN SISTEM JARINGAN DRAINASE  
KAWASAN BOEZEM SUMUR WELUT,  
SURABAYA BARAT

DOSEN

Prof. Dr. Ir. Nadjadji Anwar MSc  
NIP. 19540113 198010 1 001

NAMA MAHASISWA

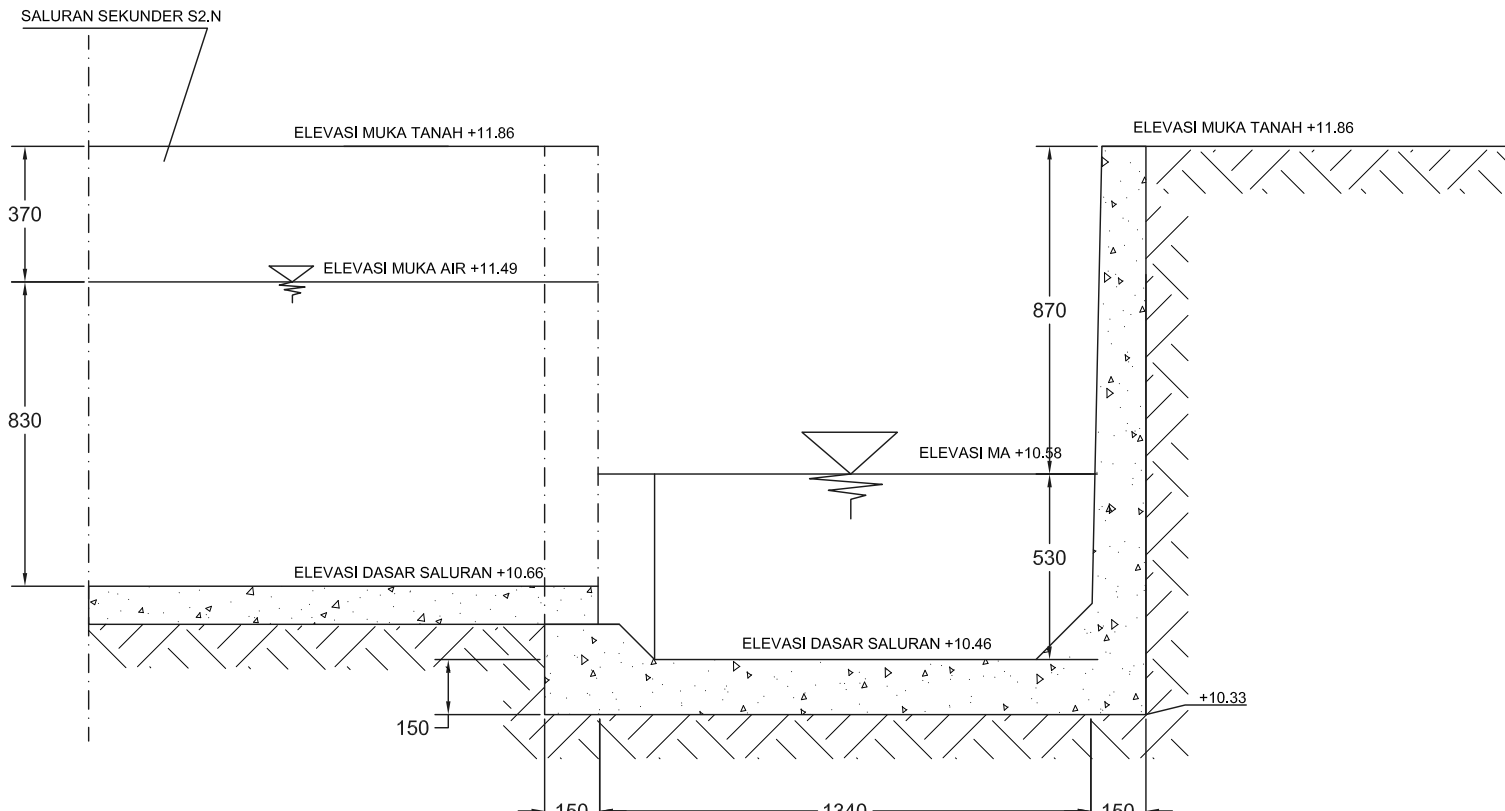
Rachmad Harnadi  
NRP. 3115 105 046

JUDUL GAMBAR

CROSS SECTION SALURAN

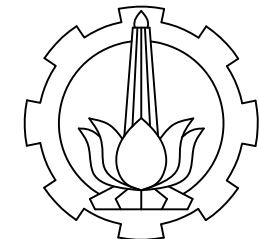
SKALA

1:20



CROSS SECTION P3

| NO LEMBAR | JML GAMBAR |
|-----------|------------|
| 24        | 32         |



INSTITUT TEKNOLOGI SEPULUH NOPEMBER  
FAKULTAS TEKNIK SIPIL DAN PERENCANAAN  
PROGRAM STUDI SI-LJ TEKNIK SIPIL

KETERANGAN

JUDUL TUGAS AKHIR

PERENCANAAN SISTEM JARINGAN DRAINASE  
KAWASAN BOEZEM SUMUR WELUT,  
SURABAYA BARAT

DOSEN

Prof. Dr. Ir. Nadjadji Anwar MSc  
NIP. 19540113 198010 1 001

NAMA MAHASISWA

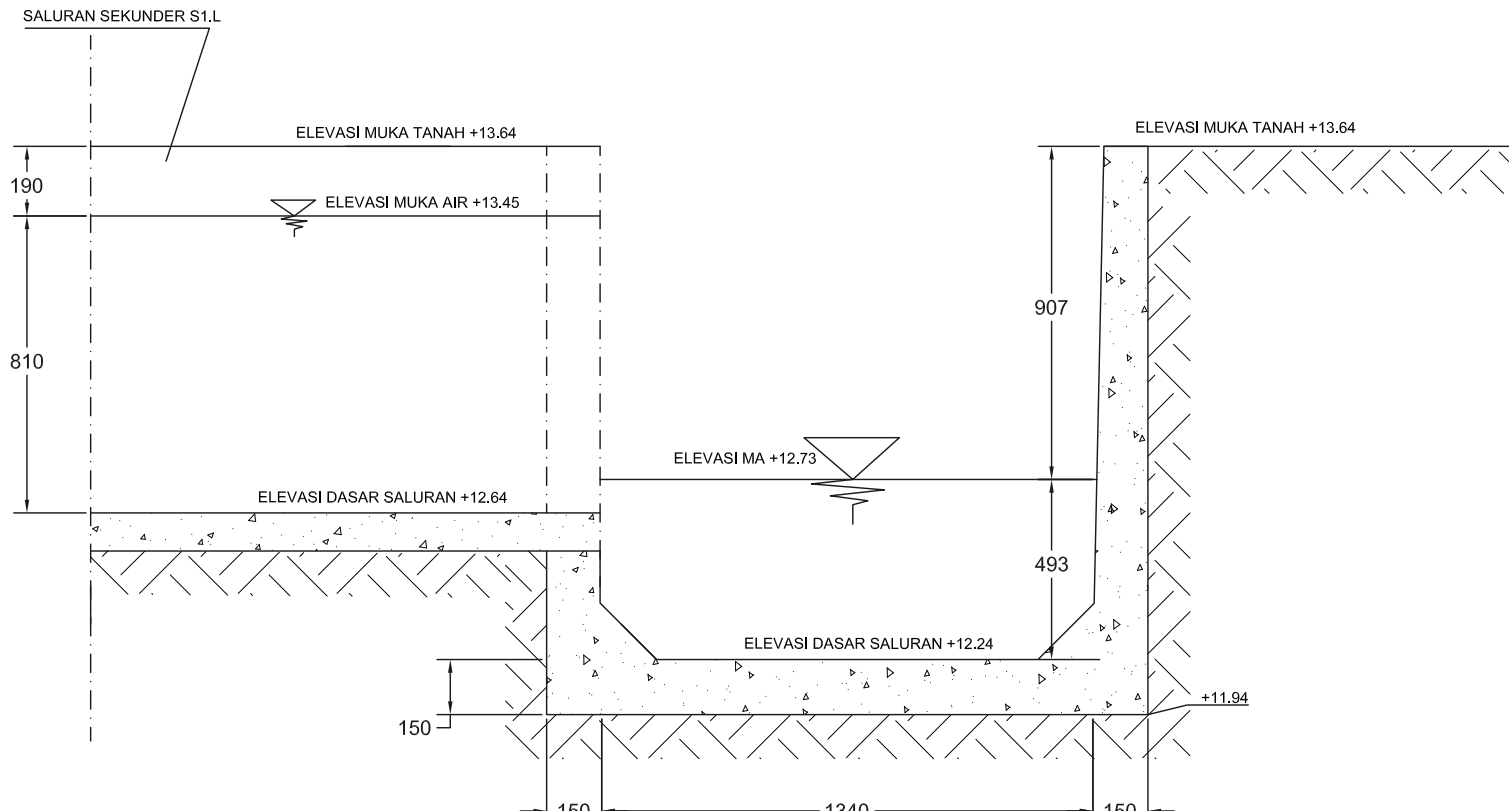
Rachmad Harnadi  
NRP. 3115 105 046

JUDUL GAMBAR

CROSS SECTION SALURAN

SKALA

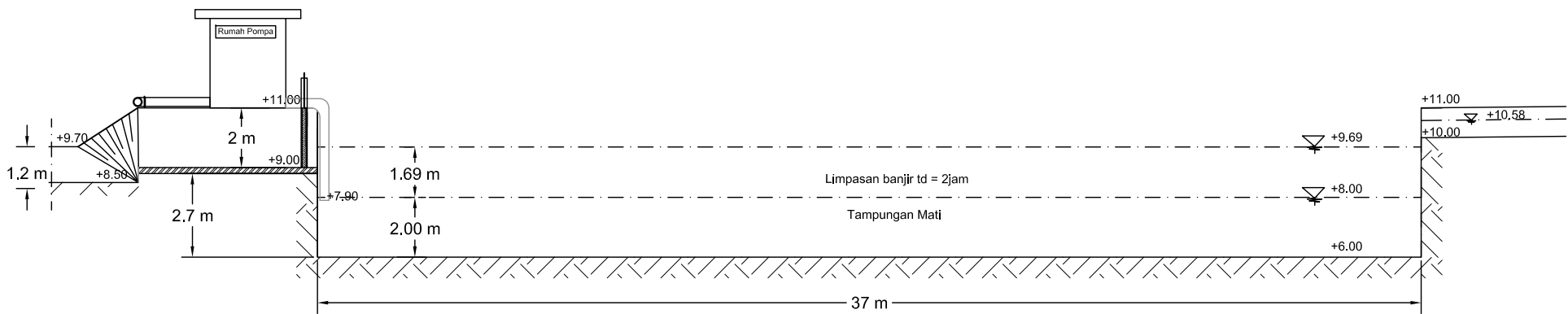
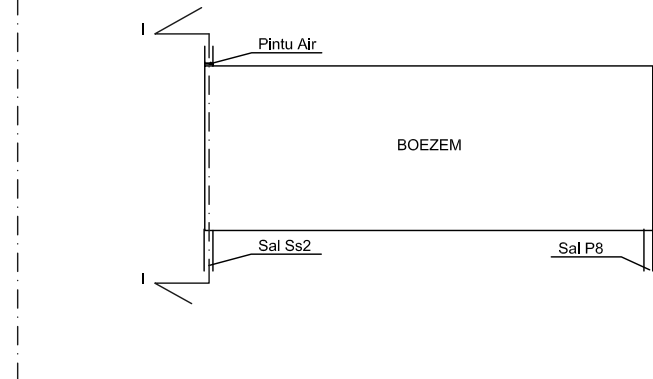
1:20



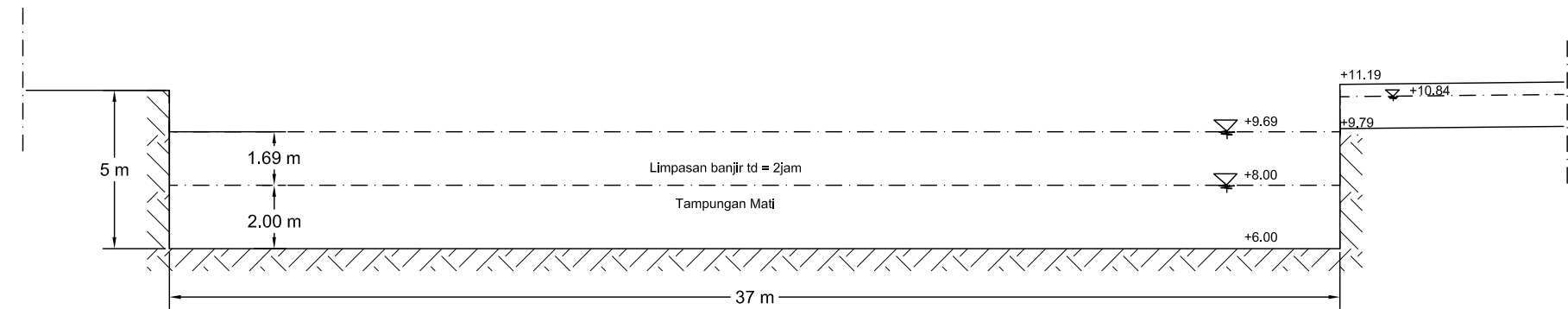
CROSS SECTION S1.L

| NO LEMBAR | JML GAMBAR |
|-----------|------------|
|-----------|------------|

|    |    |
|----|----|
| 25 | 32 |
|----|----|

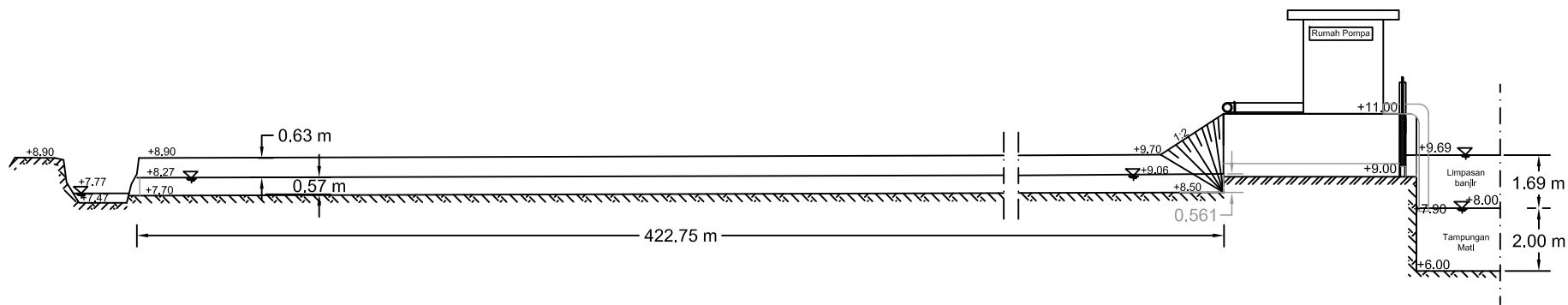


| JUDUL GAMBAR  | SKALA                    | KETERANGAN                               | DOSEN PEBIMBING  | NAMA MAHASISWA                  | No Gmb | Jml Gmb |
|---------------|--------------------------|--|--|---------------------------------|--------|---------|
| CROSS SECTION | H = 1 : 50<br>V = 1 : 50 | Menggunakan Fasilitas<br>Pintu dan Pompa | Prof. Dr. Ir. Nadjadji Anwar MSc<br>NIP. 19540113 198010 1 001 | Rachmad Harnadi<br>3115 105 046 | 26     | 32      |

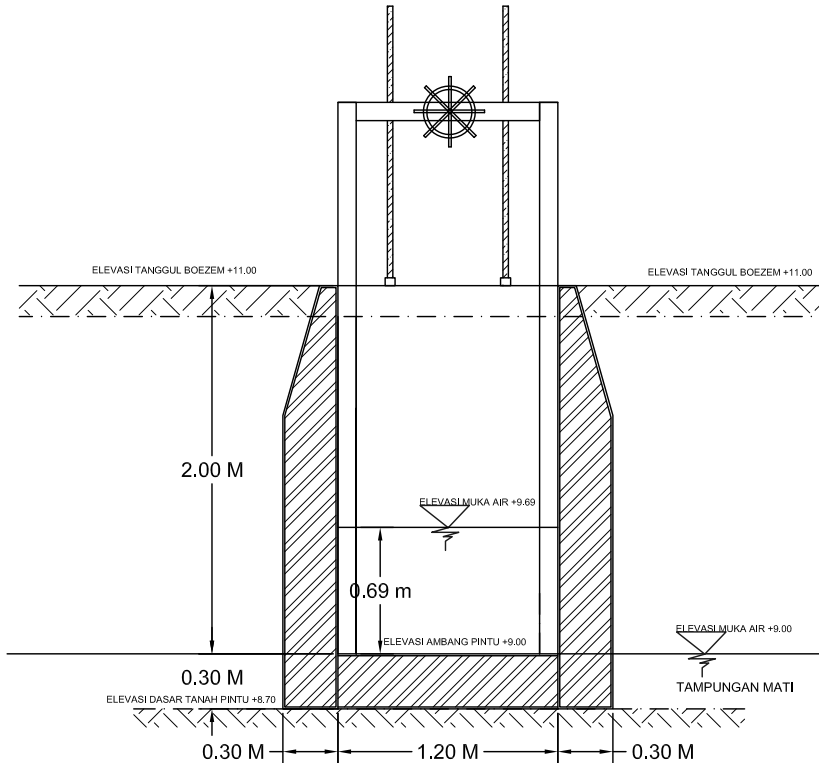


POT II-II

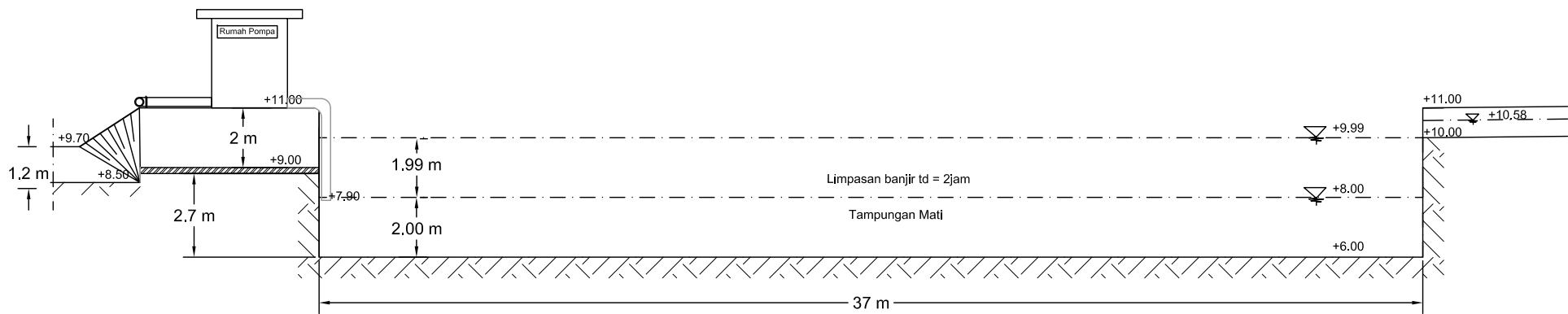
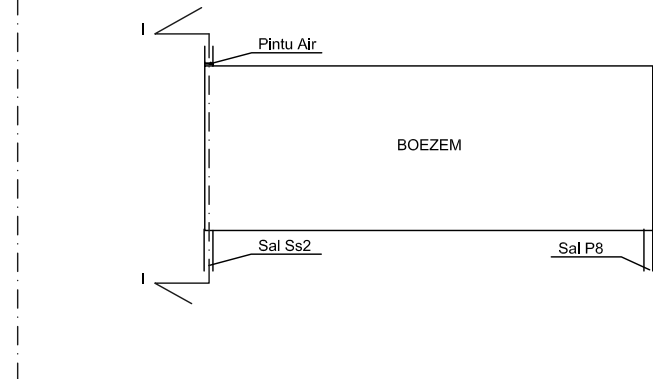
|  | JUDUL GAMBAR  | SKALA                    | KETERANGAN                               | DOSEN PEBIMBING  | NAMA MAHASISWA                  | No Gmb | Jml Gmb |
|--|---------------|--------------------------|--|--|---------------------------------|--------|---------|
|  | CROSS SECTION | H = 1 : 50<br>V = 1 : 50 | Menggunakan Fasilitas<br>Pintu dan Pompa | Prof. Dr. Ir. Nadjadji Anwar MSc<br>NIP. 19540113 198010 1 001 | Rachmad Harnadi<br>3115 105 046 | 27     | 32      |



|  | JUDUL GAMBAR  | SKALA                    | KETERANGAN                               | DOSEN PEBIMBING  | NAMA MAHASISWA                  | No Gmb | Jml Gmb |
|--|---------------|--------------------------|--|--|---------------------------------|--------|---------|
|  | CROSS SECTION | H = 1 : 50<br>V = 1 : 50 | Menggunakan Fasilitas<br>Pintu dan Pompa | Prof. Dr. Ir. Nadjadji Anwar MSc<br>NIP. 19540113 198010 1 001 | Rachmad Harnadi<br>3115 105 046 | 28     | 32      |

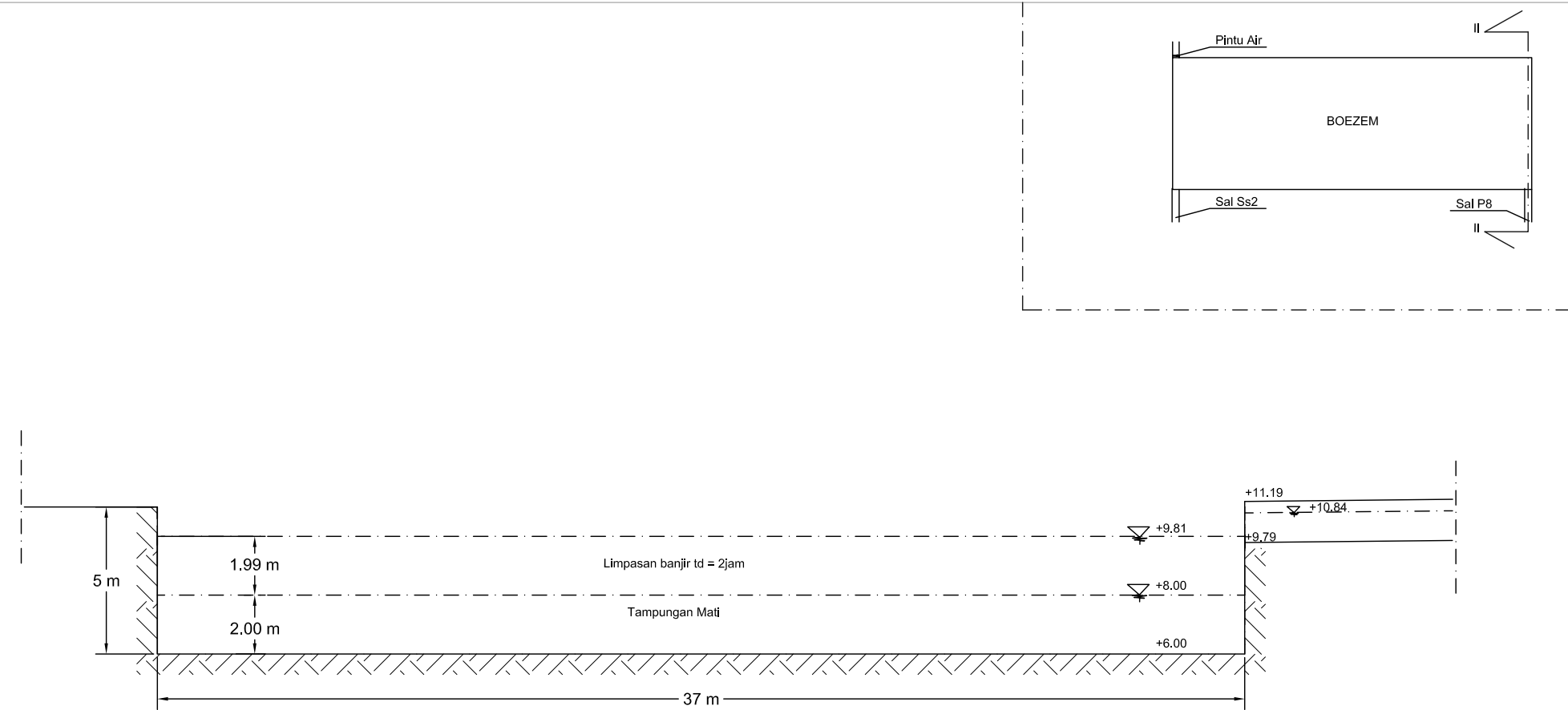


|  | JUDUL GAMBAR  | SKALA                    | KETERANGAN                               | DOSEN PEBIMBING  | NAMA MAHASISWA                  | No Gmb | Jml Gmb |
|--|---------------|--------------------------|--|--|---------------------------------|--------|---------|
|  | CROSS SECTION | H = 1 : 40<br>V = 1 : 40 | Menggunakan Fasilitas<br>Pintu dan Pompa | Prof. Dr. Ir. Nadjadji Anwar MSc<br>NIP. 19540113 198010 1 001 | Rachmad Harnadi<br>3115 105 046 | 29     | 32      |



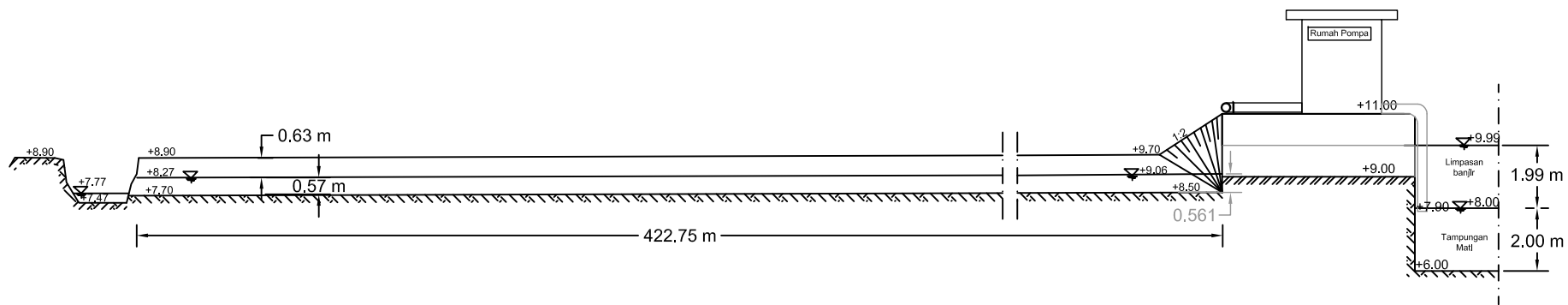
POT I-I

| JUDUL GAMBAR  | SKALA                    | KETERANGAN                     | DOSEN PEBIMBING  | NAMA MAHASISWA                  | No Gmb | Jml Gmb |
|---------------|--------------------------|--------------------------------|--|---------------------------------|--------|---------|
| CROSS SECTION | H = 1 : 50<br>V = 1 : 50 | Menggunakan Pelimpah dan Pompa | Prof. Dr. Ir. Nadjadji Anwar MSc<br>NIP. 19540113 198010 1 001 | Rachmad Harnadi<br>3115 105 046 | 30     | 32      |

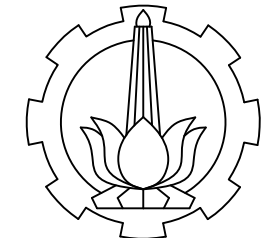


POT II-II

|  | JUDUL GAMBAR  | SKALA                    | KETERANGAN                     | DOSEN PEBIMBING  | NAMA MAHASISWA                  | No Gmb | Jml Gmb |
|--|---------------|--------------------------|--------------------------------|--|---------------------------------|--------|---------|
|  | CROSS SECTION | H = 1 : 50<br>V = 1 : 50 | Menggunakan Pelimpah dan Pompa | Prof. Dr. Ir. Nadjadji Anwar MSc<br>NIP. 19540113 198010 1 001 | Rachmad Harnadi<br>3115 105 046 | 31     | 32      |

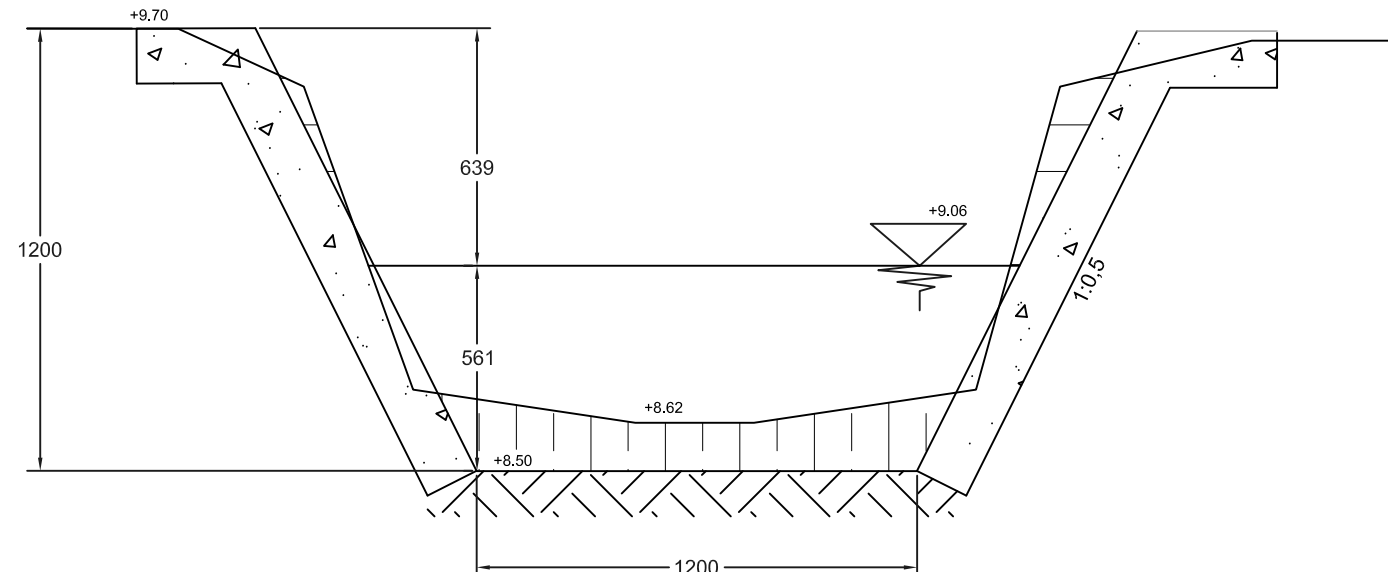


|  | JUDUL GAMBAR  | SKALA                    | KETERANGAN                     | DOSEN PEBIMBING  | NAMA MAHASISWA                  | No Gmb | Jml Gmb |
|--|---------------|--------------------------|--------------------------------|--|---------------------------------|--------|---------|
|  | CROSS SECTION | H = 1 : 50<br>V = 1 : 50 | Menggunakan Pelimpah dan Pompa | Prof. Dr. Ir. Nadjadji Anwar MSc<br>NIP. 19540113 198010 1 001 | Rachmad Harnadi<br>3115 105 046 | 32     | 32      |



INSTITUT TEKNOLOGI SEPULUH NOPEMBER  
FAKULTAS TEKNIK SIPIL DAN PERENCANAAN  
PROGRAM STUDI SI-LJ TEKNIK SIPIL

KETERANGAN



CROSS SECTION SALURAN OUTFLOW (HULU)

JUDUL TUGAS AKHIR

PERENCANAAN SISTEM JARINGAN DRAINASE  
KAWASAN BOEZEM SUMUR WELUT,  
SURABAYA BARAT

DOSEN

Prof. Dr. Ir. Nadjadji Anwar MSc  
NIP. 19540113 198010 1 001

NAMA MAHASISWA

Rachmad Harnadi  
NRP. 3115 105 046

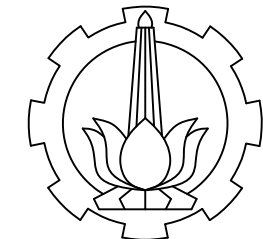
JUDUL GAMBAR

CROSS SECTION SALURAN

SKALA

1:20

| NO LEMBAR | JML GAMBAR |
|-----------|------------|
|           |            |



INSTITUT TEKNOLOGI SEPULUH NOPEMBER  
FAKULTAS TEKNIK SIPIL DAN PERENCANAAN  
PROGRAM STUDI SI-LJ TEKNIK SIPIL

KETERANGAN

JUDUL TUGAS AKHIR

PERENCANAAN SISTEM JARINGAN DRAINASE  
KAWASAN BOEZEM SUMUR WELUT,  
SURABAYA BARAT

DOSEN

Prof. Dr. Ir. Nadjadji Anwar MSc  
NIP. 19540113 198010 1 001

NAMA MAHASISWA

Rachmad Harnadi  
NRP. 3115 105 046

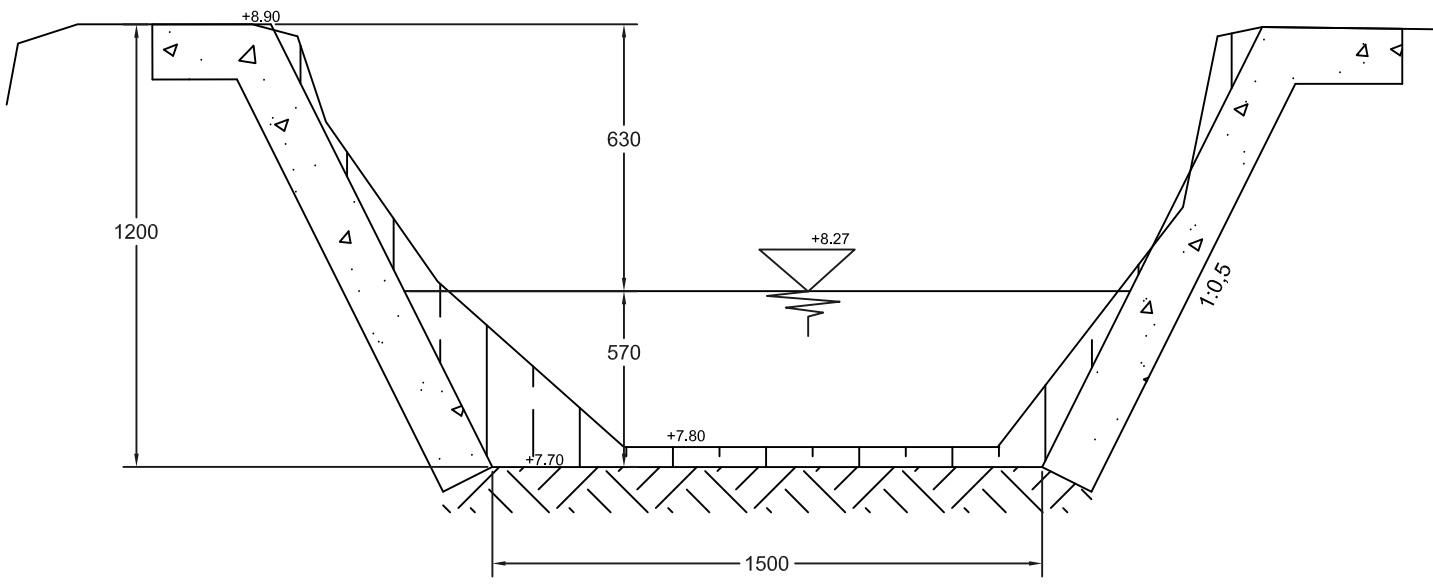
JUDUL GAMBAR

CROSS SECTION SALURAN

SKALA

1:20

| NO LEMBAR | JML GAMBAR |
|-----------|------------|
|           |            |



CROSS SECTION SALURAN OUTFLOW (HILIR)

## BIODATA PENULIS



**Rachmad Harnadi** adalah nama penulis tugas akhir ini. Penulis lahir dari orang tua atas nama Moh. Hatip dan Rukmania sebagai anak ke dua dari tiga bersaudara. Penulis dilahirkan di Sumenep, 16 Juli 1994. Sebelumnya penulis pernah mengenyam pendidikan di TK Dharmawanita, SDN Karang Anyar Kab. Sumenep, SMP Negeri 5 Sumenep dan SMA Negeri 1 Kalianget. Setelah menyelesaikan studinya di SMA Negeri 1 Kalianget, Penulis melanjutkan pendidikan pada Tahun 2012 di Diploma III Teknik Sipil ITS dengan NRP 3112030073 yang ditempuh selama 3 tahun dan lulus pada tahun 2015. Pada tahun 2015, Penulis melanjutkan studi ke jenjang sarjana di Jurusan Teknik Sipil FTSP ITS dan terdaftar sebagai mahasiswa ITS dengan NRP 3115 105 046. Di Jurusan Teknik Sipil ini, penulis mengambil bidang studi Hidroteknik sebagai tugas akhir. Dengan ketekunan, motivasi tinggi untuk terus belajar dan berusaha, penulis telah berhasil menyelesaikan pengeringan tugas akhir ini. Semoga dengan penulisan tugas akhir ini mampu memberikan kontribusi positif bagi dunia pendidikan. Untuk menghubungi penulis terkait tugas akhir ini dapat menghubungi pada alamat email berikut ini:

[Rachmadharnadi073@gmail.com](mailto:Rachmadharnadi073@gmail.com)